



PHILIPS
Electronentruizen

ZAKBOEKJE

N.V. PHILIPS' VERKOOPMIDDEL VOOR NEDERLAND

K. A. BOHME

Elburg — Elzenstraatweg 93

Harde (Gelderland)

INHOUD

Alle typenummers die in dit boekje zijn opgenomen, zijn numeriek/alfabetisch gerangschikt in de afdeling „Ontvang- en Versterkbuizen”. Voor typen die niet tot deze groep behoren, wordt verwezen naar de betreffende bladzijde.

Bladzijde

Gegevens van electronenbuizen	1
Typenummer systeem	2
Symbolen	8
Ontvang- en versterkbuizen	13
Voorkeur typen	14
Speciale L.F. en H.F. versterkbuizen . .	109
Voorkeur typen	109
Telefoniebuizen	110
Betrouwbare, tril- en schokvaste buizen met lange levensduur	112
Buis voor boekhoudmachines	113
Gehörbuizen	113
U.H.F. buizen	116
Kathodestraalbuizen	119
Voorkeur typen	119
Meetbuizen	120
Radarbuizen	123
Beeldbuizen	123
Zendbuizen	127
Voorkeur typen	128
Zendbuizen	130
Gelijkrichtbuizen voor zenddoeleinden . .	138
Buizen voor industriële toepassingen . .	141
Voorkeur typen	141
Gelijkrichtbuizen voor de industrie	142
Senditron	147
Thyratrons	147
Ignitrons	150

Röntgenbuizen	151
Diagnostiekbuisen met stralenbescherming	152
Diagnostiek inzetbuizen	153
Omhullingen met olie-isolatie	155
Inzetbuizen voor therapie	156
Inzetbuizen voor de industrie	156
Ventielen	157
Diversen	159
Voorkeur typen	160
Fotobuizen	162
Spanningsreferentiebuizen	164
Spanningsstabilisatorbuizen	164
Overspanningsveiligheden	166
Electrometerbuizen	168
Triggerbuis	169
Thermokoppels	169
Bimetaal relais	169
Stroomregulatorbuizen	170
Germanium Dioden	171
Beeldvormers	172
Beeldiconoscoop	173
Stralingstelbuizen	173
Magnetrons	174
Klystrons	174
Hoog-vacuüm diode	174
TR en ATR schakelaars	174
Buishouders	175
Equivalenten buistypen van Amerikaanse ontvang-, versterk- en gelijkrichtbuizen	177
Vervanglijst voor buizen die niet meer worden geleverd	195

N.B. Het feit dat een buis in dit boekje is opgenomen, houdt niet in dat deze altijd geleverd kan worden.

TYPENUMMER SYSTEEM

Hieronder volgt een overzicht van het tegenwoordige typenummer systeem voor buizen, die zodanig zijn aangebouwd, dat hieruit bepaalde gegevens kunnen worden afgeleid, zoals d.v. elektrische gegevens, belangrijkste toepassingen, type buisvoet enz.

Voor sommige gevallen is het echter niet mogelijk gebreken aan dit systeem, welke de hand te houden.

ONTYANG- EN VERSTERKERBUIZEN

Het typenummer bestaat uit een aantal hoofdletters gevolgd door één of twee cijfers (b.v. 6F6 UCH 81).

Eerste letter: gegevens over de gloeidraad.

Tweede en volgende letters: classificatie van de

GEGEVENS VAN ELECTRONENBUIZEN

A	—	4 V
C	—	200 mA
D	—	1,5 V batterij
E	—	6,3 V
G	—	2 V
K	—	2 V batterij
O	—	geen gloeidraad
P	—	300 mA
U	—	100 mA

Tweede en volgende letters:

A	—	H.F. enkelvoudige diode
B	—	H.F. dubbele diode
C	—	Triode (behaltige gasgevulde en eind-triodes)
D	—	Eindtriode
E	—	Tetrode (behaltige eindtetrodes)

TYPENUMMER SYSTEEM

Hieronder volgt een overzicht van het tegenwoordige typenummer systeem voor buizen, die zodanig zijn aangeduid, dat hieruit bepaalde buisgegevens kunnen worden afgeleid, zoals b.v. elektrische gegevens, belangrijkste toepassingen, type buisvoet enz.

Voor sommige gevallen is het echter niet mogelijk gebleken aan dit systeem strikt de hand te houden.

ONTVANG- EN VERSTERKBUIZEN

Het typenummer bestaat uit een aantal hoofdletters gevolgd door één of twee cijfers (b.v. EF 6, UCH 81).

Eerste letter: gegevens over de gloeidraad.

Tweede en volgende letters: classificatie van de buis.

Cijfers: serienummer.

In onderstaande tabel volgt de verklaring van de letters en cijfers.

Eerste letter

- A — 4 V
- C — 200 mA
- D — 1,4 V batterij
- E — 6,3 V
- G — 5 V
- K — 2 V batterij
- O — geen gloeidraad
- P — 300 mA
- U — 100 mA

Tweede en volgende letters

- A — H.F. enkele diode
- B — H.F. dubbele diode
- C — Triode (behalve gasgevulde- en eind-triodes)
- D — Eindtriode
- E — Tetrode (behalve eindtetrodes)

- F — Penthode (behalve eindpenthodes)
- H — Hexode of Heptode
- K — Octode of Heptode
- L — Eindtetrode of Penthode
- M — Afstemindicator
- P — Buis met secundaire emissie
- Q — Enneode
- X — Gasgevulde dubbelfazige gelijkrichtbuis
- Y — Hoog-vacuüm enkelfazige gelijkrichtbuis
- Z — Hoog-vacuüm dubbelfazige gelijkrichtbuis

Cijfers

Serie nummer

SPECIALE BUIZEN

(Betrouwbare, tril- en schokvaste buizen met lange levensduur, etc.)

Het systeem is hetzelfde als bij ontvang- en versterkbuisen, met dien verstande, dat de cijfers tussen de letters geplaatst zijn (b.v. E80F, E90CC).

KATHODESTRAALBUIZEN

Het typenummer bestaat uit twee hoofdletters gevolgd door twee cijfergroepen (b.v. DG 13-2, MW 31-16).

De eerste letter: geeft de methode van focussering en afbuiging aan.

De tweede letter: duidt de samenstelling van het scherm aan.

De eerste groep cijfers: geeft de afmetingen van het scherm aan.

De tweede groep cijfers: geeft het serienummer aan.

Hieronder volgt de verklaring van de letters en cijfers.

Eerste letter

D — Electrostatistische focussering en electrostatistische afbuiging in twee richtingen.

M — Electromagnetische focussing en electromagnetische afbuiging.

Tweede letter

B — Blauwachtige fluorescentie, korte nalichtingstijd (1% van de maximum helderheid na 0,01 sec.)

F — Oranje fluorescentie, zeer lange nalichtingstijd (0,1% van de maximum helderheid na 75 sec.)

G — Groene fluorescentie, middelmatige nalichtingstijd (1% van de maximum helderheid na 0,05 sec.)

N — Groene fluorescentie, lange nalichtingstijd (0,1% van de maximum helderheid na 6,4 sec.)

P — Twee-lagen scherm, blauwachtige fluorescentie met een korte nalichtingstijd gevolgd door groen-gele fluorescentie met een zeer lange nalichtingstijd (0,1% van de maximum helderheid na 80 sec.)

R — Groen-gele fluorescentie, lange nalichtingstijd (0,1% van de maximum helderheid na 20 sec.)

W — Witte fluorescentie, middelmatige nalichtingstijd.

Direct-zicht buizen: kleur temp. 8000 °K

Projectie buizen : kleur temp. 5500 °K

Eerste groep cijfers

Bij ronde buizen: schermdiameter in cm

Bij rechthoekige buizen: schermdiagonaal in cm

Tweede groep cijfers

Serienummer

ZENDBUIZEN

Het typenummer bestaat uit twee of drie hoofdletters, die worden gevolgd door twee groepen cijfers. Bij sommige typen wordt hier nog een

letter aan toegevoegd (b.v. TAL 12/10, DCG 4/1000 G).

Eerste letter: classificeert de buis.

Tweede letter: bepaalt het type gloeidraad of kathode.

Eerste groep cijfers: geeft de werkspanning aan.

Tweede groep cijfers: geeft het vermogen aan.

Toegevoegde letter: geeft het type buisvoet aan.

Hier volgt de verklaring van de letters en cijfers.

Eerste letter

D — Gelijkrichtbuis (inclusief roostergestuurde buizen)

M — Triode (L.F. versterkbuis of modulator)

P — Penthode

Q — Tetrode

T — Triode (H.F., L.F. of oscillatorbuis)

Voor buizen met een dubbel systeem, worden twee van de bovengenoemde letters gebruikt (b.v. QQC 04/15)

Tweede letter

(derde letter voor buizen met een dubbel systeem)

A — Direct verhitte wolfram gloeidraad

B — Direct verhitte gethorieerde wolfram gloeidraad

C — Direct verhitte gloeidraad met oxydelaagje

E — Indirect verhitte kathode met oxydelaagje

Derde letter

(vierde letter voor buizen met een dubbel systeem)

G — Kwikdamp-vulling

L — Geforceerde luchtkoeling

W — Waterkoeling

X — Xenon-vulling

Wanneer het typenummer geen letter bevat die de koeling aangeeft, is de buis luchtgekoeld.

Eerste groep cijfers

Gelijkrichtbuizen: De gelijkgerichte spanning in Kilovolts in een driefazig gelijkrichtercircuit met enkel-fazige gelijkrichtbuizen.

Zendbuizen: De globale maximum anodespanning in Kilovolts.

Tweede groep cijfers

Gelijkrichtbuizen: Het gelijkgerichte vermogen in Watts of Kilowatts in een driefazig gelijkrichtercircuit met enkel-fazige gelijkrichtbuizen.

H.F. Buizen: Het gelijkgerichte vermogen in Watts of Kilowatts in klasse C telegrafie-instelling.

Modulatorbuizen: Bij benadering de anode-dissipatie in Watts of Kilowatts.

Toegevoegde letters

E— Medium 7p. buisvoet

ED— Edison buisvoet

EG— Goliath buisvoet

G— Medium 4p. buisvoet

GB— Jumbo 4p. buisvoet

N— Medium 5p. buisvoet

P— P-buisvoet

FOTOBUIZEN

Het typenummer bestaat uit twee cijfers gevolgd door twee letters (b.v. 90AV)

Eerste cijfer : geeft het type buisvoet aan.

Tweede cijfer : geeft het serienummer aan.

Eerste letter : geeft het type kathode aan.

Tweede letter: classificeert de fotobuis.

Hieronder volgt de verklaring van de letters en cijfers.

Eerste cijfer

2 — Loctal 8p. buisvoet

- 3 — Octal 8p. buisvoet
- 5 — Speciale buisvoet
- 8 — Noval 9p. buisvoet
- 9 — Miniatuur 7p. buisvoet

Tweede cijfer

Serie nummer

Eerste letter

- A — Caesium-antimonium kathode (blauw gevoelig)
- C — Caesium-op-zilveroxyde kathode (rood gevoelig)

Tweede letter

- G — Gasgevuld
- V — Hoog-vacuum

SPANNINGSSTABILISATORBUIZEN

Het typenummer bestaat uit een getal gevolgd door een hoofdletter, een cijfer en in sommige gevallen een tweede hoofdletter (b.v. 85A2, 150C1K)

Getal: geeft brandspanning aan.

Eerste letter: geeft het stroombereik aan.

Cijfer: geeft serienummer aan.

Tweede letter: geeft het type buisvoet aan.

De verklaring van de letters en cijfers staat in de volgende tabellen.

Getal

Gemiddelde brandspanning in Volts

Eerste letter

- A — max. 8 mA
- B — max. 20 mA
- C — max. 40 mA
- D — max. 100 mA
- E — max. 200 mA

Cijfer

Serienummer

Tweede letter

- K — Octal 8p. buisvoet
- P — P-buisvoet

SYMBOLEN

Electroden

a	Anode
a_h	Hulpanode
a_{ign}	Ontsteekanode
d	Anode van detectiediode
D	Afbuigplaat of afbuigstaaf
f	Gloeidraad of weerstanddraad
f_c	Aftakking van gloeidraad of weerstanddraad
g	Rooster
<i>i.c.</i>	Inwendige verbinding (niet uitwendig verbinden)
k	Kathode
$k(i)$	Ingangskathode van U.H.F. buis
$k(o)$	Uitgangskathode van U.H.F. buis
l	Fluorescerend scherm
m	Uitwendig geleidende laag
s	Inwendig scherm
S	Schakelelement

Electroden systemen

D	Diode
H	Hexode of Heptode
P	Penthode
T	Triode

Spanningen

V_a	Anode spanning
V_{aarc}	Anodespanning bij geleidende buis
V_{aeff}	Effectieve waarde van anodewisselspanning
V_{ag}	Spanning tussen anode en rooster
V_{ah}	Hulpanodespanning
V_{aharc}	Hulpanodespanning bij geleidende buis
V_{ahign}	Ontsteekspanning van hulpanode
V_{ahp}	Piekwaarde van hulpanodespanning
V_{ainvp}	Piekwaarde van anodetegenspanning

V_{ap}	Piekwaarde van anodespanning
V_{arc}	Boogspanning
V_b	Voedingsspanning
V_{ba}	Voedingsspanning van anode
V_{bg_2}	Voedingsspanning van tweede rooster
V_{burn}	Brandspanning van spanningsstabilisatorbuis
ΔV_{burn}	Brandspanningsvariatie van stabilisatorbuis in stabiliseergebied
V_{contr}	Spanningsbereik van stroomregulatorbuis
V_d	Anodespanning van detectiediode
V_{dinv}	Anodetegenspanning van detectiediode
V_{dinvp}	Piekwaarde van anodetegenspanning van detectiediode
V_f	Gloeispanning
V_g	Roosterspanning
$V_g(arc)$	Roosterspanning bij geleidende buis
V_{ginvp}	Piekwaarde van roostertegenspanning
V_{gp}	Piekwaarde van roosterspanning
V_i	Ingangswisselspanning per buis
V_{ign}	Ontsteekspanning
V_{invp}	Piekwaarde van tegenspanning
V_k	Spanning tussen kathode en chassis
V_{kf}	Spanning tussen kathode en gloeidraad
V_{kfp}	Piekwaarde van spanning tussen kathode en gloeidraad
V_l	Spanning van fluorescerend scherm
V_o	Uitgangswisselspanning; afgegeven gelijkspanning
V_{osc}	Oscillatorspanning
V_{tr}	Secondaire transformatorspanning (onbelast)

Stromen

I_a	Anodestroom
I_{ah}	Hulpanodestroom
I_{amax}	Anodestroom bij max. uitsturing
I_{amin}	Anodestroom zonder uitsturing
I_{ap}	Piekwaarde van anodestroom
I_b	Voedingsstroom

I_{contr}	Stroombereik van spanningsstabilisatorbuis
I_d	Anodestroom van detectiediode
I_{dp}	Piekwaarde van anodestroom van detectiediode
I_f	Gloeistroom
I_g	Roosterstroom
$I_{g\text{max}}$	Roosterstroom bij max. uitsturing
$I_{g\text{min}}$	Roosterstroom zonder uitsturing
I_{gp}	Piekwaarde van roosterstroom
I_k	Kathodestroom
I_l	Stroom van fluorescerend scherm
I_o	Afgegeven gelijkstroom per buis
I_{rec}	Aanbevolen stroom
I_{reg}	Gestabiliseerde stroom van stroomregulatorbuis
I_{surge}	Stroomstoot

Vermogens

W_a	Max. anodedissipatie
W_{ig}	Stuurvermogen
W_o	Max. afgegeven vermogen

Weerstanden

R_a	Uitwendige anodeweerstand; Aanpassingsweerstand; Totale weerstand in anode van gelijkrichtbuis
R_{aa}	Aanpassingsweerstand tussen twee anoden van een balansversterker
R_{damping}	Dempingsweerstand
R_{eq}	Equivalentente ruisweerstand
R_E	Weerstand van thermo-element
R_f	Weerstand van gloeidraad
R_g	Uitwendige weerstand tussen rooster en kathode
R_g'	Uitwendige weerstand tussen rooster en kathode van volgende buis
R_i	Inwendige weerstand; wisselstroomweerstand van spanningsstabilisatorbuis
R_{id}	Inwendige weerstand van detectiediode
R_k	Weerstand tussen kathode en chassis

R_{kf}	Uitwendige weerstand tussen kathode en gloeidraad
R_t	Totale weerstand in anode van gelijkrichtbuis
R_1	Uitwendige weerstand tussen $+V_b$ en g_2
R_2	Uitwendige weerstand tussen g_2 en chassis
R_1	Uitwendige weerstand tussen $+V_b$ en g_2
R_3	Uitwendige weerstand tussen g_2 en k
R	Uitwendige weerstand tussen k en chassis

Capaciteiten

C_a	Anode-alle andere elementen behalve stuurrooster
C_{ag}	Anode-rooster, alle andere elementen geaard
C_{ak}	Anode-kathode, alle andere elementen geaard
C_{dk}	Anode-kathode van detectiediode, alle andere elementen geaard
C_{DD}	Afbuigplaat D — afbuigplaat D', alle andere elementen geaard
C_{filt}	Ingangscapaciteit van afvlakfilter
C_g	Rooster — alle andere electroden en schermen behalve anode

Diversen

d_{tot}	Totale vervorming
freq	Frequentie
g	Spanningsversterking per trap
m	Aantal anoden van gelijkrichtbuis
N	Gevoeligheid; afbuiging
S	Steilheid
S_c	Conversiesteilheid
S_{eff}	Effectieve steilheid van oscillatorbuis
S_0	Steilheid van oscillatortriode bij $V_g = 0$ V en $V_{osc} = 0$ V
t_{amb}	Omgevingstemperatuur
t_{Hg}	Temperatuur van gecondenseerd kwik (bij de kathode)
t_{rec}	Aanbevolen temperatuur
T_{av}	Integratietijd ter bepaling van gemiddelde waarden van stramen en spanningen

T_{dion}	Deionisatietijd
T_h	Opwarmtijd van buis
T_{ion}	Ionisatietijd
T_{imp}	Impulsduur
α	Schaduwhoek op fluorescerend scherm
η	Rendement
μ	Versterkingsfactor
$\mu_{g_2g_1}$	Versterkingsfactor van tweede rooster t.o.v. eerste rooster

Capaciteiten

C_{12}	Capaciteit tussen eerste rooster en buis
C_{23}	Capaciteit tussen tweede rooster en buis
C_{13}	Capaciteit tussen eerste en tweede rooster
C_{11}	Capaciteit van eerste rooster
C_{22}	Capaciteit van tweede rooster
C_{DD}	Capaciteit van deionisatie-elektrode
C_{1D}	Capaciteit van eerste rooster t.o.v. deionisatie-elektrode
C_{2D}	Capaciteit van tweede rooster t.o.v. deionisatie-elektrode
C_{D1}	Capaciteit van deionisatie-elektrode t.o.v. eerste rooster
C_{D2}	Capaciteit van deionisatie-elektrode t.o.v. tweede rooster

Diversen

λ_{tot}	Totale vervoering
λ_{p}	Prepactie
λ	Spanningsversterking per trap
m	Aantal anodes van versterkingsbuis
V	Gevoelheid; afwijking
S	Stijfheid
S_c	Convergenstijfheid
S_{eff}	Effectieve stijfheid van oscillatiebuis
S_c	Stijfheid van oscillatiebuis bij $V_{osc} = 0$ V en $V_{acc} = 0$ V
λ_{amp}	Oscillatieamplitude
λ_{th}	Temperatuur van secundaire kwik (bij de kathode)
λ_{ac}	Anodevoortemperatuur
λ_{av}	Integrale versterking van gemiddelde waarde van stroom en spanningen

Duitsche Republiek	Duitsche Republiek	Duitsche Republiek	Duitsche Republiek	Duitsche Republiek	Duitsche Republiek	Duitsche Republiek	Duitsche Republiek

K. A. BOHMS

Elburg — Elgerintweg 98

't Harde (Gelderland)

**ONTVANG-
EN VERSTERKBUIZEN**

VOORKEUR

Soort buis		Diode- penthode	Dubbele diode	Dubbele diode- triode Hoge μ	Drievoudige diode- triode Hoge μ	Dubbele diode- penthode Var. μ	Triode	Dubbele triode
Gloeidraadspanning of - stroom	1.4 V	DAF 91						
	4 V							
	5 V							
	6.3 V	EAF 42	EB 91	EBC 41	EABC 80	EBF 80	EC 92	ECC 40 ECC 81
	100 mA	UAF 42	UB 41	UBC 41	UABC 80	UBF 80	UC 92	
	300 mA		EB 91			EBF 80		ECC 81

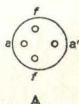
TYPEN

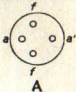
Triode- eind- penthode	Penthode			Mengbuis	Enneode	Afstem- indicator	Hoog- vacuum gelijkrichter
	Var. μ	Ruisarm	Eindbuis				
	DF 91	DF 92	DL 92 DL 94	DK 91 DK 92		DM 70	
							AZ 41
							CZ 32
ECL 80	EF 41 EF 85	EF 40 EF 80	EL 34 EL 41 EL 42 EL 81 EL 83	ECH 42 ECH 81	EQ 80	EM 34	EY 51 EY 80 EZ 80
	UF 41 UF 85	UF 80	UL 41	UCH 42 UCH 81		UM 4	UY 41 UY 42
ECL 80	EF 85	EF 80	PL 81 PL 82 PL 83	ECH 81			PY 81 PY 82

ONTVANG- EN VERSTERKBUIZEN

Type	Gloeidraad-gegevens	Toepassing	Spanningen Weerstanden	Stromen (mA)	Karakteristieke gegevens	Buisvoet- aansluitingen
58 CG 58 CV		Fotobuizen, zie blz. 162				
85 A1 85 A2		Spanningsreferentiebuizen, zie bladz. 164				
90 AG 90 AV 90 CG 90 CV		Fotobuizen, zie blz. 162				
100 E1 150 A1 150 B2 150 C1		Spanningsstabilisatorbuizen, zie blz. 164				
328		Gelijkrichtbuis voor de Industrie, zie bladz. 142				
329 340		Stroomregulatorbuizen, zie blz. 170				
354 367 451		Gelijkrichtbuizen voor de Industrie, zie bladz. 142				

452	Stroomregulatorbuis, zie blz 170
1002 1010	Gelijkrichtbuizen voor de Industrie, zie bladz. 142
1012	Stroomregulatorbuis, zie blz.170
1037 1039 1048 1049 1053 1054 1059 1063A 1069K 1089 1110 1119	Gelijkrichtbuizen voor de Industrie, zie bladz. 142
1120	Stroomregulatorbuis, zie blz. 170
1129 1138 1163 1164 1173 1174 1176 1177	Gelijkrichtbuizen voor de Industrie, zie bladz. 142

Type	Gloeidraad-gegevens	Toepassing	Spanningen Weerstanden	Stromen (mA)	Karakteristieke gegevens	Buisvoet- aansluitingen
1331	Stroomregulatorbuis, zie blz. 170					
1533 1534 1543 1544 1553 1554	Gelijkrichtbuizen voor de Industrie, zie bladz. 142					
1561 Dubbel- fazige gelijk- richtbuis	$V_f = 4 \text{ V}$ $I_f = 2 \text{ A}$	Gelijkrichter	$V_{tr} = 2 \times 500 \text{ V}$ $= 2 \times 400 \text{ V}$ $= 2 \times 300 \text{ V}$	$I_o = \text{max. } 120$ $= \text{max. } 140$ $= \text{max. } 160$	$C_{\text{filt}} < 60 \mu\text{F}$ $R_t = \text{min. } 50 \Omega$ $C_{\text{filt}} > 60 \mu\text{F}$ $R_t = \text{min. } 100 \Omega$	
1564 1701 1710 1725A 1729 1738 1749A 1768 1788	Gelijkrichtbuizen voor de Industrie, zie bladz. 142					

1805 Dubbel- fazige gelijk- richtbuis	$V_f = 4 \text{ V}$ $I_f = 1 \text{ A}$	Gelijkrichter	$V_{tr} = 2 \times 500 \text{ V}$ $= 2 \times 300 \text{ V}$	$I_o = \text{max. } 60$ $= \text{max. } 100$		
1838 1849 1859	Gelijkrichtbuizen voor de Industrie, zie bladz. 142					
1860 1824 1870 1842 1838 1833 1830						
1843 1841 1819 1807						

19 ³⁾ Aanduiding van de buisvoet, voor bijbehorende buishouder zie bladz. 175

Type	Gloeidraad- gegevens	Toepassing	Spanningen Weerstanden	Stromen (mA)	Karakteristieke gegevens	Buisvoet- aansluitingen
1904 1910 1941 1945		Stroomregulatorbuizen, zie blz. 170				
3530 3533 3538 3545 3546 3554		Fotobuizen, zie blz. 162				
4060 4065 4066		Electrometerbuizen, zie bladz. 168				
4152		Bimetaalrelais, zie bladz. 169				
4349 4369 4370 4371 4372 4373		Overspanningsveiligheden, zie blz. 166				



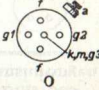
4378
4379
4380
4383
4390
4397

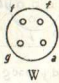

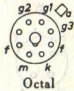
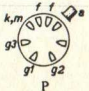
182 75
200 75
332 A

W_o = 3 × 10
W_o = 3 × 0.2
V_o = 30 A
V_o = 3 F0

927 b
b
83
200
200 A

Overspanningsveiligheden, zie blz. 166

4624 Eindtriode	$V_f = 7.2 \text{ V}$ $I_f = 1.1 \text{ A}$	Klasse A eindversterker	$V_a = 800 \text{ V}$ $V_g = -90 \text{ V}$	$I_a = 35$	$S = 2.3 \text{ mA/V}$ $R_i = 3 \text{ k}\Omega$ $\mu = 7$ $R_a = 11 \text{ k}\Omega$ $W_o = 9 \text{ W}$ $W_a = 32 \text{ W}$	 W
4630 Triode	$V_f = 4.2 \text{ V}$ $I_f = 0.25 \text{ A}$	Voorversterker	$V_a = 130 \text{ V}$ $R_a = 6 \text{ k}\Omega$ $V_g = -8.4 \text{ V}$	$I_a = 8.5$	$S = 1.3 \text{ mA/V}$ $R_i = 5.5 \text{ k}\Omega$ $g = 1.3 \text{ N}$ $W_a = 1.1 \text{ W}$	 Spec. 4 p. (3)
4631 Triode	$V_f = 2 \text{ V}$ $I_f = 0.25 \text{ A}$	Voorversterker	$V_a = 130 \text{ V}$ $R_a = 0.6 \text{ M}\Omega$ $V_g = -1.5 \text{ V}$	$I_a = 0.7$	$S = 0.5 \text{ mA/V}$ $R_i = 55 \text{ k}\Omega$ $g = 3.24 \text{ N}$ $W_a = 1.1 \text{ W}$	
4636 Penthode	$V_f = 4 \text{ V}$ $I_f = 1.1 \text{ A}$	Karakteristieke gegevens	$V_a = 200 \text{ V}$ $V_{g2} = 100 \text{ V}$ $V_{g1} = -2 \text{ V}$	$I_a = 3$ $I_{g2} = 1.2$	$S = 2.3 \text{ mA/V}$ $R_i = 2.2 \text{ M}\Omega$ $C_{ag1} < 6 \text{ mpF}$	

Type	Gloeidraad-gegevens	Toepassing	Spanningen Weerstanden	Stromen (mA)	Karakteristieke gegevens	Buisvoet- aansluitingen
4641 Eind- triode	$V_f = 4\text{ V}$ $I_f = 2.1\text{ A}$	Karakteristieke gegevens	$V_a = 1500\text{ V}$ $V_{g1} = -140\text{ V}$	$I_a = 15$	$S = 2\text{ mA/V}$ $R_i = 4.6\text{ k}\Omega$ $\mu = 10$ $W_a = 25\text{ W}$	
4652 = AX 1 Gasgevulde dubbel- fazige gelijkricht- buis	$V_f = 4\text{ V}$ $I_f = 2.4\text{ A}$	Gelijkrichter	$V_{tr} = 2 \times 500\text{ V}$ $V_{arc} = \text{max. } 15\text{ V}$	$I_o = \text{max. } 125$	$R_t = \text{min. } 200\Omega$ $C_{filt} = \text{max. } 64\mu\text{F}$ $R_f = \text{min. } 150\Omega$ $C_{filt} = \text{max. } 32\mu\text{F}$ $R_t = \text{min. } 100\Omega$ $C_{filt} = \text{max. } 16\mu\text{F}$	
4654 Eind- penthode	$V_f = 6.3\text{ V}$ $I_f = 1.35\text{ A}$	Klasse A eindversterker	$V_a = 250\text{ V}$ $V_{g2} = 275\text{ V}$ $R_k = 175\Omega$	$I_a = 72$ $I_{g2} = 8$	$S = 8.5\text{ mA/V}$ $R_i = 22\text{ k}\Omega$ $R_a = 3.5\text{ k}\Omega$ $W_o = 9.2\text{ W}$ $W_a = 18\text{ W}$	
		Klasse AB balans- versterker	$V_b = 375\text{ V}$ $R_{g2} = 500\Omega$ $R_k = 195\Omega$	$I_a \text{ min} = 2 \times 53$ $I_a \text{ max} = 2 \times 67$ $I_{g2 \text{ min}} = 2 \times 6.5$ $I_{g2 \text{ max}} = 2 \times 16$	$R_{aa} = 5\text{ k}\Omega$ $W_o = 26\text{ W}$	

4657 Triode	$V_f = 4\text{ V}$ $I_f = 1.0\text{ A}$	Karakteristieke gegevens	$V_a = 200\text{ V}$ $V_g = -1.5\text{ V}$	$I_a =$	$S = 2.2\text{ mA/V}$ $R_i = 45\text{ k}\Omega$ $\mu = 99$ $C_{ag} < 3\text{ pF}$	
4662 Neon afstem-indicator		Afstem-indicator	$V_a = 150-170\text{ V}$ $V_{ah} = 165-190\text{ V}$	$I_a = 2$ $I_{ah} = 0.04-0.05$		 Spec. 4 p. (1)
4671 4672	U.H.F. buizen, zie bladz. 116					
4673 H.F. penthode	$V_f = 4\text{ V}$ $I_f = 1.35\text{ A}$	H.F. versterker	$V_a = 250\text{ V}$ $V_{g2} = 200\text{ V}$ $V_{g1} = -2.5\text{ V}$	$I_a = 8$ $I_{g2} = 1.5$	$S = 5\text{ mA/V}$ $R_i > 1.5\text{ M}\Omega$ $C_{ag1} < 12\text{ mpF}$	
4682 Eind-penthode	$V_f = 4\text{ V}$ $I_f = 1.0\text{ A}$	Klasse AB balans-versterker	$V_a = 375\text{ V}$ $V_{g2} = 250\text{ V}$ $R_k = 540\ \Omega$	$I_a \text{ min} = 2 \times 24$ $I_a \text{ max} = 2 \times 29$ $I_{g2} \text{ min} = 2 \times 3.5$ $I_{g2} \text{ max} = 2 \times 4$	$R_{aa} = 15\text{ k}\Omega$ $W_o = 14\text{ W}$	
		Klasse B balans-versterker	$V_a = 375\text{ V}$ $V_{g2} = 250\text{ V}$ $V_{g1} = -32\text{ V}$	$I_a \text{ min} = 2 \times 20$ $I_a \text{ max} = 2 \times 45$ $I_{g2} \text{ min} = 2 \times 3$ $I_{g2} \text{ max} = 2 \times 5.5$	$R_{aa} = 9\text{ k}\Omega$ $W_o = 19\text{ W}$	

Type

Gloeidraad-
gegevens

Toepassing

Spanningen
Weerstanden

Stromen (mA)

Karakteristieke
gegevensBuisvoet-
aansluitingen

4683

Eind-
triode

$$V_f = 4 \text{ V}$$

$$I_f = 0.95 \text{ A}$$

 Klasse AB
balans-
versterker

 Klasse B
balans-
versterker

$$V_a = 350 \text{ V}$$

$$R_k = 850 \Omega$$

$$V_a = 350 \text{ V}$$

$$V_g = -75 \text{ V}$$

$$I_a \text{ min} = 2 \times 43$$

$$I_a \text{ max} = 2 \times 46$$

$$I_a \text{ min} = 2 \times 35$$

$$I_a \text{ max} = 2 \times 70$$

$$R_{aa} = 8 \text{ k}\Omega$$

$$W_o = 15.6 \text{ W}$$

$$R_{aa} = 5 \text{ k}\Omega$$

$$W_o = 20 \text{ W}$$



4687

Spanningsstabilisatorbuis, zie blz. 164 5

4688

Eind-
penthode

$$V_f = 4 \text{ V}$$

$$I_f = 2 \text{ A}$$

Klasse AB
balans-
versterker

$$V_a = 375 \text{ V}$$

$$V_{g2} = 275 \text{ V}$$

$$R_k = 165 \Omega$$

$$I_a \text{ min} = 2 \times 48$$

$$I_a \text{ max} = 2 \times 62$$

$$I_{g2} \text{ min} = 2 \times 5$$

$$I_{g2} \text{ max} = 2 \times 9$$

$$R_{aa} = 6.5 \text{ k}\Omega$$

$$W_o = 28.5 \text{ W}$$



4689

Eind-
penthode

$$V_f = 6.3 \text{ V}$$

$$I_f = 1.35 \text{ A}$$

Klasse AB
balans-
versterker

$$V_a = 375 \text{ V}$$

$$V_{g2} = 275 \text{ V}$$

$$R_k = 165 \Omega$$

$$I_a \text{ min} = 2 \times 48$$

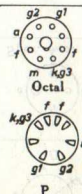
$$I_a \text{ max} = 2 \times 62$$

$$I_{g2} \text{ min} = 2 \times 5$$

$$I_{g2} \text{ max} = 2 \times 9$$

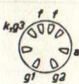
$$R_{aa} = 6.5 \text{ k}\Omega$$

$$W_o = 28.5 \text{ W}$$



4690

Thyratron, zie bladz. 147

4694 Eind- penthode	$V_f = 6.3 \text{ V}$ $I_f = 0.9 \text{ A}$	Klasse AB balans- versterker	$V_a = 375 \text{ V}$ $V_{g2} = 250 \text{ V}$ $R_k = 145 \Omega$	$I_a \text{ min} = 2 \times 24$ $I_a \text{ max} = 2 \times 30$ $I_{g2 \text{ min}} = 2 \times 2.5$ $I_{g2 \text{ max}} = 2 \times 5$	$R_{aa} = 13 \text{ k}\Omega$ $W_o = 12 \text{ W}$	 <p>P</p>
4699 N Eind- penthode	$V_f = 6.3 \text{ V}$ $I_f = 1.5 \text{ A}$	Klasse A eindversterker	$V_a = 250 \text{ V}$ $V_{g2} = 250 \text{ V}$ $R_k = 90 \Omega$	$I_a = 72$ $I_{g2} = 8$	$S = 14.5 \text{ mA/V}$ $R_i = 20 \text{ k}\Omega$ $R_a = 3.5 \text{ k}\Omega$ $W_o = 8 \text{ W}$ $W_a = 18 \text{ W}$	
		Klasse AB balans- versterker	$V_b = 375 \text{ V}$ $R_{g2}^1) = 700 \Omega$ $R_k = 125 \Omega$	$I_a \text{ min} = 2 \times 52$ $I_a \text{ max} = 2 \times 64$ $I_{g2 \text{ min}} = 2 \times 6.5$ $I_{g2 \text{ max}} = 2 \times 17$	$R_{aa} = 6 \text{ k}\Omega$ $W_o = 27.5 \text{ W}$	
5854	Beeldiconoscoop, zie blz 173					
7475 13201	Spanningsstabilisatorbuizen, zie blz. 164					
18004 18040 18042 18045 18046	Telefoniebuizen, zie bladz. 110					
18120 18121 18130	Beeldomvormers, zie bladz. 172					

¹⁾ Gemeenschappelijke schermrooster weerstand.

Type	Gloeidraad-gegevens	Toepassing	Spanningen Weerstanden	Stromen (mA)	Karakteristieke gegevens	~ Buisvoet- aansluitingen
18500 18501 18502 18513 18514		Stralingstelbuizen, zie bladz. 173				
20610 tot 28216		Röntgenbuizen, zie bladz. 152				
55030 55032 55035 55040 55085-01 55085-02 55085-03 55085-04 55100-01 55100-02 55100-03 55100-04 55230		Magnetrons, zie bladz. 174				
55390 55395		Klystrons, zie bladz. 174				
56000		Hoogvacuum diode, zie bladz. 174				

56030
56031
56085
56100

TR en ATR schakelaars, zie bladz.174

VB 3

VBT 1

VBC 1

VB 3

1abc

$N = 3A$
 $N = 4A$

$N = 3A$
 $N = 4A$

$N = 3A$
 $N = 4A$

$N = 3A$
 $N = 4A$

Коллектор
Двигатель

HE 9 WE

Коллектор
Двигатель

Коллектор
Двигатель

HE 9 WE

Коллектор
Двигатель

$N^1 = 100A$
 $N^2 = 50A$
 $N^3 = 100A$
 $N^4 = 50A$

$N^1 = 100A$
 $N^2 = 50A$

$N^1 = 100A$
 $N^2 = 50A$

Коллектор
Двигатель

$I^1 = 11$
 $I^2 = 3$

$I^1 = 11$
 $I^2 = 3$

$I^1 = 11$
 $I^2 = 3$

$I^1 = 11$
 $I^2 = 3$

Коллектор
Двигатель

$K = 2$
 $K = 2$

$K = 2$
 $K = 2$

$K = 2$
 $K = 2$


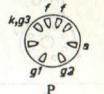
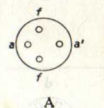
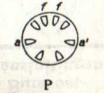
$K = 2$
 $K = 2$

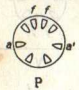
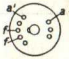
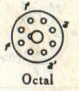

Коллектор
Двигатель






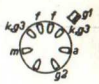

Коллектор
Двигатель


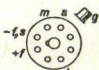
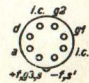
Type	Gloeidraad-gegevens	Toepassing	Spanningen Weerstanden	Stromen (mA)	Karakteristieke gegevens	Buisvoet- aansluitingen
AB 2 Dubbele diode	$V_f = 4\text{ V}$ $I_f = 0.65\text{ A}$	Detector en A.V.C.	$V_{d\text{ invp}} =$ max. 420 V	$I_d =$ max. 0.8		
ABC 1 Dubbele diode- triode	$V_f = 4\text{ V}$ $I_f = 0.65\text{ A}$	Karakteristieke gegevens	$V_a = 250\text{ V}$ $V_g = -7\text{ V}$	$I_a = 4$	$S = 2.0\text{ mA/V}$ $R_i = 13.5\text{ k}\Omega$ $\mu = 27$	
ABL 1 Dubbele diode- eind- penthode	$V_f = 4\text{ V}$ $I_f = 2.4\text{ A}$	Klasse A eindversterker	$V_a = 250\text{ V}$ $V_{g2} = 250\text{ V}$ $V_{g1} = -6\text{ V}$ $R_k = 150\ \Omega$	$I_a = 36$ $I_{g2} = 4$	$S = 9\text{ mA/V}$ $R_i = 50\text{ k}\Omega$ $R_a = 7\text{ k}\Omega$ $W_o = 4.5\text{ W}$ $W_a = 9\text{ W}$	
AF 3 Variabele mu penthode	$V_f = 4\text{ V}$ $I_f = 0.65\text{ A}$	H.F. of M.F. versterker	$V_a = 250\text{ V}$ $V_{g2} = 100\text{ V}$ $V_{g1} = -3\text{ V}$	$I_a = 8$ $I_{g2} = 2.6$	$S = 1.8\text{ mA/V}$ $R_i = 1.2\text{ M}\Omega$ $C_{ag1} < 3\text{ mpF}$	
AF 7, H.F. penthode	$V_f = 4\text{ V}$ $I_f = 0.65\text{ A}$	H.F. versterker	$V_a = 250\text{ V}$ $V_{g2} = 100\text{ V}$ $V_{g1} = -2\text{ V}$	$I_a = 3$ $I_{g2} = 1.1$	$S = 2.1\text{ mA/V}$ $R_i = 2\text{ M}\Omega$	

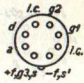

AK 2 Octode	$V_f = 4\text{ V}$ $I_f = 0.65\text{ A}$	Oscillator- mengbuis	$V_a = 250\text{ V}$ $V_{g3+g5} = 70\text{ V}$ $V_{g4} = -1.5\text{ V}$ $V_{g2} = 90\text{ V}$ $R_{g1} = 50\text{ k}\Omega$	$I_a = 1.6$ $I_{g3+g5} = 3.8$ $I_{g2} = 2.0$ $I_{g1} = 0.19$	$S_c = 0.6\text{ mA/V}$ $R_i = 1.6\text{ M}\Omega$	
AL 4 Eind- penthode	$V_f = 4\text{ V}$ $I_f = 1.75\text{ A}$	Klasse A eindversterker	$V_a = 250\text{ V}$ $V_{g2} = 250\text{ V}$ $V_{g1} = -6\text{ V}$ $R_k = 150\ \Omega$	$I_a = 36$ $I_{g2} = 4$	$S = 9\text{ mA/V}$ $R_i = 50\text{ k}\Omega$ $R_a = 7\text{ k}\Omega$ $W_o = 4.5\text{ W}$ $W_a = 9\text{ W}$	
AX 1	$V = 52\text{ V}$ $= 4652$					
AX 50 Gasgevulde dubbel- fazige gelijkricht- buis	$V_f = 4\text{ V}$ $I_f = 3.75\text{ A}$	Gelijkrichter	$V_{tr} = 2 \times 500\text{ V}$ $V_{arc} = \text{max. } 15\text{ V}$	$I_o = \text{max. } 275$	$C_{filt} = \text{max. } 64\ \mu\text{F}$ $R_t = \text{min. } 200\ \Omega$ $C_{filt} = \text{max. } 32\ \mu\text{F}$ $R_t = \text{min. } 150\ \Omega$ $C_{filt} = \text{max. } 16\ \mu\text{F}$ $R_t = \text{min. } 100\ \Omega$	
AZ 1 Dubbelfazige gelijkricht- buis	$V_f = 4\text{ V}$ $I_f = 1.1\text{ A}$	Gelijkrichter	$V_{tr} = 2 \times 500\text{ V}$ $= 2 \times 400\text{ V}$ $= 2 \times 300\text{ V}$	$I_o = \text{max. } 60$ $= \text{max. } 75$ $= \text{max. } 100$	$C_{filt} = \text{max. } 60\ \mu\text{F}$	

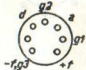
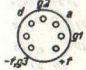
Type	Gloeidraad-gegevens	Toepassing	Spanningen Weerstanden	Stromen (mA)	Karakteristieke gegevens	Buisvoet- aansluitingen
AZ 4 Dubbel- fazige gelijkricht- buis	$V_f = 4\text{ V}$ $I_f = 2.3\text{ A}$	Gelijkrichter	$V_{tr} = 2 \times 500\text{ V}$ $= 2 \times 400\text{ V}$ $= 2 \times 300\text{ V}$	$I_o = \text{max. } 120$ $= \text{max. } 150$ $= \text{max. } 200$	$C_{\text{filt}} = \text{max. } 60\ \mu\text{F}$	 P
AZ 11 Dubbel- fazige gelijkricht- buis	$V_f = 4\text{ V}$ $I_f = 1.1\text{ A}$	Gelijkrichter	$V_{tr} = 2 \times 500\text{ V}$ $= 2 \times 400\text{ V}$ $= 2 \times 300\text{ V}$	$I_o = \text{max. } 60$ $= \text{max. } 75$ $= \text{max. } 100$	$C_{\text{filt}} = \text{max. } 60\ \mu\text{F}$	 Y
AZ 12 Dubbel- fazige gelijkricht- buis	$V_f = 4\text{ V}$ $I_f = 2.3\text{ A}$	Gelijkrichter	$V_{tr} = 2 \times 500\text{ V}$ $= 2 \times 400\text{ V}$ $= 2 \times 300\text{ V}$	$I_o = \text{max. } 120$ $= \text{max. } 150$ $= \text{max. } 200$	$C_{\text{filt}} = \text{max. } 60\ \mu\text{F}$	 Octal
AZ 31 Dubbel- fazige gelijkricht- buis	$V_f = 4\text{ V}$ $I_f = 1.1\text{ A}$	Gelijkrichter	$V_{tr} = 2 \times 500\text{ V}$ $= 2 \times 400\text{ V}$ $= 2 \times 300\text{ V}$	$I_o = \text{max. } 60$ $= \text{max. } 75$ $= \text{max. } 100$	$C_{\text{filt}} = \text{max. } 60\ \mu\text{F}$	 Rimlock
AZ 41 Dubbel- fazige gelijkricht- buis	$V_f = 4\text{ V}$ $I_f = 0.72\text{ A}$	Gelijkrichter	$V_{tr} = 2 \times 500\text{ V}$ $= 2 \times 400\text{ V}$ $= 2 \times 300\text{ V}$	$I_o = \text{max. } 60$ $= \text{max. } 60$ $= \text{max. } 70$	$C_{\text{filt}} = \text{max. } 50\ \mu\text{F}$	

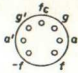

AZ 50 Dubbel- fazige gelijkricht- buis	$V_f = 4 \text{ V}$ $I_f = 3 \text{ A}$	Gelijkrichter	$V_{tr} = 2 \times 500 \text{ V}$ $= 2 \times 400 \text{ V}$ $= 2 \times 300 \text{ V}$	$I_o = \text{max. } 250$ $= \text{max. } 275$ $= \text{max. } 300$	$C_{filt} = \text{max. } 64 \mu\text{F}$ $R_t = \text{min. } 200 \Omega$ $C_{filt} = \text{max. } 32 \mu\text{F}$ $R_t = \text{min. } 150 \Omega$ $C_{filt} = \text{max. } 16 \mu\text{F}$ $R_t = \text{min. } 100 \Omega$	 A
C 8 C 10 C 12	Stroomregulatorbuisen, zie p. 170					
CBL 1 Dubbele diode-eind- penthode	$V_f = 44 \text{ V}$ $I_f = 0.2 \text{ A}$	Klasse A eindversterker	$V_a = 200 \text{ V}$ $V_{g2} = 200 \text{ V}$ $V_{g1} = -8.5 \text{ V}$ $R_k = 170 \Omega$ $V_a = 100 \text{ V}$ $V_{g2} = 100 \text{ V}$ $V_{g1} = -4 \text{ V}$ $R_k = 170 \Omega$	$I_a = 45$ $I_{g2} = 6$ $I_a = 21$ $I_g = 3$	$S = 8 \text{ mA/V}$ $R_i = 40 \text{ k}\Omega$ $R_o = 4.5 \text{ k}\Omega$ $W_o = 4 \text{ W}$ $W_a = 9 \text{ W}$ $S = 6.5 \text{ mA/V}$ $R_i = 48 \text{ k}\Omega$ $R_o = 4.5 \text{ k}\Omega$ $W_o = 0.85 \text{ W}$	 P

Type	Gloeidraad-gegevens	Toepassing	Spanningen Weerstanden	Stromen (mA)	Karakteristieke gegevens	Buisvoet-aansluitingen
CF 50 L.F. penthode	$V_f = 30\text{ V}$ $I_f = 0.2\text{ A}$	Karakteristieke gegevens	$V_a = 250\text{ V}$ $V_{g2} = 100\text{ V}$ $V_{g1} = -2\text{ V}$	$I_a = 1.5$ $I_{g2} = 0.3$	$S = 3.3\text{ mA/V}$ $R_i = 2.5\text{ M}\Omega$ $\mu_{g2g1} = 45$	
		L.F. versterker	$V_b = 250\text{ V}$ $R_a = 0.3\text{ M}\Omega$ $R_{g2} = 0.9\text{ M}\Omega$ $R_k = 2\text{ k}\Omega$	$I_a = 0.7$ $I_{g2} = 0.18$	$g = 315$	
			$V_b = 450\text{ V}$ $R_a = 0.3\text{ M}\Omega$ $R_{g2} = 1\text{ M}\Omega$ $V_{g1} = -2\text{ V}$ $= -10\text{ V}$ $= -12\text{ V}$	$I_a = 1.3$ $= 0.22$ $= 0.04$	$g = 395$ $= 90$ $= 7$	
CY 2 Dubbele enzelfazige gelijkrichtbuis	$V_f = 30\text{ V}$ $I_f = 0.2\text{ A}$	Gelijkrichter (kathoden en anoden doorverbonden)	$V_i = 250\text{ V}$	$I_o = \text{max. } 120$	$C_{filt} = 32/16\mu\text{F}$ $R_t = \text{min. } 125/75\Omega$	
		Spanningsverdobbelaar	$V_i = 127\text{ V}$	$I_o = \text{max. } 60$	$C_{filt} = \text{max. } 32\mu\text{F}$ $R_t = 0\Omega$	

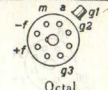
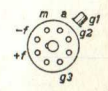

Type	Gloeidraad-gegevens	Toepassing	Spanningen Weerstanden	Stromen (mA)	Karakteristieke gegevens	Buisvoet- aansluitingen
DA 90 H.F. diode	$V_f = 1.4V$ $I_f = 0.15A$	Detectie	$V_{dinvp} =$ max. 330 V	$I_d = \text{max. } 0.5$ $I_{dp} = \text{max. } 5$	$V_{kf} = \text{max. } 140V$	 Miniatuur
DAC 21 Diode- triode	$V_f = 1.4V$ $I_f = 25mA$	*Karakteristieke gegevens	$V_a = 120V$ $V_g = 0V$	$I_a = 0.75$	$S = 0.4 \text{ mA/V}$ $R_i = 0.1 \text{ M}\Omega$ $\mu = 40$	 Octal
			$V_a = 90V$ $V_g = 0V$	$I_a = 0.45$	$S = 0.3 \text{ mA/V}$ $R_i = 0.13 \text{ M}\Omega$ $\mu = 40$	
		L.F. versterker	$V_b = 120V$ $V_g = 0V$ $R_a = 0.5 \text{ M}\Omega$	$I_a = 0.12$	$g = 25$	
			$V_b = 90V$ $V_g = 0V$ $R_a = 0.5 \text{ M}\Omega$	$I_a = 0.08$	$g = 23$	
DAF 40 Diode- penthode	$V_f = 1.4V$ $I_f = 25mA$	H.F. of M.F. versterker	$V_a = 120V$ $R_{g2} = 0.27 \text{ M}\Omega$ $V_{s1} = 0V$	$I_a = 0.85$ $I_{s1} = 0.20$	$S = 0.7 \text{ mA/V}$ $R_i = 2.6 \text{ M}\Omega$ $C_{ag1} < 7 \text{ pF}$	 Rimlock
			$V_a = 67.5V$ $V_{g2} = 67.5V$ $V_{s1} = 0V$	$I_a = 0.85$ $I_{s2} = 0.20$	$S = 0.7 \text{ mA/V}$ $R_i = 1.6 \text{ M}\Omega$	

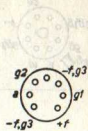
DB			$V_b = 150 \text{ V}$ $R_a = 0.47 \text{ M}\Omega$ $R_{g2} = 2.2 \text{ M}\Omega$ $V_{g1} = 0 \text{ V}$	$I_a = 0.24$ $I_{g2} = 0.05$	$g = 112$	
DAF 41 Diode- penthode	$V_f = 1.4 \text{ V}$ $I_f = 25 \text{ mA}$	L.F. versterker	$V_b = 90 \text{ V}$ $R_a = 0.47 \text{ M}\Omega$ $R_{g2} = 2.2 \text{ M}\Omega$ $V_{g1} = 0 \text{ V}$	$I_a = 0.13$ $I_{g2} = 0.03$	$g = 83$	 <p>Rimlock</p>
			$V_b = 67.5 \text{ V}$ $R_a = 0.22 \text{ M}\Omega$ $R_{g2} = 0.82 \text{ M}\Omega$ $V_{g1} = 0 \text{ V}$	$I_a = 0.17$ $I_{g2} = 0.04$	$g = 60$	
DAF 91 Diode- penthode	$V_f = 1.4 \text{ V}$ $I_f = 50 \text{ mA}$	Karakteristieke gegevens	$V_a = 67.5 \text{ V}$ $V_{g2} = 67.5 \text{ V}$ $V_{g1} = 0 \text{ V}$	$I_a = 1.6$ $I_{g2} = 0.4$	$S = 0.62 \text{ mA/V}$ $R_i = 0.6 \text{ M}\Omega$	 <p>Miniatuur</p>
		L.F. versterker	$V_b = 90 \text{ V}$ $R_a = 1 \text{ M}\Omega$ $R_{g2} = 3.9 \text{ M}\Omega$ $V_{g1} = 0 \text{ V}$ $R_{g1} = 10 \text{ M}\Omega$	$I_b = 0.09$	$g = 60$	

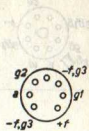
Type	Gloeidraad-gegevens	Toepassing	Spanningen Weerstanden	Stromen (mA)	Karakteristieke gegevens	Buisvoet- aansluitingen
DAF 91 (vervolg)	$V_f = 1.4 \text{ V}$ $I_f = 50 \text{ mA}$	L.F. versterker	$V_b = 67.5 \text{ V}$ $R_a = 1 \text{ M}\Omega$ $R_{g2} = 3.9 \text{ M}\Omega$ $V_{g1} = 0 \text{ V}$ $R_{g1} = 10 \text{ M}\Omega$	$I_b = 0.06$	$g = 55$	
			$V_b = 45 \text{ V}$ $R_a = 1 \text{ M}\Omega$ $R_{g2} = 3.9 \text{ M}\Omega$ $V_{g1} = 0 \text{ V}$ $R_{g1} = 10 \text{ M}\Omega$	$I_b = 0.04$	$g = 42$	Miniatuur
DAF 96 ¹⁾ Diode- penthode	$V_f = 1.4 \text{ V}$ $I_f = 25 \text{ mA}$	L.F. versterker	$V_b = 63.5 \text{ V}$ $R_a = 1 \text{ M}\Omega$ $R_{g2} = 3.3 \text{ M}\Omega$ $R_{g1} = 10 \text{ M}\Omega$ $R_{g1} = 2 \text{ M}\Omega$	$I_a = 0.032$ $I_{g2} = 0.009$	$g = 52$	
			$V_b = 85 \text{ V}$ $R_a = 1 \text{ M}\Omega$ $R_{g2} = 3.3 \text{ M}\Omega$ $R_{g1} = 10 \text{ M}\Omega$ $R_{g1} = 2 \text{ M}\Omega$	$I_a = 0.05$ $I_{g2} = 0.015$	$g = 62$	
DB	Kathodestraalbuizen, zie bladz. 120					

DC 80	U.H.F. buis, zie bladz. 116					
DCC 90 Dubbele triode	$V_f = 1.4 \text{ V}$ $I_f = 0.22 \text{ A}$	Karakteristieke gegevens (per systeem)	$V_a = 90 \text{ V}$ $V_g = -2.5 \text{ V}$	$I_a = 3.7$	$S = 1.8 \text{ mA/V}$ $R_i = 8.3 \text{ k}\Omega$ $\mu = 15$	
		H.F. balans-versterker of oscillator (intermitterend bedrijf)	$V_a = 135 \text{ V}$ $V_{g1} = -20 \text{ V}$ $V_{ip} = 2 \times 45 \text{ V}$	$I_a = 2 \times 15$ $I_g = 2 \times 2.5$	freq. = 40 MHz $W_o = 2 \text{ W}$	
DCG DCX	Gelijkrichtbuizen voor Zendoeleinden, zie bladz. 138					
DF 21 Penthode	$V_f = 1.4 \text{ V}$ $I_f = 25 \text{ mA}$	H.F. of M.F. versterker	$V_a = 120 \text{ V}$ $R_{g2} = 120 \text{ k}\Omega$ $V_{g1} = 0 \text{ V}$	$I_a = 1.2$ $I_{g2} = 0.25$	$S = 0.7 \text{ mA/V}$ $R_i = 2.5 \text{ M}\Omega$ $C_{ag1} < 6 \text{ mpF}$	
			$V_a = 90 \text{ V}$ $V_{g2} = 90 \text{ V}$ $V_{g1} = 0 \text{ V}$	$I_a = 1.2$ $I_{g2} = 0.25$	$S = 0.7 \text{ mA/V}$ $R_i = 2 \text{ M}\Omega$	
		L.F. versterker	$V_b = 120 \text{ V}$ $R_a = 0.5 \text{ M}\Omega$ $V_{g2} = 2 \text{ M}\Omega$ $R_{g1} = -0.5 \text{ V}$	$I_a = 0.15$ $I_{g2} = 0.03$	$g = 85$	

¹⁾ Voorlopige gegevens.

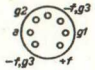
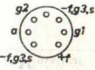

Type	Gloeidraad-gevens	Toepassing	Spanningen Weerstanden	Stromen (mA)	Karakteristieke gegevens	Buisvoet- aansluitingen
DF 21 (vervolg)	$V_f = 1.4 \text{ V}$ $I_f = 25 \text{ mA}$	L.F. versterker	$V_b = 90 \text{ V}$ $R_a = 0.5 \text{ M}\Omega$ $R_{g2} = 2 \text{ M}\Omega$ $V_{g1} = -0.5 \text{ V}$	$I_a = 0.10$ $I_{g2} = 0.02$	$g = 69$	 Octal
DF 22 Variabele mu penthode	$V_f = 1.4 \text{ V}$ $I_f = 50 \text{ mA}$	H.F. of M.F. versterker	$V_a = 120 \text{ V}$ $R_{g2} = 0.1 \text{ M}\Omega$ $V_{g1} = -1.5 \text{ V}$	$I_a = 1.4$ $I_{g2} = 0.3$	$S = 1.1 \text{ mA/V}$ $R_i = 2.5 \text{ M}\Omega$ $C_{ag1} < 5 \text{ mpF}$	 Octal
			$V_a = 90 \text{ V}$ $V_{g2} = 90 \text{ V}$ $V_{g1} = -1.5 \text{ V}$	$I_a = 1.4$ $I_{g2} = 0.3$	$S = 1.1 \text{ mA/V}$ $R_i = 1.5 \text{ M}\Omega$	
DF 65	Gehoorbuisen, zie bladz.113					
DF 66						
DF 67						
DF 70						

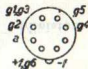
DF 91 Variabele mu penthode	$V_f = 1.4 \text{ V}$ $I_f = 50 \text{ mA}$	H.F. of M.F. versterker	$V_a = 90 \text{ V}$	$I_a = 1.8$	$S = 0.75 \text{ mA/V}$	
			$V_{g2} = 45 \text{ V}$	$I_{g2} = 0.65$	$R_i = 0.8 \text{ M}\Omega$	
			$V_{g1} = 0 \text{ V}$		$C_{ag1} < 0.01 \text{ pF}$	
			$V_a = 67.5 \text{ V}$	$I_a = 1.75$	$S = 0.72 \text{ mA/V}$	
			$V_{g2} = 45 \text{ V}$	$I_{g2} = 0.68$	$R_i = 0.6 \text{ M}\Omega$	
			$V_{g1} = 0 \text{ V}$			
			$V_a = 45 \text{ V}$	$I_a = 1.7$	$S = 0.7 \text{ mA/V}$	Miniatuur
			$V_{g2} = 45 \text{ V}$	$I_{g2} = 0.7$	$R_i = 0.35 \text{ M}\Omega$	
			$V_{g1} = 0 \text{ V}$			



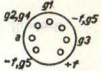
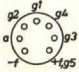
Miniatuur

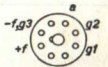
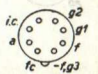


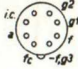
Type	Gloeidraad-gegevens	Toepassing	Spanningen Weerstanden	Stromen (mA)	Karakteristieke gegevens	Buisvoet- aansluitingen
DF 92 Penthode	$V_f = 1.4 \text{ V}$ $I_f = 50 \text{ mA}$	H.F. of M.F. versterker	$V_a = 90 \text{ V}$ $V_{g2} = 90 \text{ V}$ $V_{g1} = 0 \text{ V}$	$I_a = 4.5$ $I_{g2} = 2.0$	$S = 1.025 \text{ mA/V}$ $R_i = 0.35 \text{ M}\Omega$ $C_{ag1} < 8 \text{ mpF}$	
			$V_a = 90 \text{ V}$ $V_{g2} = 67.5 \text{ V}$ $V_{g1} = 0 \text{ V}$	$I_a = 2.9$ $I_{g2} = 1.2$	$S = 0.925 \text{ mA/V}$ $R_i = 0.6 \text{ M}\Omega$	Miniatuur
DF 96 ¹⁾ H.F. penthode	$V_f = 1.4 \text{ V}$ $I_f = 25 \text{ mA}$	H.F. of M.F. versterker	$V_a = 63.5 \text{ V}$ $V_{g2} = 63.5 \text{ V}$ $V_{g1} = 0 \text{ V}$	$I_a = 1.65$ $I_{g2} = 0.55$	$S = 0.75 \text{ mA/V}$ $R_i = 0.8 \text{ M}\Omega$ $C_{ag1} < 8 \text{ mpF}$	
			$V_a = 85 \text{ V}$ $V_{g2} = 63.5 \text{ V}$ $V_{g1} = 0 \text{ V}$	$I_a = 1.65$ $I_{g2} = 0.55$	$S = 0.75 \text{ mA/V}$ $R_i = 1.0 \text{ M}\Omega$	Miniatuur
DG	Kathodestraalbuizen, zie bladz. 120					
DK 21 Octode	$V_f = 1.4 \text{ V}$ $I_f = 50 \text{ mA}$	Oscillator- mengbuis	$V_a = V_b = 120 \text{ V}$ $R_{g5} = 0.12 \text{ M}\Omega$ $V_{g4} = 0 \text{ V}$ $R_{g2} = 25 \text{ k}\Omega$ $R_{g1+g3} = 35 \text{ k}\Omega$	$I_a = 1.5$ $I_{g5} = 0.25$ $I_{g2} = 2.4$ $I_{g1+g3} = 0.2$	$S_c = 0.5 \text{ mA/V}$ $R_i = 1.5 \text{ M}\Omega$	
						Octal



DK 21			$V_a = V_b = 90\text{ V}$ $V_{g5} = 90\text{ V}$ $V_{g4} = 0\text{ V}$ $R_{g2} = 12.5\text{ k}\Omega$ $R_{g1+g3} = 35\text{ k}\Omega$	$I_a = 1.5$ $I_{g5} = 0.25$ $I_{g2} = 2.4$ $I_{g1+g3} = 0.2$	$S_c = 0.5\text{ mA/V}$ $R_i = 1.2\text{ M}\Omega$	
DK 35			$V_a = V_b = 135\text{ V}$ $R_{g5} = 270\ \Omega$ $V_{g4} = 0\text{ V}$ $R_{g2} = 26\text{ k}\Omega$ $R_{g1+g3} = 35\text{ k}\Omega$ $V_{osc} = 8\text{ V}$	$I_a = 1.0$ $I_{g5} = 0.25$ $I_{g2} = 2.6$	$S_c = 0.42\text{ mA/V}$ $R_i = 1.0\text{ M}\Omega$	
DK 40 Octode	$V_f = 1.4\text{ V}$ $I_f = 50\text{ mA}$	Oscillator- mengkbuja	$V_a = V_b = 90\text{ V}$ $R_{g5} = 90\text{ k}\Omega$ $V_{g4} = 0\text{ V}$ $R_{g2} = 8.5\text{ k}\Omega$ $R_{g1+g3} = 35\text{ k}\Omega$ $V_{osc} = 8\text{ V}$	$I_a = 1.0$ $I_{g5} = 0.25$ $I_{g2} = 2.6$	$S_c = 0.42\text{ mA/V}$ $R_i = 1.0\text{ M}\Omega$	
DK 41			$V_a = V_b = 67.5\text{ V}$ $V_{g5} = 67.5\text{ V}$ $V_{g4} = 0\text{ V}$ $V_{g2} = 67.5\text{ V}$ $R_{g1+g3} = 35\text{ k}\Omega$ $V_{osc} = 8\text{ V}$	$I_a = 1.0$ $I_{g5} = 0.25$ $I_{g2} = 2.6$	$S_c = 0.42\text{ mA/V}$ $R_i = 0.9\text{ M}\Omega$	Rimlock

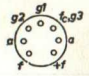

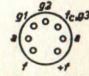
*) Voorlopige gegevens.

Type	Gloeidraad-gegevens	Toepassing	Spanningen Weerstanden	Stromen (mA)	Karakteristieke gegevens	Buisvoet- aansluitingen
DK 91 Heptode	$V_f = 1.4 \text{ V}$ $I_f = 50 \text{ mA}$	Oscillator- mengbuis	$V_a = 90 \text{ V}$ $V_{g2+g4} = 67.5 \text{ V}$ $V_{g1} = 0 \text{ V}$ $R_{g3} = 0.1 \text{ M}\Omega$	$I_a = 1.6$ $I_{g2+g4} = 3.2$ $I_{g1} = 0.25$	$S_c = 0.30 \text{ mA/V}$ $R_i = 0.6 \text{ M}\Omega$	
			$V_a = 67.5 \text{ V}$ $V_{g2+g4} = 67.5 \text{ V}$ $V_{g3} = 0 \text{ V}$ $R_{g1} = 0.1 \text{ M}\Omega$	$I_a = 1.4$ $I_{g2+g4} = 3.2$ $I_{g1} = 0.25$	$S_c = 0.28 \text{ mA/V}$ $R_i = 0.5 \text{ M}\Omega$	
			$V_a = 45 \text{ V}$ $V_{g2+g4} = 45 \text{ V}$ $V_{g3} = 0 \text{ V}$ $R_{g1} = 0.1 \text{ M}\Omega$	$I_a = 0.7$ $I_{g2+g4} = 1.9$ $I_{g1} = 0.15$	$S_c = 0.23 \text{ mA/V}$ $R_i = 0.6 \text{ M}\Omega$	
DK 92 Heptode	$V_f = 1.4 \text{ V}$ $I_f = 50 \text{ mA}$	Oscillator- mengbuis	$V_a = V_b = 85 \text{ V}$ $V_{g3} = 0 \text{ V}$ $V_{osc} = 4 \text{ V}$ $R_{g4} = 0.18 \text{ M}\Omega$ $R_{g2} = 33 \text{ k}\Omega$ $R_{g1} = 27 \text{ k}\Omega$	$I_a = 0.65$ $I_{g4} = 0.14$ $I_{g2} = 1.65$ $I_{g1} = 0.13$	$S_c = 0.32 \text{ mA/V}$ $S_{eff} = 0.4 \text{ mA/V}$ $R_i = 1 \text{ M}\Omega$ $R_{eq} = 100 \text{ k}\Omega$	
			$V_a = V_b = 63.5 \text{ V}$ $V_{g4} = 63.5 \text{ V}$ $V_{g3} = 0 \text{ V}$ $V_{osc} = 4 \text{ V}$ $R_{g2} = 22 \text{ k}\Omega$ $R_{g1} = 27 \text{ k}\Omega$	$I_a = 0.70$ $I_{g4} = 0.15$ $I_{g2} = 1.55$ $I_{g1} = 0.13$	$S_c = 0.3 \text{ mA/V}$ $S_{eff} = 0.36 \text{ mA/V}$ $R_i = 0.9 \text{ M}\Omega$ $R_{eq} = 120 \text{ k}\Omega$	

DF 13 DK 92		Oscillator- mengbuis	$V_a = V_b = 41 \text{ V}$ $V_{g4} = 41 \text{ V}$ $V_{g3} = 0 \text{ V}$ $V_{osc} = 2.5 \text{ V}$ $R_{g2} = 6.8 \text{ k}\Omega$ $R_{g1} = 27 \text{ k}\Omega$	$I_a = 0.25$ $I_{g4} = 0.09$ $I_{g2} = 1.75$ $I_{g1} = 0.08$	$S_c = 0.18 \text{ mA/V}$ $S_{eff} = 0.7 \text{ mA/V}$ $R_i = 0.75 \text{ M}\Omega$ $R_{cq} = 115 \text{ k}\Omega$	
DL 21 Eind- penthode	$V_f = 1.4 \text{ V}$ $I_f = 50 \text{ mA}$	Klasse A eindversteker	$V_a = 120 \text{ V}$ $V_{g2} = 120 \text{ V}$ $V_{g1} = -4.8 \text{ V}$	$I_a = 5$ $I_{g2} = 0.9$	$S = 1.4 \text{ mA/V}$ $R_i = 0.35 \text{ M}\Omega$ $R_a = 24 \text{ k}\Omega$ $W_o = 0.27 \text{ W}$	 <p>Octal</p>
DL 41 Eind- penthode	$V_f = 1.4 \text{ V}$ $I_f = 50 \text{ mA}$	Klasse A eindversteker	$V_a = 120 \text{ V}$ $V_{g2} = 120 \text{ V}$ $V_{g1} = -5.8 \text{ V}$	$I_a = 5$ $I_{g2} = 0.82$	$S = 1.35 \text{ mA/V}$ $R_i = 0.16 \text{ M}\Omega$ $R_a = 24 \text{ k}\Omega$ $W_o = 0.3 \text{ W}$ $W_a = 1.2 \text{ W}$	 <p>Rimlock</p>
			$V_a = 90 \text{ V}$ $V_{g2} = 90 \text{ V}$ $V_{g1} = -3.6 \text{ V}$	$I_a = 4$ $I_{g2} = 0.65$	$S = 1.25 \text{ mA/V}$ $R_i = 0.17 \text{ M}\Omega$ $R_a = 22.5 \text{ k}\Omega$ $W_o = 0.18 \text{ W}$	

Type	Gloeidraad-gegevens	Toepassing	Spanningen Weerstanden	Stromen (mA)	Karakteristieke gegevens	Buisvoet- aansluitingen
DL 41 Eind- penthode (vervolg)	$V_f = 1.4 \text{ V}$ $I_f = 0.1 \text{ A}$	Klasse A eindversterker	$V_a = 120 \text{ V}$ $V_{g2} = 120 \text{ V}$ $V_{g1} = -5.7 \text{ V}$	$I_a = 10$ $I_{g2} = 1.65$	$S = 2.55 \text{ mA/V}$ $R_i = 80 \text{ k}\Omega$ $R_a = 12 \text{ k}\Omega$ $W_o = 0.6 \text{ W}$ $W_a = 1.2 \text{ W}$	 Rimlock
		Klasse B eindversterker	$V_a = 90 \text{ V}$ $V_{g2} = 90 \text{ V}$ $V_{g1} = -3.6 \text{ V}$	$I_a = 8$ $I_{g2} = 1.3$	$S = 2.45 \text{ mA/V}$ $R_i = 90 \text{ k}\Omega$ $R_a = 11 \text{ k}\Omega$ $W_o = 0.36 \text{ W}$	
			$V_a = 150 \text{ V}$ $V_{g2} = 150 \text{ V}$ $V_{g1} = -13.2 \text{ V}$ $V_i = 10.6 \text{ V}$	$I_a \text{ min} = 2 \times 1.5$ $I_a \text{ max} = 2 \times 11.5$ $I_{g2 \text{ min}} = 2 \times 0.25$ $I_{g2 \text{ max}} = 2 \times 4$	$R_{aa} = 15 \text{ k}\Omega$ $W_o = 2.1 \text{ W}$	
DL 65						
DL 66						
DL 67	Gehoorbuisen, zie bladz. 113					
DL 71						
DL 72						

DL 92 Eind- penthode	$V_f = 1.4 \text{ V}$ $I_f = 0.1 \text{ A}$	Klasse A eindverstärker	$V_a = V_b = 84 \text{ V}$ $V_{g1} = -6.5 \text{ V}$ $R_{g2} = 10 \text{ k}\Omega$	$I_a = 8$ $I_{g2} = 1.7$	$S = 1.55 \text{ mA/V}$ $R_i = 0.1 \text{ M}\Omega$ $R_a = 7 \text{ k}\Omega$ $W_o = 190 \text{ mW}$ $W_a = 0.7 \text{ W}$	
			$V_a = V_b = 61 \text{ V}$ $V_{g2} = 61 \text{ V}$ $V_{g1} = -6 \text{ V}$	$I_a = 6.6$ $I_{g2} = 1.4$	$S = 1.5 \text{ mA/V}$ $R_i = 0.1 \text{ M}\Omega$ $R_a = 7 \text{ k}\Omega$ $W_o = 125 \text{ mW}$	
DL 93 Ministuer	$V_f = 2.8 \text{ V}$ $I_f = 50 \text{ mA}$	Klasse A eindverstärker	$V_a = V_b = 84 \text{ V}$ $V_{g1} = -6 \text{ V}$ $R_{g2} = 10 \text{ k}\Omega$	$I_a = 7.6$ $I_{g2} = 1.6$	$S = 1.5 \text{ mA/V}$ $R_i = 0.1 \text{ M}\Omega$ $R_a = 7 \text{ k}\Omega$ $W_o = 180 \text{ mW}$	
			$V_a = V_b = 61 \text{ V}$ $V_{g2} = 61 \text{ V}$ $V_{g1} = -5.5 \text{ V}$	$I_a = 6.5$ $I_{g2} = 1.4$	$S = 1.45 \text{ mA/V}$ $R_i = 0.1 \text{ M}\Omega$ $R_a = 7 \text{ k}\Omega$ $W_o = 120 \text{ mW}$	

Type	Gloeidraad-gegevens	Toepassing	Spanningen Weerstanden	Stromen (mA)	Karakteristieke gegevens	Buisvoet- aansluitingen
DL 93 H.F. eind- penthoda	$V_f = 1.4 \text{ V}$ $I_f = 0.2 \text{ A}$ $V_f = 2.8 \text{ V}$ $I_f = 0.1 \text{ A}$	Klasse A L.F. eind- versterker	$V_f = 1.4 \text{ V}$ $V_a = 135 \text{ V}$ $V_{g2} = 90 \text{ V}$ $V_{g1} = -7.5 \text{ V}$	$I_a = 14.8$ $I_{g2} = 2.6$	$S = 1.9 \text{ mA/V}$ $R_i = 90 \text{ k}\Omega$ $R_a = 8 \text{ k}\Omega$ $W_o = 0.6 \text{ W}$ $W_a = 2 \text{ W}$	
			$V_f = 1.4 \text{ V}$ $V_a = 150 \text{ V}$ $V_{g2} = 90 \text{ V}$ $V_{g1} = -8.4 \text{ V}$	$I_a = 13.3$ $I_{g2} = 2.2$	$S = 1.9 \text{ mA/V}$ $R_i = 100 \text{ k}\Omega$ $R_a = 8 \text{ k}\Omega$ $W_o = 0.7 \text{ W}$	
	H.F. eind- versterker (intermitterend bedrijf)	$V_f = 1.4 \text{ V}$ $V_a = 150 \text{ V}$ $V_{g2} = 135 \text{ V}$ $R_{g1} = 0.2 \text{ M}\Omega$	$I_a = 18.3$ $I_{g2} = 6.5$ $I_{g1} = 0.13$	$\text{freq.} = 50 \text{ MHz}$ $W_o = 1.2 \text{ W}$		
DL 94 DL 95 Eind- penthoden	$V_f = 1.4 \text{ V}$ $I_f = 0.1 \text{ A}$	Klasse A eindversterker	$V_a = 86 \text{ V}$ $V_{g2} = 86 \text{ V}$ $V_{g1} = -4.5 \text{ V}$	$I_a = 8$ $I_{g2} = 1.8$	$S = 2.0 \text{ mA/V}$ $R_i = 0.11 \text{ M}\Omega$ $R_a = 8 \text{ k}\Omega$ $W_o = 0.29 \text{ W}$ $W_a = 1.2 \text{ W}$	
	$V_f = 2.8 \text{ V}$ $I_f = 50 \text{ mA}$	Klasse A eindversterker	$V_a = 86 \text{ V}$ $V_{g2} = 86 \text{ V}$ $V_{g1} = -4.3 \text{ V}$	$I_a = 7.0$ $I_{g2} = 1.5$	$S = 1.9 \text{ mA/V}$ $R_i = 0.12 \text{ M}\Omega$ $R_a = 10 \text{ k}\Omega$ $W_o = 0.27 \text{ W}$	

DB
DB
DM

$V_f = 1.4 \text{ V}$
 $I_f = 0.1 \text{ A}$

Klasse AB
balans-
verstärker

$V_a = 120 \text{ V}$
 $V_{g2} = 120 \text{ V}$
 $V_{g1} = -8.7 \text{ V}$

$I_a \text{ min} = 2 \times 1.0$
 $I_a \text{ max} = 2 \times 4.1$
 $I_{g2 \text{ min}} = 2 \times 0.16$
 $I_{g2 \text{ max}} = 2 \times 1.1$

$R_{aa} = 30 \text{ k}\Omega$
 $W_o = 0.6 \text{ W}$

$V_a = 90 \text{ V}$
 $V_{g2} = 90 \text{ V}$
 $V_{g1} = -5.7 \text{ V}$

$I_a \text{ min} = 2 \times 1.0$
 $I_a \text{ max} = 2 \times 3.0$
 $I_{g2 \text{ min}} = 2 \times 0.16$
 $I_{g2 \text{ max}} = 2 \times 0.7$

$R_{aa} = 30 \text{ k}\Omega$
 $W_o = 0.3 \text{ W}$

DLL 21
Dubbele
eind-
penthode

$V_f = 1.4 \text{ V}$
 $I_f = 0.2 \text{ A}$

Klasse AB
balans-
verstärker

$V_a = 135 \text{ V}$
 $V_{g2} = 135 \text{ V}$
 $V_{g1} = -9.4 \text{ V}$

$I_a \text{ min} = 2 \times 2.0$
 $I_a \text{ max} = 2 \times 8.8$
 $I_{g2 \text{ min}} = 2 \times 0.35$
 $I_{g2 \text{ max}} = 2 \times 2.3$

$R_{aa} = 15 \text{ k}\Omega$
 $W_o = 1.5 \text{ W}$

$V_a = 120 \text{ V}$
 $V_{g2} = 120 \text{ V}$
 $V_{g1} = -8.2 \text{ V}$

$I_a \text{ min} = 2 \times 2.0$
 $I_a \text{ max} = 2 \times 7.5$
 $I_{g1 \text{ min}} = 2 \times 0.35$
 $I_{g2 \text{ max}} = 2 \times 2.0$

$R_{aa} = 15 \text{ k}\Omega$
 $W_o = 1.2 \text{ W}$

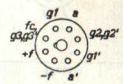
$V_f = 2.8 \text{ V}$
 $I_f = 0.1 \text{ A}$

Klasse AB
balans-
verstärker

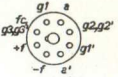
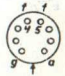
$V_a = 135 \text{ V}$
 $V_{g2} = 135 \text{ V}$
 $V_{g1} = -9.5 \text{ V}$

$I_a \text{ min} = 2 \times 1.5$
 $I_a \text{ max} = 2 \times 8.2$
 $I_{g2 \text{ min}} = 2 \times 0.25$
 $I_{g2 \text{ max}} = 2 \times 2.4$

$R_{aa} = 15 \text{ k}\Omega$
 $W_o = 1.5 \text{ W}$


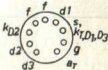
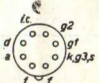


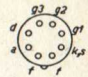


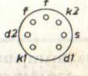
Octal

Type	Gloeidraad-gegevens	Toepassing	Spanningen Weerstanden	Stromen (mA)	Karakteristieke gegevens	Buisvoet- aansluitingen
DLL 21 Dubbele eind- penthode (vervolg)	$V_f = 2.8 \text{ V}$ $I_f = 0.1 \text{ mA}$	Klasse AB balans- versterker	$V_a = 120 \text{ V}$ $V_{g2} = 120 \text{ V}$ $V_{g1} = -8.1 \text{ V}$	$I_a \text{ min} = 2 \times 1.5$ $I_a \text{ max} = 2 \times 7.1$ $I_{g2 \text{ min}} = 2 \times 0.25$ $I_{g2 \text{ max}} = 2 \times 1.9$	$R_{aa} = 15 \text{ k}\Omega$ $W_o = 1.1 \text{ W}$	 Octal
			$V_a = 90 \text{ V}$ $V_{g2} = 90 \text{ V}$ $V_{g1} = -5.9 \text{ V}$	$I_a \text{ min} = 2 \times 1.0$ $I_a \text{ max} = 2 \times 4.4$ $I_{g2 \text{ min}} = 2 \times 0.2$ $I_{g2 \text{ max}} = 2 \times 1.3$	$R_{aa} = 20 \text{ k}\Omega$ $W_o = 0.5 \text{ W}$	
DM 70¹⁾ Afstem- indicator	$V_f = 1.4 \text{ V}$ $I_f = 25 \text{ mA}$	Afstem- indicator	$V_f = 1.4 \text{ V}$ (Pen 5 positief) $V_a = 85 \text{ V}$	$I_a = 0.225$ ($V_g = +1.2 \text{ V}$)	Scherm donker voor $V_g = -11.5 \text{ V}$	 Subminiatur
			$V_f = 1.4 \text{ V}$ (Pen 4 positief) $V_a = 60 \text{ V}$	$I_a = 0.135$ ($V_g = +0.9 \text{ V}$)	Scherm donker voor $V_g = -10.3 \text{ V}$	
DN						
DP		Kathodestraalbuizen, zie blad. 120				
DR						


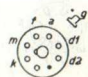
E1C	= 4671				
E1F	= 4672	U.H.F. buizen, zie bladz. 116			
E80CC					
E80F		Betrouwbare, schok- en trilvaste buizen met lange levensduur, zie bladz. 112			
E80L					
E81L		Telefoniebuizen, zie bladz. 110			
E83F					
E90CC		Buis voor boekhoudmachines, zie bladz. 113			




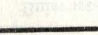
¹⁾ Voorlopige gegevens.

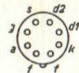
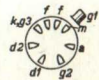
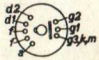
Type	Gloeidraad-gegevens	Toepassing	Spanningen Weerstanden	Stromen (mA)	Karakteristieke gegevens	Buisvoet- aansluitingen
EA 50 Diode	$V_f = 6.3 \text{ V}$ $I_f = 0.15 \text{ A}$	Detectie	$V_d = \text{max. } 200 \text{ V}$ $V_{kf} = \text{max. } 100 \text{ V}$ $R_{kf} = \text{max. } 20 \text{ k}\Omega$	$I_d = \text{max. } 5$	$C_{dk} = 2.1 \text{ pF}$	
EABC 80 ¹) Drievoudige diode-triode	$V_f = 6.3 \text{ V}$ $I_f = 0.45 \text{ A}$	Karakteristieke gegevens (diode systemen)	$V_{d1 \text{ invp}} =$ $= \text{max. } 350 \text{ V}$ $V_{d2 \text{ invp}} =$ $= \text{max. } 350 \text{ V}$ $V_{d3 \text{ invp}} =$ $= \text{max. } 350 \text{ V}$	$I_{d1} = \text{max. } 1$ $I_{d1p} = \text{max. } 6$ $I_{d2} = \text{max. } 10$ $I_{d2p} = \text{max. } 75$ $I_{d3} = \text{max. } 10$ $I_{d3p} = \text{max. } 75$	$R_{id1} = 6.25 \text{ k}\Omega$ $(V_{d1} = 10 \text{ V})$ $R_{id2} = 200 \Omega$ $(V_{d2} = 5 \text{ V})$ $R_{id3} = 200 \Omega$ $(V_{d3} = 5 \text{ V})$	 Noval
		Karakteristieke gegevens (triode systeem)	$V_a = 250 \text{ V}$ $V_g = -3 \text{ V}$	$I_a = 1.0$	$S = 1.2 \text{ mA/V}$ $R_i = 58 \text{ k}\Omega$ $\mu = 70$	
			$V_a = 100 \text{ V}$ $V_g = -1 \text{ V}$	$I_a = 0.8$	$S = 1.3 \text{ mA/V}$ $R_i = 54 \text{ k}\Omega$ $\mu = 70$	
EAC 91	U.H.F. buis, zie bladz. 116					
EAF 41 Diode- variabele mu penthode	$V_f = 6.3 \text{ V}$ $I_f = 0.2 \text{ A}$	H.F. of M.F. versterker	$V_a = 250 \text{ V}$ $R_{g2} = 95 \text{ k}\Omega$ $V_{g1} = -2 \text{ V}$	$I_a = 5$ $I_{g2} = 1.6$	$S = 1.8 \text{ mA/V}$ $R_i = 1.2 \text{ M}\Omega$ $C_{ag1} < 2 \text{ mpF}$	 Rimlock
		L. F. versterker	$V_b = 250 \text{ V}$ $R_a = 0.22 \text{ M}\Omega$ $R_{g2} = 0.82 \text{ M}\Omega$ $R_k = 1.6 \text{ k}\Omega$	$I_a = 0.86$ $I_{g2} = 0.28$	$g = 105$	

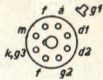
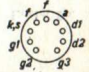

EAF 42 Diode-variabele mu penthode	$V_f = 6.3 \text{ V}$ $I_f = 0.2 \text{ A}$	H.F. of M.F. versterker	$V_a = 250 \text{ V}$ $R_{g2} = 110 \text{ k}\Omega$ $V_{g1} = -2 \text{ V}$	$I_a = 5$ $I_{g2} = 1.5$	$S = 2.0 \text{ mA/V}$ $R_i = 1.4 \text{ M}\Omega$ $C_{ag1} < 2 \text{ mpF}$	 Rimlock
		L.F. versterker	$V_b = 250 \text{ V}$ $R_a = 0.22 \text{ M}\Omega$ $R_{g2} = 0.82 \text{ M}\Omega$ $R_k = 1.5 \text{ k}\Omega$	$I_a = 0.80$ $I_{g2} = 0.26$	$g = 120$	
EB 4 Dubbele diode	$V_f = 6.3 \text{ V}$ $I_f = 0.2 \text{ A}$	Detectie en A.V.C.	$V_{d \text{ invp}} = \text{max. } 420 \text{ V}$	$I_d = \text{max. } 0.8$		 P
EB 41 Dubbele diode	$V_f = 6.3 \text{ V}$ $I_f = 0.3 \text{ A}$	Detectie en A.V.C.	$V_{d \text{ invp}} = \text{max. } 420 \text{ V}$	$I_d = \text{max. } 9$ $I_{dP} = \text{max. } 54$		 Rimlock
EB 91 Dubbele diode	$V_f = 6.3 \text{ V}$ $I_f = 0.3 \text{ A}$	Detectie en A.V.C.	$V_{d \text{ invp}} = \text{max. } 420 \text{ V}$	$I_d = \text{max. } 9$ $I_{dP} = \text{max. } 54$		 Miniatuur

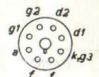

1) Voorlopige gegevens.

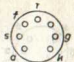

Type	Gloeidraad-gegevens	Toepassing	Spanningen Weerstanden	Stromen (mA)	Karakteristieke gegevens	Buisvoet- aansluitingen
EBC 3 EBC 33 Dubbele diode- trioden	$V_f = 6.3 \text{ V}$ $I_f = 0.2 \text{ A}$	Karakteristieke gegevens	$V_a = 275 \text{ V}$ $V_g = -6.25 \text{ V}$	$I_a = 5$	$S = 2.0 \text{ mA/V}$ $R_i = 15 \text{ k}\Omega$ $\mu = 30$	 P EBC 3
			$V_a = 200 \text{ V}$ $V_g = -4.3 \text{ V}$	$I_a = 4$	$S = 2.0 \text{ mA/V}$ $R_i = 15 \text{ k}\Omega$ $\mu = 30$	
			$V_a = 100 \text{ V}$ $V_g = -2.1 \text{ V}$	$I_a = 2$	$S = 1.6 \text{ mA/V}$ $R_i = 19 \text{ k}\Omega$ $\mu = 30$	
			$V_b = 250 \text{ V}$ $R_a = 0.2 \text{ M}\Omega$ $R_k = 4 \text{ k}\Omega$	$I_a = 0.75$	$g = 26$	
		L.F. versterker	$V_b = 200 \text{ V}$ $R_a = 0.2 \text{ M}\Omega$ $R_k = 12.5 \text{ k}\Omega$	$I_a = 0.35$	$g = 22$	 Octal EBC 33
			$V_b = 100 \text{ V}$ $R_a = 0.2 \text{ M}\Omega$ $R_k = 12.5 \text{ k}\Omega$	$I_a = 0.2$	$g = 19$	

<p>EBL JI</p>	<p>$V = 0.5V$ $N = 0.3A$</p>	<p>1.0</p>	<p>0.8 0.5 0.3</p>	<p>0.5 0.8</p>	<p>0.8</p>	
<p>EBL S</p>	<p>$V = 0.5V$ $N = 0.3A$</p>	<p>1.0</p>	<p>0.8 0.5 0.3</p>	<p>0.5 0.8</p>	<p>0.8</p>	
<p>EBL VI</p>	<p>$V = 0.5V$ $N = 0.3A$</p>	<p>1.0</p>	<p>0.8 0.5 0.3</p>	<p>0.5 0.8</p>	<p>0.8</p>	
<p>EBL VII</p>	<p>$V = 0.5V$ $N = 0.3A$</p>	<p>1.0</p>	<p>0.8 0.5 0.3</p>	<p>0.5 0.8</p>	<p>0.8</p>	

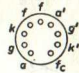
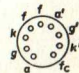
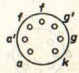
Type	Gloeidraad-gegevens	Toepassing	Spanningen Weerstanden	Stromen (mA)	Karakteristieke gegevens	Buisvoet- aansluitingen
EBC 41 Dubbele diode- triode	$V_f = 6.3 \text{ V}$ $I_f = 0.23 \text{ A}$	Karakteristieke gegevens	$V_a = 250 \text{ V}$ $V_g = -3 \text{ V}$	$I_a = 1$	$S = 1.2 \text{ mA/V}$ $R_i = 58 \text{ k}\Omega$ $\mu = 70$	 Rimlock
		L.F. versterker	$V_b = 250 \text{ V}$ $R_a = 0.22 \text{ M}\Omega$ $R_k = 1.8 \text{ k}\Omega$	$I_a = 0.7$	$g = 51$	
EBF 2 Dubbele diode- variabele mu penthode	$V_f = 6.3 \text{ V}$ $I_f = 0.2 \text{ A}$	M.F. versterker	$V_a = V_b = 250 \text{ V}$ $R_{g2} = 95 \text{ k}\Omega$ $V_{g1} = -2 \text{ V}$	$I_a = 5$ $I_{g2} = 1.6$	$S = 1.8 \text{ mA/V}$ $R_i = 1.3 \text{ M}\Omega$ $C_{ag1} < 2 \text{ mpF}$	 P
			$V_a = V_b = 100 \text{ V}$ $V_{g2} = 100 \text{ V}$ $V_{g1} = -2 \text{ V}$	$I_a = 5$ $I_{g2} = 1.6$	$S = 1.8 \text{ mA/V}$ $R_i = 0.4 \text{ M}\Omega$	
EBF 11 Dubbele diode- variabele mu penthode	$V_f = 6.3 \text{ V}$ $I_f = 0.2 \text{ A}$	M.F. versterker	$V_a = V_b = 250 \text{ V}$ $R_{g2} = 85 \text{ k}\Omega$ $V_{g1} = -2 \text{ V}$	$I_a = 5$ $I_{g2} = 1.8$	$S = 1.8 \text{ mA/V}$ $R_i = 2.0 \text{ M}\Omega$ $C_{ag1} < 2 \text{ mpF}$	 Y
		L.F. versterker	$V_b = 250 \text{ V}$ $R_a = 0.2 \text{ M}\Omega$ $R_{g2} = 0.8 \text{ M}\Omega$ $R_k = 2 \text{ k}\Omega$	$I_a = 0.8$ $I_{g2} = 0.24$	$g = 98$	

EBF 32 Dubbele diode-variabele mu penthode	$V_f = 6.3 \text{ V}$ $I_f = 0.2 \text{ A}$	M.F. versterker	$V_a = V_b = 250 \text{ V}$ $R_{g2} = 95 \text{ k}\Omega$ $V_{g1} = -2 \text{ V}$	$I_a = 5$ $I_{g2} = 1.6$	$S = 1.8 \text{ mA/V}$ $R_i = 1.3 \text{ M}\Omega$ $C_{ag1} < 2 \text{ mpF}$	 Octal
			$V_a = V_b = 100 \text{ V}$ $V_{g2} = 100 \text{ V}$ $V_{g1} = -2 \text{ V}$	$I_a = 5$ $I_{g2} = 1.6$	$S = 1.8 \text{ mA/V}$ $R_i = 0.4 \text{ M}\Omega$	
EBF 80 Dubbele diode-variabele mu penthode	$V_f = 6.3 \text{ V}$ $I_f = 0.3 \text{ A}$	H.F. of M.F. versterker	$V_a = V_b = 250 \text{ V}$ $V_{g3} = 0 \text{ V}$ $R_{g2} = 95 \text{ k}\Omega$ $R_k = 295 \Omega$	$I_a = 5.0$ $I_{g2} = 1.75$	$S = 2.2 \text{ mA/V}$ $R_i = 1.4 \text{ M}\Omega$ $C_{ag1} < 2.5 \text{ mpF}$	 Noval
		L.F. versterker	$V_b = 250 \text{ V}$ $R_a = 0.22 \text{ M}\Omega$ $R_{g2} = 0.82 \text{ M}\Omega$ $R_k = 1.8 \text{ k}\Omega$	$I_a = 0.75$ $I_{g2} = 0.30$	$g = 110$	
EBL 1 Dubbele diode-eind penthode	$V_f = 6.3 \text{ V}$ $I_f = 1.18 \text{ A}$	Klasse A eind-versterker	$V_a = 250 \text{ V}$ $V_{g2} = 250 \text{ V}$ $V_{g1} = -6 \text{ V}$ $R_k = 150 \Omega$	$I_a = 36$ $I_{g2} = 4$	$S = 9 \text{ mA/V}$ $R_i = 50 \text{ k}\Omega$ $R_a = 7 \text{ k}\Omega$ $W_o = 4.5 \text{ W}$ $W_a = 9 \text{ W}$	
		Klasse AB balans-versterker	$V_a = 250 \text{ V}$ $V_{g2} = 250 \text{ V}$ $R_k = 140 \Omega$	$I_a \text{ min} = 2 \times 24$ $I_a \text{ max} = 2 \times 28.5$ $I_{g2 \text{ min}} = 2 \times 2.8$ $I_{g2 \text{ max}} = 2 \times 4.6$	$R_{aa} = 10 \text{ k}\Omega$ $W_o = 8.2 \text{ W}$	

Type	Gloeidraad-gegevens	Toepassing	Spanningen Weerstanden	Stromen (mA)	Karakteristieke gegevens	Buisvoet- aansluitingen
EBL 21 Dubbele diode- eind- penthode	$V_f = 6.3 \text{ V}$ $I_f = 0.8 \text{ A}$	Klasse A eind- versterker	$V_a = 250 \text{ V}$ $V_{g2} = 250 \text{ V}$ $V_{g1} = -6 \text{ V}$ $R_k = 150 \Omega$	$I_a = 36$ $I_{g2} = 4.5$	$S = 9 \text{ mA/V}$ $R_f = 50 \text{ k}\Omega$ $R_a = 7 \text{ k}\Omega$ $W_o = 4.5 \text{ W}$ $W_a = 11 \text{ W}$	
			$V_a = 250 \text{ V}$ $V_{g2} = 275 \text{ V}$ $V_{g1} = -6.2 \text{ V}$ $R_k = 125 \Omega$	$I_a = 44$ $I_{g2} = 5.8$	$S = 9.5 \text{ mA/V}$ $R_f = 50 \text{ k}\Omega$ $R_a = 5.7 \text{ k}\Omega$ $W_o = 5.5 \text{ W}$	
	Klasse AB balans- versterker	$V_a = 300 \text{ V}$ $V_{g2} = 300 \text{ V}$ $R_k = 130 \Omega$	$I_a \text{ min} = 2 \times 30$ $I_a \text{ max} = 2 \times 36$ $I_{g2 \text{ min}} = 2 \times 3.8$ $I_{g2 \text{ max}} = 2 \times 6.5$	$R_{aa} = 9 \text{ k}\Omega$ $W_o = 13.2 \text{ W}$		
EC 50		Thyratron, zie bladz. 147				
EC 55 EC 80 EC 81 EC 91		U.H.F. buizen, zie bladz. 116				



EC 92¹⁾ H. F. triode	$V_f = 6.3 \text{ V}$ $I_f = 0.15 \text{ A}$	Karakteristieke gegevens	$V_a = 250 \text{ V}$ $V_g = -2 \text{ V}$	$I_a = 10$	$S = 5 \text{ mA/V}$ $R_f = 12 \text{ k}\Omega$ $\mu = 60$ freq. = max. 300 MHz	 Miniatuur
			$V_a = 170 \text{ V}$ $V_g = -1 \text{ V}$	$I_a = 8.5$	$S = 5.5 \text{ mA/V}$ $R_f = 12 \text{ k}\Omega$ $\mu = 66$	
ECC 40 Dubbele triode	$V_f = 6.3 \text{ V}$ $I_f = 0.6 \text{ A}$	Klasse A eind- versterker (per systeem)	$V_a = 250 \text{ V}$ $R_k = 920 \Omega$ $V_g = -5.6 \text{ V}$	$I_a = 6$	$S = 2.9 \text{ mA/V}$ $R_f = 11 \text{ k}\Omega$ $\mu = 32$ $R_a = 15 \text{ k}\Omega$ $W_o = 0.28 \text{ W}$ $W_a = 1.5 \text{ W}$	 Rimlock
			L.F. versterker (per systeem)	$V_b = 400 \text{ V}$ $R_a = 0.1 \text{ M}\Omega$ $R_k = 2.2 \text{ k}\Omega$ $R_{g1} = 0.33 \text{ M}\Omega$	$I_a = 2.2$	
		L.F. versterker (2 systemen in cascade)		$V_b = 250 \text{ V}$ $R_a = 0.1 \text{ M}\Omega$ $R_k = 2.2 \text{ k}\Omega$ $R_{g1} = 0.33 \text{ M}\Omega$	$I_a = 1.4$	
			$V_b = 250 \text{ V}$ $R_a = 0.22 \text{ M}\Omega$ $R_a' = 0.22 \text{ M}\Omega$ $R_{g'} = 1 \text{ M}\Omega$ $R_{k,k} = 1 \text{ k}\Omega$	$I_b = 2.0$	$g = 780$	

¹⁾ Voorlopige gegevens.

Type	Gloeidraad-gegevens	Toepassing	Spanningen Weerstanden	Stromen (mA)	Karakteristieke gegevens	Buisvoet- aansluitingen
ECC 81 Dubbele triode	$V_f = 6.3 \text{ V}$ $I_f = 0.3 \text{ A}$ $V_f = 12.6 \text{ V}$ $I_f = 0.15 \text{ A}$	Karakteristieke gegevens (per systeem)	$V_a = 100 \text{ V}$ $V_g = -1 \text{ V}$	$I_a = 3.0$	$S = 3.5 \text{ mA/V}$ $R_i = 16.5 \text{ k}\Omega$ $\mu = 58$	 Noval
			$V_a = 170 \text{ V}$ $V_g = -1 \text{ V}$	$I_a = 8.5$	$S = 5.5 \text{ mA/V}$ $R_i = 12 \text{ k}\Omega$ $\mu = 66$	
			$V_a = 250 \text{ V}$ $V_g = -2 \text{ V}$	$I_a = 10$	$S = 5.0 \text{ mA/V}$ $R_i = 12 \text{ k}\Omega$ $\mu = 60$	
ECC 82 ¹ Dubbele triode	$V_f = 6.3 \text{ V}$ $I_f = 0.3 \text{ A}$ $V_f = 12.6 \text{ V}$ $I_f = 0.15 \text{ A}$	Karakteristieke gegevens (per systeem)	$V_a = 250 \text{ V}$ $V_g = -8.5 \text{ V}$	$I_a = 10.5$	$S = 2.2 \text{ mA/V}$ $R_i = 7.7 \text{ k}\Omega$ $\mu = 17$	 Noval
			$V_a = 100 \text{ V}$ $V_g = 0 \text{ V}$	$I_a = 11.8$	$S = 3.1 \text{ mA/V}$ $R_i = 6.25 \text{ k}\Omega$ $\mu = 19.5$	
ECC 91 Dubbele triode	$V_f = 6.3 \text{ V}$ $I_f = 0.45 \text{ A}$	Karakteristieke gegevens (per systeem)	$V_a = 100 \text{ V}$ $R_k = 100 \Omega$	$I_a = 8.5$	$S = 5.3 \text{ mA/V}$ $R_i = 7.1 \text{ k}\Omega$ $\mu = 38$	 Miniatuur
		H.F. Klasse C telegrafie balans- versterker en oscillator	$V_a = 150 \text{ V}$ $V_g = -10 \text{ V}$ $R_g = 625 \Omega$ $R_k = 220 \Omega$	$I_a = 2 \times 15$ $I_g = 2 \times 8$	$W_{ig} = 0.35 \text{ W}$ $W_o = 3.5 \text{ W}$	

ECF 1 Triode-variabele mu penthode	$V_f = 6.3 \text{ V}$ $I_f = 0.2 \text{ A}$	M.F. versterker (penthode systeem)	$V_a = V_b = 250 \text{ V}$ $R_{g2} = 75 \text{ k}\Omega$ $V_{g1} = -2 \text{ V}$	$I_a = 5$ $I_{g2} = 2$	$S = 2.0 \text{ mA/V}$ $R_i = 1.6 \text{ M}\Omega$ $C_{ag1} < 4 \text{ mpF}$	
		Karakteristieke gegevens (triode systeem)	$V_a = 150 \text{ V}$ $V_g = -3 \text{ V}$	$I_a = 8$	$S = 2.2 \text{ mA/V}$ $R_i = 9 \text{ k}\Omega$ $\mu = 20$	
ECH 3 Triode-hexode	$V_f = 6.3 \text{ V}$ $I_f = 0.2 \text{ A}$	Mengbuis (hexode systeem)	$V_a = V_b = 250 \text{ V}$ $R_1 = 24 \text{ k}\Omega$ $R_2 = 33 \text{ k}\Omega$ $R_{g3+gT} = 50 \text{ k}\Omega$ $V_{g1} = -2 \text{ V}$	$I_a = 3$ $I_{g2+g4} = 3$ $I_{g3+gT} = 0.2$	$S_c = 0.65 \text{ mA/V}$ $R_i = 1.3 \text{ M}\Omega$	
			$V_a = V_b = 200 \text{ V}$ $R_1 = 19 \text{ k}\Omega$ $R_2 = 54 \text{ k}\Omega$ $R_{g3+gT} = 50 \text{ k}\Omega$ $V_{g1} = -2 \text{ V}$	$I_a = 3$ $I_{g2+g4} = 3$ $I_{g3+gT} = 0.2$	$S_c = 0.65 \text{ mA/V}$ $R_i = 0.9 \text{ M}\Omega$	
ECH 3			$V_a = V_b = 100 \text{ V}$ $R_1 = 19 \text{ k}\Omega$ $R_2 = 54 \text{ k}\Omega$ $R_{g3+gT} = 50 \text{ k}\Omega$ $V_{g1} = -1.25 \text{ V}$	$I_a = 1.0$ $I_{g2+g4} = 1.4$ $I_{g3+gT} = 0.2$	$S_c = 0.45 \text{ mA/V}$ $R_i = 1.3 \text{ M}\Omega$	

¹⁾ Voorlopige gegevens.

Type	Gloeidraad-gegevens	Toepassing	Spanningen Weerstanden	Stromen (mA)	Karakteristieke gegevens	Buisvoet- aansluitingen
ECH 3 Triode- hexode (vervolg)	$V_f = 6.3 \text{ V}$ $I_f = 0.2 \text{ A}$	Oscillator (triode systeem)	$V_b = 250 \text{ V}$ $R_a = 45 \text{ k}\Omega$ $R_{g3+gT} = 50 \text{ k}\Omega$	$I_a = 3.3$ $I_{g3+gT} = 0.2$	$S_o = 2.8 \text{ mA/V}$ $\mu = 24$	 P
			$V_a = V_b = 100 \text{ V}$ $R_{g3+gT} = 50 \text{ k}\Omega$	$I_a = 3.3$ $I_{g3+gT} = 0.2$	$S_o = 2.8 \text{ mA/V}$ $\mu = 24$	
ECH 4 Triode- heptode	$V_f = 6.3 \text{ V}$ $I_f = 0.35 \text{ A}$	Mengbuis (heptode systeem)	$V_a = 250 \text{ V}$ $R_{g2+g4} = 24 \text{ k}\Omega$ $R_{g3+gT} = 50 \text{ k}\Omega$ $V_{g1} = -2 \text{ V}$	$I_a = 3.0$ $I_{g2+g4} = 6.2$ $I_{g3+gT} = 0.19$	$S_c = 0.75 \text{ mA/V}$ $R_i = 1.4 \text{ M}\Omega$	 P
		Oscillator (triode systeem)	$V_b = 250 \text{ V}$ $R_a = 20 \text{ k}\Omega$ $R_{g3+gT} = 50 \text{ k}\Omega$	$I_a = 4.5$ $I_{g3+gT} = 0.19$	$S_{\text{eff}} = 0.55 \text{ mA/V}$	
		M.F. versterker (heptode systeem)	$V_a = 250 \text{ V}$ $R_{g2+g4} = 45 \text{ k}\Omega$ $V_{g3} = 0 \text{ V}$ $V_{g1} = -2 \text{ V}$	$I_a = 5.3$ $I_{g2+g4} = 3.5$	$S = 2.2 \text{ mA/V}$ $R_i = 0.9 \text{ M}\Omega$ $C_{ag1} < 2 \text{ mpF}$	
		L.F. versterker (triode systeem)	$V_b = 250 \text{ V}$ $R_a = 0.2 \text{ M}\Omega$ $V_g = -2 \text{ V}$	$I_a = 1.0$	$g = 13$	
		Karakteristieke gegevens (triode systeem)	$V_a = 100 \text{ V}$ $V_g = 0 \text{ V}$	$I_a = 12$	$S = 3.2 \text{ mA/V}$ $\mu = 22$	

ECH 11Triode-
hexode

$$V_f = 6.3 \text{ V}$$

$$I_f = 0.2 \text{ A}$$

Oscillator-
mengbuis
(triode
systeem)

$$V_a = 250 \text{ V}$$

$$R_{g2+g4} = 50 \text{ k}\Omega$$

$$R_{g3+gT} = 30 \text{ k}\Omega$$

$$V_{g1} = -2 \text{ V}$$

$$I_a = 2.3$$

$$I_{g2+g4} = 3.0$$

$$I_{g3+gT} = 0.33$$

$$S_c = 0.65 \text{ mA/V}$$

$$R_i = 1.2 \text{ M}\Omega$$

$$V_{osc} = 8.5 \text{ V}$$

Oscillator
(triode
systeem)

$$V_b = 250 \text{ V}$$

$$R_a = 30 \text{ k}\Omega$$

$$R_{g3+gT} = 30 \text{ k}\Omega$$

$$I_a = 3.4$$

$$I_{g3+gT} = 0.33$$

$$S_o = 2.8 \text{ mA/V}$$

$$\mu = 17$$

ECH 21Triode-
heptode

$$V_f = 6.3 \text{ V}$$

$$I_f = 0.33 \text{ A}$$

Oscillator-
mengbuis
(heptode
systeem)

$$V_a = V_b = 250 \text{ V}$$

$$R_{g2+g4} = 24 \text{ k}\Omega$$

$$R_{g3+gT} = 50 \text{ k}\Omega$$

$$V_{g1} = -2 \text{ V}$$

$$I_a = 3.0$$

$$I_{g2+g4} = 6.2$$

$$I_{g3+gT} = 0.19$$

$$S_c = 0.75 \text{ mA/V}$$

$$R_i = 1.4 \text{ M}\Omega$$

Oscillator
(triode
systeem)

$$V_b = 250 \text{ V}$$

$$R_a = 20 \text{ k}\Omega$$

$$R_{g3+gT} = 50 \text{ k}\Omega$$

$$I_a = 4.5$$

$$I_{g3+gT} = 0.19$$

$$S_{eff} = 0.55 \text{ mA/V}$$

M.F. versterker
(heptode
systeem)

$$V_a = V_b = 250 \text{ V}$$

$$R_{g2+g4} = 45 \text{ k}\Omega$$

$$V_{g3} = 0 \text{ V}$$

$$V_{g1} = -2 \text{ V}$$

$$I_a = 5.3$$

$$I_{g2+g4} = 3.5$$

$$S = 2.2 \text{ mA/V}$$

$$R_i = 0.9 \text{ M}\Omega$$

$$C_{ag1} < 2 \text{ mpF}$$

L.F. versterker
(triode
systeem)

$$V_b = 250 \text{ V}$$

$$R_a = 0.2 \text{ M}\Omega$$

$$V_g = -2 \text{ V}$$

$$I_a = 1.0$$

$$g = 13$$

Loctal 8p.

Karakteristieke
gegevens
(triode
systeem)



$$V_a = 100 \text{ V}$$



$$V_g = 0 \text{ V}$$

$$I_a = 12$$


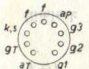
$$S = 3.2 \text{ mA/V}$$

$$\mu = 22$$

Type	Gloeidraad-gegevens	Toepassing	Spanningen Weerstanden	Stromen (mA) gegevens	Karakteristieke	Buisvoet- aansluitingen
ECH 35 Triode- hexode	$V_f = 6.3 \text{ V}$ $I_f = 0.2 \text{ A}$	Oscillator- mengbuis (hexode systeem)	$V_a = V_b = 250 \text{ V}$ $R_1 = 24 \text{ k}\Omega$ $R_2 = 33 \text{ k}\Omega$ $R_{g3+gT} = 50 \text{ k}\Omega$ $V_{g1} = -2 \text{ V}$	$I_a = 3.0$ $I_{g2+g4} = 3.0$ $I_{g3+gT} = 0.2$	$S_c = 0.65 \text{ mA/V}$ $R_i = 1.3 \text{ M}\Omega$	 Octal
		Oscillator (triode systeem)	$V_b = 250 \text{ V}$ $R_a = 45 \text{ k}\Omega$ $R_{g3+gT} = 50 \text{ k}\Omega$	$I_a = 3.3$ $I_{g3+gT} = 0.2$	$S_o = 2.8 \text{ mA/V}$ $\mu = 24$	
ECH 41 Triode- hexode	$V_f = 6.3 \text{ V}$ $I_f = 0.23 \text{ A}$	Oscillator- mengbuis (hexode systeem)	$V_a = V_b = 250 \text{ V}$ $R_1 = 33 \text{ k}\Omega$ $R_2 = 47 \text{ k}\Omega$ $R_{g3+gT} = 20 \text{ k}\Omega$ $V_{g1} = -2 \text{ V}$	$I_a = 3.0$ $I_{g2+g4} = 2.2$ $I_{g3+gT} = 0.35$	$S_c = 0.5 \text{ mA/V}$ $R_i = 2 \text{ M}\Omega$ $V_{osc} = 8 \text{ V}$	 Rimlock
		Oscillator (triode systeem)	$V_b = 250 \text{ V}$ $R_a = 30 \text{ k}\Omega$ $R_{g3+gT} = 20 \text{ k}\Omega$	$I_a = 4.9$ $I_{g3+gT} = 0.35$	$S_o = 1.9 \text{ mA/V}$ $S_{eff} = 0.55 \text{ mA/V}$ $\mu = 19$	

ECH 42 Triode- hexode	$V_f = 6.3 \text{ V}$ $I_f = 0.23 \text{ A}$	Oscillator- mengbuis (hexode systeem)	$V_a = V_b = 250 \text{ V}$ $R_1 = 27 \text{ k}\Omega$ $R_2 = 27 \text{ k}\Omega$ $R_{g3+gT} = 22 \text{ k}\Omega$ $V_{g1} = -2 \text{ V}$	$I_a = 3.0$ $I_{g2+g4} = 3.0$ $I_{g3+gT} = 0.35$	$S_c = 0.75 \text{ mA/V}$ $R_i = 1.7 \text{ M}\Omega$	
		Oscillator (triode systeem)	$V_b = 250 \text{ V}$ $R_a = 33 \text{ k}\Omega$ $R_{g3+gT} = 22 \text{ k}\Omega$ $V_{osc} = 8 \text{ V}$	$I_a = 5.1$ $I_{g3+gT} = 0.35$	$S_o = 2.8 \text{ mA/V}$ $S_{eff} = 0.6 \text{ mA/V}$ $\mu = 22$	
ECH 81 ¹⁾ Triode- heptode	$V_f = 6.3 \text{ V}$ $I_f = 0.3 \text{ A}$	Oscillator- mengbuis (heptode systeem)	$V_a = V_b = 250 \text{ V}$ $R_{g2+g4} = 22 \text{ k}\Omega$ $R_{g3+gT} = 47 \text{ k}\Omega$ $V_{g1} = -2 \text{ V}$	$I_a = 3.25$ $I_{g2+g4} = 6.7$ $I_{g3+gT} = 0.2$	$S_c = 0.775 \text{ mA/V}$ $R_i = 1 \text{ M}\Omega$ $R_{eq} = 70 \text{ k}\Omega$	
		H.F. of M.F.c verrsterker (heptode systeem)	$V_a = V_b = 250 \text{ V}$ $R_{g2+g4} = 39 \text{ k}\Omega$ $V_{g1} = -2 \text{ V}$	$I_a = 6.5$ $I_{g2+g4} = 3.8$	$S = 2.4 \text{ mA/V}$ $R_i = 0.7 \text{ M}\Omega$ $\mu_{g2g1} = 20$ $R_{eq} = 8.5 \text{ k}\Omega$	
		Karakteristieke gegevens (triode systeem)	$V_a = 100 \text{ V}$ $V_g = 0 \text{ V}$	$I_a = 13.5$	$S = 3.7 \text{ mA/V}$ $R_i = 6 \text{ k}\Omega$ $\mu = 22$	
		Oscillator (triode systeem)	$V_b = 250 \text{ V}$ $R_a = 33 \text{ k}\Omega$ $R_{g3+gT} = 47 \text{ k}\Omega$	$I_a = 4.5$ $I_{g3+gT} = 0.2$	$S_{eff} = 0.55 \text{ mA/V}$	

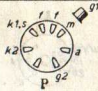
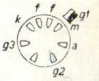
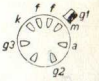
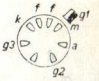
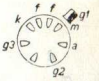
¹⁾ Voorlopige gegevens.

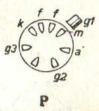

Type	Gloeidraad-gegevens	Toepassing	Spanningen Weerstanden	Stromen (mA)	Karakteristieke gegevens	Buisvoet-aansluitingen
ECL 11 Triode-eind-tetrode	$V_f = 6.3 \text{ V}$ $I_f = 1.0 \text{ A}$	Klasse A eind-versterker (tetrode systeem)	$V_a = 250 \text{ V}$ $V_{g2} = 250 \text{ V}$ $V_{g1} = -6 \text{ V}$	$I_a = 36$ $I_{g2} = 4$	$S = 9 \text{ mA/V}$ $R_i = 25 \text{ k}\Omega$ $R_a = 7 \text{ k}\Omega$ $W_o = 3.8 \text{ W}$ $W_a = 9 \text{ W}$	 Y
		Karakteristieke gegevens (triode systeem)	$V_a = 250 \text{ V}$ $V_g = -2.5 \text{ V}$	$I_a = 2$	$S = 2 \text{ mA/V}$ $R_i = 35 \text{ k}\Omega$ $\mu = 70$	
ECL 80 Triode-eind-penthode	$V_f = 6.3 \text{ V}$ $I_f = 0.3 \text{ A}$	Klasse A eind-versterker (penthode systeem)	$V_a = V_b = 170 \text{ V}$ $V_{g3} = 0 \text{ V}$ $V_{g2} = 170 \text{ V}$ $V_{g1} = -6.7 \text{ V}$	$I_a = 15$ $I_{g2} = 2.8$	$S = 3.2 \text{ mA/V}$ $R_i = 0.15 \text{ M}\Omega$ $R_a = 11 \text{ k}\Omega$ $W_o = 1.0 \text{ W}$ $W_a = 3.5 \text{ W}$	 Noval
		Separator voor synchroniseerpulsen (penthode systeem)	$V_a = 20 \text{ V}$ $V_{g3} = 0 \text{ V}$ $V_{g2} = 12 \text{ V}$ $V_{g1} = 0 \text{ V}$	$I_a = 2$		
		Karakteristieke gegevens (triode systeem)	$V_a = 100 \text{ V}$ $V_g = 0 \text{ V}$	$I_a = 8$	$S = 1.9 \text{ mA/V}$ $\mu = 20$	
		L.F. versterker (triode systeem)	$V_b = 170 \text{ V}$ $R_a = 0.22 \text{ M}\Omega$ $V_{g1} = -3.5 \text{ V}$ $R_{g1} = 0.68 \text{ M}\Omega$	$I_a = 0.5$	$g = 11$	


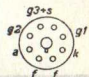
ECL 80

Handwritten notes in blue ink:

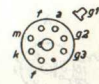
- gp
- ka
- gcl
- cb
- kb

EEP 1 Secundaire emissie tetrode (fase omkeerbuï)	$V_f = 6.3 \text{ V}$ $I_f = 0.6 \text{ A}$	Karakteristieke gegevens	$V_a = 250 \text{ V}$ $V_{g2} = 150 \text{ V}$ $V_{k2} = 150 \text{ V}$ $V_{g1} = -2.5 \text{ V}$	$I_a = 8$ $I_{g2} = 0.45$ $I_{k2} = -6.5$	$S = 17 \text{ mA/V}$ $R_i = 50 \text{ k}\Omega$	
EF 6 Penthode	$V_f = 6.3 \text{ V}$ $I_f = 0.2 \text{ A}$	H.F. versterker	$V_a = 250 \text{ V}$ $V_{g2} = 100 \text{ V}$ $V_{g1} = -2 \text{ V}$	$I_a = 3.0$ $I_{g2} = 0.8$	$S = 1.8 \text{ mA/V}$ $R_i = 2.5 \text{ M}\Omega$ $C_{ag1} < 3 \text{ mpF}$	
EF 6 Penthode	$V_f = 6.3 \text{ V}$ $I_f = 0.2 \text{ A}$	L.F. versterker	$V_b = 250 \text{ V}$ $R_a = 0.2 \text{ M}\Omega$ $R_{g2} = 0.4 \text{ M}\Omega$ $R_k = 3 \text{ k}\Omega$	$I_a = 0.9$ $I_{g2} = 0.35$	$g = 140$	
EF 6 Penthode	$V_f = 6.3 \text{ V}$ $I_f = 0.2 \text{ A}$	L.F. versterker	$V_b = 200 \text{ V}$ $R_a = 0.2 \text{ M}\Omega$ $R_{g2} = 0.4 \text{ M}\Omega$ $R_k = 5 \text{ k}\Omega$	$I_a = 0.6$ $I_{g2} = 0.23$	$g = 115$	
EF 6 Penthode	$V_f = 6.3 \text{ V}$ $I_f = 0.2 \text{ A}$	L.F. versterker	$V_b = 100 \text{ V}$ $R_a = 0.2 \text{ M}\Omega$ $R_{g2} = 0.4 \text{ M}\Omega$ $R_k = 5 \text{ k}\Omega$	$I_a = 0.30$ $I_{g2} = 0.12$	$g = 100$	

Type	Gloeidraad-gegevens	Toepassing	Spanningen Weerstanden	Stromen (mA)	Karakteristieke gegevens	Buisvoet- aansluitingen
EF 9 Variabele mu penthode	$V_f = 6.3 \text{ V}$ $I_f = 0.2 \text{ A}$	H.F. of M.F. versterker	$V_a = V_b = 250 \text{ V}$ $R_{g2} = 90 \text{ k}\Omega$ $V_{g1} = -2.5 \text{ V}$	$I_a = 6$ $I_{g2} = 1.7$	$S = 2.2 \text{ mA/V}$ $R_i = 1.25 \text{ M}\Omega$ $C_{ag1} < 2 \text{ mpF}$	
			$V_a = V_b = 200 \text{ V}$ $R_{g2} = 60 \text{ k}\Omega$ $V_{g1} = -2.5 \text{ V}$	$I_a = 6$ $I_{g2} = 1.7$	$S = 2.2 \text{ mA/V}$ $R_i = 0.9 \text{ M}\Omega$	
			$V_a = V_b = 100 \text{ V}$ $V_{g2} = 100 \text{ V}$ $V_{g1} = -2.5 \text{ V}$	$I_a = 6$ $I_{g2} = 1.7$	$S = 2.2 \text{ mA/V}$ $R_i = 0.4 \text{ M}\Omega$	
		L.F. versterker	$V_b = 250 \text{ V}$ $R_a = 0.2 \text{ M}\Omega$ $R_{g2} = 0.8 \text{ M}\Omega$ $R_k = 1.8 \text{ k}\Omega$	$I_a = 0.87$ $I_{g2} = 0.26$	$g = 105$	
EF 11 Variabele mu penthode	$V_f = 6.3 \text{ V}$ $I_f = 0.2 \text{ A}$	H.F. of M.F. versterker	$V_a = V_b = 250 \text{ V}$ $R_{g2} = 75 \text{ k}\Omega$ $V_{g1} = -2 \text{ V}$	$I_a = 6$ $I_{g2} = 2.0$	$S = 2.2 \text{ mA/V}$ $R_i = 2.0 \text{ M}\Omega$ $C_{ag1} < 2 \text{ mpF}$	
			$V_a = V_b = 200 \text{ V}$ $R_{g2} = 50 \text{ k}\Omega$ $V_{g1} = -2 \text{ V}$	$I_a = 5.7$ $I_{g2} = 2.0$	$S = 2.2 \text{ mA/V}$ $R_i = 1.5 \text{ M}\Omega$	
			$V_a = V_b = 100 \text{ V}$ $V_{g2} = 100 \text{ V}$ $V_{g1} = -2 \text{ V}$	$I_a = 6$ $I_{g2} = 2.0$	$S = 2.2 \text{ mA/V}$ $R_i = 0.4 \text{ M}\Omega$	

EF 11		L. F. versterker	$V_b = 250 \text{ V}$ $R_a = 0.2 \text{ M}\Omega$ $R_{g2} = 0.6 \text{ M}\Omega$ $R_k = 1.5 \text{ k}\Omega$	$I_a = 1.0$ $I_{g2} = 0.35$	$g = 98$	
EF 12 Penthode	$V_f = 6.3 \text{ V}$ $I_f = 0.2 \text{ A}$	H.F. of M.F. versterker	$V_a = 250 \text{ V}$ $V_{g2} = 100 \text{ V}$ $V_{g1} = -2 \text{ V}$	$I_a = 3.0$ $I_{g2} = 1.0$	$S = 2.1 \text{ mA/V}$ $R_i = 2.0 \text{ M}\Omega$ $C_{ag1} < 2 \text{ mpF}$	
		L. F. versterker	$V_b = 250 \text{ V}$ $R_a = 0.2 \text{ M}\Omega$ $R_{g2} = 0.5 \text{ M}\Omega$ $R_k = 1.6 \text{ k}\Omega$	$I_a = 0.90$ $I_{g2} = 0.37$	$g = 181$	
			$V_b = 200 \text{ V}$ $R_a = 0.2 \text{ M}\Omega$ $R_{g2} = 0.5 \text{ M}\Omega$ $R_k = 2.2 \text{ k}\Omega$	$I_a = 0.67$ $I_{g2} = 0.27$	$g = 166$	
$V_b = 100 \text{ V}$ $R_a = 0.2 \text{ M}\Omega$ $R_{g2} = 0.5 \text{ M}\Omega$ $R_k = 2.2 \text{ k}\Omega$	$I_a = 0.32$ $I_{g2} = 0.14$	$g = 128$				
EF 22 Variabele mu penthode	$V_f = 6.3 \text{ V}$ $I_f = 0.2 \text{ A}$	H.F. of M.F. versterker	$V_a = 250 \text{ V}$ $R_{g2} = 90 \text{ k}\Omega$ $V_{g1} = -2.5 \text{ V}$	$I_a = 6$ $I_{g2} = 1.7$	$S = 2.2 \text{ mA/V}$ $R_i = 1.2 \text{ M}\Omega$ $C_{ag1} < 2 \text{ mpF}$	
		L. F. versterker	$V_b = 250 \text{ V}$ $R_a = 0.2 \text{ M}\Omega$ $R_{g2} = 0.8 \text{ M}\Omega$ $R_k = 1.8 \text{ k}\Omega$	$I_a = 0.87$ $I_{g2} = 0.26$	$g = 106$	

Loctal 8p.

Type	Gloeidraad-gegevens	Toepassing	Spanningen Weerstanden	Stromen (mA)	Karakteristieke gegevens	Buisvoet- aansluitingen
EF 37A Penthode (anti- micro- fonisch)	$V_j = 6.3 \text{ V}$ $I_f = 0.2 \text{ A}$	H.F. versterker	$V_a = 250 \text{ V}$ $V_{g2} = 100 \text{ V}$ $V_{g1} = -2 \text{ V}$	$I_a = 3.0$ $I_{g2} = 0.8$	$S = 1.8 \text{ mA/V}$ $R_i = 2.5 \text{ M}\Omega$ $C_{ag1} < 3 \text{ mpF}$	 <p>Octal</p>
			$V_a = 200 \text{ V}$ $V_{g2} = 100 \text{ V}$ $V_{g1} = -2 \text{ V}$	$I_a = 3.0$ $I_{g2} = 0.8$	$S = 1.8 \text{ mA/V}$ $R_i = 2.0 \text{ M}\Omega$	
			$V_a = 100 \text{ V}$ $V_{g2} = 100 \text{ V}$ $V_{g1} = -2 \text{ V}$	$I_a = 3.0$ $I_{g2} = 0.8$	$S = 1.8 \text{ mA/V}$ $R_i = 1.0 \text{ M}\Omega$	
		L.F. versterker	$V_b = 250 \text{ V}$ $R_a = 0.3 \text{ M}\Omega$ $R_{g2} = 0.8 \text{ M}\Omega$ $R_k = 4 \text{ k}\Omega$	$I_a = 0.6$ $I_{g2} = 0.2$	$g = 165$	
			$V_b = 200 \text{ V}$ $R_a = 0.3 \text{ M}\Omega$ $R_{g2} = 0.6 \text{ M}\Omega$ $R_k = 6.4 \text{ k}\Omega$	$I_a = 0.45$ $I_{g2} = 0.17$	$g = 130$	
			$V_b = 100 \text{ V}$ $R_a = 0.3 \text{ M}\Omega$ $R_{g2} = 0.6 \text{ M}\Omega$ $R_k = 6.4 \text{ k}\Omega$	$I_a = 0.22$ $I_{g2} = 0.08$	$g = 105$	

EF 39

 Variabele
mu
penthode

$$V_f = 6.3 \text{ V}$$

$$I_f = 0.2 \text{ A}$$

 H.F. of M.F.
versterker

$$V_a = 250 \text{ V}$$

$$R_{g2} = 90 \text{ k}\Omega$$

$$V_{g1} = -2.5 \text{ V}$$

$$I_a = 6$$

$$I_{g2} = 1.7$$

$$S = 2.2 \text{ mA/V}$$

$$R_i = 1.2 \text{ M}\Omega$$

$$C_{ag1} < 3 \text{ mpF}$$

$$V_a = 200 \text{ V}$$

$$R_{g2} = 60 \text{ k}\Omega$$

$$V_{g1} = -2.5 \text{ V}$$

$$I_a = 6$$

$$I_{g2} = 1.7$$

$$S = 2.2 \text{ mA/V}$$

$$R_i = 0.9 \text{ M}\Omega$$

$$V_a = 100 \text{ V}$$

$$V_{g2} = 100 \text{ V}$$

$$V_{g1} = -2.5 \text{ V}$$

$$I_a = 6$$

$$I_{g2} = 1.7$$

$$S = 2.2 \text{ mA/V}$$

$$R_i = 0.4 \text{ M}\Omega$$

 L.F.
versterker

$$V_b = 250 \text{ V}$$

$$R_a = 0.2 \text{ M}\Omega$$

$$R_{g2} = 0.8 \text{ M}\Omega$$

$$R_k = 1.8 \text{ k}\Omega$$

$$I_a = 0.87$$

$$I_{g2} = 0.26$$

$$g = 105$$

 Karakteristieke
gegevens

$$V_a = 250 \text{ V}$$

$$V_{g2} = 140 \text{ V}$$

$$V_{g1} = -2 \text{ V}$$

$$I_a = 3.0$$

$$I_{g2} = 0.55$$

$$S = 1.85 \text{ mA/V}$$

$$R_i = 2.5 \text{ M}\Omega$$

$$C_{ag1} < 0.04 \text{ pF}$$

EF 40

 Ruisarme
voor-
versterker
penthode

$$V_f = 6.3 \text{ V}$$

$$I_f = 0.2 \text{ A}$$

 L.F.
versterker

$$V_b = 250 \text{ V}$$

$$R_a = 0.22 \text{ M}\Omega$$

$$R_{g2} = 1.0 \text{ M}\Omega$$

$$R_k = 1.5 \text{ k}\Omega$$

$$I_a = 0.86$$

$$I_{g2} = 0.18$$

$$g = 180$$

$$V_b = 250 \text{ V}$$

$$R_a = 0.33 \text{ M}\Omega$$

$$R_{g2} = 1.5 \text{ M}\Omega$$

$$R_k = 2.2 \text{ k}\Omega$$

$$I_a = 0.58$$

$$I_{g2} = 0.12$$

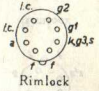
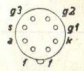
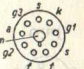
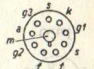
$$g = 210$$

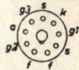

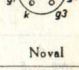

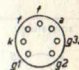


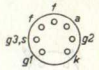


Octal



Rimlock

Type	Gloeidraad-gegevens	Toepassing	Spanningen Weerstanden	Stromen (mA)	Karakteristieke gegevens	Buisvoet- aansluitingen
EF 41 Variabele mu penthode	$V_f = 6.3 \text{ V}$ $I_f = 0.2 \text{ A}$	H.F. of M.F. versterker	$V_a = V_b = 250 \text{ V}$ $R_{g2} = 90 \text{ k}\Omega$ $V_{g1} = -2.5 \text{ V}$	$I_a = 6$ $I_{g2} = 1.7$	$S = 2.2 \text{ mA/V}$ $R_i = 1.0 \text{ M}\Omega$ $C_{ag1} < 2 \text{ mpF}$	 Rimlock
EF 42 H.F. penthode	$V_f = 6.3 \text{ V}$ $I_f = 0.33 \text{ A}$	H.F. of M.F. versterker	$V_a = 250 \text{ V}$ $V_{g2} = 250 \text{ V}$ $V_{g1} = -2 \text{ V}$	$I_a = 10$ $I_{g2} = 2.4$	$S = 9 \text{ mA/V}$ $R_i = 0.5 \text{ M}\Omega$ $\mu_{g2g1} = 83$ $R_{eq} = 840 \Omega$ $C_{ag1} < 6 \text{ mpF}$	 Rimlock
EF 43 Variabele mu penthode	$V_f = 6.3 \text{ V}$ $I_f = 0.33 \text{ A}$	Breedband versterker	$V_a = V_b = 250 \text{ V}$ $R_{g2} = 33 \text{ k}\Omega$ $V_{g3} = 0 \text{ V}$ $V_{g1} = -2 \text{ V}$	$I_a = 15$ $I_{g2} = 3.5$	$S = 6.4 \text{ mA/V}$ $R_i = 0.5 \text{ M}\Omega$ $R_{eq} = 1.7 \text{ k}\Omega$ $C_{ag1} < 6 \text{ mpF}$	 Rimlock
EF 50 H.F. penthode	$V_f = 6.3 \text{ V}$ $I_f = 0.3 \text{ A}$	Breedband versterker	$V_a = 250 \text{ V}$ $V_{g2} = 250 \text{ V}$ $V_{g1} = -2 \text{ V}$	$I_a = 10$ $I_{g2} = 3$	$S = 6.5 \text{ mA/V}$ $R_i = 1 \text{ M}\Omega$ $\mu_{g2g1} = 75$ $R_{eq} = 1.4 \text{ k}\Omega$ $C_{ag1} < 7 \text{ mpF}$	 Loctal 9p. (B9G)
EF 51	U.H.F. buis, zie bladz. 116					

EF 55 H.F. penthode	$V_f = 6.3 \text{ V}$ $I_f = 1.0 \text{ A}$	Karakteristieke gegevens	$V_a = 250 \text{ V}$ $V_{g2} = 250 \text{ V}$ $V_{g1} = -4.5 \text{ V}$	$I_a = 40$ $I_{g2} = 5.5$	$S = 12 \text{ mA/V}$ $R_i = 55 \text{ k}\Omega$ $\mu_{g2g1} = 28$ $C_{ag1} = 0.15 \text{ pF}$	 Loctal 9p. (B9G)
EF 80 H.F. penthode	$V_f = 6.3 \text{ V}$ $I_f = 0.3 \text{ A}$	H.F. of M.F. versterker	$V_a = 170 \text{ V}$ $V_{g3} = 0 \text{ V}$ $V_{g2} = 170 \text{ V}$ $V_{g1} = -2 \text{ V}$	$I_a = 10$ $I_{g2} = 2.5$	$S = 7.4 \text{ mA/V}$ $R_i = 0.5 \text{ M}\Omega$ $C_{ag1} < 7 \text{ mpF}$	
EF 85¹⁾ Variabele mu penthode	$V_f = 6.3 \text{ V}$ $I_f = 0.3 \text{ A}$	H.F. of M.F. versterker	$V_a = V_b = 250 \text{ V}$ $R_{g2} = 60 \text{ k}\Omega$ $V_{g1} = -2 \text{ V}$	$I_a = 10$ $I_{g2} = 2.5$	$S = 6 \text{ mA/V}$ $R_i = 0.5 \text{ M}\Omega$ $R_{eq} = 1.5 \text{ k}\Omega$	 Noval
EF 91 H.F. penthode	$V_f = 6.3 \text{ V}$ $I_f = 0.3 \text{ A}$	Breedband versterker	$V_a = 250 \text{ V}$ $V_{g3} = 0 \text{ V}$ $V_{g2} = 250 \text{ V}$ $V_{g1} = -2 \text{ V}$	$I_a = 10$ $I_{g2} = 2.55$	$S = 7.65 \text{ mA/V}$ $R_i = 1 \text{ M}\Omega$ $R_{eq} = 1.2 \text{ k}\Omega$ $C_{ag1} < 8 \text{ mpF}$	
EF 92 Variabele mu penthode	$V_f = 6.3 \text{ V}$ $I_f = 0.2 \text{ A}$	H.F. of M.F. versterker	$V_a = 250 \text{ V}$ $V_{g3} = 0 \text{ V}$ $V_{g2} = 150 \text{ V}$ $V_{g1} = -0.65 \text{ V}$	$I_a = 8.0$ $I_{g2} = 2.0$	$S = 2.5 \text{ mA/V}$ $C_{ag1} < 7 \text{ mpF}$	
			$V_a = 250 \text{ V}$ $V_{g3} = 0 \text{ V}$ $V_{g2} = 200 \text{ V}$ $V_{g1} = -2.5 \text{ V}$	$I_a = 8.0$ $I_{g2} = 2.1$	$S = 2.5 \text{ mA/V}$	Miniatuur

Type	Gloeidraad-gegevens	Toepassing	Spanningen Weerstanden	Stromen (mA)	Karakteristieke gegevens	Buisvoet- aansluitingen
EF 93 Variabele mu penthode	$V_f = 6.3 \text{ V}$ $I_f = 0.3 \text{ A}$	H.F. of M.F. versterker	$V_a = V_b = 250 \text{ V}$ $R_{g2} = 33 \text{ k}\Omega$ $V_{g1} = -1 \text{ V}$	$I_a = 11.6$ $I_{g2} = 4.5$	$S = 4.5 \text{ mA/V}$ $R_i = 1.0 \text{ M}\Omega$ $C_{ag1} < 3.5 \text{ mpF}$	 <p>Miniatuur</p>
			$V_a = V_b = 100 \text{ V}$ $V_{g2} = 100 \text{ V}$ $V_{g1} = -1 \text{ V}$	$I_a = 10.8$ $I_{g2} = 4.4$	$S = 4.3 \text{ mA/V}$ $R_i = 0.25 \text{ M}\Omega$	
EFF 51		U.H.F. buis, zie blz. 116				
EFM 1 L.F. penthode en afstem- indicator	$V_f = 6.3 \text{ V}$ $I_f = 0.2 \text{ A}$	L.F. versterker en afstem- indicator	$V_b = V_l = 250 \text{ V}$ $R_a = 0.13 \text{ M}\Omega$ $R_{g2} = 0.35 \text{ M}\Omega$ $V_{g1} = -2/-20 \text{ V}$	$I_a = 0.8/0.5$ $I_{g2} = 0.6/0.2$ $I_l = 0.65/0.8$	$g = 60/13$ $\alpha = 70^\circ/5^\circ$	
EFM 11 L.F. penthode en afstem- indicator	$V_f = 6.3 \text{ V}$ $I_f = 0.2 \text{ A}$	L.F. versterker en afstem- indicator	$V_b = V_l = 250 \text{ V}$ $R_a = 0.13 \text{ M}\Omega$ $R_{g2} = 0.35 \text{ M}\Omega$ $V_{g1} = -1.5/-20 \text{ V}$	$I_a = 1.0/0.58$ $I_{g2} = 0.63/0.26$ $I_l = 0.65/1.0$	$g = 80/12$ $\alpha = 70^\circ/3^\circ$	
EL 22						

EFP 60

Secondaire
emissie
penthode

$V_f = 6.3 \text{ V}$
 $I_f = 0.37 \text{ A}$

H.F. of M.F.
versterker

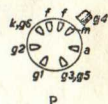

$V_a = 250 \text{ V}$
 $V_{g2} = 250 \text{ V}$
 $V_{k2} = 150 \text{ V}$
 $V_{g1} = -2 \text{ V}$
 $V_{g3} = 0 \text{ V}$


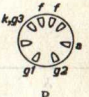
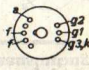
$I_a = 20$
 $I_{g2} = 1.5$
 $I_{k2} = -15.6$

$S = 25 \text{ mA/V}$
 $R_i = 70 \text{ k}\Omega$
 $C_{ag1} < 4 \text{ mpF}$



Loctal 9p.

Type	Gloeidraad-gegevens	Toepassing	Spanningen Weerstanden	Stromen (mA)	Karakteristieke gegevens	Buisvoet- aansluitingen
EK 2 Octode	$V_f = 6.3 \text{ V}$ $I_f = 0.2 \text{ A}$	Oscillator- mengbuis	$V_a = 200-250 \text{ V}$ $V_{g3+g5} = 50 \text{ V}$ $V_{g4} = -2 \text{ V}$ $V_{g2} = 200 \text{ V}$ $R_{g1} = 50 \text{ k}\Omega$	$I_a = 1.0$ $I_{g3+g5} = 1.1$ $I_{g2} = 2.5$ $I_{g1} = 0.3$	$S_c = 0.55 \text{ mA/V}$ $R_i = 2.0 \text{ M}\Omega$	
			$V_a = 100 \text{ V}$ $V_{g3+g5} = 50 \text{ V}$ $V_{g4} = -2 \text{ V}$ $V_{g2} = 100 \text{ V}$ $R_{g1} = 50 \text{ k}\Omega$	$I_a = 1.0$ $I_{g3+g5} = 1.0$ $I_{g2} = 1.5$ $I_{g1} = 0.2$	$S_c = 0.55 \text{ mA/V}$ $R_i = 1.2 \text{ M}\Omega$	
EL 2 Eind- penthode	$V_f = 6.3 \text{ V}$ $I_f = 0.2 \text{ A}$	Klasse A eind- versterker	$V_a = 250 \text{ V}$ $V_{g2} = 250 \text{ V}$ $V_{g1} = -18 \text{ V}$ $R_k = 485 \Omega$	$I_a = 32$ $I_{g2} = 5$	$S = 2.8 \text{ mA/V}$ $R_i = 70 \text{ k}\Omega$ $R_a = 8 \text{ k}\Omega$ $W_o = 3.6 \text{ W}$ $W_a = 8 \text{ W}$	
			$V_a = 200 \text{ V}$ $V_{g2} = 200 \text{ V}$ $V_{g1} = -14 \text{ V}$ $R_k = 480 \Omega$	$I_a = 25$ $I_{g2} = 4$	$S = 3.0 \text{ mA/V}$ $R_i = 70 \text{ k}\Omega$ $R_a = 8 \text{ k}\Omega$ $W_o = 2.3 \text{ W}$	
		Klasse AB balans- versterker	$V_a = 250 \text{ V}$ $V_{g2} = 250 \text{ V}$ $R_k = 305 \Omega$	$I_{a \text{ min}} = 2 \times 27.5$ $I_{a \text{ max}} = 2 \times 32.5$ $I_{g2 \text{ min}} = 2 \times 4.5$ $I_{g2 \text{ max}} = 2 \times 8$	$R_{aa} = 8 \text{ k}\Omega$ $W_o = 8 \text{ W}$	

EL 2 ET 31			$V_a = 200\text{ V}$ $V_{g2} = 200\text{ V}$ $R_k = 320\ \Omega$	$I_{amin} = 2 \times 21$ $I_{amax} = 2 \times 24.5$ $I_{g2min} = 2 \times 3.5$ $I_{g2max} = 2 \times 6$	$R_{aa} = 9\text{ k}\Omega$ $W_o = 5\text{ W}$	
EL 3 N Eind- penthode	$V_f = 6.3\text{ V}$ $I_f = 0.9\text{ A}$	Klasse A eindverstärker	$V_a = 250\text{ V}$ $V_{g2} = 250\text{ V}$ $V_{g1} = -6\text{ V}$ $R_k = 150\ \Omega$	$I_a = 36$ $I_{g2} = 4$	$S = 9\text{ mA/V}$ $R_i = 50\text{ k}\Omega$ $R_a = 7\text{ k}\Omega$ $W_o = 4.5\text{ W}$ $W_a = 9\text{ W}$	
		Klasse AB balans- verstärker	$V_a = 250\text{ V}$ $V_{g2} = 250\text{ V}$ $R_k = 140\ \Omega$	$I_{amin} = 2 \times 24$ $I_{amax} = 2 \times 28.5$ $I_{g2min} = 2 \times 2.8$ $I_{g2max} = 2 \times 4.6$	$R_{aa} = 10\text{ k}\Omega$ $W_o = 8.2\text{ W}$	
EL 6 Eind- penthode	$V_f = 6.3\text{ V}$ $I_f = 1.2\text{ A}$	Klasse A eindverstärker	$V_a = 250\text{ V}$ $V_{g2} = 250\text{ V}$ $V_{g1} = -7\text{ V}$ $R_k = 90\ \Omega$	$I_a = 72$ $I_{g2} = 8$	$S = 14.5\text{ mA/V}$ $R_i = 20\text{ k}\Omega$ $R_a = 3.5\text{ k}\Omega$ $W_o = 8\text{ W}$ $W_a = 18\text{ W}$	
		Klasse AB balans- verstärker	$V_a = 250\text{ V}$ $V_{g2} = 250\text{ V}$ $R_k = 90\ \Omega$	$I_{amin} = 2 \times 45$ $I_{amax} = 2 \times 53$ $I_{g2min} = 2 \times 5.1$ $I_{g2max} = 2 \times 8.5$	$R_{aa} = 5\text{ k}\Omega$ $W_o = 14.5\text{ W}$	
EL 11 Eind- penthode	$V_f = 6.3\text{ V}$ $I_f = 0.9\text{ A}$	Klasse A eindverstärker	$V_a = 250\text{ V}$ $V_{g2} = 250\text{ V}$ $V_{g1} = -6\text{ V}$ $R_k = 150\ \Omega$	$I_a = 36$ $I_{g2} = 4$	$S = 9\text{ mA/V}$ $R_i = 50\text{ k}\Omega$ $R_a = 7\text{ k}\Omega$ $W_o = 4.5\text{ W}$ $W_a = 9\text{ W}$	

Type

Gloeidraad-
gegevens

Toepassing

Spanningen
Weerstanden

Stromen (mA)

Karakteristieke
gegevensBuisvoet-
aansluitingenEL 12
Eind-
penthode

$$V_f = 6.3 \text{ V}$$

$$I_f = 1.2 \text{ A}$$

Klasse A
eindversterker

$$V_a = 250 \text{ V}$$

$$V_{g2} = 250 \text{ V}$$

$$V_{g1} = -7 \text{ V}$$

$$R_k = 90^{\circ} \Omega$$

$$I_a = 72 \text{ mA}$$

$$I_{g2} = 8 \text{ mA}$$

$$S = 15 \text{ mA/V}$$

$$R_i = 25 \text{ k}\Omega$$

$$R_a = 3.5 \text{ k}\Omega$$

$$W_o = 8 \text{ W}$$

$$W_a = 18 \text{ W}$$



Y

EL 33
Eind-
penthode

$$V_f = 6.3 \text{ V}$$

$$I_f = 0.9 \text{ A}$$

Klasse A
eindversterker

$$V_a = 250 \text{ V}$$

$$V_{g2} = 250 \text{ V}$$

$$V_{g1} = -6 \text{ V}$$

$$R_k = 150 \Omega$$

$$I_a = 36 \text{ mA}$$

$$I_{g2} = 4 \text{ mA}$$

$$S = 9 \text{ mA/V}$$

$$R_i = 50 \text{ k}\Omega$$

$$R_a = 7 \text{ k}\Omega$$

$$W_o = 4.5 \text{ W}$$

$$W_a = 9 \text{ W}$$



Octal

Klasse AB
balans-
versterker

$$V_a = 250 \text{ V}$$

$$V_{g2} = 250 \text{ V}$$

$$R_k = 140 \Omega$$

$$I_{a\text{min}} = 2 \times 24 \text{ mA}$$

$$I_{a\text{max}} = 2 \times 28.5 \text{ mA}$$

$$I_{g2\text{min}} = 2 \times 2.8 \text{ mA}$$

$$I_{g2\text{max}} = 2 \times 4.6 \text{ mA}$$

$$R_{aa} = 10 \text{ k}\Omega$$

$$W_o = 8.2 \text{ W}$$

EL 34

Klasse A
eindversterker

$$V_a = 250 \text{ V}$$

$$V_{g2} = 265 \text{ V}$$

$$V_{g1} = -13.5 \text{ V}$$

$$I_a = 100 \text{ mA}$$

$$I_{g2} = 15 \text{ mA}$$

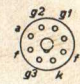
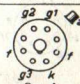
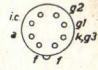
$$S = 11 \text{ mA/V}$$

$$R_i = 15 \text{ k}\Omega$$


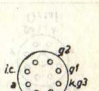
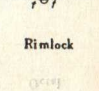

$$R_a = 2 \text{ k}\Omega$$



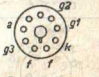
$$W_o = 11 \text{ W}$$

$$W_a = 25 \text{ W}$$

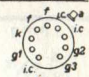
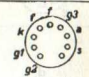
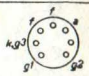


EL 34 Eind- penthode	$V_f = 6.3 \text{ V}$ $I_f = 1.5 \text{ A}$	Klasse AB balans- versterker	$V_b = 375 \text{ V}$ $R_{g2}^{1)} = 470 \Omega$ $R_k = 130 \Omega$	$I_{a\min} = 2 \times 75$ $I_{a\max} = 2 \times 95$ $I_{g2\min} = 2 \times 11.5$ $I_{g2\max} = 2 \times 22.5$	$R_{aa} = 4 \text{ k}\Omega$ $W_o = 37 \text{ W}$	 Octal
		Klasse B balans- versterker	$V_b = 425 \text{ V}$ $R_{g2}^{1)} = 1 \text{ k}\Omega$ $V_{g1} = -38 \text{ V}$	$I_{a\min} = 2 \times 30$ $I_{a\max} = 2 \times 120$ $I_{g2\min} = 2 \times 4.4$ $I_{g2\max} = 2 \times 25$	$R_{aa} = 3.4 \text{ k}\Omega$ $W_o = 55 \text{ W}$	
			$V_{ba} = 800 \text{ V}$ $V_{bg2} = 400 \text{ V}$ $V_{g1} = -39 \text{ V}$ $R_{g2} = 750 \Omega$	$I_{a\min} = 2 \times 25$ $I_{a\max} = 2 \times 91$ $I_{g2\min} = 2 \times 3$ $I_{g2\max} = 2 \times 19$	$R_{aa} = 11 \text{ k}\Omega$ $W_o = 100 \text{ W}$	
EL 38 Lijn tijdbasis eind- penthode	$V_f = 6.3 \text{ V}$ $I_f = 1.4 \text{ A}$	Karakteristieke gegevens	$V_a = 250 \text{ V}$ $V_{g2} = 250 \text{ V}$ $V_{g1} = -7 \text{ V}$	$I_a = 100$ $I_{g2} = 13$	$S = 14.3 \text{ mA/V}$ $R_i = 21 \text{ k}\Omega$ $C_{ag1} < 1.2 \text{ pF}$	 Octal
EL 41 Eind- penthode	$V_f = 6.3 \text{ V}$ $I_f = 0.71 \text{ A}$	Klasse A eindversterker	$V_a = 250 \text{ V}$ $V_{g2} = 250 \text{ V}$ $R_k = 170 \Omega$	$I_a = 36$ $I_{g2} = 5.2$	$S = 10 \text{ mA/V}$ $R_i = 40 \text{ k}\Omega$ $R_a = 7 \text{ k}\Omega$ $W_o = 4.8 \text{ W}$ $W_a = 9 \text{ W}$	 Rimlock
		Klasse AB balans- versterker	$V_a = 250 \text{ V}$ $V_{g2} = 250 \text{ V}$ $R_k = 85 \Omega$	$I_{a\min} = 2 \times 36$ $I_{a\max} = 2 \times 39.5$ $I_{g2\min} = 2 \times 5.2$ $I_{g2\max} = 2 \times 8$	$R_{aa} = 7 \text{ k}\Omega$ $W_o = 9.4 \text{ W}$	

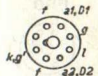
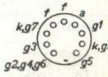

¹⁾ Gemeenschappelijke schermrooster weerstand.

Type	Gloeidraad-gegevens	Toepassing	Spanningen Weerstanden	Stromen (mA)	Karakteristieke gegevens	Buisvoet- aansluitingen
EL 42 Eind- penthode	$V_f = 6.3 \text{ V}$ $I_f = 0.2 \text{ A}$	Klasse A eindversterker	$V_a = 225 \text{ V}$ $V_{g2} = 225 \text{ V}$ $R_k = 360 \Omega$	$I_a = 26$ $I_{g2} = 4.1$	$S = 3.2 \text{ mA/V}$ $R_i = 90 \text{ k}\Omega$ $R_a = 9 \text{ k}\Omega$ $W_o = 2.8 \text{ W}$ $W_a = 6 \text{ W}$	
			$V_a = 200 \text{ V}$ $V_{g2} = 200 \text{ V}$ $R_k = 360 \Omega$	$I_a = 22.5$ $I_{g2} = 3.5$	$S = 3.2 \text{ mA/V}$ $R_i = 90 \text{ k}\Omega$ $R_a = 9 \text{ k}\Omega$ $W_o = 2.1 \text{ W}$	
		Klasse AB balans- versterker	$V_a = 250 \text{ V}$ $V_{g2} = 250 \text{ V}$ $R_k = 310 \Omega$	$I_{a\text{min}} = 2 \times 20$ $I_{a\text{max}} = 2 \times 21.5$ $I_{g2\text{min}} = 2 \times 3.2$ $I_{g2\text{max}} = 2 \times 6.7$	$R_{aa} = 15 \text{ k}\Omega$ $W_o = 7 \text{ W}$	
			$V_a = 200 \text{ V}$ $V_{g2} = 200 \text{ V}$ $R_k = 310 \Omega$	$I_{a\text{min}} = 2 \times 16$ $I_{a\text{max}} = 2 \times 17$ $I_{g2\text{min}} = 2 \times 2.6$ $I_{g2\text{max}} = 2 \times 5.6$	$R_{aa} = 15 \text{ k}\Omega$ $W_o = 4.1 \text{ W}$	
Klasse B balans- versterker	$V_a = 250 \text{ V}$ $V_{g2} = 250 \text{ V}$ $V_{g1} = -22.5 \text{ V}$	$I_{a\text{min}} = 2 \times 5$ $I_{a\text{max}} = 2 \times 20$ $I_{g2\text{min}} = 2 \times 0.8$ $I_{g2\text{max}} = 2 \times 6.5$	$R_{aa} = 16 \text{ k}\Omega$ $W_o = 6.5 \text{ W}$			

EL 50 Eind- penthode	$V_f = 6.3 \text{ V}$ $I_f = 1.35 \text{ A}$	Karakteristieke gegevens	$V_a = 800 \text{ V}$ $V_{g2} = 400 \text{ V}$ $V_{g1} = -37 \text{ V}$	$I_a = 22.5$ $I_{g2} = 2.5$	$S = 4 \text{ mA/V}$ $R_i = 50 \text{ k}\Omega$ $W_a = 18 \text{ W}$	 <p>P</p>
		Klasse AB balans- versterker	$V_a = 800 \text{ V}$ $V_{g2} = 400 \text{ V}$ $V_{g1} = -37.5 \text{ V}$	$I_{amin} = 2 \times 15$ $I_{amax} = 2 \times 70$ $I_{g2min} = 2 \times 1.3$ $I_{g2max} = 2 \times 20$	$R_{aa} = 16 \text{ k}\Omega$ $W_o = 84 \text{ W}$	
			$V_a = 400 \text{ V}$ $V_{g2} = 425 \text{ V}$ $V_{g1} = -35 \text{ V}$	$I_{amin} = 2 \times 25$ $I_{amax} = 2 \times 95$ $I_{g2min} = 2 \times 2.5$ $I_{g2max} = 2 \times 22$	$R_{aa} = 5 \text{ k}\Omega$ $W_o = 50 \text{ W}$	
EL 51 Eind- penthode	$V_f = 6.3 \text{ V}$ $I_f = 1.9 \text{ A}$	Karakteristieke gegevens	$V_a = 750 \text{ V}$ $V_{g2} = 750 \text{ V}$ $V_{g1} = -37.5 \text{ V}$	$I_a = 60$ $I_{g2} = 10$	$S = 8 \text{ mA/V}$ $R_i = 50 \text{ k}\Omega$ $W_a = 45 \text{ W}$	 <p>P</p>
		Klasse AB balans- versterker	$V_a = 500 \text{ V}$ $V_{g2} = 500 \text{ V}$ $R_k = 100 \Omega$	$I_{amin} = 2 \times 87$ $I_{amax} = 2 \times 110$ $I_{g2min} = 2 \times 13$ $I_{g2max} = 2 \times 23$	$R_{aa} = 4.8 \text{ k}\Omega$ $W_o = 67.5 \text{ W}$	
			Klasse B balans- versterker	$V_a = 750 \text{ V}$ $V_{g2}^1 = 750 \text{ V}$ $V_{g1} = -40 \text{ V}$	$I_{amin} = 2 \times 40$ $I_{amax} = 2 \times 145$ $I_{g2min} = 2 \times 7.5$ $I_{g2max} = 2 \times 30$	
EL 60 Eind- penthode	= EL 34 met andere buisvoet					 <p>Loctal 9 p.</p>





¹⁾ In de gemeenschappelijke schermroosterleiding moet een lamp van 550V/68 W worden opgenomen.

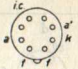
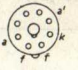
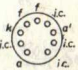
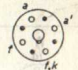
Type	Gloeidraad-gegevens	Toepassing	Spanningen Weerstanden	Stromen (mA)	Karakteristieke gegevens	Buisvoet- aansluitingen
EL 81 Lijn tijdbasis eind- penthode	$V_f = 6.3 \text{ V}$ $I_f = 1.05 \text{ A}$	Karakteristieke gegevens	$V_a = 250 \text{ V}$ $V_{g2} = 250 \text{ V}$ $V_{g3} = 0 \text{ V}$ $V_{g1} = -38.5 \text{ V}$	$I_a = 32$ $I_{g2} = 2.4$	$S = 4.6 \text{ mA/V}$ $W_a = 8 \text{ W}$ $V_{ap} = \text{max. } 7 \text{ kV}^1)$	 Noval
EL 83 Video versterker penthode	$V_f = 6.3 \text{ V}$ $I_f = 0.71 \text{ A}$	Karakteristieke gegevens	$V_a = 250 \text{ V}$ $V_{g2} = 250 \text{ V}$ $V_{g3} = 0 \text{ V}$ $V_{g1} = -5.5 \text{ V}$	$I_a = 36$ $I_{g2} = 5.0$	$S = 10 \text{ mA/V}$ $R_i = 0.13 \text{ M}\Omega$ $W_a = 9 \text{ W}$ $C_{g1} = 10.4 \text{ pF}$ $C_a = 6.6 \text{ pF}$	 Noval
EL 91 Output penthode	$V_f = 6.3 \text{ V}$ $I_f = 0.2 \text{ A}$	Klasse A eindversterker	$V_a = 250 \text{ V}$ $V_g = 250 \text{ V}$ $R_k = 680 \Omega$	$I_a = 16$ $I_{g2} = 2.4$	$S = 2.6 \text{ mA/V}$ $R_i = 130 \text{ k}\Omega$ $R_a = 16 \text{ k}\Omega$ $W_o = 1.4 \text{ W}$ $W_a = 4 \text{ W}$	 Miniatuur
EM 1 Afstem- indicator	$V_f = 6.3 \text{ V}$ $I_f = 0.2 \text{ A}$	Afstem- indicator	$V_b = V_l = 250 \text{ V}$ $R_a = 2 \text{ M}\Omega$ $V_g = 0/-5 \text{ V}$	$I_a = 0.095/0.021$ $I_l = 0.13/0.14$	$\alpha = 74^\circ/0^\circ$	 P
			$V_b = V_l = 200 \text{ V}$ $R_a = 2 \text{ M}\Omega$ $V_g = 0/-4 \text{ V}$	$I_a = 0.075/0.02$ $I_l = 0.13/0.14$	$\alpha = 70^\circ/0^\circ$	
EM 4 EM 34 Afstem- indicatoren	$V_f = 6.3 \text{ V}$ $I_f = 0.2 \text{ A}$	Afstem- indicator (gevoelige systeem)	$V_b = V_l = 250 \text{ V}$ $R_{a1} = 1 \text{ M}\Omega$ $V_g = 0/-5 \text{ V}$	$I_l = 2.0/2.5$	$\alpha_1 = 90^\circ/5^\circ$	 P EM 4
			$V_b = V_l = 200 \text{ V}$ $R_{a1} = 1 \text{ M}\Omega$ $V_g = 0/-4.2 \text{ V}$	$I_l = 1.4/1.8$	$\alpha_1 = 90^\circ/5^\circ$	

EM 4 EM 34		Afstem- indicator (ongevoelige systeem)	$V_b = V_l = 250 \text{ V}$ $R_{a2} = 1 \text{ M}\Omega$ $V_g = 0 / -16 \text{ V}$	$I_l = 2.0 / 2.7$	$a_2 = 90^\circ / 5^\circ$	 <p>Octal EM 34</p>
			$V_b = V_l = 200 \text{ V}$ $R_{a2} = 1 \text{ M}\Omega$ $V_g = 0 / -12.5 \text{ V}$	$I_l = 1.4 / 2.0$	$a_2 = 90^\circ / 5^\circ$	
EQ 80 Enneode	$V_f = 6.3 \text{ V}$ $I_f = 0.2 \text{ A}$	F.M. detector	$V_b = 250 \text{ V}$ $R_a = 0.47 \text{ M}\Omega$ $R_1 = 34 \text{ k}\Omega$ $R_3 = 3.9 \text{ k}\Omega$ $R_4 = 560 \Omega$	$I_a = 0.28$ $I_{g2} = 1.5$ $I_{g3} = 0.09$ $I_{g5} = 0.03$	$R_t = 5 \text{ M}\Omega$	 <p>Noval</p>
		L.F. versterker	$V_b = 250 \text{ V}$ $R_a = 0.47 \text{ M}\Omega$ $R_{g2+g3+g5} = 0.27 \text{ M}\Omega$ $R_k = 2.2 \text{ k}\Omega$	$I_a = 0.4$ $I_{g2+g3+g5} = 0.7$	$g = 150$	
EY 51 Gelijkricht buis voor zeer hoge spanning	$V_f = 63 \text{ V}$ $I_f = 90 \text{ mA}$	Gelijkrichter 50 Hz	$V_{tr} = \text{max. } 5 \text{ kV}$	$I_o = \text{max. } 3$	$C_{\text{filt}} = \text{max. } 0.1 \mu\text{F}$ $R_t = \text{min. } 0.1 \text{ M}\Omega$	
		Gelijkrichter 10-500.kHz	$V_a \text{ inv p} = \text{max. } 17 \text{ kV}$	$I_o = \text{max. } 3$	$C_{\text{filt}} = \text{max. } 0.01 \mu\text{F}$ $R_t = \text{min. } 0.1 \text{ M}\Omega$	
		Impuls- gelijkrichter	$V_a \text{ inv p} = \text{max. } 17 \text{ kV}$	$I_o = \text{max. } 0.35$ $I_{op} = \text{max. } 80^2)$	$C_{\text{filt}} = \text{max. } 5000 \text{ pF}$	

¹⁾ Maximum impulsstijd 18% van één periode met een maximum van 18 μsec .

²⁾ Maximum impulsstijd $\frac{1}{2}$ % van één periode met een maximum van 5 μsec .

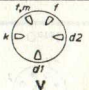
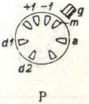
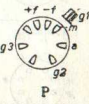
Type	Gloeidraad-gegevens	Toepassing	Spanningen Weerstanden	Stromen (mA)	Karakteristieke gegevens	Buisvoet- aansluitingen
EY 80 ¹⁾ Serie- spaarodiode (booster- diode)	$V_f = 6.3 \text{ V}$ $I_f = 0.9 \text{ A}$	„Booster“	$V_{a \text{ inv } p^2}) = \text{max. } 4 \text{ kV}$	$I_{a_0} = \text{max. } 180$ $I_{a_p} = \text{max. } 400$	$V_{kf p} = \text{max. } 650 \text{ V}^3)$ $C_a = 5.5 \text{ pF}$ $C_{\text{filt}} = \text{max. } 4 \mu\text{F}$	 Noval
EY 91 Enkelefasige gelijk- richtbuis	$V_f = 6.3 \text{ V}$ $I_f = 0.42 \text{ A}$	Gelijkrichter	$V_i = 250 \text{ V}$ $V_i = 200 \text{ V}$	$I_o = \text{max. } 75$ $I_o = \text{max. } 75$	$C_{\text{filt}} = 32 \mu\text{F}$ $R_t = \text{min. } 100 \Omega$ $R_t = \text{min. } 70 \Omega$ $V_{kf p} = \text{max. } 300 \text{ V}$	 Miniatuur
EZ 2 Dubbel- fasige gelijk- richtbuis	$V_f = 6.3 \text{ V}$ $I_f = 0.4 \text{ A}$	Gelijkrichter	$V_{tr} = 2 \times 300 \text{ V}$ $V_{tr} = 2 \times 350 \text{ V}$	$I_o = \text{max. } 60$ $I_o = \text{max. } 60$	$C_{\text{filt}} = \text{max. } 32 \mu\text{F}$ $R_t = \text{min. } 500 \Omega$ $C_{\text{filt}} = \text{max. } 16 \mu\text{F}$ $R_t = \text{min. } 500 \Omega$	 P
EZ 35 Dubbel- fasige gelijk- richtbuis	$V_f = 6.3 \text{ V}$ $I_f = 0.6 \text{ A}$	Gelijkrichter	$V_{tr} = 2 \times 325 \text{ V}$	$I_o = \text{max. } 70$	$R_t = \text{min. } 350 \Omega$ $C_{\text{filt}} = \text{max. } 16 \mu\text{F}$ $V_{kf p} = \text{max. } 350 \text{ V}$	 Octal

EZ 40 Dubbel- fazige gelijk- richtbuis	$V_f = 6.3 \text{ V}$ $I_f = 0.6 \text{ A}$	Gelijkrichter	$V_{tr} = 2 \times 250 \text{ V}$ $= 2 \times 300 \text{ V}$ $= 2 \times 350 \text{ V}$	$I_o = \text{max. } 90$ $= \text{max. } 90$ $= \text{max. } 90$	$R_t = \text{min. } 125 \Omega$ $= \text{min. } 215 \Omega$ $= \text{min. } 300 \Omega$ $C_{\text{filt}} = \text{max. } 50 \mu\text{F}$ $V_{kf p} = \text{max. } 500 \text{ V}$	 Rimlock
EZ 41 Dubbel- fazige gelijk- richtbuis	$V_f = 6.3 \text{ V}$ $I_f = 0.4 \text{ A}$	Gelijkrichter	$V_{tr} = 2 \times 250 \text{ V}$	$I_o = \text{max. } 60$	$C_{\text{filt}} = \text{max. } 32 \mu\text{F}$ $R_t = \text{min. } 300 \Omega$ $V_{kf p} = \text{max. } 350 \text{ V}$	 Rimlock
EZ 80¹⁾ Dubbel- fazige gelijk- richtbuis	$V_f = 6.3 \text{ V}$ $I_f = 0.6 \text{ A}$	Gelijkrichter	$V_{tr} = 2 \times 350 \text{ V}$ $= 2 \times 350 \text{ V}$ $= 2 \times 275 \text{ V}$ $= 2 \times 250 \text{ V}$	$I_o = \text{max. } 90$ $= \text{max. } 90$ $= \text{max. } 90$ $= \text{max. } 90$	$R_t = \text{min. } 300 \Omega$ $= \text{min. } 215 \Omega$ $= \text{min. } 175 \Omega$ $= \text{min. } 125 \Omega$ $C_{\text{filt}} = \text{max. } 50 \mu\text{F}$	 Noval
GZ 32 Dubbel- fazige gelijk- richtbuis	$V_f = 5 \text{ V}$ $I_f = 2 \text{ A}$	Gelijkrichter	$V_{tr} = 2 \times 500 \text{ V}$ $= 2 \times 300 \text{ V}$ $= 2 \times 300 \text{ V}$	$I_o = \text{max. } 125$ $= \text{max. } 250$ $= \text{max. } 300$	$C_{\text{filt}} = \text{max. } 64 \mu\text{F}$ $R_t = \text{min. } 150 \Omega$ $C_{\text{filt}} = \text{max. } 32 \mu\text{F}$ $R_t = \text{min. } 100 \Omega$ $C_{\text{filt}} = \text{max. } 16 \mu\text{F}$ $R_t = \text{min. } 50 \Omega$	 Octal

¹⁾ Voorlopige gegevens.

²⁾ Max. impulstijd 18% van één periode met een maximum van 18 μsec .

³⁾ Max. 160 V eff. wisselspanning + 450 V gelijkspanning. Kathode positief t.o.v. gloeidraad.

Type	Gloeidraad-gegevens	Toepassing	Spanningen Weerstanden	Stromen (mA)	Karakteristieke gegevens	Buisvoet- aansluitingen
KB 2 Dubbele diode	$V_f = 2\text{ V}$ $I_f = 95\text{ mA}$	Detector en A.V.C.				
KBC 1 Dubbele diode- triode	$V_f = 2\text{ V}$ $I_f = 0.115\text{ A}$	Karakteristieke gegevens	$V_a = 135\text{ V}$ $V_g = -4.5\text{ M}\Omega$	$I_a = 2.5$	$S = 1.0\text{ mA/V}$ $R_i = 16\text{ k}\Omega$ $\mu = 16$	
			L.F. versterker	$V_b = 135\text{ V}$ $R_a = 0.2\text{ M}\Omega$ $V_g = -2.0\text{ V}$	$I_a = 0.35$	
KF 3 Variabele mu penthode	$V_f = 2\text{ V}$ $I_f = 45\text{ mA}$	H.F. of M.F. versterker	$V_a = 135\text{ V}$ $V_{g2} = 135\text{ V}$ $V_{g1} = -0.5\text{ V}$	$I_a = 2.0$ $I_{g2} = 0.6$	$S = 0.65\text{ mA/V}$ $R_i = 1.3\text{ M}$ $C_{a\&1} < 6\text{ mpF}$	
			$V_a = 90\text{ V}$ $V_{g2} = 90\text{ V}$ $V_{g1} = -0.5\text{ V}$	$I_a = 1.0$ $I_{g2} = 0.2$	$S = 0.5\text{ mA/V}$ $R_i = 2\text{ M}\Omega$	

KK 2
Octode

$$V_f = 2 \text{ V}$$

$$I_f = 0.13 \text{ A}$$

Oscillator-
mengbuis

$$V_a = 135 \text{ V}$$

$$V_{g3+g5} = 45 \text{ V}$$

$$V_{g4} = -0.5 \text{ V}$$

$$V_{g2} = 135 \text{ V}$$

$$R_{g1} = 50 \text{ k}\Omega$$

$$V_{osc} = 8.5 \text{ V}$$

$$I_a = 0.7$$

$$I_{g3+g5} = 1.0$$

$$I_{g2} = 2.2$$

$$I_{g1} = 0.16$$

$$S_c = 0.27 \text{ mA/V}$$

$$R_i = 2.5 \text{ M}\Omega$$



P

$$V_a = 90 \text{ V}$$

$$V_{g3+g5} = 45 \text{ V}$$

$$V_{g4} = -0.5 \text{ V}$$

$$V_{g2} = 90 \text{ V}$$

$$R_{g1} = 50 \text{ k}\Omega$$

$$V_{osc} = 8.5 \text{ V}$$

$$I_a = 0.7$$

$$I_{g3+g5} = 1.0$$

$$I_{g2} = 1.6$$

$$I_{g1} = 0.16$$

$$S_c = 0.27 \text{ mA/V}$$

$$R_i = 2.0 \text{ M}\Omega$$

KL 4
Eind-
penthode

$$V_f = 2 \text{ V}$$

$$I_f = 0.15 \text{ A}$$

Klasse A
eindversterker

$$V_a = 135 \text{ V}$$

$$V_{g2} = 135 \text{ V}$$

$$V_{g1} = -5 \text{ V}$$

$$I_a = 7$$

$$I_{g2} = 1.1$$

$$S = 2.1 \text{ mA/V}$$

$$R_i = 130 \text{ k}\Omega$$

$$R_a = 19 \text{ k}\Omega$$

$$W_o = 0.44 \text{ W}$$

$$W_a = 1 \text{ W}$$



P

$$V_a = 90 \text{ V}$$

$$V_{g2} = 90 \text{ V}$$

$$V_{g1} = -2.6 \text{ V}$$

$$I_a = 4.7$$

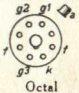
$$I_{g2} = 0.8$$


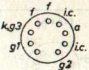
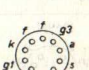
$$S = 1.8 \text{ mA/V}$$

$$R_i = 150 \text{ k}\Omega$$

$$R_a = 19 \text{ k}\Omega$$

$$W_o = 0.16 \text{ W}$$



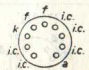
Type	Gloeidraad-gegevens	Toepassing	Spanningen Weerstanden	Stromen (mA)	Karakteristieke gegevens	Buisvoet- aansluitingen
MAW	Zendbuis, zie bladz. 130					
MF	Radarbuizen, zie bladz. 123					
MV	Röntgenbuizen, zie bladz. 152					
MW	Beeldbuizen, zie bladz. 123					
OA	Germanium dioden, zie bladz. 171					
PA PB PE	Zendbuizen, zie bladz. 130					
PL 5	Senditron, zie bladz. 147					
PL 10 PL 17 PL 21	Thyratron, zie bladz. 147					
PL 38 ¹⁾ Eind- penthode	$V_f = 30 \text{ V}$ $I_f = 0.3 \text{ A}$	Karakteristieke gegevens	$V_a = 200 \text{ V}$ $V_{g2} = 200 \text{ V}$ $V_{g1} = -5.5 \text{ V}$	$I_a = 75$ $I_{g2} = 9.0$	$S = 13.5 \text{ mA/V}$ $R_i = 20 \text{ k}\Omega$ $C_{ag1} > 1.2 \text{ pF}$ $W_a = 25 \text{ W}$	
PL 57	Thyratron, zie bladz. 147					

PL 81 Lijntijd- basis eind- penthode	$V_f = 21.5 \text{ V}$ $I_f = 0.3 \text{ A}$	Karakteristieke gegevens	$V_a = 170 \text{ V}$ $V_{g3} = 0 \text{ V}$ $V_{g2} = 170 \text{ V}$ $V_{g1} = -22 \text{ V}$	$I_a = 45$ $I_{g2} = 3.0$	$S = 6.2 \text{ mA/V}$ $W_a = 8 \text{ W}$ $V_{ap}^{2)} = \text{max. } 7 \text{ kV}$	 Noval
PL 82¹⁾ Eind- penthode voor verticale afbuiging of geluid	$V_f = 16.5 \text{ V}$ $I_f = 0.3 \text{ A}$	Karakteristieke gegevens	$V_a = 170 \text{ V}$ $V_{g2} = 170 \text{ V}$ $V_{g1} = -10.4 \text{ V}$	$I_a = 53$ $I_{g2} = 10$	$S = 9.0 \text{ mA/V}$ $R_i = 20 \text{ k}\Omega$ $W_a = 9 \text{ W}$ $V_{ap}^{3)} = \text{max. } 2.5 \text{ kV}$	 Noval
PL 83 Video eind- penthode	$V_f = 15 \text{ V}$ $I_f = 0.3 \text{ A}$	Karakteristieke gegevens	$V_a = 200 \text{ V}$ $V_{g1} = 0 \text{ V}$ $V_{g2} = 200 \text{ V}$ $V_{g1} = -3.5 \text{ V}$	$I_a = 36$ $I_{g2} = 5$	$S = 10.5 \text{ mA/V}$ $R_i = 0.1 \text{ M}\Omega$ $W_a = 9 \text{ W}$ $C_{g1} = 10.4 \text{ pF}$ $C_a = 6.6 \text{ pF}$ $C_{ag1} < 0.1 \text{ pF}$	 Noval
PL 105 PL 150 PL 435 PL 522	Thyratrons, zie blad. 147					
PL 1267	= Z 300 T Triggerbuis, zie blad. 169					

¹⁾ Voorlopige gegevens.

²⁾ Max. impulsdijktijd 18% van één periode met een maximum van 18 μsec .

³⁾ Max. impulsdijktijd 10% van één periode met een maximum van 2000 μsec .

Type	Gloeidraad-gegevens	Toepassing	Spanningen Weerstanden	Stromen (mA)	Karakteristieke gegevens	Buisvoet- aansluitingen
PL 1607 PL 5544 PL 5545		Thyratrons, zie bladz. 147				
PL 5551 PL 5552 PL 5555		Ignitrons, zie bladz. 150				
PY 80 Seriespaar- diode (booster diode)	$V_f = 19 \text{ V}$ $I_f = 0.3 \text{ A}$	Seriespaardiode	$V_{ainvp}^1) =$ max. 4 kV	$I_a = \text{max. } 180$ $I_{ap} = \text{max. } 400$	$V_{kfP} = \text{max. } 650 \text{ V}^2)$ $C_a = 5.5 \text{ pF}$ $C_{filt} = \text{max. } 4 \mu\text{F}$	 Noval
PY 81 Seriespaar- diode (booster diode)	$V_f = 17 \text{ V}$ $I_f = 0.3 \text{ A}$	Seriespaardiode	$V_{ainvp} =$ max. 4.5 kV	$I_a = \text{max. } 150$ $I_{ap} = \text{max. } 450$		 Noval
PY 82 Enkelfazige gelijkricht- buis	$V_f = 19 \text{ V}$ $I_f = 0.3 \text{ A}$	Gelijkrichter	$V_i = 220 \text{ V}$ $V_i = 127 \text{ V}$	$I_o = \text{max. } 180$ $I_o = \text{max. } 180$	$R_t = \text{min. } 40 \Omega$ $C_{filt} = \text{max. } 60 \mu\text{F}$ $R_t = 0 \Omega$ $V_{ainvp} = \text{max. } 700 \text{ V}$ $V_{kfP} = \text{max. } 550 \text{ V}^3)$	 Noval

QB
QE
QOC
QOE
TA
TB

Zendbuizen, zie bladz. 130

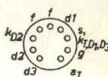

TH


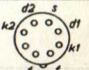
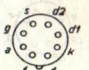
Thermokoppels, zie bladz. 169

U 30

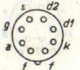

Stroomregulatorbuis, zie blz. 170

- 1) Max. impulstijd 18% van één periode met een maximum van 18 μ sec.
2) Max. 160 V eff. wisselspanning + 450 V gelijkspanning. Kathode positief t.o.v. gloeidraad.
3) Max. 220 V eff. wisselspanning + 250 V gelijkspanning. Kathode positief t.o.v. gloeidraad.

Type	Gloeidraad-gegevens	Toepassing	Spanningen Weerstanden	Stromen (mA)	Karakteristieke gegevens	Buisvoet- aansluitingen
UABC 80 ¹⁾ Drievoudige diode- triode	$V_f = 28.5 \text{ V}$ $I_f = 0.1 \text{ A}$	Karakteristieke gegevens (diode systemen)	$V_{d1 \text{ inv p}} = \text{max. } 350 \text{ V}$ $V_{d2 \text{ inv p}} = \text{max. } 350 \text{ V}$ $V_{d3 \text{ inv p}} = \text{max. } 350 \text{ V}$	$I_{d1} = \text{max. } 1$ $I_{d1 \text{ p}} = \text{max. } 6$ $I_{d2} = \text{max. } 10$ $I_{d2 \text{ p}} = \text{max. } 75$ $I_{d3} = \text{max. } 10$ $I_{d3 \text{ p}} = \text{max. } 75$	$R_{id1} = 6.25 \text{ k}\Omega$ ($V_{d1} = 10 \text{ V}$) $R_{id2} = 200 \Omega$ ($V_{d2} = 5 \text{ V}$) $R_{id3} = 200 \Omega$ ($V_{d3} = 5 \text{ V}$)	 Noval
		Karakteristieke gegevens (triode systeem)	$V_a = 170 \text{ V}$ $V_g = -2 \text{ V}$	$I_a = 0.8$	$S = 1.2 \text{ mA/V}$ $R_i = 58 \text{ k}\Omega$ $\mu = 70$	
UAF 41 Diode- variabele mu penthode	$V_f = 12.6 \text{ V}$ $I_f = 0.1 \text{ A}$	H.F. of M.F. versterker	$V_a = V_b = 170 \text{ V}$ $R_{g2} = 44 \text{ k}\Omega$ $V_{g1} = -2 \text{ V}$	$I_a = 5$ $I_{g2} = 1.6$	$S = 1.8 \text{ mA/V}$ $R_i = 1.2 \text{ M}\Omega$ $C_{ag1} < 2 \text{ mpF}$	 Rimlock
		L.F. versterker	$V_a = V_b = 100 \text{ V}$ $R_{g2} = 44 \text{ k}\Omega$ $V_{g1} = -1.1 \text{ V}$	$I_a = 2.8$ $I_{g2} = 0.9$	$S = 1.65 \text{ mA/V}$ $R_i = 1.0 \text{ M}\Omega$	
		L.F. versterker	$V_b = 170 \text{ V}$ $R_a = 0.2 \text{ M}\Omega$ $R_{g2} = 0.73 \text{ M}\Omega$ $R_k = 2.7 \text{ k}\Omega$	$I_a = 0.58$ $I_{g2} = 0.18$	$g = 78$	
		L.F. versterker	$V_b = 100 \text{ V}$ $R_a = 0.2 \text{ M}\Omega$ $R_{g2} = 0.73 \text{ M}\Omega$ $R_k = 2.7 \text{ k}\Omega$	$I_a = 0.34$ $I_{g2} = 0.10$	$g = 73$	

UAF 42 Diode- variabele mu- penthode	$V_f = 12.6 \text{ V}$ $I_f = 0.1 \text{ A}$	H.F. of M.F. versterker	$V_a = V_b = 170 \text{ V}$ $R_{g2} = 56 \text{ k}\Omega$ $V_{g1} = -2.0 \text{ V}$	$I_a = 5.0$ $I_{g2} = 1.5$	$S = 2.0 \text{ mA/V}$ $R_i = 0.9 \text{ M}\Omega$ $C_{av1} < 2 \text{ mpF}$	 <p>Rimlock</p>
		L.F. versterker	$V_a = V_b = 100 \text{ V}$ $R_{g2} = 56 \text{ k}\Omega$ $V_{g1} = -1.2 \text{ V}$	$I_a = 2.8$ $I_{g2} = 0.9$	$S = 1.7 \text{ mA/V}$ $R_i = 0.85 \text{ M}\Omega$	
UB 41 Dubbele diode	$V_f = 19 \text{ V}$ $I_f = 0.1 \text{ A}$	Detectie en A.V.C.	$V_{d \text{ inv p}} = \text{max. } 420 \text{ V}$	$I_d = \text{max. } 9$ $I_{dp} = \text{max. } 54$	$g = 80$	 <p>Rimlock</p>
					$g = 75$	
UBC 41 Dubbele diode- triode	$V_f = 14 \text{ V}$ $I_f = 0.1 \text{ A}$	Karakteristieke gegevens	$V_a = 170 \text{ V}$ $V_g = -1.55 \text{ V}$	$I_a = 1.5$	$S = 1.65 \text{ mA/V}$ $R_i = 42 \text{ k}\Omega$ $\mu = 70$	 <p>Rimlock</p>
			$V_a = 100 \text{ V}$ $V_g = -1.0 \text{ V}$	$I_a = 0.8$	$S = 1.4 \text{ mA/V}$ $R_i = 50 \text{ k}\Omega$ $\mu = 70$	

1) Voorlopige gegevens.

Type	Gloeidraad-gegevens	Toepassing	Spanningen Weerstanden	Stromen (mA)	Karakteristieke gegevens	Buisvoet- aansluitingen
UBC 41 Dubbele diode- triode (vervolg)	$V_f = 14 \text{ V}$ $I_f = 0.1 \text{ A}$	L.F. versterker	$V_b = 170 \text{ V}$ $R_a = 0.1 \text{ M}\Omega$ $R_k = 3.9 \text{ k}\Omega$	$I_a = 0.45$	$g = 37$	
			$V_b = 100 \text{ V}$ $R_a = 0.1 \text{ M}\Omega$ $R_k = 3.9 \text{ k}\Omega$	$I_a = 0.28$	$g = 34$	
UBF 11 Dubbele diode- variabele mu penthode	$V_f = 20 \text{ V}$ $I_f = 0.1 \text{ A}$	H.F. of M.F. versterker	$V_a = V_b = 200 \text{ V}$ $R_{g2} = 70 \text{ k}\Omega$ $V_{g1} = -2 \text{ V}$	$I_a = 5$ $I_{g2} = 1.7$	$S = 1.8 \text{ mA/V}$ $R_i = 1.5 \text{ M}\Omega$ $C_{ag1} < 2 \text{ mpF}$	
			$V_a = V_b = 100 \text{ V}$ $R_{g2} = 70 \text{ k}\Omega$ $V_{g1} = -1 \text{ V}$	$I_a = 2.6$ $I_{g2} = 0.85$	$S = 1.3 \text{ mA/V}$ $R_i = 0.9 \text{ M}\Omega$	
		L.F. versterker	$V_b = 200 \text{ V}$ $R_a = 0.2 \text{ M}\Omega$ $R_{g2} = 0.7 \text{ M}\Omega$ $R_k = 2.4 \text{ k}\Omega$	$I_a = 0.66$ $I_{g2} = 0.24$	$g = 82$	
			$V_b = 100 \text{ V}$ $R_a = 0.2 \text{ M}\Omega$ $R_{g2} = 0.7 \text{ M}\Omega$ $R_k = 2.4 \text{ k}\Omega$	$I_a = 0.33$ $I_{g2} = 0.12$	$g = 76$	

UBF 80

Dubbele
diode-
variabele
mu
penthode

$$V_f = 17 \text{ V}$$

$$I_f = 0.1 \text{ A}$$

H.F. of M.F.
versterker

$$V_a = V_b = 170 \text{ V}$$

$$R_{g2} = 47 \text{ k}\Omega$$

$$R_k = 295 \Omega$$

$$I_a = 5.0$$

$$I_{g2} = 1.75$$

$$S = 2.2 \text{ mA/V}$$

$$R_i = 0.9 \text{ M}\Omega$$

$$C_{ag1} < 2.5 \text{ mpF}$$

$$V_a = V_b = 100 \text{ V}$$

$$R_{g2} = 47 \text{ k}\Omega$$

$$R_k = 295 \Omega$$

$$I_a = 2.8$$

$$I_{g2} = 1.0$$

$$S = 1.9 \text{ mA/V}$$

$$R_i = 0.9 \text{ M}\Omega$$

L.F.
versterker

$$V_b = 170 \text{ V}$$

$$R_a = 0.22 \text{ M}\Omega$$

$$R_{g2} = 0.68 \text{ M}\Omega$$

$$R_k = 2.7 \text{ k}\Omega$$

$$I_a = 0.56$$

$$I_{g2} = 0.20$$

$$g = 85$$

$$V_b = 100 \text{ V}$$

$$R_a = 0.22 \text{ M}\Omega$$

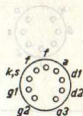
$$R_{g2} = 0.68 \text{ M}\Omega$$

$$R_k = 2.7 \text{ k}\Omega$$

$$I_a = 0.32$$

$$I_{g2} = 0.12$$

$$g = 82$$



Noval

UBL 1

Dubbele
diode-
eind-
penthode

$$V_f = 55 \text{ V}$$

$$I_f = 0.1 \text{ A}$$

Klasse A
eindversterker

$$V_a = 200 \text{ V}$$

$$V_{g2} = 200 \text{ V}$$

$$V_{g1} = -11.5 \text{ V}$$

$$R_k = 175 \Omega$$

$$I_a = 55$$

$$I_{g2} = 11$$

$$S = 8.5 \text{ mA/V}$$

$$R_i = 20 \text{ k}\Omega$$

$$R_a = 3.5 \text{ k}\Omega$$

$$W_o = 5.2 \text{ W}$$

$$W_a = 11 \text{ W}$$

$$V_a = 185 \text{ V}$$

$$V_{g2} = 185 \text{ V}$$

$$V_{g1} = -10 \text{ V}$$

$$R_k = 140 \Omega$$

$$I_a = 59$$

$$I_{g2} = 11.3$$

$$S = 8.8 \text{ mA/V}$$

$$R_i = 23 \text{ k}\Omega$$

$$R_a = 3 \text{ k}\Omega$$

$$W_o = 5 \text{ W}$$

$$V_a = 100 \text{ V}$$

$$V_{g2} = 100 \text{ V}$$

$$V_{g1} = -5 \text{ V}$$

$$R_k = 145 \Omega$$

$$I_a = 28.5$$

$$I_{g2} = 5.3$$

$$S = 7 \text{ mA/V}$$

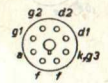
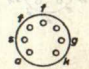
$$R_i = 25 \text{ k}\Omega$$

$$R_a = 3 \text{ k}\Omega$$

$$W_o = 1.05 \text{ W}$$



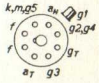
Octal

Type	Gloeidraad-gegevens	Toepassing	Spanningen Weerstanden	Stromen (mA)	Karakteristieke gegevens	Buisvoet-aansluitingen
UBL 21 Dubbele diode-eind-penthode	$V_f = 55 \text{ V}$ $I_f = 0.1 \text{ A}$	Klasse A eindversterker	$V_a = 180 \text{ V}$ $V_{g2} = 180 \text{ V}$ $V_{g1} = -10 \text{ V}$ $R_k = 140 \Omega$	$I_a = 61$ $I_{g2} = 10$	$S = 9 \text{ mA/V}$ $R_i = 22 \text{ k}\Omega$ $R_a = 3 \text{ k}\Omega$ $W_o = 4.8 \text{ W}$ $W_a = 11 \text{ W}$	 Loctal 8p.
			$V_a = 100 \text{ V}$ $V_{g2} = 100 \text{ V}$ $V_{g1} = -5.3 \text{ V}$ $R_k = 140 \Omega$	$I_a = 32.5$ $I_{g2} = 5.5$	$S = 7.5 \text{ mA/V}$ $R_i = 25 \text{ k}\Omega$ $R_a = 3 \text{ k}\Omega$ $W_o = 1.35 \text{ W}$	
		Klasse AB balans-versterker	$V_a = 200 \text{ V}$ $V_{g2} = 200 \text{ V}$ $R_k = 116 \Omega$	$I_{a\text{min}} = 2 \times 50$ $I_{a\text{max}} = 2 \times 56$ $I_{g2\text{min}} = 2 \times 7.8$ $I_{g2\text{max}} = 2 \times 14$	$R_{aa} = 4 \text{ k}\Omega$ $W_o = 12.5 \text{ W}$	
UC 92 ¹⁾ H. F. triode	$V_f = 9.5 \text{ V}$ $I_f = 0.1 \text{ A}$	Karakteristieke gegevens	$V_a = 250 \text{ V}$ $V_g = -2 \text{ V}$	$I_a = 10$	$S = 5 \text{ mA/V}$ $R_i = 12 \text{ k}\Omega$ $\mu = 60$ freq. = max. 300 MHz	 Miniatuur
			$V_a = 170 \text{ V}$ $V_g = -1 \text{ V}$	$I_a = 8.5$	$S = 5.5 \text{ mA/V}$ $R_i = 12 \text{ k}\Omega$ $\mu = 66$	

No. van de kaart	Aardrijkskundige naam	Aardrijkskundige omschrijving	Aardrijkskundige afmetingen	Aardrijkskundige afmetingen (in meters)	Aardrijkskundige afmetingen (in meters)	Aardrijkskundige afmetingen (in meters)
1	1000	1000	1000	1000	1000	1000
2	1000	1000	1000	1000	1000	1000
3	1000	1000	1000	1000	1000	1000
4	1000	1000	1000	1000	1000	1000
5	1000	1000	1000	1000	1000	1000
6	1000	1000	1000	1000	1000	1000
7	1000	1000	1000	1000	1000	1000
8	1000	1000	1000	1000	1000	1000
9	1000	1000	1000	1000	1000	1000
10	1000	1000	1000	1000	1000	1000



2) Voorlopige gegevens.

Type	Gloeidraad-gegevens	Toepassing	Spanningen Weerstanden	Stromen (mA)	Karakteristieke gegevens	Buisvoet- aansluitingen
UCH 4 Triode- heptode	$V_f = 20 \text{ V}$ $I_f = 0.1 \text{ A}$	Oscillator- mengbuis (heptode- systeem)	$V_a = V_b = 200 \text{ V}$ $R_{g2+g4} = 15.5 \text{ k}\Omega$ $R_{g3+gT} = 50 \text{ k}\Omega$ $V_{g1} = -2 \text{ V}$	$I_a = 3.0$ $I_{g2+g4} = 6.5$ $I_{g3+gT} = 0.19$	$S_c = 0.75 \text{ mA/V}$ $R_i = 1.0 \text{ M}\Omega$	 <p>Octal</p>
			$V_a = V_b = 100 \text{ V}$ $R_{g2+g4} = 15.5 \text{ k}\Omega$ $R_{g3+gT} = 50 \text{ k}\Omega$ $V_{g1} = -1 \text{ V}$	$I_a = 1.5$ $I_{g2+g4} = 3.0$ $I_{g3+gT} = 0.095$	$S_c = 0.58 \text{ mA/V}$ $R_i = 1.0 \text{ M}\Omega$	
		Oscillator (triode- systeem)	$V_b = 200 \text{ V}$ $R_a = 20 \text{ k}\Omega$ $R_{g3+gT} = 50 \text{ k}\Omega$	$I_a = 4.1$ $I_{g2+gT} = 0.19$	$S_{\text{eff}} = 0.45 \text{ mA/V}$ $V_{\text{osc}} = 7.5 \text{ V}$	
			$V_b = 100 \text{ V}$ $R_a = 20 \text{ k}\Omega$ $R_{g3+gT} = 50 \text{ k}\Omega$	$I_a = 1.9$ $I_{g3+gT} = 0.095$	$S_{\text{eff}} = 0.44 \text{ mA/V}$ $V_{\text{osc}} = 4 \text{ V}$	
		M.F. versterke, (heptode- systeem)	$V_a = V_b = 200 \text{ V}$ $R_{g2+g4} = 30 \text{ k}\Omega$ $V_{g3} = 0 \text{ V}$ $V_{g1} = -2 \text{ V}$	$I_a = 5.2$ $I_{g2+g4} = 3.5$	$S = 2.2 \text{ mA/V}$ $R_i = 0.7 \text{ M}\Omega$ $C_{ag1} < 2 \text{ mpF}$	
			$V_a = V_b = 100 \text{ V}$ $R_{g2+g4} = 30 \text{ k}\Omega$ $V_{g3} = 0 \text{ V}$ $V_{g1} = -1 \text{ V}$	$I_a = 2.6$ $I_{g2+g4} = 1.9$	$S = 2.0 \text{ mA/V}$ $R_i = 0.7 \text{ M}\Omega$	

UCH 4

L.F.
versterker
(triode-
systeem)

$$\begin{aligned} V_b &= 200 \text{ V} \\ R_a &= 100 \text{ k}\Omega \\ V_g &= -2 \text{ V} \end{aligned}$$

$$I_a = 1.5$$

$$g = 10.5$$

$$\begin{aligned} V_b &= 100 \text{ V} \\ R_a &= 100 \text{ k}\Omega \\ V_g &= -1 \text{ V} \end{aligned}$$

$$I_a = 0.68$$

$$g = 10.5$$

Karakteristieke
gegevens
(triode-
systeem)

$$\begin{aligned} V_a &= 100 \text{ V} \\ V_g &= 0 \text{ V} \end{aligned}$$

$$I_a = 12$$

$$\begin{aligned} S &= 3.2 \text{ mA/V} \\ R_i &= 6 \text{ k}\Omega \\ \mu &= 19 \end{aligned}$$

UCH 11

Triode-
hexode

$$\begin{aligned} V_f &= 20 \text{ V} \\ I_f &= 0.1 \text{ A} \end{aligned}$$

Oscillator-
mengbuis
(hexode-
systeem)

$$\begin{aligned} V_a = V_b &= 200 \text{ V} \\ R_{g2+g4} &= 40 \text{ k}\Omega \\ R_{g3+gT} &= 50 \text{ k}\Omega \\ V_{g1} &= -2 \text{ V} \end{aligned}$$

$$\begin{aligned} I_a &= 2.5 \\ I_{g2+g4} &= 3.0 \\ I_{g3+gT} &= 0.16 \end{aligned}$$

$$\begin{aligned} S_c &= 0.75 \text{ mA/V} \\ R_i &= 1.0 \text{ M}\Omega \end{aligned}$$

$$\begin{aligned} V_a = V_b &= 100 \text{ V} \\ R_{g2+g4} &= 40 \text{ k}\Omega \\ R_{g3+gT} &= 50 \text{ k}\Omega \\ V_{g1} &= -1 \text{ V} \end{aligned}$$

$$\begin{aligned} I_a &= 1.2 \\ I_{g2+g4} &= 1.5 \\ I_{g3+gT} &= 0.10 \end{aligned}$$

$$\begin{aligned} S_c &= 0.45 \text{ mA/V} \\ R_i &= 0.6 \text{ M}\Omega \end{aligned}$$

Oscillator
(triode-
systeem)

$$\begin{aligned} V_b &= 200 \text{ V} \\ R_a &= 30 \text{ k}\Omega \\ R_{g2+gT} &= 50 \text{ k}\Omega \end{aligned}$$

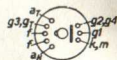
$$\begin{aligned} I_a &= 2.8 \\ I_{g2+gT} &= 0.16 \end{aligned}$$

$$V_{osc} = 7 \text{ V}$$

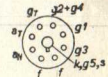
$$\begin{aligned} V_b &= 100 \text{ V} \\ R_a &= 30 \text{ k}\Omega \\ R_{g2+gT} &= 50 \text{ k}\Omega \end{aligned}$$

$$\begin{aligned} I_a &= 1.4 \\ I_{g2+gT} &= 0.10 \end{aligned}$$

$$V_{osc} = 4 \text{ V}$$



Y

Type	Gloeidraad-gegevens	Toepassing	Spanningen Weerstanden	Stromen (mA)	Karakteristieke gegevens	Buisvoet- aansluitingen
UCH 21 Triode- heptode	$V_f = 20 \text{ V}$ $I_f = 0.1 \text{ A}$	Oscillator- mengbuis (heptode- systeem)	$V_a = 200 \text{ V}$ $R_{g2+g4} = 15.5 \text{ k}\Omega$ $R_{g3+gT} = 50 \text{ k}\Omega$ $V_{g1} = -2 \text{ V}$	$I_a = 3.5$ $I_{g2+g4} = 6.5$ $I_{g3+gT} = 0.19$	$S_c = 0.75 \text{ mA/V}$ $R_i = 1.0 \text{ M}\Omega$	
			$V_a = 100 \text{ V}$ $R_{g2+g4} = 15.5 \text{ k}\Omega$ $R_{g3+gT} = 50 \text{ k}\Omega$ $V_{g1} = -1 \text{ V}$	$I_a = 1.5$ $I_{g2+g4} = 3.0$ $I_{g3+gT} = 0.095$	$S_c = 0.58 \text{ mA/V}$ $R_i = 1.0 \text{ M}\Omega$	
		Oscillator (triode- systeem)	$V_b = 200 \text{ V}$ $R_a = 20 \text{ k}\Omega$ $R_{g3+gT} = 50 \text{ k}\Omega$	$I_a = 4.1$ $I_{g3+gT} = 0.19$	$S_{\text{eff}} = 0.45 \text{ mA/V}$ $V_{\text{osc}} = 7.5 \text{ V}$	
			$V_b = 100 \text{ V}$ $R_a = 20 \text{ k}\Omega$ $R_{g3+gT} = 50 \text{ k}\Omega$	$I_a = 1.9$ $I_{g3+gT} = 0.095$	$S_{\text{eff}} = 0.44 \text{ mA/V}$ $V_{\text{osc}} = 4 \text{ V}$	
		M.F. versterker (heptode- systeem)	$V_a = 200 \text{ V}$ $R_{g2+g4} = 30 \text{ k}\Omega$ $V_{g3} = 0 \text{ V}$ $V_{g1} = -2 \text{ V}$	$I_a = 5.2$ $I_{g2+g4} = 3.5$	$S = 2.2 \text{ mA/V}$ $R_i = 0.7 \text{ M}\Omega$ $C_{ag1} < 2 \text{ mpF}$	
			$V_a = 100 \text{ V}$ $R_{g2+g4} = 30 \text{ k}\Omega$ $V_{g3} = 0 \text{ V}$ $V_{g1} = -1 \text{ V}$	$I_a = 2.6$ $I_{g2+g4} = 1.9$	$S = 2.0 \text{ mA/V}$ $R_i = 0.7 \text{ M}\Omega$	

Loctal 8 p.

UCH 21

L.F.
versterker
(triode-
systeem)

$$\begin{aligned} V_b &= 200 \text{ V} \\ R_a &= 100 \text{ k}\Omega \\ V_g &= -2 \text{ V} \end{aligned}$$

$$I_a = 1.5$$

$$g = 10.5$$

$$\begin{aligned} V_b &= 100 \text{ V} \\ R_a &= 100 \text{ k}\Omega \\ V_g &= -1 \text{ V} \end{aligned}$$

$$I_a = 0.68$$

$$g = 10.5$$

Karakteristieke
gegevens
(triodesysteem)

$$\begin{aligned} V_a &= 100 \text{ V} \\ V_g &= 0 \text{ V} \end{aligned}$$

$$I_a = 12$$

$$\begin{aligned} S &= 3.2 \text{ mA/V} \\ R_i &= 6 \text{ k}\Omega \\ \mu &= 19 \end{aligned}$$

UCH 41

Triode-
hexode

$$\begin{aligned} V_f &= 14 \text{ V} \\ I_f &= 0.1 \text{ A} \end{aligned}$$

Oscillator-
mengbuis
(hexode-
systeem)

$$\begin{aligned} V_a=V_b &= 170 \text{ V} \\ R_1 &= 22 \text{ k}\Omega \\ R_2 &= 47 \text{ k}\Omega \\ R_{g3+gT} &= 20 \text{ k}\Omega \\ V_{g1} &= 1.8 \text{ V} \end{aligned}$$

$$\begin{aligned} I_a &= 2.2 \\ I_{g2+g4} &= 1.9 \\ I_{g3+gT} &= 0.32 \end{aligned}$$

$$\begin{aligned} S_c &= 0.45 \text{ mA/V} \\ R_i &= 1.2 \text{ M}\Omega \end{aligned}$$

$$\begin{aligned} V_a=V_b &= 100 \text{ V} \\ R_1 &= 22 \text{ k}\Omega \\ R_2 &= 47 \text{ k}\Omega \\ R_{g3+gT} &= 20 \text{ k}\Omega \\ V_{g1} &= 1.0 \text{ V} \end{aligned}$$

$$\begin{aligned} I_a &= 1.0 \\ I_{g2+g4} &= 1.0 \\ I_{g3+gT} &= 0.20 \end{aligned}$$

$$\begin{aligned} S_c &= 0.32 \text{ mA/V} \\ R_i &= 1.4 \text{ M}\Omega \end{aligned}$$

Oscillator
(triodesysteem)

$$\begin{aligned} V_b &= 170 \text{ V} \\ R_a &= 10 \text{ k}\Omega \\ R_{g3+gT} &= 20 \text{ k}\Omega \end{aligned}$$

$$\begin{aligned} I_a &= 4.9 \\ I_{g3+gT} &= 0.32 \end{aligned}$$

$$\begin{aligned} S_{\text{eff}} &= 0.6 \text{ mA/V} \\ V_{\text{osc}} &= 7 \text{ V} \end{aligned}$$



Rimlock

Type	Gloeidraad-gegevens	Toepassing	Spanningen Weerstanden	Stromen (mA)	Karakteristieke gegevens	Buisvoet- aansluitingen
UCH 41 (vervolg)	$V_f = 14\text{ V}$ $I_f = 0.1\text{ A}$	Oscillator (triode- systeem)	$V_b = 100\text{ V}$ $R_a = 10\text{ k}\Omega$ $R_{g3+gT} = 20\text{ k}\Omega$ $V_{osc} = 4\text{ V}$	$I_a = 2.8$ $I_{g3+gT} = 0.20$	$S_{eff} = 0.56\text{ mA/V}$ $S_o = 1.9\text{ mA/V}$ $\mu = 19$	 Rimlock
UCH 42 Triode- hexode	$V_f = 14\text{ V}$ $I_f = 0.1\text{ A}$	Oscillator- mengbuis (hexode- systeem)	$V_a = V_b = 170\text{ V}$ $R_1 = 18\text{ k}\Omega$ $R_2 = 27\text{ k}\Omega$ $R_{g3+gT} = 47\text{ k}\Omega$ $V_{g1} = -1.85\text{ V}$	$I_a = 2.1$ $I_{g2+g4} = 2.6$ $I_{g3+gT} = 0.20$	$S_c = 0.67\text{ mA/V}$ $R_i = 1.0\text{ M}\Omega$	 Rimlock
			$V_a = V_b = 100\text{ V}$ $R_1 = 18\text{ k}\Omega$ $R_2 = 27\text{ k}\Omega$ $R_{g2+gT} = 47\text{ k}\Omega$ $V_{g1} = -1.0\text{ V}$	$I_a = 1.2$ $I_{g2+g4} = 1.5$ $I_{g3+gT} = 0.10$	$S_c = 0.53\text{ mA/V}$ $R_i = 1.2\text{ M}\Omega$	
		Oscillator (triode- systeem)	$V_b = 170\text{ V}$ $R_a = 10\text{ k}\Omega$ $R_{g3+gT} = 47\text{ k}\Omega$ $V_{osc} = 8\text{ V}$	$I_a = 5.7$ $I_{g3+gT} = 0.20$	$S_{eff} = 0.65\text{ mA/V}$	
			$V_b = 100\text{ V}$ $R_a = 10\text{ k}\Omega$ $R_{g3+gT} = 47\text{ k}\Omega$ $V_{osc} = 4\text{ V}$	$I_a = 3.1$ $I_{g3+gT} = 0.10$	$S_{eff} = 0.6\text{ mA/V}$ $S_o = 2.8\text{ mA/V}$ $\mu = 22$	

UCH 81¹⁾

 Triode
heptode

$$V_f = 19 \text{ V}$$

$$I_f = 0.1 \text{ A}$$

 Oscillator-
mengbuis
(heptode-
systeem)

$$V_a = V_b = 170 \text{ V}$$

$$R_{g2+g4} = 10 \text{ k}\Omega$$

$$R_{g3+gT} = 47 \text{ k}\Omega$$

$$V_{g1} = -2 \text{ V}$$

$$I_a = 3.25$$

$$I_{g2+g4} = 6.7$$

$$I_{g3+gT} = 0.2$$

$$S_c = 0.775 \text{ mA/V}$$

$$R_i = 1 \text{ M}\Omega$$

$$R_{eq} = 70 \text{ k}\Omega$$

 H.F. of M.F.
versterker
(heptode-
systeem)

$$V_a = V_b = 170 \text{ V}$$

$$R_{g2+g4} = 18 \text{ k}\Omega$$

$$V_g = -2 \text{ V}$$

$$I_a = 6.8$$

$$I_{g2+g4} = 3.5$$

$$S = 2.4 \text{ mA/V}$$

$$R_i = 0.7 \text{ M}\Omega$$

 Karakteristieke
gegevens
(triode-systeem)

$$V_a = 100 \text{ V}$$

$$V_g = 0 \text{ V}$$

$$I_a = 13.5$$

$$S = 3.7 \text{ mA/V}$$

$$R_i = 6 \text{ k}\Omega$$

$$\mu = 22$$

 Oscillator
(triode-systeem)

$$V_b = 170 \text{ V}$$

$$R_a = 22 \text{ k}\Omega$$

$$R_{g3+gT} = 47 \text{ k}\Omega$$

$$I_a = 4.5$$

$$I_{g3+gT} = 0.2$$

$$S_{eff} = 0.55 \text{ mA/V}$$



Noval

UCL 11

 Triode-
eind-
tetrode

$$V_f = 60 \text{ V}$$

$$I_f = 0.1 \text{ A}$$

 Karakteristieke
gegevens
(triode-systeem)

$$V_a = 200 \text{ V}$$

$$V_g = -2 \text{ V}$$

$$I_a = 2.0$$

$$S = 2.1 \text{ mA/V}$$

$$R_i = 30 \text{ k}\Omega$$

$$\mu = 65$$

 Klasse A
eindversterker
(tetrode-
systeem)

$$V_a = 200 \text{ V}$$

$$V_{g2} = 200 \text{ V}$$

$$V_{g1} = -8.5 \text{ V}$$

$$I_a = 45$$

$$I_{g2} = 6$$

$$S = 9 \text{ mA/V}$$

$$R_i = 18 \text{ k}\Omega$$

$$R_a = 4.5 \text{ k}\Omega$$

$$W_o = 4 \text{ W}$$



Y

UF 9
Variabele
mu
penthode

$$V_f = 12.6 \text{ V}$$

$$I_f = 0.1 \text{ A}$$

 H.F. of M.F.
versterker

$$V_a = V_b = 200 \text{ V}$$

$$R_{g2} = 60 \text{ k}\Omega$$

$$V_{g1} = -2.5 \text{ V}$$

$$I_a = 6$$

$$I_{g2} = 1.7$$

$$S = 2.2 \text{ mA/V}$$

$$R_i = 1.2 \text{ M}\Omega$$

$$C_{ag1} < 2 \text{ mpF}$$

$$V_a = V_b = 100 \text{ V}$$

$$R_{g2} = 60 \text{ k}\Omega$$

$$V_{g1} = -1.3 \text{ V}$$

$$I_a = 3.2$$

$$I_{g2} = 0.85$$

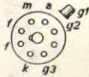

$$S = 2.0 \text{ mA/V}$$

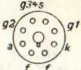

$$R_i = 1.0 \text{ M}\Omega$$



Octal

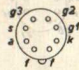
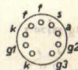
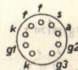
¹⁾ Voorlopige gegevens.

Type	Gloeidraad-gegevens	Toepassing	Spanningen Weerstanden	Stromen (mA)	Karakteristieke gegevens	Buisvoet- aansluitingen
UF 9 (vervolg)	$V_f = 12.6 \text{ V}$ $I_f = 0.1 \text{ A}$	L.F. versterker	$V_b = 200 \text{ V}$ $R_a = 0.2 \text{ M}\Omega$ $R_{g2} = 0.8 \text{ M}\Omega$ $R_k = 2.5 \text{ k}\Omega$	$I_a = 0.65$ $I_{g2} = 0.17$	$g = 88$	 Octal
			$V_b = 100 \text{ V}$ $R_a = 0.2 \text{ M}\Omega$ $R_{g2} = 0.8 \text{ M}\Omega$ $R_k = 2.5 \text{ k}\Omega$	$I_a = 0.33$ $I_{g2} = 0.08$	$g = 82$	
UF 11 Variabele mu penthode	$V_f = 15 \text{ V}$ $I_f = 0.1 \text{ A}$	H.F. of M.F. versterker	$V_a = 200 \text{ V}$ $R_{g2} = 70 \text{ k}\Omega$ $V_{g1} = -2 \text{ V}$	$I_a = 6$ $I_{g2} = 1.7$	$S = 2.2 \text{ mA/V}$ $R_i = 1.5 \text{ M}\Omega$ $C_{ag1} < 2 \text{ mpF}$	 Y
			$V_a = V_b = 100 \text{ V}$ $R_{g2} = 70 \text{ k}\Omega$ $V_{g1} = -1 \text{ V}$	$I_a = 2.8$ $I_{g2} = 0.95$	$S = 1.8 \text{ mA/V}$ $R_i = 1.1 \text{ M}\Omega$ $C_{ag1} < 2 \text{ mpF}$	
		L.F. versterker	$V_b = 200 \text{ V}$ $R_a = 0.2 \text{ M}\Omega$ $R_{g2} = 0.6 \text{ M}\Omega$ $R_k = 2 \text{ k}\Omega$	$I_a = 0.76$ $I_{g2} = 0.26$	$g = 77$	
			$V_b = 100 \text{ V}$ $R_a = 0.2 \text{ M}\Omega$ $R_{g2} = 0.6 \text{ M}\Omega$ $R_k = 2 \text{ k}\Omega$	$I_a = 0.37$ $I_{g2} = 0.12$	$g = 66$	

UF 21 Variabele mu penthode	$V_f = 12.6 \text{ V}$ $I_f = 0.1 \text{ A}$	H.F. of M.F. versterker	$V_a - V_b = 200 \text{ V}$ $R_{g2} = 60 \text{ k}\Omega$ $V_{g1} = -2.5 \text{ V}$	$I_a = 6$ $I_{g2} = 1.7$	$S = 2.2 \text{ mA/V}$ $R_i = 1.0 \text{ M}\Omega$ $C_{ag1} < 2 \text{ mpF}$	 Octal 8p.
			$V_a - V_b = 100 \text{ V}$ $R_{g2} = 60 \text{ k}\Omega$ $V_{g1} = -1.3 \text{ V}$	$I_a = 3.2$ $I_{g2} = 0.85$	$S = 2.0 \text{ mA/V}$ $R_i = 1.0 \text{ M}\Omega$	
	L.F. versterker	$V_b = 200 \text{ V}$ $R_a = 0.2 \text{ M}\Omega$ $R_{g2} = 0.8 \text{ M}\Omega$ $R_k = 2.5 \text{ k}\Omega$	$I_a = 0.65$ $I_{g2} = 0.17$	$g = 88$		
		$V_b = 100 \text{ V}$ $R_a = 0.2 \text{ M}\Omega$ $R_{g2} = 0.8 \text{ M}\Omega$ $R_k = 2.5 \text{ k}\Omega$	$I_a = 0.33$ $I_{g2} = 0.08$	$g = 82$		
UF 41 Variabele mu penthode	$V_f = 12.6 \text{ V}$ $I_f = 0.1 \text{ A}$	H.F. of M.F. versterker	$V_a = 170 \text{ V}$ $R_{g2} = 40 \text{ k}\Omega$ $V_{g1} = -2.5 \text{ V}$	$I_a = 6$ $I_{g2} = 1.75$	$S = 2.2 \text{ mA/V}$ $R_i = 1.0 \text{ M}\Omega$ $C_{ag1} < 2 \text{ mpF}$	 Rimlock
			$V_a = 100 \text{ V}$ $R_{g2} = 40 \text{ k}\Omega$ $V_{g1} = -1.4 \text{ V}$	$I_a = 3.3$ $I_{g2} = 1.0$	$S = 1.9 \text{ mA/V}$ $R_i = 0.8 \text{ M}\Omega$	



Rimlock

Type	Gloeidraad-gegevens	Toepassing	Spanningen Weerstanden	Stromen (mA)	Karakteristieke gegevens	Buisvoet- aansluitingen
UF 42 H.F. penthode	$V_f = 21 \text{ V}$ $I_f = 0.1 \text{ A}$	Karakteristieke gegevens	$V_a = 170 \text{ V}$ $V_{g2} = 170 \text{ V}$ $V_{g1} = -2 \text{ V}$	$I_a = 10$ $I_{g2} = 2.8$	$S = 8 \text{ mA/V}$ $R_f = 0.3 \text{ M}\Omega$ $C_{ag1} < 6 \text{ mpF}$ $R_{eq} = 1060 \Omega$	 Rimlock
UF 80 H.F. penthode	$V_f = 20 \text{ V}$ $I_f = 0.1 \text{ A}$	H.F. of M.F. versterker	$V_a = 170 \text{ V}$ $V_{g3} = 0 \text{ V}$ $V_{g2} = 170 \text{ V}$ $V_{g1} = -2 \text{ V}$	$I_a = 10$ $I_{g2} = 2.5$	$S = 7.4 \text{ mA/V}$ $R_f = 0.5 \text{ M}\Omega$ $C_{ag1} < 7 \text{ mpF}$	 Noval
UF 85 ¹⁾ Variabele μ penthode	$V_f = 19 \text{ V}$ $I_f = 0.1 \text{ A}$	H.F. of M.F. versterker	$V_a = V_b = 170 \text{ V}$ $R_{g2} = 27 \text{ k}\Omega$ $V_{g1} = -2 \text{ V}$	$I_a = 10$ $I_{g2} = 2.5$	$S = 6 \text{ mA/V}$ $R_f = 0.5 \text{ M}\Omega$ $R_{eq} = 1.5 \text{ k}\Omega$	 Noval

UL 41
Eind-
penthode

$V_f = 45 \text{ V}$
 $I_f = 0.1 \text{ A}$

Klasse A
eindversterker

$V_a = 170 \text{ V}$
 $V_{g2} = 170 \text{ V}$
 $V_{g1} = -10.4 \text{ V}$

$I_a = 53$
 $I_{g2} = 10$

$S = 9.5 \text{ mA/V}$
 $R_i = 20 \text{ k}\Omega$
 $R_a = 3 \text{ k}\Omega$
 $W_o = 4.25 \text{ W}$
 $W_a = 9 \text{ W}$

$V_a = 110 \text{ V}$
 $V_{g2} = 110 \text{ V}$
 $V_{g1} = -6.4 \text{ V}$

$I_a = 32$
 $I_{g2} = 6.0$

$S = 8.5 \text{ mA/V}$
 $R_i = 18 \text{ k}\Omega$
 $R_a = 3 \text{ k}\Omega$
 $W_o = 1.7 \text{ W}$

$R_a = 100 \text{ V}$
 $V_{g2} = 100 \text{ V}$
 $V_{g1} = -5.7 \text{ V}$

$I_a = 29$
 $I_{g2} = 5.5$

$S = 8.0 \text{ mA/V}$
 $R_i = 18 \text{ k}\Omega$
 $R_a = 3 \text{ k}\Omega$
 $W_o = 1.35 \text{ W}$

Klasse AB
balans-
versterker

$V_a = 170 \text{ V}$
 $V_{g2} = 170 \text{ V}$
 $R_k = 100 \Omega$

$I_{a \text{ min}} = 2 \times 44$
 $I_{a \text{ max}} = 2 \times 49$
 $I_{g2 \text{ min}} = 2 \times 8.8$
 $I_{g2 \text{ max}} = 2 \times 16.5$

$R_{aa} = 4 \text{ k}\Omega$
 $W_o = 9 \text{ W}$

$V_a = 100 \text{ V}$
 $V_{g2} = 100 \text{ V}$
 $R_k = 100 \text{ V}$

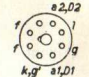
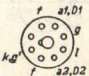
$I_{a \text{ min}} = 2 \times 24$
 $I_{a \text{ max}} = 2 \times 27$
 $I_{g2 \text{ min}} = 2 \times 4.6$
 $I_{g2 \text{ max}} = 2 \times 6.8$

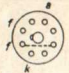
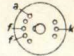
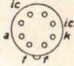
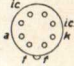
$R_{aa} = 4 \text{ k}\Omega$
 $W_o = 2.2 \text{ W}$



Rimlock



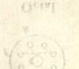

¹⁾ Voorlopige gegevens.

Type	Gloeidraad-gegevens	Toepassing	Spanningen Weerstanden	Stromen (mA)	Karakteristieke gegevens	Buisvoet- aansluitingen
UM 4 Afstem- indicator	$V_f = 12.6 \text{ V}$ $I_f = 0.1 \text{ A}$	Afstem- indicator (gevoelig systeem)	$V_b = V_l = 200 \text{ V}$ $R_{a1} = 1.0 \text{ M}\Omega$ $V_g = 0/-4.2 \text{ V}$	$I_l = 1.4/1.8$	$\alpha_1 = 90^\circ/5^\circ$	 <p>Octal</p>
			$V_b = V_l = 100 \text{ V}$ $R_{a1} = 1.0 \text{ M}\Omega$ $V_g = 0/-2.5 \text{ V}$	$I_l = 0.40/0.52$	$\alpha_1 = 90^\circ/0^\circ$	
		Afstem- indicator (ongevoelig systeem)	$V_b = V_l = 200 \text{ V}$ $R_{a2} = 1.0 \text{ M}\Omega$ $V_g = 0/-12.5 \text{ V}$	$I_l = 1.4/2.0$	$\alpha_2 = 90^\circ/5^\circ$	
			$V_b = V_l = 100 \text{ V}$ $R_{a2} = 1.0 \text{ M}\Omega$ $V_g = 0/-8 \text{ V}$	$I_l = 0.40/0.61$	$\alpha_2 = 90^\circ/0^\circ$	
UM 34 Afstem- indicator	$V_f = 12.6 \text{ V}$ $I_f = 0.1 \text{ A}$	Afstem- indicator (gevoelig systeem)	$V_b = V_l = 200 \text{ V}$ $R_{a2} = 1 \text{ M}\Omega$ $V_g = 0/-4.2 \text{ V}$	$I_l = 1.4/1.8$	$\alpha_1 = 90^\circ/5^\circ$	 <p>Octal</p>
		Afstem- indicator (ongevoelig systeem)	$V_b = V_l = 200 \text{ V}$ $R_{a2} = 1 \text{ M}\Omega$ $V_g = 0/-12.5 \text{ V}$	$I_l = 1.4/2.0$	$\alpha_2 = 90^\circ/5^\circ$	

UY 1 N Enkelfazige gelijk- richtbuis	$V_f = 50 \text{ V}$ $I_f = 0.1 \text{ A}$	Gelijkrichter	$V_i = 250 \text{ V}$ $V_i = 127 \text{ V}$	$I_o = \text{max. } 140$ $I_o = \text{max. } 140$	$R_t = \text{min. } 175 \Omega$ $R_t = 0 \Omega$ $C_{\text{filt}} = \text{max. } 60 \mu\text{F}$	 Octal
UY 11 Enkelfazige gelijk- richtbuis	$V_f = 50 \text{ V}$ $I_f = 0.1 \text{ A}$	Gelijkrichter	$V_i = 250 \text{ V}$	$I_o = \text{max. } 140$	$R_t = \text{min. } 175 \Omega$ $C_{\text{filt}} = \text{max. } 60 \mu\text{F}$	 Y
UY 41 Enkelfazige gelijk- richtbuis	$V_f = 31 \text{ V}$ $I_f = 0.1 \text{ A}$	Gelijkrichter	$V_i = 220 \text{ V}$ $V_i = 127 \text{ V}$	$I_o = \text{max. } 100$ $I_o = \text{max. } 100$	$R_t = \text{min. } 160 \Omega$ $R_t = 0 \Omega$ $C_{\text{filt}} = \text{max. } 50 \mu\text{F}$	
UY 42 Enkelfazige gelijk- richtbuis	$V_f = 31 \text{ V}$ $I_f = 0.1 \text{ A}$	Gelijkrichter	$V_i = \text{max. } 110 \text{ V}$	$I_o = \text{max. } 100$	$C_{\text{filt}} = \text{max. } 50 \mu\text{F}$	 Rimlock
Z 300 T	Triggerbuis, zie bladz. 169					

Σ 300 I

Τυμβήματα: στο βήμα 100

αερίσιμα βήματα Ευρεσιμότητα ΠΛ 43	$N^1 = 0.1 \text{ V}$ $N^2 = 31 \text{ V}$	Ομογενήτητα	$N^1 = 100 \text{ V}$ $N^2 = 110 \text{ V}$	$V^0 = 100$ $V^1 = 100$	$C_{\text{μπ}} = 20 \text{ V}$ $C_{\text{μν}} = 20 \text{ V}$	Βίωμα 
αερίσιμα βήματα Ευρεσιμότητα ΠΛ 41	$N^1 = 0.1 \text{ V}$ $N^2 = 31 \text{ V}$	Ομογενήτητα	$N^1 = 153 \text{ V}$ $N^2 = 530 \text{ V}$	$V^0 = 100$ $V^1 = 100$	$C_{\text{μπ}} = 20 \text{ V}$ $V^1 = 0$ $V^2 = 100$	
αερίσιμα βήματα Ευρεσιμότητα ΠΛ 11	$N^1 = 0.1 \text{ V}$ $N^2 = 20 \text{ V}$	Ομογενήτητα	$N^1 = 520 \text{ V}$	$V^0 = 140$	$C_{\text{μπ}} = 20 \text{ V}$ $V^1 = 153$	
αερίσιμα βήματα Ευρεσιμότητα ΠΛ 12	$N^1 = 0.1 \text{ V}$ $N^2 = 20 \text{ V}$	Ομογενήτητα	$N^1 = 153 \text{ V}$ $N^2 = 520 \text{ V}$	$V^0 = 140$ $V^1 = 140$	$C_{\text{μπ}} = 20 \text{ V}$ $V^1 = 0$ $V^2 = 153$	

SPECIALE L. F. EN H. F. VERSTERKBUIZEN


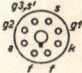
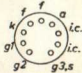
Soort buis	Telefoonbuisen	Buizen met lange levensduur	Buizen voor boekhoudmachines	Celldraad spanning	Soort buis	Telefoonbuisen	Buizen met lange levensduur	Buizen voor boekhoudmachines	Celldraad spanning
0.625 V				0.625 V	DF 66 DF 67				0.625 V
1.25 V				1.25 V	DL 66 DL 67				1.25 V
6.3 V	E 81 L E 83 F	E 80 CC E 80 F E 80 L	E 90 CC	6.3 V	EC 55 EC 80 EC 81				6.3 V
18 V	18042 18045	18040	18004	18 V					18 V

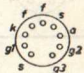
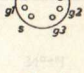
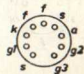
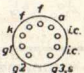
VOORKEUR TYPEN

Soort buis	Telefoonbuisen	Buizen met lange levensduur	Buizen voor boekhoudmachines	Celldraad spanning	Soort buis	Telefoonbuisen	Buizen met lange levensduur	Buizen voor boekhoudmachines	Celldraad spanning
0.625 V				0.625 V	DF 66 DF 67				0.625 V
1.25 V				1.25 V	DL 66 DL 67				1.25 V
6.3 V	E 81 L E 83 F	E 80 CC E 80 F E 80 L	E 90 CC	6.3 V	EC 55 EC 80 EC 81				6.3 V
18 V	18042 18045	18040	18004	18 V					18 V

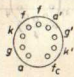

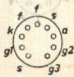
SPECIALE L.F. EN H.F. VERSTERKBUIZEN

TELEFONIEBUIZEN

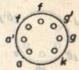
Type	Gloeidraad-gegevens	Toepassing	Spanningen Weerstanden	Stromen (mA)	Karakteristieke gegevens	Buisvoet- aansluitingen
18004 Triode	$V_f = 4.4 \text{ V}$ $I_f = 0.97 \text{ A}$	Eind- versterker	$V_a = 130 \text{ V}$ $V_g = -25 \text{ V}$	$I_a = 22$	$S = 1.0 \text{ mA/V}$ $R_i = 2.3 \text{ k}\Omega$ $R_a = 2.1 \text{ k}\Omega$ $W_o = 0.2 \text{ W}$ $W_a = 3.5 \text{ W}$ $d_{\text{tot}} < 5\%$	 Medium 4 p.
18040 Penthode	$V_f = 18 \text{ V}$ $I_f = 0.27 \text{ A}$	Voor- versterker	$V_{a_1} = 210 \text{ V}$ $V_a = 20 \text{ k}\Omega$ $R_{g2} = 210 \text{ V}$ $R_k = 185 \Omega$	$I_a = 15$ $I_{g2} = -4$	$S = 10 \text{ mA/V}$ $R_i = 0.3 \text{ M}\Omega$ $g = 5.15 \text{ N}$	 Loctal 8 p.
		Eind- versterker	$V_a = 210 \text{ V}$ $V_{g2} = 210 \text{ V}$ $R_k = 120 \Omega$	$I_a = 20$ $I_{g2} = 5.3$	$S = 11 \text{ mA/V}$ $R_i = 0.25 \text{ M}\Omega$ $R_a = 15 \text{ k}\Omega$ $W_o = 2.1 \text{ W}$ $d_{\text{tot}} < 20\%$ $W_a = 4.5 \text{ W}$	
18042 Penthode	$V_f = 18 \text{ V}$ $I_f = 0.1 \text{ A}$	Karakteristieke gegevens	$V_a = 210 \text{ V}$ $V_{g2} = 120 \text{ V}$ $R_k = 165 \Omega$	$I_a = 10$ $I_{g2} = 2.1$	$S = 9 \text{ mA/V}$ $R_i = 0.5 \text{ M}\Omega$ $R_{eq} = 750 \Omega$	 Noval

18045 Eind- penthode	$V_f = 18 \text{ V}$ $I_f = 0.15 \text{ A}$	Klasse A eindverstärker	$V_a = 210 \text{ V}$ $V_{g3} = 0 \text{ V}$ $V_{g2} = 210 \text{ V}$ $R_k = 120 \Omega$	$I_a = 20$ $I_{g2} = 5.3$	$S = 11 \text{ mA/V}$ $R_a = 15 \text{ k}\Omega$ $W_o = 0.9 \text{ W}$ $d_{tot} = 5 \%$ $W_a = 6 \text{ W}$	
18046 Eind- penthode	$V_f = 20 \text{ V}$ $I_f = 0.135 \text{ A}$	Klasse A eindverstärker	$V_a = 210 \text{ V}$ $V_{g3} = 0 \text{ V}$ $V_{g2} = 210 \text{ V}$ $R_k = 120 \Omega$	$I_a = 20$ $I_{g2} = 5.3$	$S = 11 \text{ mA/V}$ $R_a = 15 \text{ k}\Omega$ $W_o = 0.9 \text{ W}$ $d_{tot} = 5 \%$ $W_a = 6 \text{ W}$	 Noval
E 81 L Eind- penthode	$V_f = 6.3 \text{ V}$ $I_f = 0.45 \text{ A}$	Klasse A eindverstärker	$V_a = 210 \text{ V}$ $V_{g3} = 0 \text{ V}$ $V_{g2} = 210 \text{ V}$ $V_{g1} = -3 \text{ V}$	$I_a = 20$ $I_{g2} = 5.3$	$R_a = 15 \text{ k}\Omega$ $W_o = 2.1 \text{ W}$ $W_a = 4.5 \text{ W}$	 Noval
E 83 F Penthode	$V_f = 6.3 \text{ V}$ $I_f = 0.3 \text{ A}$	Karakteristieke gegevens	$V_a = 210 \text{ V}$ $V_{g2} = 120 \text{ V}$ $R_k = 165 \Omega$	$I_a = 10$ $I_{g2} = 2.1$	$S = 9.0 \text{ mA/V}$ $R_i = 0.5 \text{ M}\Omega$ $R_{eq} = 750 \Omega$	 Noval
		Klasse A eindverstärker	$V_{ba} = 210 \text{ V}$ $V_{bg2} = 120 \text{ V}$ $R_{g2} = 5.6 \text{ k}\Omega$ $R_k = 180 \Omega$	$I_a = 8.3$ $I_{g2} = 1.7$	$S = 8.2 \text{ mA/V}$ $R_i = 0.44 \text{ M}\Omega$ $R_a = 20 \text{ k}\Omega$ $W_o = 0.87 \text{ W}$ $W_a = 2.1 \text{ W}$	


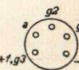
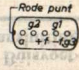
BETROUWBARE, TRIL- EN SCHOKVASTE BUIZEN MET LANGE LEVENSDUUR

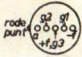
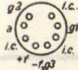

Type	Gloeidraad-gegevens	Toepassing	Spanningen Weerstanden	Stromen (mA)	Karakteristieke gegevens	Buisvoet- aansluitingen
E 80 CC Dubbele triode	$V_f = 6.3 \text{ V}$ $I_f = 0.6 \text{ A}$ $V_f = 12.6 \text{ V}$ $I_f = 0.3 \text{ A}$	Karakteristieke gegevens (per systeem)	$V_a = 250 \text{ V}$ $V_{g2} = -5.5 \text{ V}$	$I_a = 6$	$S = 2.7 \text{ mA/V}$ $R_i = 11 \text{ k}\Omega$ $\mu = 30$ $W_a = 1.5 \text{ W}$	 Noval
E 80 F L. F. penthode	$V_f = 6.3 \text{ V}$ $I_f = 0.3 \text{ A}$	Karakteristieke gegevens	$V_a = 250 \text{ V}$ $V_{g2} = 100 \text{ V}$ $R_k = 560 \Omega$	$I_a = 3$ $I_{g2} = 0.55$	$S = 1.85 \text{ mA/V}$ $R_i = 1.8 \text{ M}\Omega$ $\mu_{g2s1} = 25$	 Noval
		L.F. versterker	$V_b = 250 \text{ V}$ $R_a = 0.22 \text{ M}\Omega$ $R_{g2} = 1.2 \text{ M}\Omega$ $R_k = 1.5 \text{ k}\Omega$	$I_a = 0.80$ $I_{g2} = 0.17$	$g = 165$	
		$V_b = 400 \text{ V}$ $R_a = 0.22 \text{ M}\Omega$ $R_{g2} = 1.2 \text{ M}\Omega$ $R_k = 1.0 \text{ k}\Omega$	$I_a = 1.35$ $I_{g2} = 0.28$	$g = 185$		
E 80 L Eind- penthode	$V_f = 6.3 \text{ V}$ $I_f = 0.75 \text{ A}$	Klasse A eindversterker	$V_a = 200 \text{ V}$ $V_{g2} = 200 \text{ V}$ $R_k = 130 \Omega$	$I_a = 30$ $I_{g2} = 4.2$	$S = 9.0 \text{ mA/V}$ $R_a = 7 \text{ k}\Omega$ $W_o = 2.5 \text{ W}$ $W_a = 6 \text{ W}$	 Noval

BUIS VOOR BOEKHOUDMACHINES

E 90 CC Dubbele triode	$V_f = 6.3 \text{ V}$ $I_f = 0.4 \text{ A}$	Karakteristieke gegevens (per systeem)	$V_a = 100 \text{ V}$ $V_{g1} = -2.1 \text{ V}$	$I_a = 8.5$	$S = 6 \text{ mA/V}$ $R_t = 4.5 \text{ k}\Omega$ $\mu = 27$	 Miniatuur
----------------------------------	--	--	--	-------------	---	--

GEHOORBUIZEN

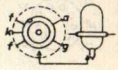
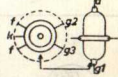
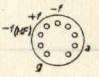
DE 30	$V_f = 0.625 \text{ V}$ $I_f = 13.3 \text{ mA}$	Karakteristieke gegevens	$V_a = 22.5 \text{ V}$ $V_{g2} = 18 \text{ V}$ $V_{g1} = -1.15 \text{ V}$	$I_a = 0.05$ $I_{g2} = 0.01$	$S = 0.1 \text{ mA/V}$ $R_t = 4 \text{ M}\Omega$	
DF 65 Penthode	$V_f = 0.625 \text{ V}$ $I_f = 13.3 \text{ mA}$	L.F. versterker	$V_b = 22.5 \text{ V}$ $R_a = 1 \text{ M}\Omega$ $R_{g2} = 3.9 \text{ M}\Omega$ $V_{g1} = 0 \text{ V}$ $R_{g1'} = 10 \text{ M}\Omega$ $R_{g1} = 5 \text{ M}\Omega$	$I_a = 0.0117$ $I_{g2} = 0.0025$	$g = 31$	
DF 66 Penthode	$V_f = 0.625 \text{ V}$ $I_f = 15 \text{ mA}$	Karakteristieke gegevens	$V_a = 22.5 \text{ V}$ $V_{g2} = 22.5 \text{ V}$ $V_{g1} = -1.05 \text{ V}$	$I_a = 0.05$ $I_{g2} = 0.015$	$S = 0.1 \text{ mA/V}$ $R_t > 2 \text{ M}\Omega$	

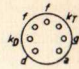
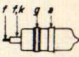
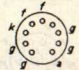
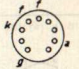

Type	Gloeidraad-gegevens	Toepassing	Spanningen Weerstanden	Stromen (mA)	Karakteristieke gegevens	Buisvoet- aansluitingen
DF 67 Penthode	$V_f = 0.625$ V $I_f = 13.3$ mA	Karakteristieke gegevens	$V_a = 22.5$ V $V_{g2} = 18$ V $V_{g1} = -1.15$ V	$I_a = 0.05$ $I_{g2} = 0.01$	$S = 0.1$ mA/V $R_i = 4$ M Ω	
		L.F. versterker	$V_b = 22.5$ V $R_a = 1$ M Ω $R_{g2} = 3.9$ M Ω $V_{g1} = 0$ V $R_{g1} = 10$ M Ω $R_{g1} = 5$ M Ω	$I_a = 0.0117$ $I_{g2} = 0.0025$	$g = 31$	
DF 70 Penthode	$V_f = 0.625$ V $I_f = 25$ mA	Karakteristieke gegevens	$V_a = 30$ V $V_{g2} = 30$ V $V_{g1} = -1.85$ V	$I_a = 0.05$ $I_{g2} = 0.018$	$S = 0.1$ mA/V $R_i = 2.5$ M Ω $\mu_{g2g1} = 12.5$	 Subminiatuur
DL 65 Eind- penthode	$V_f = 1.25$ V $I_f = 13$ mA	Klasse A eindversterker	$V_b = V_{g2} = 22.5$ V $R_{g1} = 10$ M Ω $R_k = 0$ Ω	$I_a = 0.34$ $I_{g2} = 0.09$	$S = 0.42$ mA/V $R_i = 0.4$ M Ω $R_a = 0.1$ M Ω $W_o = 1.8$ mW	
			$V_b = V_{g2} = 45$ V $R_{g1} = 3$ M Ω $R_k = 4$ k Ω	$I_a = 0.19$ $I_{g2} = 0.07$	$R_a = 0.1$ M Ω $W_o = 1.6$ mW $W_a = 25$ mW	



DL 66 Eind- penthode	$V_f = 1.25 \text{ V}$ $I_f = 15 \text{ mA}$	Klasse A eindversteker	$V_b = 22.5 \text{ V}$	$I_a = 0.30$	$S = 0.35 \text{ mA/V}$	
			$V_{g2} = 22.5 \text{ V}$	$I_{g2} = 0.075$	$R_i = 0.3 \text{ M}\Omega$	
			$V_{g1} = -1.4 \text{ V}$		$R_a = 75 \text{ k}\Omega$	
			$V_b = 45 \text{ V}$	$I_a = 0.90$	$R_a = 50 \text{ k}\Omega$	
			$V_{g2} = 45 \text{ V}$	$I_{g2} = 0.02$	$W_o = 16.5 \text{ mW}$	
			$V_{g1} = -3 \text{ V}$		$W_a = 2.7 \text{ mW}$	
DL 67 Eind- penthode	$V_f = 1.25 \text{ A}$ $I_f = 13 \text{ mA}$	Klasse A eindversteker	$V_b = V_{g2} = 22.5 \text{ V}$	$I_a = 0.34$	$S = 0.42 \text{ mA/V}$	
			$R_{g1} = 10 \text{ M}\Omega$	$I_{g2} = 0.09$	$R_i = 0.4 \text{ M}\Omega$	
			$R_k = 0 \Omega$		$R_a = 0.1 \text{ M}\Omega$	
			$V_b = V_{g2} = 45 \text{ V}$	$I_a = 0.19$	$R_a = 0.1 \text{ M}\Omega$	
			$R_{g1} = 3 \text{ M}\Omega$	$I_{g2} = 0.07$	$W_o = 1.6 \text{ mW}$	
			$R_k = 4 \text{ k}\Omega$		$W_a = 25 \text{ mW}$	
DL 71 Eind- penthode	$V_f = 1.25 \text{ V}$ $I_f = 25 \text{ mA}$	Karakteristieke gegevens	$V_a = 45 \text{ V}$	$I_a = 0.6$	$S = 0.5 \text{ mA/V}$	
			$V_{g2} = 45 \text{ V}$	$I_{g2} = 0.15$	$R_i = 0.35 \text{ M}\Omega$	
			$V_{g1} = -1.25 \text{ V}$		$R_a = 0.1 \text{ M}\Omega$	
					$W_o = 6 \text{ mW}$	
					$W_a = 30 \text{ mW}$	
DL 72 Eind- penthode	$V_f = 1.25 \text{ V}$ $I_f = 25 \text{ mA}$	Karakteristieke gegevens	$V_a = 45 \text{ V}$	$I_a = 1.25$	$S = 0.5 \text{ mA/V}$	
			$V_{g2} = 45 \text{ V}$	$I_{g2} = 0.4$	$R_i = 225 \text{ k}\Omega$	
			$V_{g1} = -4.5 \text{ V}$		$R_a = 30 \text{ k}\Omega$	
					$W_o = 23 \text{ mW}$	
					$W_a = 60 \text{ mW}$	

Subminiatuur

116 U.H.F. BUIZEN

Type	Gloeidraad-gegevens	Toepassing	Spanningen Weerstanden	Stromen (mA)	Karakteristieke gegevens	Buisvoet- aansluitingen
4671 Eikel triode	$V_f = 6.3 \text{ V}$ $I_f = 0.15 \text{ A}$	Karakteristieke gegevens	$V_a = 180 \text{ V}$ $V_g = -5 \text{ V}$	$I_a = 4.5$	$S = 2 \text{ mA/V}$ $R_i = 12.5 \text{ k}\Omega$ $\mu = 25$ freq. = max. 430 MHz	
4672 Eikel penthode	$V_f = 6.3 \text{ V}$ $I_f = 0.15 \text{ A}$	H.F. versterker	$V_a = 250 \text{ V}$ $V_{g2} = 100 \text{ V}$ $V_{g1} = -3 \text{ V}$	$I_a = 2$ $I_{g2} = 0.7$	$S = 1.4 \text{ mA/V}$ $R_i = 1.5 \text{ M}\Omega$ $C_{ag1} < 7 \text{ pF}$ freq. = max. 430 MHz	
DC 80 Triode	$V_f = 1.25 \text{ V}$ $I_f = 0.22 \text{ A}$	Karakteristieke gegevens	$V_a = 150 \text{ V}$ $V_g = -3.5 \text{ V}$	$I_a = 20$	$S = 3.5 \text{ mA/V}$ $\mu = 14$ $W_a = 3 \text{ W}$	 Noval
		Oscillator	$V_a = 150 \text{ V}$	$I_k = 20$ $I_g = 1.5$	freq. = 470 MHz $W_o = 0.45 \text{ W}$	
E1C	= 4671					
E1F	= 4672					

EAC 91 Diode- triode	$V_f = 6.3 \text{ V}$ $I_f = 0.3 \text{ A}$	Karakteristieke gegevens	$V_a = 300 \text{ V}$ $V_g = -2.8 \text{ V}$	$I_a = 7.5$	$S = 2.8 \text{ mA/V}$ $R_i = 12.8 \text{ k}\Omega$ $\mu = 36$ freq. = max. 300 MHz	 Miniatuur
EC 55 Disc seal triode	$V_f = 6.3 \text{ V}$ $I_f = 0.4 \text{ A}$	Karakteristieke gegevens	$V_a = 250 \text{ V}$ $V_g = -3.5 \text{ V}$	$I_a = 20$	$S = 6 \text{ mA/V}$ $\mu = 30$ freq. = max. 3000 MHz	
EC 80 Rooster- basis- triode	$V_f = 6.3 \text{ V}$ $I_f = 0.48 \text{ A}$	Karakteristieke gegevens	$V_a = 250 \text{ V}$ $V_g = -1.5 \text{ V}$	$I_a = 15$	$S = 12 \text{ mA/V}$ $\mu = 80$ freq. = max. 750 MHz	 Noval
EC 81 Oscillator triode	$V_f = 6.3 \text{ V}$ $I_f = 0.2 \text{ A}$	Karakteristieke gegevens	$V_a = 150 \text{ V}$ $V_g = -2 \text{ V}$	$I_a = 30$	$S = 5.5 \text{ mA/V}$ $\mu = 16$ freq. = max. 750 MHz	 Noval
EC 91 Rooster- basis- triode	$V_f = 6.3 \text{ V}$ $I_f = 0.3 \text{ A}$	Karakteristieke gegevens	$V_a = 250 \text{ V}$ $V_g = -1.5 \text{ V}$ $R_k = 150 \Omega$	$I_a = 10$	$S = 8.5 \text{ mA/V}$ $R_i = 12 \text{ k}\Omega$ $\mu = 100$ $W_a = 2.5 \text{ W}$ $R_{eq} = 400 \Omega$ freq. = max. 250 MHz	 Miniatuur

Type	Gloeidraad-gegevens	Toepassing	Spanningen Weerstanden	Stromen (mA)	Karakteristieke gegevens	Buisvoet- aansluitingen
EF 51 Variabele mu penthode	$V_f = 6.3 \text{ V}$ $I_f = 0.35 \text{ A}$	H.F. of M.F. versterker	$V_a = 250 \text{ V}$ $V_{g2} = 250 \text{ V}$ $V_{g1} = -2.25 \text{ V}$	$I_a = 14$ $I_{g2} = 2.8$	$S = 9.5 \text{ mA/V}$ $R_i = 0.5 \text{ M}\Omega$ $R_{eq} = 1 \text{ k}\Omega$ $C_{ag1} < 7 \text{ pF}$ freq. = max. 150 MHz	 Loctal 8 p.
EFF 51 Dubbele penthode	$V_f = 6.3 \text{ V}$ $I_f = 0.75 \text{ A}$	Karakteristieke gegevens (per systeem)	$V_a = 250 \text{ V}$ $V_{g2} = 200 \text{ V}$ $V_{g1} = -2 \text{ V}$	$I_a = 6$ $I_{g2} = 1.2$	$S = 7.5 \text{ mA/V}$ $R_i = 0.35 \text{ M}\Omega$ $R_{eq} = 800 \Omega$ $C_{ag1} < 0.04 \text{ pF}$ freq. = max. 150 MHz	 Loctal 9 p.

KATHODESTRAALBUIZEN

VOORKEUR TYPEN

MEET- EN RADARBUIZEN

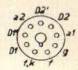
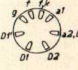
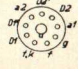
Scherm		Korte nalichting	Middelmatige nalichting	Zeer lange nalichting	
Diameter van het scherm	7 cm (3")	DB 7-5 DB 7-6	DG 7-5 DG 7-6		DP 7-5 DP 7-6
	10 cm (4")	DB 10-2 DB 10-6	DG 10-2 DG 10-6		DP 10-2 DP 10-6
	13 cm (5")	DB 13-2	DG 13-2	MF 13-1	DP 13-2
	31 cm (12")			MF 31-22	

BEELDBUIZEN

Soort buis		Projectie	Direct zicht	Beeldzoeker
Diameter van het scherm	6 cm (2.5")	MW 6-2		
	13 cm (5")			MW 13-35
	36 cm (14")		MW 36-24	
	43 cm (17")		MW 43-43	

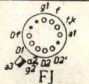
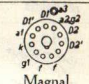
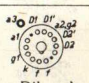

KATHODESTRAALBUIZEN

MEETBUIZEN



Type	Scherm ¹⁾	Afbluig-systeem	Gloeidraad		Instelgegevens				Gevoeligheid		Capaciteiten			Lengte (excl. pennen)		Buisvoet-aansluitingen
	Max. diam. (mm)	Dubbel electro-statisch	V_f (V)	I_f (A)	V_{a3} (V)	V_{a2} (V)	V_{a1} (V)	$-V_{g1}^{(2)}$ (V)	N_1 (mm/V)	N_2 (mm/V)	C_{g1} (pF)	C_{D_1, D_1} (pF)	C_{D_2, D_2} (pF)	max. (mm)	min. (mm)	
DB DC 4-1 DP	44	sym-metrisch	6.3	0.31	—	800	200-300	0-50	0.26	0.16	10	0.6	0.8	145	139	 Loctal 9 p. (B9G)
DB DC 4-2 DP	44	D ₂ D ₂ ' asymme-trisch														
DB DC 7-2 DN	71	D ₂ D ₂ ' asymme-trisch	4.0	1.0	—	800	150-350	0-30	0.22	0.14	7	0.65	2.5	163	151	 P
DB DC 7-3 DR	71	sym-metrisch	6.3	0.4	—	800	200-300	0-50	0.26	0.16	9	0.6	0.8	145	139	 Loctal 9 p.
DB DC 7-4 DR	71	D ₂ D ₂ ' asymme-trisch										0.5	0.6			

DB DG DP DR	7-5	71	sym- metrisch	6.3	0.31	—	800	200-300	0-50	0.26	0.16	10	0.6	0.8	145	139	
DB DG DP DR	7-6	71	D ₂ D ₂ ' asymme- trisch														Loctal 9 p. (B9G)
DB DG DN	9-3	97.5	D ₂ D ₂ ' asymme- trisch	4.0	1.0	—	1000	200-400	0-40	0.40	0.31	8	1.1	1.4	327	312	
DB DG DN	9-4	97.5	sym- metrisch											1.3			FJ
DB DG DN	9-5	97.5	D ₂ D ₂ ' asym- metrisch; met naver- snellings- anode	4.0	1.0	1000 5000	1000 1000	200-400 230-430	0-40 0-40	0.38 0.18	0.32 0.15	8	1.1	1.4	327	312	
DB DG DR DP	10-2	97.5	sym- metrisch	6.3	0.3	—	2000	340-640	45-100	0.30	0.23	4.6	1.9	2.5	327	312	
DB DG DR	10-3	97.5	D ₂ D ₂ ' asym- metrisch	4.0	0.55	—	1000	200-340	18-46	0.65	0.57	5	1.9	2.6	327	312	


1) 2) Zie bladz.125

Type	Scherm ¹⁾	Afbuig-systeem	Gloeidraad		Instelgegevens				Gevoeligheid		Capaciteiten			Lengte (excl. pennen)		Buisvoet-aansluitingen
	Max. diam. (mm)	Dubbel electro-statisch	V_f (V)	I_f (A)	V_{a3} (V)	V_{a2} (V)	V_{a1} (V)	$-V_{g1}$ (V)	N_1 (mm/V)	N_2 (mm/V)	C_{g1} (pF)	$C_{D_1, D_1'}$ (pF)	$C_{D_2, D_2'}$ (pF)	max. (mm)	min. (mm)	
DB DG DR 10-5	97.5	$D_2 D_2'$ asymm. met naver-snellings	4.0	0.45	1000 2500	1000 1000	200-340 200-340	18-46 18-46	0.65 0.37	0.55 0.32	5	1.9	2.6	327	312	
DB DG DP DR 10-6	97.5	symm. met naver-snellings	6.3	0.3	2000 4000	2000 2000	340-640 340-640	45-100 45-100	0.30 0.25	0.23 0.19	4.6	1.9	2.5	327	312	
DB DG DP DR 13-2	136	symm. met naver-snellings	6.3	0.3	2000 4000	2000 2000	400-690 400-690	45-100 45-100	0.45 0.35	0.40 0.30	4.6	1.9	2.5	417	406	
DB DG DN 16-1	167	sym-metrisch	4.0	1	—	1000	175-250	0-20	0.50	0.35	9.5	1.2	2	440	415	
DB DG DN 16-2	167	sym-metrisch				2000	350-500	0-40	0.25	0.17						7.3




RADARBUIZEN


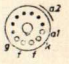
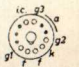
Type	Scherm ¹⁾			Afbuig-systeem	Gloeidraad		Instelgegevens			Afbuiging	Focusse-ring	Capaciteiten	Lengte (excl. pennen)		Buisvoet-aansluitingen
	Rond	Rechthoekig			Dubbel-magnetisch	V_f	I_f	V_{a2}	V_{a1}				$-V_g^{2)}$	$N^3)$	
	Nuttige diam. min. (mm)	Nuttige diagonaal min. (mm)	Nuttige breedte min. (mm)	(V)		(V)	(V)	(V)	(V)	(micron)	(pF)	(mm)	(mm)		
MF 13-1	108	—	—	—	6.3	0.3	7000	250	28-63	17.9	ca. 800	<10	275	256	 Octal
MF 31-22	287	—	—	—	6.3	0.3	9000	300	32-81	15.8	ca. 750	<10	457	441	 Duodecal 7p.

BEELDBUIZEN

MW 6-2 Projectie-buis	57.5	—	—	—	6.3	0.3	—	25000	40-90	9.5	ca. 920	6.3	286	256	 V
MW 13-35	Beeldzoeker; = MF 13-1 met W-scherm														
MW 22-7	= MW 22-17 met andere buisvoet en $I_f = 0.6$ A														
MW 22-14	= MW 22-17 met andere buisvoet														

¹⁾ ²⁾ ³⁾ Zie bladz. 125

Type	Scherm ¹⁾			Afbuig-systeem	Gloeidraad		Instelgegevens			Afbuiging	Focusering	Capaciteiten	Lengte (excl. pennen)		Buisvoet-aansluitingen
	Rond	Rechthoekig			Dubbel-magnetisch	V_f	I_f	V_{a2}	V_{a1}				$-V_g^{(2)}$	$N^{(2)}$ (micron)	
	Nuttige diam. min. (mm)	Nuttige diagonaal min. (mm)	Nuttige breedte min. (mm)	(V)		(A)	(V)	(V)	(V)	(mm)	(mm)				
MW 22-16	214	—	—	met ionenval type 55400	6.3	0.3	7000	160	20-50	17.9	605-745	8	364	353	
							7000	200	25-60						
MW 22-17	214	—	—	—	6.3	0.3	7000	160	20-50	17.9	580-720	6	364	353	
MW 22-18	= MW 22-17 met geleidende buitenlaag														Duodecal 7p.
MW 31-7	= MW 31-17 met andere buisvoet en $I_f = 0.6$ A														
MW 31-14	= MW 31-17 met andere buisvoet														Loctal 8p.
MW 31-16	287	—	—	met ionenval type 55400	6.3	0.3	7000	250	32-71	17.9	ca. 660	6	458	441	
							7000	350	44-99						
MW 31-17	287	—	—	—	6.3	0.3	7000	160	20-50	17.9	580-720	6	452	441	
MW 31-18	= MW 31-17 met geleidende buitenlaag														
MW 31-74	= MW 31-16 met filterscherm														Duodecal 7p.

MW 36-22	—	324	294	met ionenval type 55402	6.3	0.3	10000	250	33-72	15	ca. 1000	6	416	395	
MW 36-24	= MW 36-22 met filterscherm														Duodecal 5p.
MW 41-1	365	—	—	met ionenval type 55402	6.3	0.3	12000	250	33-72	13.7	ca. 1000	6	446	418	
MW 43-43	—	388	365	met ionenval type 55402	6.3	0.3	$V_a = 14000$	$V_{g2} = 500$	40-86	12.7	1015 ⁴⁾ 1065 ⁵⁾	7	478	457	

¹⁾ De tweede letter van het typenummer geeft de kleur van het luminescerende scherm aan.

B = blauw, korte nalichttijd

F = oranje, zeer lange nalichttijd

G = groen, middelmatige nalichttijd

N = groen, lange nalichttijd

P = kort blauw oplichtend, zeer lang groen-geel nalichtend

R = groen-geel, lange nalichttijd

W = wit, middelmatige nalichttijd.

²⁾ Afknijpspanning

$$^3) N = \frac{0.3 P H c L}{\sqrt{V_{a2}}} \text{ cm.}$$

N = afbuiging op het scherm in cm
 P = afstand tussen deflectiecentrum en scherm in cm
 H = max. magnetische veldsterkte in gauss
 c = correctiefactor, in het algemeen ≈ 0.5
 L = lengte van de spoel in cm
 V_{a2} = spanning van tweede anode in Volt

De waarden van N in de tabel gelden voor $P = H = L = 1$ en $c = 0.5$

⁴⁾ $V_{a2} = 0 \text{ V}$

⁵⁾ $V_{a2} = 250 \text{ V}$

ZENDBUIZEN

Soort buis	QE 04/10	QQC 04/15	QQE 04/20	QE 06/50	QQE 06/40	PE 1/100	TB 2.5/300	QB 3/300	TB 3/750	
	Tetrode	Dubbele tetrode	Dubbele tetrode (832 A)	Tetrode (807)	Dubbele tetrode	Penthode	Triode	Tetrode (4-125 A)	Triode	
	(W)	(W)	(W)	(W)	(W)	(W)	(W)	(W)	(W)	
Uitgangsvermogen in klasse C telegrafie-instelling bij:	2 MHz	8.0	17.6 23.3 ■	26	40	86	132	390	375	840
	6 MHz	8.0	17.6 23.3 ■	26	40	86	132	390	375	840
	20 MHz	8.0	17.6 23.3 ■	26	40	86	132	390	375	840
	30 MHz	8.0	17.6 23.3 ■	26	40	86	132	390	375	840
	60 MHz	7.8	17.6 23.3 ■	26	35	86	132	390	375	840
	100 MHz	7.4	17.6 23.3 ■	26	20	86		390	375	840
	120 MHz	7.0	17.6 23.3 ■	26		86		390	375	600
	150 MHz	6.3	17.6 23.3 ■	26		86		390	360	
	200 MHz		15.5 19 ■	26		86		197	225	
	300 MHz		6.5 8 ■	11		70				
	430 MHz					34				

■ Intermitterend

● Luchtgekoeld (TAL 1210)

□ Watergekoeld (TAW 12/10)

* Roostergestuurd

() Amerikaanse typenummers

TYPEN

QB 3.5/750 Tetrode (4-250 A)	TB 4/1250 Triode	QB 5/1750 Tetrode	QBL 5/3500 QBW 5/3500 Tetrode	TBL 6/6000 TBW 6/6000 Triode	TAL 12/10 TAW 12/10 Triode	TAL 12/20 TAW 12/20 Triode	TAL 12/35 TAW 12/35G Triode	TBL 12/100 TBW 12/100 Triode	TA 20/250 Triode
(W)	(W)	(W)	(kW)	(kW)	(kW)	(kW)	(kW)	(kW)	(kW)
1000	1750	1760	3.8	6.9	10.5 ● 15 □	22	48.5	108	250
1000	1550	1760	3.8	6.9	10.5 ● 15 □	22	48.5	108	225
1000	1450	1760	3.8	6.9	10.5 ● 12 □	22	48.5	95	125
1000	1450	1760	3.8	6.9	10 ● 11 □	18	39	50	
1000	1450	1760	3.35	6.9	5 ● 5 □				
750	1450		3.1	5.7					
500	950		3.0	5.0					
			2.7	4.1					
			1.85	2.8					

GELIJKRICHTBUIZEN VOOR ZENDDOELEINDEN

Max. gelijkgerichte stroom		0.25 A	1.25 A	1.5 A	2.5 A	6 A	10 A
Max. prek tegenspanning	3 kV	DCG 1/250					
	10 kV	DCG 4/1000G (866A) DCX 4/1000 (3B28)	DCX 4/5000 (4B32)				
	12 kV			DCG 5/5000GB (872A)			
	13 kV					DCG 5/30*	
	15 kV						DCG 7/100*
	27 kV					DCG 12/30*	

TYPE	V_f (V)	I_f (A)	V_a max. (V)	V_{g2} max. (V)	W_a max. (W)	Optimale waarden			Instelling
						Max. freq. (MHz)	W_a (W)	η (%)	
MAW 12/15	21.5	79	12000	—	15000	— —	1950 42000	16 66	A mod. B mod. ¹⁾
PAL 12/15	22	80	12000	2000	8000	20 20 20 20	13000 4000 2900 7500	62 33 37 70	C teleg. B telef. C g ₂ mod. C ag ₂ mod.
PAW 12/15	22	80	12000	2000	12000	20 20 20 20	15900 3500 2900 7500	61 33 37 70	C teleg. B telef. C g ₂ mod. C ag ₂ mod.
PB 1/150	10	3.25	1750	750	70	—	300	69	B mod. ¹⁾
PB 2/200	12	3.35	2000	400	110	20 20 20 20 —	270 45 147 124 43 400	71 29 72 69 32 70	C teleg. B telef. C ag ₂ mod. C an. mod. C g ₂ mod. B mod. ¹⁾
PB 2/500	12	7.3	2500	500	250	10 20 10 20 —	600 90 325 100 1000	70 26 69 28 70	C teleg. B telef. C ag ₂ mod. C g ₂ mod. B mod. ¹⁾
PB 3/800	12	8.5	3000	600	450	10 10 10 10 —	1200 190 580 200 1600	72 30 71 35 69	C teleg. ²⁾ B telef. C ag ₂ mod. C g ₂ mod. B mod. ¹⁾
PE 04/10E	12	0.65	500	300	10	20 20 20 20	15 4 10 2	60 31 62 33	C teleg. B telef. C ag ₂ mod. C g ₂ mod.
PE 05/25	12.6	0.7	500	300	12	100 100 100 55/165	33 6 20 9	73 33 71 43	C teleg. B telef. C ag ₂ mod. C freq. verm.

¹⁾ Twee buizen. ²⁾ $V_{g2} = V_{g3}$.

BUIZEN

Gereduceerde waarden			Buisvoet Buishouder	Toebehoren		Afmetingen	
Freq. (MHz)	W _o (W)	η (%)		Typenummer	Omschrijving	max. diam. (mm)	max. lengte (mm)
—	2700	22	—	K 707 40614 40632 (2×) 62 960 53 62 961 23 (2×)	Waterkoeler Roosterklem Beschermkap voor rooster-aansluiting Rubbering Rubbering	104	811
50 50 50 50	— — — —	— — — —	— —	K 500 40602 40632 (6×)	Koelmantel Stenning Beschermkap voor rooster-en gloeidraadaansluitingen	234	525
50 50 50 50	— — — —	— — — —	— —	K 710 K 712 40607 40632 (6×) Z4 287 46 62 960 81	Waterkoeler Filter Sleutel Beschermkap voor rooster-en gloeidraadaansluitingen Rubbering Rubbering	140	541
—	—	—	Medium 5p. 40219	28 906 022	Dop	53	157
60 60 60 60 60	152 35 77 75 32	58 25 51 50 24	Spec. 7p. 40207	40600 (2×)	Aansluitklem	53	167
60 60 60 60	312 50 175 45	55 22 51 22	Speciaal 40200	40600 (2×)	Aansluitklem	82	276
60 60 — — —	488 67 — — —	55 21 — — —	Speciaal 40201	40626 (2×)	Aansluitklem	106	293
60 60 60 60	10 2 6.3 1.8	50 17 49 20	Medium 7p. 40220	28 906 022	Dop	51	150
167 — — —	15 — — —	55 — — —	Spec. 8 p. 40210/02			36.2	104.5

TYPE	V_f (V)	I_f (A)	V_a max. (V)	V_{β} max. (V)	W_a max. (W)	Optimale waarden			Instelling
						Max. freq. (MHz)	H_s (W)	η (%)	
PE 06/40 E	12.6	0.65	600	300	25	20	45	69	C teleg.
PE 06/40 N	6.3	1.3				20	11	31	B telef.
PE 06/40 P	6.3	1.3				20	40	70	C ag ₂ mod.
						2/4	27	52	C freq. verm.
						—	100	71	B mod. ¹⁾
PE 1/100	12.6	1.35	1000	300	45	60	132	74	C teleg.
						60	23	34	B telef.
						60	75	78	C ag ₂ mod.
						60	27	37	C ag ₃ mod.
						—	194	72	B mod. ¹⁾²⁾
QB 2 250	10	5	2250	800	100	30	275	76	C teleg.
						30	50	33	B telef.
						30	180	70	C ag ₂ mod.
						—	515	73	B mod. ¹⁾
QS 3/300	5	6.5	3000	600	125	120	375	75	C teleg.
						120	58	32	B telef.
						120	300	79	C ag ₂ mod.
						—	345	64	B mod. ¹⁾
QB 3.5/750	5	14.1	4000	600	250	75	1000	80	C teleg.
						75	126	33	B telef.
						75	510	75	C ag ₂ mod.
						—	635	68	B mod. ¹⁾²⁾
QB 5/1750	10	9.7	5000	1000	500	60	2000	80	C teleg.
						60	250	33	B telef.
						60	1270	79	C ag ₂ mod.
						—	2000	66	B mod. ¹⁾
QBL 5/3500	6.3	33.5	5000	800	2500	75	3900	70	C teleg.
75						2750			72
QE 04/10	6.3	0.6	300	250	7.5	60	8	62	C teleg.
						75/150	2.3	25	C freq. verm.
						50/150	1.5	19	C freq. verm.
						60	5.8	60	C ag ₂ mod.
QE 06/50	6.3	0.9	600	300	25	60	40	67	C teleg.
						60	12.5	33	B telef.
						60	27.5	70	C ag ₂ mod.
						—	80	67	B mod. ¹⁾
QQC 04/15	6.3	0.68	400	250	2 × 6 2 × 8 ³⁾	186	20.8	65	C teleg. ³⁾
						186	7.8	59	C ag ₂ mod. ³⁾
						93/186	8	50	C freq. verm. ³⁾⁴⁾
						62/186	10	38	C freq. verm. ³⁾
						—	16	74	B mod.
QQE 04/20	6.3	1.8	600	250	2 × 7.5	200	26	72	C teleg.
	12.6	0.9				200	17	76	C ag ₂ mod.
QQE 06/40	6.3	1.8	600	250	2 × 20	200	90	75	C teleg.
						200	50	73	C ag ₂ mod.
						50/150	20	33	C freq. verm.
						—	73	72	B mod.

¹⁾ Twee buizen. ²⁾ $I_{f1} = 0$. ³⁾ Intermitterend bedrijf. ⁴⁾ Per systeem. ⁵⁾ In koeler

Gereduceerde waarden			Buisvoet Buishouder	Toebehoren		Afmetingen	
Freq. (MHz)	W ₀ (W)	η (%)		Typenummer	Omschrijving	max. diam. (mm)	max. lengte (mm)
60	36	62	Medium 7p. 40220	28 906 022	Dop	51	146
60	6.5	20	Medium 5p. 40219	28 906 022	Dop	51	146
60	20	55					
—	—	—	P 5900.02	28 906 022	Dop	51	134
—	—	—	Septar 40202	—	—	49	110
—	—	—	Giant 7p.	40619	Dop	65	190
120	126	70					
120	34	30					
120	80	67					
—	—	—	Giant 5p. 40211/01	40624	Aansluitklem	62	130
200	225	65					
—	—	—					
—	—	—					
120	500	67	Giant 5p. 40211/01	40624	Aansluitklem	87	151
—	—	—	Super Giant 40216	40626	Aansluitklem	118	213
120	800	60					
—	—	—					
220	1.85	45	—	40622	Roosteraansluitring Aansluitklem Isolatievoet	92	196
			—	40634 (4×)			
			—	40635			
			—	K 713	Waterkoeler Roosteraansluitring Sleutel	70	246 *)
			—	40622			
—	40631	40634 (4×)	Aansluitklem				
175	5.4	42	Loctal 9p. 40212	—	—	38	78
125	20	60	Medium 5p. 40219	28 906 022	Dop	51	146
125	8	30					
125	14	65					
—	—	—	Loctal 8p. 40213	—	—	32	100
300	8	34					
—	—	—					
—	—	—					
300	22	61	Septar 40202	40615 (2×)	Aansluitklem	51	84
500	60	60	Septar 40402	40623 (2×)	Aansluitklem	49	110
75/225	12	23					

TYPE	V_f (V)	I_f (A)	V_a max. (V)	W_a max. (W)	Optimale waarden			Instelling
					Max. freq. (MHz)	W_o (W)	η (%)	
TA 4/800	23	14.7	4000	500	2	1 530	76	C telegr. B telef. C an. mod. C osc. ²⁾
					2	260	34	
					2	710	76	
					50	510	72	
TA 18/100	33	207	20 000	70 000	2	130 000	72	C telegr. B telef. C an. mod.
					2	31 000	36	
					2	38 000	70	
TA 20/250	35	420	20 000	130 000	2	250 000	76	C telegr. B telef. C an. mod.
					2	60 000	32	
					2	65 000	64	
TAL 12/10	22	2×39	12 000	4 000	5	10 500	72	C telegr. B telef. C an. mod. B mod. ¹⁾
					5	2 000	33	
					5	7 700	77	
					—	17 000	75	
TAL 12/20	21.5	78	12 000	18 000	28	22 000	68	C telegr. B telef. C an. mod. B mod. ¹⁾
					28	5 000	27	
					28	9 500	68	
					—	42 000	72	
TAL 12/35	28.3	3×48.5	15 000	18 000	20	48 500	77	C telegr. B telef. C an. mod. B mod. ¹⁾
					20	9 000	33	
					20	27 000	77	
					20	80 000	74	
TAW 12/10	22	2×39	12 000	7 500	5	15 000	73	C telegr. B telef. C an. mod. B mod. ¹⁾
					5	3 700	33	
					5	7 700	77	
					—	30 000	73	
TAW 12/20	21.5	78	12 000	18 000	28	22 000	68	C telegr. B telef. C an. mod. B mod. ¹⁾
					28	5 000	27	
					28	9 500	68	
					—	42 000	72	
TAW 12/35 G	28.3	3×48.5	15 000	20 000	20	48 500	77	C telegr. B telef. C an. mod. B mod. ¹⁾
					20	9 000	33	
					20	27 000	77	
					—	107 000	74	
TB 1/60 A	7.5	3.25	1 250	50	60	70	58	C telegr. B telef.
					60	20	28	
TB 1/60 G					60	58	64	C an. mod.
					—	110	69	B mod. ¹⁾

¹⁾ Twee buizen. ²⁾ Diathermie instelling. ³⁾ In koelmantel of koeler

Gereduceerde waarden			Buisvoet Buishouder	Toebehoren		Afmetingen	
Freq. (MHz)	W_0 (W)	η (%)		Typenummer	Omschrijving	max. diam. (mm)	max. lengte (mm)
—	—	—	—	—		118	306
—	—	—	—	K 708 K 709	Waterkoeler Waterkoeler voor rooster- aansluiting (freq. > 3MHz)	330	1333
20	125 000	65	—	40610 (3×)	Beschermkap voor rooster- aansluiting	330	1393
20	40 000	30	—	62 960 76	Rubberring		
20	56 000	66	—	62 961 25 (2×)	Rubberring		
20	10 500	72	—	K 501 of 40629	Voet Isolatievoet		
20	2 000	33	—	40603	Steunring		
20	6 000	75	—	40604 (2×)	Gloeidraadstrip	194	471
—	—	—	—	40632 (2×)	Beschermkap voor rooster- aansluiting		
—	—	—	—	K 503/01 of K 504/01	Koelmantel met gekanali- seerde uitlaat Koelmantel met vrije uitlaat	104 104	730 811 ^{a)}
—	—	—	—	40614	Roosterbeugel		
—	—	—	—	40632 (2×)	Beschermkap voor rooster- en gloeidraadaansluitingen		
37.5	26 000	62	—	K 505	Koe.mantel		
—	—	—	—	40606	Gloeidraadbeugel		
27	26 000	74	—	40632 (6×)	Beschermkap voor rooster- en gloeidraadaansluitingen	226	618 720 ^{a)}
75	3 500	51	—	K 700	Waterkoeler		
20	3 300	33	—	40604	Gloeidraadstrip		
20	6 000	75	—	40632	Beschermkap voor rooster- aansluiting	194	495 ^{a)}
—	—	—	—	R1 366 43	Rubberring		
—	—	—	—	62 960 81 (2×)	Rubberring		
—	—	—	—	K 707	Waterkoeler		
—	—	—	—	40614	Roosterbeugel		
—	—	—	—	40632 (2×)	Beschermkap voor rooster- aansluiting	104 104	730 811 ^{a)}
—	—	—	—	R1 367 50	Contactring		
—	—	—	—	62 960 53	Rubberring		
—	—	—	—	62 960 81 (2×)	Rubberring		
—	—	—	—	62 961 23	Rubberring		
37.5	26 000	62	—	K 715	Waterkoeler („grip-o- matic“)		
—	—	—	—	40606	Gloeidraadbeugel		
27	26 000	74	—	40632 (6×)	Beschermkap voor rooster- en gloeidraadaansluitingen	226	650 720 ^{a)}
—	—	—	—	89 039 63	Rubberring		
300	18	27	—	A 40465		72	174
—	—	—	—	Medium 4p. 40218/03			

TYPE	V_f (V)	I_f (A)	V_a max. (V)	W_a max. (W)	Optimale waarden			Instelling
					Max. freq. (MHz)	W_a (W)	η (%)	
TB 2/200	12	2.7	2000	130	46	275	72	C teleg. B telef. C an. mod. B mod. ¹⁾
					46	60	31	
					46	160	74	
					—	540	75	
TB 2/500	12	7.3	2000	300	20	635	68	C teleg. B telef. C an. mod. B mod. ¹⁾
					20	124	29	
					20	430	71	
					—	900	71	
TB 2.5/300	6.3	5.4	2500	135	150	390	76	C teleg. B telef. C an. mod. B mod. ¹⁾
					150	65	34	
					150	204	80	
					—	700	78	
TB 3/750	5	14.1	3000	250	100	840	77	C teleg. B telef. C an. mod. B mod. ¹⁾
					100	140	36	
					100	482	77	
					—	1280	75	
TB 3/1000	12	8.5	3000	500	20	1200	72	C teleg. B telef. C an. mod. B mod. ¹⁾
					20	200	30	
					20	720	72	
					—	1750	68	
TB 3/2000	12	17	3500	1100	2	2900	72	C teleg. B telef. C an. mod. B mod. ¹⁾
					2	600	35	
					2	1625	75	
					—	3300	66	
TB 4/1250	10	9.7	4000	450	100	1690	79	C teleg. C an. mod. B mod. ¹⁾
					100	1053	78	
					—	2210	77	
TBL 6/6000	12.6	33	6000	5000	75	6900	76	C teleg. B telef. C an. mod. B mod. ¹⁾
					75	1900	32	
					75	4700	78	
					—	13300	74	
TBL 12/100	17.5	196	13500	45000	15	108000	75	C teleg. C an. mod. B mod. ¹⁾
					15	65000	76	
					—	202000	70	
TBW 6/6000	12.6	33	6000	6000	75	6900	76	C teleg. B telef. C an. mod. B mod. ¹⁾
					75	1900	32	
					75	4700	78	
					—	13300	74	
TBW 12/100	17.5	196	12060	50000 ²⁾	15	108000	75	C teleg. B telef. C an. mod. B mod. ¹⁾
					15	51500	35	
					15	65000	76	
					—	202000	70	

¹⁾ Twee buizen. ²⁾ Voor B telef. 100 kW ³⁾ In koelmantel of koeler

Gereduceerde waarden			Buisvoet Buishouder	Toebehoren		Afmetingen	
Freq. (MHz)	W _a (W)	η (%)		Typenummer	Omschrijving	max. diam. (mm)	max. lengte (mm)
100 60 60 —	140 47 85 —	57 30 59 —	Spec. 2p. 40206	40600 (2×) 40608	Aansluitklem Sleutel	63	174
150 — — —	250 — — —	46 — — —		Spec. 2p. 40204	40608 40626		
200 — — —	200 — — —	57 — — —	Giant 5p. 40211/01	40624	Aansluitklem	62	132
143 — — —	425 — — —	61 — — —		Giant 5p. 40211/01	40624		
75 60 —	450 562 —	37 72 —	Spec. 2p. 40204	40608 40626 (2×)	Sleutel Aansluitklem	106	262
20 20 20 —	2 600 520 1 300 —	70 32 74 —		Spec. 2p. 40205	40608 40626 (2×)		
120 — —	1 125 — —	71 — —	Super Giant 40216	40626	Aansluitklem	118	213
220 — — —	2 050 — — —	50 — — —		— — —	40622 40630 40634 (3×)		
30 30 —	50 000 30 000 —	75 71 —	—	K 506 40628 (6×)	Koemantel Gloeidraadaansluitklem	286 510 ^{a)}	635 1130 ^{b)}
220 — — —	2 050 — — —	50 — — —		— — —	K 713 40622 40631 40634 (3×) R1 15 811		
30 — 30 —	50 000 — 30 000 —	75 — 71 —	—	K 714 40628 (6×) 89 039 63	Waterkoeler Gloeidraadaansluitklem Rubbering	240	620 710 ^{a)}

GELIJKRICHTBUIZEN VOOR

TYPE	V_f (V)	I_f (A)	V_a invp (kV)	I_o max. (A)	Schakeling		Aantal buizen
					Aantal fazen secondair	Gelijking	
DCG 1/250	4	2.5	3	0.25	2	enkelzijdig enkelzijdig dubbelzijdig	2
					3		3
					3		6
DCG 1.5/250	4	2.5	4.25	0.25	2	enkelzijdig enkelzijdig dubbelzijdig	2
					3		3
					3		6
DCG 4/1000 ED	2.5	4.8	10	0.25	2	enkelzijdig enkelzijdig dubbelzijdig	2
DCG 4/1000 G					3		3
DCG 4/5000	4	7	13	1.25	2	enkelzijdig enkelzijdig dubbelzijdig	2
					3		3
					3		6
DCG 5/30	5	30	13	6	2	enkelzijdig enkelzijdig dubbelzijdig	2
					3		3
					3		6
DCG 5/5000 EG	5	7	12	1.5	2	enkelzijdig enkelzijdig dubbelzijdig	2
DCG 5/5000 GB					3		3
DCG 6/6000	5	6.5	13	1	2	enkelzijdig enkelzijdig dubbelzijdig	2
					3		3
					3		6
DCG 7/100	5	20	15	15	2	enkelzijdig enkelzijdig dubbelzijdig	2
					3		3
					3		6
DCG 9/20	5	12.5	21	2.5	2	enkelzijdig enkelzijdig dubbelzijdig	2
					3		3
					3		6
DCG 12/30	5	13.5	27	2.5	2	enkelzijdig enkelzijdig dubbelzijdig	2
					3		3
					3		6
DCX 4/1000	2.5	5	10	0.25	2	enkelzijdig enkelzijdig dubbelzijdig	2
					3		3
					3		6
DCX 4/5000	5	7.1	10	1.25	2	enkelzijdig enkelzijdig dubbelzijdig	2
					3		3
					3		6

ZENDDOELEINDEN

V_{tr} (kV)	V_o (kV)	I_o (A)	W_o tot. (kW)	Buisvoet Buishouder	Toebehoren		Afmetingen	
					Typenummer	Omschrijving	max. diam. (mm)	max. lengte (mm)
1.1 1.2 2.1	0.96 1.4 2.8	0.48 0.75 0.75	0.5 1.1 2.2	A 40465	—		48	115
1.5 1.7 3.0	1.3 2.0 4.1	0.5 0.75 0.75	0.7 1.5 3.0		—		47	138
3.5 4.1 7.1	3.2 4.8 9.6	0.5 0.75 0.75	1.6 3.6 7.2	Edison E3 000 22	—		47	147
				Medium 4p. 40218/03	40619	Dop	47	157
4.6 5.3 9.2	4.1 6.2 12.4	2.5 3.75 3.75	10.2 23.4 46.5	Goliath 65909BC,01	—		53	225
4.6 5.3 9.2	4.1 6.2 12.4	12 18 18	50 112 224	— —	40612 08 281 72	Anodekap Contactpen voor roosteraansluiting	225	581
4.2 4.9 8.4	3.8 5.7 11.4	3 4.5 4.5	11.4 25.6 51.3	Goliath 65909BC,01	40619	Dop	52	235
				Jumbo 4p. 40408	40619	Dop	52	213
4.6 5.3 9.2	4.1 6.2 12.4	2 3 3	8.3 18.6 37.2	Jumbo 4p. 40408	40616	Anodekap	120	242
5.3 6.1 10.6	4.8 7.2 14.4	30 45 45	144 324 648	Spec. 4p. 40409	40620	Dop	175	460
7.4 8.6 14.8	6.7 10.0 20.0	5 7.5 7.5	34 75 150	Spec. 3p. 40209	40616 40620	Anodekap Dop	120	375
9.5 11 19.1	8.6 12.9 25.8	5 7.5 7.5	43 97 194	Spec. 3p. 40209	40616 40620	Anodekap Dop	120	384
3.5 4.1 7.1	3.2 4.8 9.6	0.5 0.75 0.75	1.6 3.6 7.2	Medium 4p. 40218/03	40619	Dop	53	156
3.5 4.1 7.1	3.2 4.8 9.6	2.5 3.75 3.75	8 18 36	Jumbo 4p. 40408	40619	Dop	59	216

Year	Month	Day	Event	Amount	Total
1871	Jan	1
1871	Jan	2
1871	Jan	3
1871	Jan	4
1871	Jan	5
1871	Jan	6
1871	Jan	7
1871	Jan	8
1871	Jan	9
1871	Jan	10
1871	Jan	11
1871	Jan	12
1871	Jan	13
1871	Jan	14
1871	Jan	15
1871	Jan	16
1871	Jan	17
1871	Jan	18
1871	Jan	19
1871	Jan	20
1871	Jan	21
1871	Jan	22
1871	Jan	23
1871	Jan	24
1871	Jan	25
1871	Jan	26
1871	Jan	27
1871	Jan	28
1871	Jan	29
1871	Jan	30
1871	Jan	31
1871	Feb	1
1871	Feb	2
1871	Feb	3
1871	Feb	4
1871	Feb	5
1871	Feb	6
1871	Feb	7
1871	Feb	8
1871	Feb	9
1871	Feb	10
1871	Feb	11
1871	Feb	12
1871	Feb	13
1871	Feb	14
1871	Feb	15
1871	Feb	16
1871	Feb	17
1871	Feb	18
1871	Feb	19
1871	Feb	20
1871	Feb	21
1871	Feb	22
1871	Feb	23
1871	Feb	24
1871	Feb	25
1871	Feb	26
1871	Feb	27
1871	Feb	28
1871	Feb	29
1871	Feb	30
1871	Feb	31

BUIZEN VOOR INDUSTRIELE TOEPASSINGEN

VOORKEUR TYPEN

GELIJKRICHTBUIZEN VOOR DE INDUSTRIE

Max. gelijkgerichte stroom per buis		Typen met dubbele anode								
		1.3 A	2 A	3 A	4 A	6 A	15 A	25 A	50 A	60 A
Max. anode wisselspanning	28 V	328								
	45 V			1119		367				
	55 V									1069 K*
	60 V	1010	1110			1048	1039	1049		
	115 V						1838	1849	1859	
	150 V	1725 A		1710						
	220 V				1173 □	1174 □	1176 □	1177 □		

* Alleen te gebruiken voor gelijkstroom lasapparaten. □ Typen met één anode.

THYRATRONS

Max. gelijkgerichte stroom		0.1 A	0.5 A	2.5 A	3.2 A	6.4 A	15 A	90 A*	325 A*
Max. positieve piek anodespanning	240 V						PL 150		
	600 V		PL 1607						
	650 V	PL 21							
	1000 V			PL 57					
	1500 V				PL 5544	PL 5545			
	2500 V		PL 17			PL 105			
	8000 V							PL 435 (4C35)	
	16000 V								PL 522 (5C22)

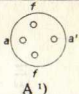
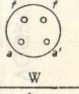
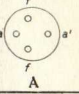
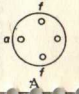
() Amerikaanse typenummers. * Max. anode piek stroom.

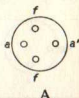
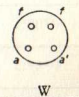
IGNITRONS

Type		PL 5551	PL 5552	PL 5555	
Lassen	Benodigd vermogen	600 kVA	1200 kVA	2400 kVA	
	Max. eff. ing. wisselspanning	600 V	600 V	2400 V	
Gelijkrichter-bedrijf	Max. anode gelijkstroom	40 A*	100 A*	150 A	200 A
	Anode piek spanning	500 V	500 V	2100 V	900 V

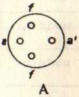
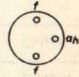
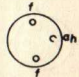
* Bij intermitterend bedrijf.

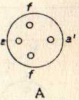
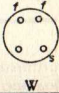
GELIJKRICHTBUIZEN VOOR DE INDUSTRIE

TYPE	<i>m</i>	Gloeidraad-gegevens			Spanningen			Stromen			Karakteristieke gegevens			Afmetingen		Buisvoet-ansluitingen
		V_f (V)	I_f (A)	T_h (sec)	V_{aeff}		V_{invp} (V)	I_o (A)	I_{ap} (A)	R_a (Ω)	V_{ign} (V)	V_{arc} (V)	Diam. max. (mm)	Hoogte max. (mm)		
					max. (V)	min. (V)									max. (V)	
328	2	1.85	2.8	15	28	16	80	1.3	4	3	16	7	33	112		
354	1	1.85	5.5	30	20 130	15 15	60 370	2 0.25	10 1.25	4 50	17 17	8	62	125	Edison	
367	2	1.85	8	30	45	16	125	6	18	1	17	8	81	170		
451	2	1.85	2.8	15	16	10	45	1.3	4	3	11	6	33	112		
1002	1	1.85	2.8	15	160	16	450	0.1	0.6	15	16	7	39	121		

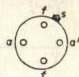
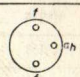
1010	2	1.85	3.5	15	60	16	170	1.3	4	10	14	8	37	120	 A
1037	2	1.92	11	120	60	15	170	6	18	1.75	14	12	85	240	Goliath
1039	2	1.92	18	120	60	10	170	15	45	0.75	11	9	94	264	Goliath
1048	2	1.92	7	120	60	10	170	6	18	1.75	14	12	82	171	 W
1049	2	1.92	30	120	60	10	170	25	75	0.3	11	9	101	283	strippen
1053	2	1.92	45	120	48	10	135	25	75	0.25	15	9	101	287	strippen
1054	2	1.92	73	120	48	20	135	40	120	0.18	30	9	111	350	strippen
1059	2	1.92	40	120	60	10	170	40	120	0.2	11	9	111	350	strippen
1063A	3	1.92	11	30	250	130	700	6	12	0	70 ²⁾	20	175	255	Edison
1069K ³⁾	2	3.25	70	120	55	35	155	60 ⁴⁾	200	0.12	45	10	114	365	strippen

¹⁾ Aanduiding van buisvoet, voor bijbehorende buishouder zie bladz.175 ²⁾ Met hulp ontsteek unit type E3 108 03 (100 V, 25 mA). ³⁾ Voor lasapparaten. ⁴⁾ Met ventilatorkoeling.

TYPE	m	Gloe draad-gegevens			Spanningen			Stromen		Karakteristieke gegevens			Afmetingen		Buisvoet-aansluitingen
		V_f (V)	I_f (A)	T_h (sec)	$V_{a\text{eff}}$		V_{invp} max. (V)	I_o max. (A)	I_{ap} max. (A)	R_a min. (Ω)	V_{ign} max. (V)	V_{arc} (V)	Diam. max. (mm)	Hoogte max. (mm)	
					max. (V)	min. (V)									
1089	2	1.92	11	120	60	16	170	10	30	1.2	11	9	94	259	Goliath
1110	2	1.85	3.6	15	60	16	170	2	6	4	16	9	39	131	
1119	2	1.85	5.5	30	45	12	127	3	9	1.8	16	9	71	142	
1129	2	1.85	5.5	30	60	12	170	3	9	2.5	16	9	71	140	
1138	1	2.5	27	120	85	20	240	15	85	0.3	16	10	115	269	Goliath
1163	1	2.25	17	3	130 90 ¹⁾	20	375 250 ¹⁾	6	36	0.5	16	11	83	178	Goliath
1164	1	2.5	25	15	80 60 ¹⁾	20	225 165 ¹⁾	15	90	0.3	16	9	98	220	Goliath
1173	1	1.92	13	60	220	20	625	4	24	0.75	22 ²⁾	12	62	189	 Spec. 3p.(2)
1174	1	1.92	12	60	220	20	625	6	36	0.5	22 ²⁾	12	77	218	 Spec. 3p.(1)


1176	1	1.92	28	120	220	20	625	15	90	0.2	25 ²⁾	10	92	301	strippen
1177	1	1.92	70	300	220	20	625	25	150	0.1	28 ²⁾	12	128	362	strippen
1533	3	1.92	23	120	275	60	775	15	45	0.6	45 ³⁾	19	192	270	strippen
1534	2	1.92	23	120	275	60	775	15	45	0	45 ³⁾	17	197	270	strippen
1543	3	1.92	36	120	275	60	775	25	70	0.4	50 ³⁾	16	207	265	kabels
1544	2	1.92	36	120	275	60	775	25	70	0	50 ³⁾	15	242	278	kabels
1553	3	1.92	70	120	275	60	775	40	135	0.25	50 ³⁾	15	297	355	kabels
1554	2	1.92	70	120	275	60	775	40	135	0	50 ³⁾	15	317	355	kabels
1564	2	1.92	70	120	275	60	775	60	135	0	50 ³⁾	14	372	390	kabels
1701	2	1.8	2.8		340	40	960	0.3	1	450	50	18	58	134	
1710	2	1.92	7	30	150	25	425	3	9	2.5	30 ⁴⁾	12	69.5	205	

¹⁾ In brugschakelingen. ²⁾ Met hulp ontsteek unit type 1289 (40 V, 10 mA). ³⁾ Met hulp ontsteek unit type E3 108 03 (100 V, 25 mA). ⁴⁾ Scherm verbinden met gloeidraad via een weerstand van 10000 Ω , 0.5 W.



TYPE	m	Gloeidraad-gegevens			Spanningen			Stromen		Karakteristieke gegevens			Afmetingen		Buisvoet-aansluitingen
		V_f	I_f	T_h	V_{aeff}		V_{invp}	I_o	I_{ap}	R_a	V_{ign}	V_{arc}	Diam.	Hoogte	
					max. (V)	min. (V)									
1725A	2	1.92	3.5	15	150	22	425	1.3	4	5	30 ¹⁾	12	71	135	 A
1729	2	1.92	8	120	95	20	270	6	18	0.4	30 ¹⁾	15	81	240	Goliath
1738	2	1.92	18	120	95	20	270	15	45	0.2	20 ²⁾	9	94	284	Goliath
1749A	2	1.92	25	120	95	30	270	25	75	0.1	30 ²⁾	10	101	290	strippen
1768	2	1.92	11	30	285	130	810	6	10	0	70	20	176	240	strippen
1788	2	1.92	11	120	95	20	270	10	30	0.3	25	9	94	284	Goliath
1838	2	1.92	21.5	120	115	20	325	15	45	0.25	22 ³⁾	10	97	262	 Spec. 3p.(1)
1849	2	1.92	29	120	115	20	325	25	75	0.2	28 ³⁾	10	105	294	strippen
1859	2	1.92	70	300	115	30	325	50	150	0.1	30 ³⁾	12	143	436	strippen

¹⁾ Scherm verbinden met gloeidraad via een weerstand van 10000 Ω , 0,5 W. ²⁾ Aansluitklem voor scherm niet uitwendig verbinden. ³⁾ Max. halve-sec. stroomtype 209 (40 V, 10 rA).


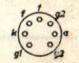


SENDITRON

Type	Gloeidraad-gegevens			Spanningen max. (V)	Stromen max. (A)	Karakteristieke gegevens	Afmetingen		Buisvoet- aansluitingen
	V_j (V)	I_j (A)	T_h (sec)				Max diam. (mm)	Max. hoogte (mm)	
PL 5 Triode met capacitieve ontsteking	—	—	—	$V_{ainvp} = 1500$ $V_{aeff} = 500$ = min. 20	$I_a = 3.5^1)$ $I_a = 1$ $I_{ap} = 3000^2)$	$V_{arc} = 20$ V $T_{av} = \text{max. } 1$ sec $V_{ign} = \text{max. } 25$ V freq. = max. 300 Hz $V_{ignp} = \text{max. } 8000$ V ³⁾ $t_{Hg} = +10$ - $+40$ °C	135	179	

THYRATRONS

4690 Triode met edelgas- vulling	4	1.3	—	$V_{ap} = 500$	$I_a = 0.01$ $I_{ap} = 0.75^2)$	$V_{arc} = 50$ V freq. = max. 150 kHz	43	98	
EC 50 Triode met edelgas- vulling	6.3	1.3	10	$V_{ap} = 1000$ $V_{ainvp} = 1000$	$I_a = 0.01$ $I_{ap} = 0.75^2)$ $I_g = 0.0002$ $I_{gp} = 0.0014$	$V_{arc} = 33$ V freq. = max. 150 kHz $T_{dion} = 1$ μsec	43	108	
PL 10 Triode voor impuls- en relais- schakelingen	1.85	3.4	—	$V_{ap} = 400$ $V_{ainvp} = 400$ $V_{gp} = +1800$ $V_{gp} = -1800$	$I_a = 0.1$ $I_{ap} = 4$	$V_{arc} = 20-35$ V $T_{av} = \text{max. } 10$ sec freq. = max. 100 Hz $t_{amb} = -75$ - $+90$ °C	21.5	108	 Mignon

¹⁾ Met ventilatorcooling. ²⁾ Freq. ≥ 25 Hz. ³⁾ Spanning van ontsteekelektrode.

Type	Gloeidraad-gegevens			Spanningen		Stromen		Karakteristieke gegevens	Afmetingen		Buisvoet-aansluitingen
	V_f (V)	I_f (A)	T_h (sec)	max. (V)	max. (A)	Max. diam. (mm)	Max hoogte (mm)				
PL 17 Triode met kwikdampvulling	2.5	5	5	$V_{ap} = 2500$ $V_{ainvp} = 5000$ $V_g = -500$ $V_g(arc) = -10$	$I_a = 0.5$ $I_{ap} = 2^1)$ $I_g = 1$ $I_g = 0.05$ $I_{gp} = 0.25$	$V_{arc} = 16$ V $T_{ion} = 10$ μ sec $T_{dion} = 1000$ μ sec $T_{av} = \text{max. } 15$ sec $t_{Hg} = +40$ - $+80$ °C $t_{rec} = +40$ °C	62	169		Medium 4p.	
PL 21 Tetrode met edelgasvulling	6.3	0.6	10	$V_{ap} = 650$ $V_{ainvp} = 1300$ $V_{g1p} = -100$ $V_{g1(arc)} = -10$ $V_{g2p} = -100$ $V_{g2(arc)} = -10$	$I_k = 0.1$ $I_{kp} = 0.5^1)$ $I_{g1} = 0.01$ $I_{g1} = 0.01$	$V_{arc} = 8$ V $T_{ion} = 0.5$ μ sec $T_{dion} = 35$ - 75 μ sec $T_{av} = \text{max. } 30$ sec $t_{amb} = -75$ - $+90$ °C $t_{rec} = +20$ °C	19	54		Miniatuur	
PL 57 Triode met kwikdampvulling	5	4.5	300	$V_{ap} = 1000$ $V_{ainvp} = 1500$ $V_g = -500$ $V_g(arc) = -10$	$I_a = 2.5$ $I_{ap} = 15^1)$ $I_{ap} = 5$ $I_g = 0.25$ $I_{gp} = 1$ $I_{surge} = 200^2)$	$V_{arc} = 16$ V $T_{ion} = 10$ μ sec $T_{dion} = 1000$ μ sec $T_{av} = \text{max. } 15$ sec $t_{Hg} = +40$ - $+75$ °C $t_{rec} = +45$ °C	62	185		Medium 4p.	
PL 105 Tetrode met kwikdampvulling	5	10	300	$V_{ap} = 2500$ $V_{ainvp} = 2500$ $V_{g2} = -500$ $V_{g2(arc)} = -10$ $V_{g1} = -1000$ $V_{g1(arc)} = -10$	$I_a = 6.4$ $I_{ap} = 40^1)$ $I_{ap} = 12.8$ $I_{g2} = 0.5$ $I_{g2p} = 2$ $I_{g1} = 0.25$ $I_{g1p} = 1$ $I_{surge} = 400^2)$	$V_{arc} = 16$ V $T_{ion} = 10$ μ sec $T_{dion} = 1000$ μ sec $T_{av} = \text{max. } 15$ sec $t_{Hg} = +40$ - $+80$ °C $t_{rec} = +40$ °C	123	289		Super Jumbo	

PL 150 Triode met kwikdampvulling	1.92	26	120	$V_{ap} = 240$ $V_{ainvp} = 500$ $V_g = -150^a)$ $V_g = -50^a)$	$I_a = 15$ $I_{ap} = 90^1)$ $I_{gp} = 0.1$	$V_{arc} = 12$ $T_{dion} = 1000 \mu\text{sec}$ $T_{av} = \text{max. } 15 \text{ sec}$ $t_{Hg} = +40 \text{--} +80 \text{ } ^\circ\text{C}$ $t_{rec} = +60 \text{ } ^\circ\text{C}$	92	293	strippen
PL 435 Triode met waterstofvulling	6.3	6.1	180	$V_{ap} = 8000$ $V_{ainvp} = 8000$ $V_{gp} = \text{min. } 175$ $V_{ginvp} = 200$	$I_a = 0.1$ $I_{ap} = 90^1)$	$T_{imp} = \text{max. } 6 \mu\text{sec}^b)$ $V_{ap} \times I_{ap} \times \text{freq.} < 2 \times 10^9^c)$ Werkfractie = max. 0.0014	65	178	
PL 522 Triode met waterstofvulling	6.3	10.6	300	$V_{ap} = 16000$ $V_{ainvp} = 16000$ $V_{gp} = \text{min. } 200$ $V_{ginvp} = 200$	$I_a = 0.2$ $I_{ap} = 325^1)$	$T_{imp} = \text{max. } 6 \mu\text{sec}^b)$ $V_{ap} \times I_{ap} \times \text{freq.} > 3.2 \times 10^9^c)$ Werkfractie = max. 0.001	65	222	Super Jumbo
PL 1607 Tetrode met edelgasvulling	2	2.6	60	$V_{ap} = 600$ $V_{ainvp} = 600$ $V_{g2} = -100$ $V_{g1(arc)} = -10$ $V_{g1} = -100$ $V_{g1(arc)} = -10$	$I_a = 0.5$ $I_{ap} = 2^1)$ $I_{gp} = 1$ $I_{g2} = 0.05$ $I_{g1P} = 0.25$ $I_{g1} = 0.05$ $I_{g1P} = 0.25$	$V_{arc} = 15 \text{ V}$ $T_{dion} = 500 \mu\text{sec}$ $T_{av} = \text{max. } 15 \text{ sec}$ $t_{amb} = -75 \text{--} +90 \text{ } ^\circ\text{C}$ $t_{rec} = +20 \text{ } ^\circ\text{C}$	48	142	
PL 5544 Triode met edelgasvulling	2.5	12	60	$V_{ap} = 1500$ $V_{ainvp} = 1500$ $V_g = -250$ $V_g(arc) = -10$	$I_a = 3.2$ $I_{ap} = 40^1)$ $I_g = 0.2$ $I_{gp} = 2.5$ $I_{surge} = 560^2)$	$V_{arc} = 16 \text{ V}$ $T_{ion} = 10 \mu\text{sec}$ $T_{dion} = 40\text{--}400 \mu\text{sec}$ $T_{av} = \text{max. } 15 \text{ sec}$ $t_{amb} = -55 \text{--} +70 \text{ } ^\circ\text{C}$	67	190	
PL 5545 Triode met edelgasvulling	2.5	21	60	$V_{ap} = 1500$ $V_{ainvp} = 1500$ $V_g = -250$ $V_g(arc) = -10$	$I_a = 6.4$ $I_{ap} = 80^1)$ $I_g = 0.2$ $I_{gp} = 2.5$ $I_{surge} = 1120^2)$	$V_{arc} = 16 \text{ V}$ $T_{ion} = 10 \mu\text{sec}$ $T_{dion} = 50\text{--}500 \mu\text{sec}$ $T_{av} = \text{max. } 15 \text{ sec}$ $t_{amb} = -55 \text{--} +70 \text{ } ^\circ\text{C}$	67	229	

1) Freq. $\geq 25\text{Hz}$. 2) Gedurende max. 0.1 sec. 3) Bij negatieve anodespanning. 4) Bij positieve anodespanning. 5) Bij halve amplitude.
 *) Freq. = impuls herhalingsfrequentie

IGNITRONS

Type	Gestuurd Lasbedrijf (twee buizen in anti-parallel schakeling)						Gelijkrichter (intermitterend bedrijf, ontstekingshoek = 0)							
	$V_{a\text{eff}}$	Totaal door- gaand vermogen max.		I_a	I_a max.	T_{av} max.	$I_{\text{surge}}^{(1)}$ max.	V_{ap} max.	$V_{a\text{invp}}$ max.	I_a max.	I_{ap} max.	$I_{\text{surge}}^{(1)}$ max.	T_{av} max.	Freq.
	(V)	(kVA)		(A)	(A)	(sec)	(A)	(V)	(V)	(A)	(A)	(A)	(sec)	(Hz)
PL 5551	220	530	—	30.2	—	18	6720	500	500	40	700	8000	6	25-60
		—	180	—	56									
	250	600	—	30.2	—	18	6720							
		—	200	—	56									
	600	600	—	30.2	—	7.5	2800							
		—	200	—	56									
PL 5552	220	1060	—	75.6	—	14	13450	500	500	100	1600	6000	6	25-60
		—	350	—	140									
	250	1200	—	75.6	—	14	13450							
		—	400	—	140									
	600	1200	—	75.6	—	5.8	5600							
		—	400	—	140									
							Gelijkrichter (continu bedrijf, ontstekingshoek = 0)							
PL 5555	max. 2400	2400	—	max. 135	—	1.66	6000	900	900	200	1800	12000	—	25-60
		—	1105	—	207			2100	2100	150	1200	9000	—	

RÖNTGENBUIZEN

DIAGNOSTIEKBUIZEN MET STRALENBESCHERMING

Type	Max. piek anodespanning (kV)						Focus (mm)	Max. belasting		Isolatie	Koeling	Anode	
	Schakeling ¹⁾							Foto- grafie (kW)	Door- lich- ting HU/sec			Type	Warmte- capaciteit (HU)
	1	2	3	4	5	6							
20610 20611	100 —	— 110	— 110	— 110	— —	— —	1.7	2	450	lucht	lucht	vast	—
20620 20621	100 —	— 110	— 110	— 110	— —	— —	3.1	6	450				
20630 20631	100 —	— 110	— 110	— 110	— —	— —	4.1	10	450				
20650/01 20650/02	100 —	— 110	— 110	— 110	— —	— —	1.7/3.1	2/6	450				
20651/01 20651/02	100 —	— 110	— 110	— 110	— —	— —	1.7/4.1	2/10	450				

¹⁾ 1 = wisselspanning.

2 = één en twee ventielschakeling.

3 = vier ventielschakeling.

4 = zes ventielschakeling.

5 = Villard schakeling.

6 = Greinacher schakeling.

DIAGNOSTIEK INZETBUIZEN

21825	-50	-	-	-	-	-	0.8	0.3	32				11000
21836	-83	-	-	-	-	-	1.0	0.8	240				25000
21837	-90	-	-	-	-	-	1.5	1.0	240				25000
21838	-95	-	-	-	-	-	1.5	1.0	240	olie	olie	vast	25000
21839	-85	-	-	-	-	-	1.5	1.0	225				12000
21840	-100	-	-	-	-	-	2.3	2.6	240				60000
21905							1.5	2					
21906							2.3	4					
21907							3.1	6					
21908	-110	+110	+110	-	-	-	4.1	10	500	olie	olie	vast	85000
21910							1.5/3.1	2/6					
21911							1.5/4.1	2/10					
21912							2.3/4.1	4/10					
21915							1.5	2					
21916							2.3	4					
21917							3.1	6					
21918	-110	+125	+125	-	-	-	4.1	10	500	olie	olie	vast	150 000
21920							1.5/3.1	2/6					
21921							1.5/4.1	2/10					
21922							2.3/4.1	4/10					

Type	Max. piek anodespanning (kV)						Focus (mm)	Max. belasting		Isolatie	Koeling	Anode	
	Schakeling							Foto- grafie (kW)	Door- lichting HU/sec			Type	Warmte- capaciteit (HU)
	1	2	3	4	5	6							
21933							1/2	21/42					
21934							0.3/1	2.2/21					
21935	-100	+100	+100	+100	-	-	0.3/2	2.2/42	500 ¹⁾	olie	olie	draai- end	80 000 ²⁾
21936							1	21					
21937							2	42					
21938							1.5/1.5	32/32					
21940	-110	+110	+110	+110	-	-	1	10	500	olie	olie	draai- end	60 000
21941							1.5	17					
21943							1/2	21/42					
21944	-110	+125	+125	+125	-	-	0.3/1	2/21	500 ¹⁾	olie	olie	draai- end	80 000 ²⁾
21945							0.3/2	2/42					

¹⁾ 425 in schakeling 1.
²⁾ 50 000 in schakeling 1.

OMHULLINGEN MET OLIE-ISOLATIE

Type	Max. piek bedrijfs-spanning (kV)	Warmte capaciteit (HU)	Koelcapaciteit (HU/min)		Hoek tussen kabels en venster	Kabelaansluitingen ²⁾
			met ventilator	zonder ventilator		
22116/13 ¹⁾	100	1 500 000	30 000	25 000	90°	drie polig beide zijden
22116/23 ¹⁾					90°	twee polig anode zijde
22116/63 ¹⁾					135°	drie polig beide zijden
22116/73 ¹⁾					135°	twee polig anode zijde
22117/33	100	1 000 000	18 000	30 000	90°	drie polig beide zijden
22118/03	125	1 500 000	30 000	25 000	90°	drie polig beide zijden
22118/53					135°	twee polig anode zijde
22156/13	100	500 000	12 500	25 000	90°	drie polig beide zijden
22156/23					twee polig anode zijde	
22157/03	125	750 000	15 000	30 000	90°	drie polig beide zijden
MV 0276/01	140	2 300 000	70 000	70 000	90° of 135°	drie polig beide zijden

¹⁾ Eventueel met ingebouwde opname teller.

²⁾ De aders van de twee- of driepolige anode aansluitkabels zijn in de omhulling doorverbonden.

INZETBUIZEN VOOR THERAPIE

156

Type	Max. piek anodespanning (kV)						Focus (mm)	Max. belasting (mA)	Isolatie	Koeling	Anode materiaal
	Schakeling										
	1	2	3	4	5	6					
23400	-220	—	—	—	—	—	5×5	10	olie	olie	—
23405	-260	—	—	—	—	—	6×6	18			
23604	—	—	—	—	+220	+220	5 Ø	15	lucht	water	—
23605	—	—	—	—	+220	+220	7 Ø	30			
24006	—	—	—	—	—	+50	—	2	lucht olie	lucht olie	—
MV 0675	—	+140	+140	—	—	—	4×4	8			

INZETBUIZEN VOOR DE INDUSTRIE

Grofstructuuronderzoek

25250	—	—	—	—	150	150	8	20	lucht	water	W
25252	—	—	—	—	150	150	4	12			
25275	—	—	—	—	—	300	8	10			

DiffRACTIE en Spectrografie¹⁾

25293/32	50	50	50	—	—	—	1	850	lucht	water	Cu W Mo Co Fe Cr
25294/32								850			
25295/32								850			
25296/32								350			
25297/32								350			
25298/32								300			

¹⁾ Alle opgegeven buistypen zijn uitgevoerd met 4 vensters van Mica-Be.

VENTIELEN

Type	V_f max. (V)	I_f max. (A)	$V_{inv\ p}$ max. (kV)	I_a max. (mA)		Totale lengte max. (mm)	Buisvoet	Isolatie	Vacuum of gas- gevuld	Gloeidraad type
				intermit- terend	con- tinu					
28000	17	8	125	500	200	478	DE	lucht	vacuum	wolfram
28001	19.5	8.5	125	1 000	200	478	DE	lucht		
28115	12.5	8	160	300	50	685	DE	lucht		
28117	12	8	180	300	50	825	DE	lucht		
28118	12	8	200	300	50	825	DE	lucht		
28119	12	8	220	300	50	825	DE	lucht		
28121	12	8	150	300	50	500	DE	olie		
28125	13	8	125	300	50	250	DE	lucht		
28129	12	12.5	140	750	75	285	E, DE	olie		
28136	6.5	6.0	125	1 400	500	267	D, DE, K	olie	vacuum	getho- rieerd wolfram
28137			150	1 000	400	285	D, DE, K			
28201	2.3	3.5	110	1 000	100	430	DE	lucht	gas- gevuld	oxyd- kathode
28205			160	700		528	DE	lucht		
28214			110	1 000		230	Philips	olie		
28216			200	700		677	DE	lucht		

58124			300	100		51	DE	100%		
58125	87	32	110	100	100	52	DE	100%		
58126			110	100		53	DE	100%		
58127			110	100		54	DE	100%		
58128			110	100		55	DE	100%		
58129	82	40	120	100	100	56	D DE K	100%		
58130			120	100	100	57	D DE K	100%		
58131	85	35	130	100	100	58	E DE	100%		
58132	84	36	130	100	100	59	DE	100%		
58133	83	37	130	100	100	60	DE	100%		
58134	82	38	130	100	100	61	DE	100%		
58135	81	39	130	100	100	62	DE	100%		
58136	80	40	130	100	100	63	DE	100%		
58137	79	41	130	100	100	64	DE	100%		
58138	78	42	130	100	100	65	DE	100%		
58139	77	43	130	100	100	66	DE	100%		
58140	76	44	130	100	100	67	DE	100%		
58141	75	45	130	100	100	68	DE	100%		
58142	74	46	130	100	100	69	DE	100%		
58143	73	47	130	100	100	70	DE	100%		
58144	72	48	130	100	100	71	DE	100%		
58145	71	49	130	100	100	72	DE	100%		
58146	70	50	130	100	100	73	DE	100%		
58147	69	51	130	100	100	74	DE	100%		
58148	68	52	130	100	100	75	DE	100%		
58149	67	53	130	100	100	76	DE	100%		
58150	66	54	130	100	100	77	DE	100%		
58151	65	55	130	100	100	78	DE	100%		
58152	64	56	130	100	100	79	DE	100%		
58153	63	57	130	100	100	80	DE	100%		
58154	62	58	130	100	100	81	DE	100%		
58155	61	59	130	100	100	82	DE	100%		
58156	60	60	130	100	100	83	DE	100%		
58157	59	61	130	100	100	84	DE	100%		
58158	58	62	130	100	100	85	DE	100%		
58159	57	63	130	100	100	86	DE	100%		
58160	56	64	130	100	100	87	DE	100%		
58161	55	65	130	100	100	88	DE	100%		
58162	54	66	130	100	100	89	DE	100%		
58163	53	67	130	100	100	90	DE	100%		
58164	52	68	130	100	100	91	DE	100%		
58165	51	69	130	100	100	92	DE	100%		
58166	50	70	130	100	100	93	DE	100%		
58167	49	71	130	100	100	94	DE	100%		
58168	48	72	130	100	100	95	DE	100%		
58169	47	73	130	100	100	96	DE	100%		
58170	46	74	130	100	100	97	DE	100%		
58171	45	75	130	100	100	98	DE	100%		
58172	44	76	130	100	100	99	DE	100%		
58173	43	77	130	100	100	100	DE	100%		
58174	42	78	130	100	100	101	DE	100%		
58175	41	79	130	100	100	102	DE	100%		
58176	40	80	130	100	100	103	DE	100%		
58177	39	81	130	100	100	104	DE	100%		
58178	38	82	130	100	100	105	DE	100%		
58179	37	83	130	100	100	106	DE	100%		
58180	36	84	130	100	100	107	DE	100%		
58181	35	85	130	100	100	108	DE	100%		
58182	34	86	130	100	100	109	DE	100%		
58183	33	87	130	100	100	110	DE	100%		
58184	32	88	130	100	100	111	DE	100%		
58185	31	89	130	100	100	112	DE	100%		
58186	30	90	130	100	100	113	DE	100%		
58187	29	91	130	100	100	114	DE	100%		
58188	28	92	130	100	100	115	DE	100%		
58189	27	93	130	100	100	116	DE	100%		
58190	26	94	130	100	100	117	DE	100%		
58191	25	95	130	100	100	118	DE	100%		
58192	24	96	130	100	100	119	DE	100%		
58193	23	97	130	100	100	120	DE	100%		
58194	22	98	130	100	100	121	DE	100%		
58195	21	99	130	100	100	122	DE	100%		
58196	20	100	130	100	100	123	DE	100%		
58197	19	101	130	100	100	124	DE	100%		
58198	18	102	130	100	100	125	DE	100%		
58199	17	103	130	100	100	126	DE	100%		
58200	16	104	130	100	100	127	DE	100%		
58201	15	105	130	100	100	128	DE	100%		
58202	14	106	130	100	100	129	DE	100%		
58203	13	107	130	100	100	130	DE	100%		
58204	12	108	130	100	100	131	DE	100%		
58205	11	109	130	100	100	132	DE	100%		
58206	10	110	130	100	100	133	DE	100%		
58207	9	111	130	100	100	134	DE	100%		
58208	8	112	130	100	100	135	DE	100%		
58209	7	113	130	100	100	136	DE	100%		
58210	6	114	130	100	100	137	DE	100%		
58211	5	115	130	100	100	138	DE	100%		
58212	4	116	130	100	100	139	DE	100%		
58213	3	117	130	100	100	140	DE	100%		
58214	2	118	130	100	100	141	DE	100%		
58215	1	119	130	100	100	142	DE	100%		
58216	0	120	130	100	100	143	DE	100%		
58217			130	100	100	144	DE	100%		
58218			130	100	100	145	DE	100%		
58219			130	100	100	146	DE	100%		
58220			130	100	100	147	DE	100%		
58221			130	100	100	148	DE	100%		
58222			130	100	100	149	DE	100%		
58223			130	100	100	150	DE	100%		
58224			130	100	100	151	DE	100%		
58225			130	100	100	152	DE	100%		
58226			130	100	100	153	DE	100%		
58227			130	100	100	154	DE	100%		
58228			130	100	100	155	DE	100%		
58229			130	100	100	156	DE	100%		
58230			130	100	100	157	DE	100%		
58231			130	100	100	158	DE	100%		
58232			130	100	100	159	DE	100%		
58233			130	100	100	160	DE	100%		
58234			130	100	100	161	DE	100%		
58235			130	100	100	162	DE	100%		
58236			130	100	100	163	DE	100%		
58237			130	100	100	164	DE	100%		
58238			130	100	100	165	DE	100%		
58239			130	100	100	166	DE	100%		
58240			130	100	100	167	DE	100%		
58241			130	100	100	168	DE	100%		
58242			130	100	100	169	DE	100%		
58243			130	100	100	170	DE	100%		
58244			130	100	100	171	DE	100%		
58245			130	100	100	172	DE	100%		
58246			130	100	100	173	DE	100%		
58247			130	100	100	174	DE	100%		
58248			130	100	100	175	DE	100%		
58249			130	100	100	176	DE	100%		
58250			130	100	100	177	DE	100%		
58251			130	100	100	178	DE	100%		
58252			130	100	100	179	DE	100%		
58253			130	100	100	180	DE	100%		
58254			130	100	100	181	DE	100%		
58255			130	100</						

DIVERSEN

SPANNINGSSTABILISATORBUIZEN

Stroomgebied		1-8 mA	1-10 mA	10-40 mA	50-200 mA
Brandspanning	83—87 V		85 A2 *		
	85—100 V			4687	
	90—105 V				100 E1
	90—110 V	7475			
	146—166 V			150 C1	
	150—170 V	150 A1			

FOTOBUIZEN

Kleur	Rood gevoelig	Blauw gevoelig
Hoog-vacuum	58 CV 90 CV 3545	90 AV
Gas-gevuld	58 CG 90 CG 3546 3554	90 AG

STROOMREGULATORBUIZEN

Gestabiliseerde stroom		0.1 A	0.3 A	1.15 A	1.4 A	5.9 A
Spanningsgebied	3—10 V					340
	5—15 V				1910	
	10—30 V			329		
	30—80 V	1904				
	70—122.5V	U 30				
	80—200 V		1941			

BEELD-
ICONOSCOOP

5854

BEELD-
OMFORMERS

18120	18121	18130
-------	-------	-------

GERMANIUMDIODEN

Min. voorwaarts-stroom bij + 1 V		2.5 mA	4 mA	5 mA
Max. tegenspanning bij continu gebruik	25 V	OA 60 *		
	50 V			OA 51
	60 V			OA 50
	70 V		OA 56	
	85 V	OA 61		
	100 V		OA 53 OA 55	

TYPEN

OVERSPANNINGSVEILIGHEDEN

Max. tijdelijke belasting		2.5A/1 sec	5A/1 sec	5A/3 sec	10A/1 sec	10A/3 sec
Ontsteekspanning	80—120 V					4378
	130—180 V			4349		
	150—200 V			4371		4369
	280—350 V	4372				4379
	400—500 V		4397			
	700—850 V				4390	

MAGNETRONS

Piekvermogen		7 kW	40 kW	225 kW	360 kW	400 kW
Collengte	3 cm	55035 (2J42)	55040 (725A)	55010 (4J50) 55032 (4J78)		
	8.5 cm				55085	
	10 cm					55100

TRIGGER BUIS

Z 300T/PL 1267

STRALINGS- TELBUIZEN

18500 18501 18502

18513 18514

TR EN ATR SCHAKELAARS

Type		TR	ATR	TR/ATR
Frequentie	2940—3060 MHz			56100
	3450—3614 MHz			56085
	8490—9600 MHz	56031 (1B24A)		
	9000—9600 MHz		56030 (1B35)	

HOOG-VACUUM DIODE

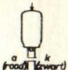
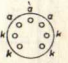
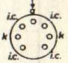

56000
(8020)

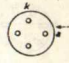

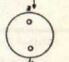
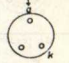
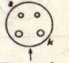
■ Spanningsreferentiebus.

*) Video-detector diode;
Min. Voorwaartsstroom
niet aangegeven.

() Amerikaanse typenummers.

FOTOBUIZEN

Type	Va-cuum	Gas-gevuld	Ge-voelig voor	Kathode		Karakteristieke gegevens				Max. waarden				Afmetingen		Buisvoet-aansluitingen
				Type	Ge-pro-jecteerd oppervlak (cm ²)	V _b (V)	Don-ker-stroom max. (μA)	N ¹⁾ (μA/lm)	R _o (MΩ)	V _b (V)	I _k per cm ² (μA)	t _{amb} (°C)	C _{ak} (pF)	Tot. hoogte max. (mm)	Dia-meter max. (mm)	
58 CG	—	G	rood	caesium op geoxideerd zilver	1.1	85	0.1	85	1	90	1.5	100	3.0	33	16	 a k forward
58 CV	V	—		zilver		50	0.05	20	1	100	3					
90 AG	—	G	blauw	caesium op antimoon	4	85	0.1	130	1	90	0.6	70	0.9	54	19	 Miniatuur ²⁾
90 AV	V	—		zilver		85	0.05	45	1	100	1.25					
90 CG	—	G	rood	caesium op geoxideerd zilver	2.4	85	0.1	125	1	90	0.7	100	1.1	0.9	19	 Miniatuur ²⁾
90 CV	V	—		zilver		50	0.05	20	1	100	3					
3530	—	G	rood	caesium op geoxideerd zilver	—	100	—	150	1	100	7.5 ³⁾	50	3.0	76	18	 Spec. 2p.

3533	—	G	rood	caesium op geoxideerd zilver	—	100	—	150	1	100	7.5 ³⁾	50	3.4	80	28	 A
3538	—	G	rood	caesium op geoxideerd zilver	—	100	—	150	1	100	7.5 ³⁾	50	2.5	73	23	 Spec. 2p.
3545	V	—	rood	caesium op geoxydeerd zilver	0.8	90	0.15	20	1	250	5	50	2	73 64 (PW)	16.5	 Spec. 2p.
3546	—	G	rood	caesium op geoxydeerd zilver	0.8	90	0.1	150	1	90	7.5	50	2	73 64 (PW)	16.5	 Pee-Wee
3554	—	G	rood	caesium op geoxydeerd zilver	4.5	90	0.1	150	1	90	7.5	50	3.4	103	30	 Tapered small 4p. ⁴⁾


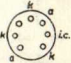
¹⁾ Gemeten met een wolframdraadlamp met een kleurtemperatuur van 2700 °K.

²⁾ Alle kathode aansluitingen moeten worden doorverbonden.

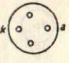

³⁾ Totale kathodestroom.



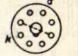
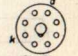
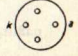
⁴⁾ Voor buishouder zie Medium 4p.

SPANNINGSREFERENTIEBUIZEN

Type	V_{burn} (V)	I_{rec} (mA)	$V_{\text{ign max.}}$ (V)	R_i max. (Ω)	$V_{\text{burn spreiding}}$ (V)	I_{contr} (mA)	ΔV_{burn} (V)	Afmetingen		Buisvoet- aansluitingen
								Totale hoogte max. (mm)	Diam. max. (mm)	
85 A1	85 ¹⁾	4	125	430	83—87 ¹⁾	1—8	2	80	32	 Loctal 8 p.
85 A2	85 ¹⁾	6	125	400	83—87 ¹⁾	1—10	3	54	19	 Miniatuur

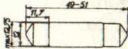
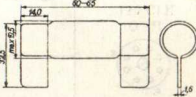


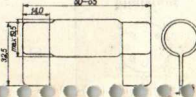
SPANNINGSSTABILISATORBUIZEN

100 E1	95	125	140	30	90—105	50—200	2	168	55,5	 A
150 A1	160	4	205	1140	150—170	1—8	4,5	72	27	 P

150 B2	150	10	180	500	143—157	5—15	3	54	19	 Miniatuur
150 C1	155	20	205	200	146—166	5—40	4	99 (P) 114 (K)	44 (P) 43 (K)	 P
4687	90	20	125	250	85—100	10—40	3	94 (P) 109 (K)	29 (P) 29 (K)	 Octal 150 CI K
7475	95	4	140	700	90—110	1—8	3	84	27	 Octal 4687 K
13201	100	100	140	90	90—110	15—200	12	154	54	 A


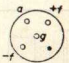

1) Verloop ($I_{\text{contr}} = I_{\text{rec}}$): max. 0.5% tijdens levensduur
max. 0.2% na de eerste 300 bedrijfsuren
max. 0.1% in korte periode (max. 100 uren) na de eerste 300 bedrijfsuren.
Temperatuurcoëff. van V_{burn} : $-3.2 \text{ mV}/^\circ\text{C}$ en $-2.7 \text{ mV}/^\circ\text{C}$ resp. van de 85 A1 en 85 A2.

OVERSPANNINGSVEILIGHEDEN

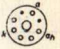
Type	Ontsteekspanning (V)	Doofspanning min. (V)	Max. toelaatbare belastingen								Netspanning		Afmetingen (mm)
			Continu		Tijdelijk		Smeltveiligheid in serie (A)	Capacitieve ontlading bij herhaling (Ws)	Inductieve ontlading bij herhaling		Gelijkspanning max. (V)	Effectieve wisselspanning max. (V)	
			I (A)	W (W)	I (A)	I (sec)			aantal	(Ws)			
4349	130—180	110	25	3	5	3	6	10	—	—	70	75	
4369	150—200	110	50	6	10	3	10	10	50000	10	70	75	
4370	80—120	60	50	6	10	3	10	10	200000 50000	10 25	36	50	
4371	150—200	110	25	3	5	3	6	10	—	—	70	75	
4372	280—350	250	25	3	2.5	1	10	10	—	—	200	180	

4373	150—200	110	50	6	10	3	10	10	—	—	70	75	
4378	80—120	60	50	6	10	3	10	10	200000 50000	10 25	36	50	
4379	280—350	130	50	6	10	3	10	10	50000	10	50	180	
4380	280—350	250	15	3	2.5	1	6	10	—	—	200	180	
4383	280—350	130	25	3	5	3	6	10	—	—	50	180	
4390	700—850	300	60	20	—	—	—	500	—	—	—	—	
4397	400—500	200	25	6	5	1	10	10	—	—	150	230	

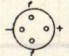
ELECTROMETERBUIZEN

Type	V_f (V)	I_f (mA)	V_a (V)	V_{g2} (V)	I_a (μ A)	V_{g1} (V)	S (μ A/V)	μ	I_{g2} (A)	I_{g1} (A)	Buisvoet- aansluitingen
4060 Triode	0.7	600	4	—	100	-2.5	28	0.7	—	10^{-14}	 H
4065 Triode	1.25	13	9	—	100	-2.5	80	1.7	—	$<12.5 \times 10^{-14}$	
4066 Tetrode	1.25	13	4.5	-3	10	>1	10	1	0.5×10^{-14}	25×10^{-5}	

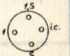
TRIGGERBUIS

Type	Karakteristieke gegevens	Grenswaarden		Afmetingen		Buisvoet-aansluitingen
		Spanningen	Stromen	Tot. hoogte max. (mm)	Diam. max. (mm)	
Z 300 T PL 1267 Triode	$V_{\text{oeff}} = 105-130 \text{ V}$ $V_{\text{ah p}} = 70 \text{ V}$ $V_{\text{ah p}} (\text{H.F.}) = 55 \text{ V}$ $V_{\text{a arc}} = 60 \text{ V}$ $V_{\text{ah arc}} = 70 \text{ V}$	$V_{\text{ap}} (V_{\text{ah}}=0\text{V}) = \text{max. } 225 \text{ V}$ $V_{\text{ap}} = \text{min. } 225 \text{ V}$ $V_{\text{arc}} (V_{\text{ah}}=0\text{V}) = \text{max. } 90 \text{ V}$ $V_{\text{ah ign}} = \text{min. } 70 \text{ V}$	$I_{\text{a}} = \text{max. } 25 \text{ mA}$ $I_{\text{ap}} = \text{max. } 100 \text{ mA}$ $I_{\text{ah}} (V_{\text{ah}}=140\text{V}) = \text{max. } 100 \mu\text{A}$	99	33	 Octal

THERMOKOPPELS

Type	I_f (mA)				R_f	R_E	Afmetingen		Buisvoet-aansluitingen
	EMK = ca. 12mV	Evenredigheids-grens ¹⁾	Max. continu	Max. gedurende 1 min.			Tot. hoogte max. (mm)	Diam. max. (mm)	
TH 1	10	5	15	20	75	5.5			 A
TH 2	20	10	30	40	23	3.0			
TH 3	40	20	75	100	7.3	3.0	63	24	
TH 4	100	50	150	200	2.2	3.0			
TH 5	200	100	300	350	1.1	3.0			

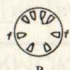


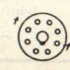
BIMETAAL RELAIS

Type	Karakteristieke gegevens	Max. stroom			Buisvoet-aansluitingen
		Net-spanning	Bij inschak.	Bij uitschak.	
4152	$I_f = 92 \text{ mA}$ $(\pm 13\%)$ $R_f = 340-372 \Omega$ Vertragingstijd = 80 sec $(I_f = 92 \text{ mA})$	220 V=	1.5 A	0.25 A	 A
		220 V~	1.5 A	0.25 A	
		380 V~	0.7 A	0.075 A	

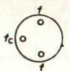
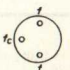
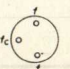
¹⁾ De uitslag van het meetinstrument is evenredig met het kwadraat van I_f (max afwijking $\pm 2\%$) tot de opgegeven waarde.

STROOMREGULATORBUIZEN

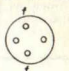
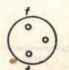
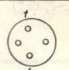
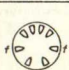
Algemene Toepassingen

Type	V_{contr} (V)	I_{reg} (mA)	Buisvoet- aansluitingen
C 8	80—200	200	 P
C 10	35—100	200	 P
C 12	f_1-f_2 : 80—200 $f_1-f_1 f_2$: 35—100	200	 P
U 30	70—122	100	 Octal

Industriële Toepassingen

Type	V_{contr} (V)	I_{reg} (A)	Buisvoet- aansluitingen
329	10-30	1.15	 H
340	3-10	5.9	Edison
452	7-20	1.15	 H
1012	6-18	5.7	Edison
1120	6-18	3.2	Edison
1331	15-40	1.45	 H

Speciale Toepassingen

Type	V_{contr} (V)	I_{reg} (mA)	Buisvoet- aansluitingen
1904	30—80	100	 A
1910	5—15	1400	 H
1941	80—200	300	 A
1945	80—120	275	 P

GERMANIUM DIODEN

Type	Toepassing	I_d min. (mA) $V_d = +1V$	$-I_d$ max. (μA)				I_d max. (mA)	I_{dP} max. (mA)	I_{surge} max. (mA)	V_{dinv} max. (V)	V_{dinvP} max. (V)	C_{dk} (pF)	t_{amb} (°C)	Afmetingen ⁴⁾ (mm)
			$V_d = -3V$	$V_d = -10V$	$V_d = -50V$	$V_d = -100V$								
OA 50	Algemene doeleinden	5	—	30	500	—	50	150	500	60 ¹⁾	75	1	-50 tot +75	
OA 51	Diode met hoge tegenweerstand	5	—	7	100	—	50	150	500	50 ¹⁾	75	1	-50 tot +75	
OA 53	100-Volt diode	4	—	—	—	600	50	150	500	100 ¹⁾	120	1	-50 tot +75	
OA 55	100-volt diode	4	5	—	—	500	50	150	500	100 ¹⁾	120	1	-50 tot +75	
OA 56	Algemene doeleinden	4	—	50	800	—	50	150	400	70 ¹⁾	85	1	-50 tot +75	
OA 60	Video detector	$\eta = 60\%$ en $R_{demping} = 3000 \Omega$ ³⁾					5	—	—	25 ²⁾	30	1	-50 tot +60	
OA 61	Niveau diode	2.5	—	—	100	—	5	15	500	85 ²⁾	100	1	-50 tot +60	

¹⁾ De max. waarden van spanning, stroom en temperatuur mogen niet tegelijk optreden. ²⁾ De max. waarden van spanning en temperatuur mogen niet tegelijk optreden. ³⁾ Diode in serie met parallelkring bestaande uit $R = 3900 \Omega$ en $C = 10 \text{ pF}$. Freq. = 30 MHz. Ingangsspanning = 5 V (piekwaarde). Capaciteit generator = 17 pF. temperatuur = 20 °C. ⁴⁾ Ter voorkoming van een overmatige verhitting van de diode tijdens het insolderen, moet het metalen verlengstuk met een koude tang worden vastgehouden.

De typenummers van de dioden worden aangeduid door een kleurencode (twee ringetjes).

Kleur	zilver	goud	zwart	bruin	rood	oranje	geel	groen	blauw	paars	grijs	wit	geen
Eerste ring	—	—	—	1	2	3	4	5	6	7	8	9	—
Eerste kleur	—	—	—	1	2	3	4	5	6	7	8	9	—
Tweede ring	—	—	0	1	2	3	4	5	6	7	8	9	—
Tweede kleur	—	—	0	1	2	3	4	5	6	7	8	9	—

De eerste ring is degene die het dichtst bij een van de uiteinden is aangebracht.

BEELDFORMERS

172

Type	Uitvoeringen ¹⁾	Fotokathode	Schermscherm	N ²⁾ ($\mu\text{A/lm}$)	Spanningen						Lineaire ver-groting	Oplos-sen-dig-heid van scherm (lijnen/cm)	Afmetingen	
		eff. diam. (mm)	diam. (mm)		V_a (kV)	V_g (kV)	$-V_g$ ³⁾ (V)	V_a max. (kV)	V_g max. (kV)	V_{ag} max. (kV)			Tot. lengte max. (mm)	Diam. max. (mm)
18120 Diode	AA AB AG	30	115	20	6	—	—	6	—	—	3—7	200	240	117
	CA CB CG			15										
18121 Diode	AA AB AG	28	28	20	5	—	—	6	—	—	1	200—500	97	65
	CA CB CG			15										
18130 Triode	AA AB AG	25	115	20	6	3	20	6	6	6.1 ⁴⁾ 5 ⁵⁾	2.5-3.5	200	240	117

¹⁾ De eerste letter geeft het type fotokathode aan:

A = caesium op antimoon, blauw gevoelig.

C = caesium op geoxideerd zilver, rood gevoelig.

De tweede letter geeft de kleur van het luminescerende scherm aan:

A = blauw, zeer korte nalichttijd.

B = blauw, korte nalichttijd.

G = groen, middelmatige nalichttijd.

²⁾ Bij een kleurtemperatuur van 2700 °K.

³⁾ Afknijpspanning.

⁴⁾ Bij uitdovend beeld.

⁵⁾ Bij belichting.

CEBIVINION DIODEN

BEELDICONOSCOOP

Type	V_f (V)	I_f (A)	Aftastsysteem	Beeldsysteem	Instelgegevens
5854	6.3	0.63	Focussering: magn. Afbuiging: magn. Afknijpsp.: —30 tot —70 V	Fotokath.: 12×16 mm Trefplaat: 45×60 mm Focussering: magn.	Spanning van anode, collector en trefplaat 1000 V Spanning van fotokathode 0 V Stroom van aftastbundel 0.2—0.3 μ A Stroom bundelfocussering 14 mA Stroom beeldspool 20 mA Signaalplaat weerstand 0.1 M Ω

STRALINGSTELBUIZEN

Type	Omschrijving	Stralings- gevoeligheid	Venster- dikte (mg/cm ²)	Start- spanning (V)	Bedrijfs- spanning (V)	Plateau- lengte min. (V)	Plateau- helling (% per 100 V)	Onwerk- zame tijd (μ sec)	Achter- grond (imp/min)	Afmetingen	
										Tot. lengte max. (mm)	Diam. max. (mm)
18500	Niet zelfdovend	Röntgen γ en neutron	250	900	1100	500	< 2	< 100	< 20	130	17
18501	Niet zelfdovend	β	75	900	1100	500	< 2	< 100	< 20	130	17
15502	Zelfdovend	γ en β	75	max. 300	350	100	< 15	< 150	< 40	118	19
18513	Zelfdovend Mica venster	α , β	1.6-2.1	575	725	150	< 15	< 70	< 6 ¹⁾	86	12.8
18514	Zelfdovend Mica venster	α , β	3.5-4	650	750	200	< 15	< 250	< 40 ¹⁾	99	33.5

¹⁾ Afgeschermd.

MAGNETRONS

Type	Uitwisselbaar met type	Golf-lengte band (cm)	Frequentie (MHz)	Afgegeven piek vermogen min. (kW)
55030	4J50	3	9345-9405	225
55032	4J78		9003-9168	225
55035	2J42		9345-9405	7
55040	725 A		9345-9405	40
55085-01	CV 1483	8.5	3570-3614	360
55085-02	CV 1484		3530-3570	
55085-03	CV 1485		3490-3530	
55085-04	CV 1486		3450-3490	
55100-01	CV 1479	10	3030-3060	400
55100-02	CV 1480		3005-3030	
55100-03	CV 1481		2980-3005	
55100-04	CV 1482		2940-2980	
55230 Afstembaar	5J26	25	1220-1350	500

KLYSTRONS

Type	Uitwisselbaar met type	Golf-lengte band (cm)	Frequentie (MHz)	Afgegeven vermogen (W)
55390 Afstembaar reflex klystron	2K25 723 A/B	3	8500-9660	0.02
55395 Afstembaar; dubbele trillholte; watergekoeld	—	3	8575-10000	125

HOOGVACUUM DIODE

Type	Uitwisselbaar met type	V_f (V)	I_f (A)	T_h (sec)	Toepassing	Karakteristieke gegevens
56000	8020	5	6	5	Gelijk-richter	$V_{\text{anvp}} = \text{max. } 40 \text{ kV}$ $I_o = \text{max. } 100 \text{ mA}$ $I_{\text{ap}} = \text{max. } 750 \text{ mA}$
					Begrenzer	$V_f = 5.5 \text{ V}$ $V_{\text{ap}} = 10 \text{ kV}$ $I_{\text{ap}} = \text{min. } 2 \text{ A}$

TR EN ATR SCHAKELAARS

Type	Uitwisselbaar met type	Toepassing	Frequentie (MHz)
56030	1B35A	ATR	9000-9600
56031	1B24A	TR	8490-9600
56085	CV 106 ¹⁾	TR/ATR	3450-3614
56100	CV 193 ¹⁾	TR/ATR	2940-3060

¹⁾ Zonder uitwendige trillholte.

BUISHOUDERS

In de tabellen is in de kolom „Buisvoetaansluitingen“ het type buisvoet van de betreffende buis opgegeven. De bijbehorende buishouder kan men vinden met behulp van onderstaande tabel, waarbij in sommige gevallen een keuze uit verschillende typen gemaakt kan worden, afhankelijk van de toepassing van de buis. De tussen haakjes geplaatste typenummers geven de Engelse aanduiding van de buisvoet aan.

Buisvoet		Buishouder			
		Type-nummer	Aantal contacten	Isolatie materiaal	Opmerkingen
A		40465	5	Philite/hardpap.	
Diheptal	(B 14A)	5914/20	14	Philite	
Duodecal	(B 12A)				
	5p.	5912/01	5	Hardpapier	
	5p.	5912/23	5	Philite	segment-vorm
	7p.	5912/22	7	Philite	
	12p.	5912/20	12	Philite	
Edison		E3 000 22	—	Philite	met schroefhuls E 27
Fj		28 226 01	9	Hardpapier	
Giant	(B 5F)	40211/01	5	Kersima	
Goliath		65909 BG/01	—	Porselein	met schroefhuls E 40
H		40465	5	Philite	
Jumbo	(B 4F)	40408	4	Kersima	voor bajonet
Loctal	8p. (B 8G)	40213	8	Kersima	
	9p. (B 9G)	40212	9	Kersima	
	9p.	5906/20	9	Philite	
Magnal	(B 11A)	5911/20	11	Philite	
Medium	4p.	40218/03	4	Kersima	
	5p.	40219	5	Kersima	
	7p.	40220	7	Kersima	
Mignon		88168/01	—	Philite	met schroefhuls E 14
Miniatuur	(B 7C)	5909/01	7	Hardpapier	
		5909/02	7	Philite	
		5909/12	7	H.F. Philite	
		5909/20	7	= 5909/12	met voet voor afschermbus
		5909/35	7	= 5909/36	met voet voor afschermbus
		5909/36	7	Kersima	
Noval	(B 9A)	5908/01	9	Hardpapier	
		5908/03	9	Kersima	
		5908/30	9	= 5908/03	met voet voor afschermbus
		5908/31	8	Kersima	kelkveren; zonder 8e contact en middenbus; voor hoge spanning
		5908/34	8	= 5908/31	met vorkveren
		5908/35	9	= 5908/36	met voet voor afschermbus
		5908/36	9	Kersima	
Octal		5903/12	8	Philite	
O		40465	5	Philite/hardpap.	
P		5900/02	8	Philite	zijcontacten
Pee-Wee	(B 3A)	40406	3	Philite	
Rimlock	(B 8A)	5904/01	8	Hardpapier	
		5904/02	8	Philite	
		5904/03	8	Kersima	met schraapveren
		5904/36	8	= 5904/03	met vorkveren
Septar	(B 7A)	40202	7	Kersima	
Speciaal		40407	2	Hardpapier	
	2p. (1)	1285	3	Micalex	
	3p. (2)	1287	3	Hardpapier	
	4p. (1)	B1 506 11	4	Hardpapier	
	4p. (2)	40400	4	Hardpapier	
	4p. (3)	40302	4	Kersima	
	12p. (B 12D)	23 661 62	12	Philite	zijcontacten
Subminiatuur	(B 8D)	5907/22	8	Philite	
Super Giant		40216	5	Kersima	
Suber Jumbo	(B 4D)	40403	4	Kersima	
V		40405/00	5	Philite	zijcontacten
		5900/20	5	= 40405/00	ring-vorm, zonder montagegaten
W		40221	4	Hardpapier	
Y		23 661 92	8	Philite	

BUSHOLDERS

The following is a list of the names of the persons who have been elected to the office of Bushholder for the year 1900. The names are given in alphabetical order of the surnames. The names of the persons who have been elected to the office of Bushholder for the year 1900 are given in alphabetical order of the surnames.

Rank	Name	Address	Age	Occupation
1	John A. Bush	123 Main St.	35	Farmer
2	James B. Smith	456 Oak St.	42	Merchant
3	William C. Johnson	789 Pine St.	28	Teacher
4	Robert D. Brown	101 Elm St.	50	Physician
5	Charles E. White	234 Maple St.	38	Lawyer
6	Thomas F. Green	567 Cedar St.	45	Blacksmith
7	George H. Black	890 Birch St.	30	Farmer
8	Henry I. Gray	112 Spruce St.	55	Merchant
9	John K. Lee	145 Willow St.	40	Teacher
10	James L. Hall	178 Ash St.	32	Physician
11	William M. King	211 Hickory St.	48	Lawyer
12	Robert N. Scott	244 Walnut St.	35	Blacksmith
13	Charles O. Adams	277 Chestnut St.	28	Farmer
14	Thomas P. Baker	310 Mulberry St.	52	Merchant
15	George Q. Carter	343 Peach St.	38	Teacher
16	Henry R. Evans	376 Plum St.	45	Physician
17	John S. Fisher	409 Cherry St.	30	Lawyer
18	James T. Gibson	442 Orange St.	58	Blacksmith
19	William U. Hart	475 Pear St.	32	Farmer
20	Robert V. Jones	508 Apple St.	48	Merchant
21	Charles W. King	541 Banana St.	35	Teacher
22	Thomas Y. Lee	574 Cantaloupe St.	50	Physician
23	George Z. Miller	607 Dragonfruit St.	38	Lawyer
24	Henry A. Nelson	640 Fig St.	45	Blacksmith
25	John B. Oliver	673 Grapefruit St.	30	Farmer
26	James C. Parker	706 Honeydew St.	55	Merchant
27	William D. Quinn	739 Jackfruit St.	38	Teacher
28	Robert E. Ross	772 Kiwi St.	45	Physician
29	Charles F. Sullivan	805 Lemon St.	30	Lawyer
30	Thomas G. Taylor	838 Mango St.	58	Blacksmith
31	George H. Vance	871 Nectarine St.	32	Farmer
32	Henry I. Warren	904 Olive St.	48	Merchant
33	John J. Wright	937 Papaya St.	35	Teacher
34	James K. Young	970 Raspberry St.	50	Physician
35	William L. Zachary	1003 Strawberry St.	38	Lawyer
36	Robert M. Adams	1036 Tangerine St.	45	Blacksmith
37	Charles N. Baker	1069 Ugli Fruit St.	30	Farmer
38	Thomas O. Carter	1102 Vanilla St.	55	Merchant
39	George P. Evans	1135 Watermelon St.	38	Teacher
40	Henry Q. Fisher	1168 Xigua St.	45	Physician
41	John R. Gibson	1201 Yuzu St.	30	Lawyer
42	James S. Hart	1234 Zucchini St.	58	Blacksmith
43	William T. Jones	1267 Acorn St.	32	Farmer
44	Robert U. King	1300 Broomcorn St.	48	Merchant
45	Charles V. Lee	1333 Canna St.	35	Teacher
46	Thomas W. Miller	1366 Dandelion St.	50	Physician
47	George X. Nelson	1400 Eggplant St.	38	Lawyer
48	Henry Y. Oliver	1434 Fennel St.	45	Blacksmith
49	John Z. Parker	1468 Garlic St.	30	Farmer
50	James A. Quinn	1502 Horseradish St.	55	Merchant
51	William B. Ross	1536 Kale St.	38	Teacher
52	Robert C. Sullivan	1570 Lettuce St.	45	Physician
53	Charles D. Taylor	1604 Melon St.	30	Lawyer
54	Thomas E. Vance	1638 Mustard St.	58	Blacksmith
55	George F. Warren	1672 Onion St.	32	Farmer
56	Henry G. Wright	1706 Parsnip St.	48	Merchant
57	John H. Young	1740 Radish St.	35	Teacher
58	James I. Zachary	1774 Spinach St.	50	Physician
59	William J. Adams	1808 Turnip St.	38	Lawyer
60	Robert K. Baker	1842 Watercress St.	45	Blacksmith
61	Charles L. Carter	1876 Yarrow St.	30	Farmer
62	Thomas M. Evans	1910 Zucchini St.	55	Merchant
63	George N. Fisher	1944 Acorn St.	38	Teacher
64	Henry O. Gibson	1978 Broomcorn St.	45	Physician
65	John P. Hart	2012 Canna St.	30	Lawyer
66	James Q. Jones	2046 Dandelion St.	58	Blacksmith
67	William R. King	2080 Eggplant St.	32	Farmer
68	Robert S. Lee	2114 Fennel St.	48	Merchant
69	Charles T. Miller	2148 Garlic St.	35	Teacher
70	Thomas U. Nelson	2182 Horseradish St.	50	Physician
71	George V. Oliver	2216 Kale St.	38	Lawyer
72	Henry W. Parker	2250 Lettuce St.	45	Blacksmith
73	John X. Quinn	2284 Melon St.	30	Farmer
74	James Y. Ross	2318 Mustard St.	55	Merchant
75	William Z. Sullivan	2352 Onion St.	38	Teacher
76	Robert A. Taylor	2386 Parsnip St.	45	Physician
77	Charles B. Vance	2420 Radish St.	30	Lawyer
78	Thomas C. Warren	2454 Spinach St.	58	Blacksmith
79	George D. Wright	2488 Turnip St.	32	Farmer
80	Henry E. Young	2522 Watercress St.	48	Merchant
81	John F. Zachary	2556 Yarrow St.	35	Teacher
82	James G. Adams	2590 Zucchini St.	50	Physician
83	William H. Baker	2624 Acorn St.	38	Lawyer
84	Robert I. Carter	2658 Broomcorn St.	45	Blacksmith
85	Charles J. Evans	2692 Canna St.	30	Farmer
86	Thomas K. Fisher	2726 Dandelion St.	55	Merchant
87	George L. Gibson	2760 Eggplant St.	38	Teacher
88	Henry M. Hart	2794 Fennel St.	45	Physician
89	John N. Jones	2828 Garlic St.	30	Lawyer
90	James O. King	2862 Horseradish St.	58	Blacksmith
91	William P. Lee	2896 Kale St.	32	Farmer
92	Robert Q. Miller	2930 Lettuce St.	48	Merchant
93	Charles R. Nelson	2964 Melon St.	35	Teacher
94	Thomas S. Oliver	2998 Mustard St.	50	Physician
95	George T. Parker	3032 Onion St.	38	Lawyer
96	Henry U. Quinn	3066 Parsnip St.	45	Blacksmith
97	John V. Ross	3100 Radish St.	30	Farmer
98	James W. Sullivan	3134 Spinach St.	55	Merchant
99	William X. Taylor	3168 Turnip St.	38	Teacher
100	Robert Y. Vance	3202 Watercress St.	45	Physician
101	Charles Z. Warren	3236 Yarrow St.	30	Lawyer
102	Thomas A. Wright	3270 Zucchini St.	58	Blacksmith
103	George B. Adams	3304 Acorn St.	32	Farmer
104	Henry C. Baker	3338 Broomcorn St.	48	Merchant
105	John D. Carter	3372 Canna St.	35	Teacher
106	James E. Evans	3406 Dandelion St.	50	Physician
107	William F. Fisher	3440 Eggplant St.	38	Lawyer
108	Robert G. Gibson	3474 Fennel St.	45	Blacksmith
109	Charles H. Hart	3508 Garlic St.	30	Farmer
110	Thomas I. Jones	3542 Horseradish St.	55	Merchant
111	George J. King	3576 Kale St.	38	Teacher
112	Henry K. Lee	3610 Lettuce St.	45	Physician
113	John L. Miller	3644 Melon St.	30	Lawyer
114	James M. Nelson	3678 Mustard St.	58	Blacksmith
115	William N. Oliver	3712 Onion St.	32	Farmer
116	Robert O. Parker	3746 Parsnip St.	48	Merchant
117	Charles P. Quinn	3780 Radish St.	35	Teacher
118	Thomas Q. Ross	3814 Spinach St.	50	Physician
119	George R. Sullivan	3848 Turnip St.	38	Lawyer
120	Henry S. Taylor	3882 Watercress St.	45	Blacksmith
121	John T. Vance	3916 Yarrow St.	30	Farmer
122	James U. Warren	3950 Zucchini St.	55	Merchant
123	William V. Wright	3984 Acorn St.	38	Teacher
124	Robert W. Adams	4018 Broomcorn St.	45	Physician
125	Charles X. Baker	4052 Canna St.	30	Lawyer
126	Thomas Y. Carter	4086 Dandelion St.	58	Blacksmith
127	George Z. Evans	4120 Eggplant St.	32	Farmer
128	Henry A. Fisher	4154 Fennel St.	48	Merchant
129	John B. Gibson	4188 Garlic St.	35	Teacher
130	James C. Hart	4222 Horseradish St.	50	Physician
131	William D. Jones	4256 Kale St.	38	Lawyer
132	Robert E. King	4290 Lettuce St.	45	Blacksmith
133	Charles F. Lee	4324 Melon St.	30	Farmer
134	Thomas G. Miller	4358 Mustard St.	55	Merchant
135	George H. Nelson	4392 Onion St.	38	Teacher
136	Henry I. Oliver	4426 Parsnip St.	45	Physician
137	John J. Parker	4460 Radish St.	30	Lawyer
138	James K. Quinn	4494 Spinach St.	58	Blacksmith
139	William L. Ross	4528 Turnip St.	32	Farmer
140	Robert M. Sullivan	4562 Watercress St.	48	Merchant
141	Charles N. Taylor	4596 Yarrow St.	35	Teacher
142	Thomas O. Vance	4630 Zucchini St.	50	Physician
143	George P. Warren	4664 Acorn St.	38	Lawyer
144	Henry Q. Wright	4698 Broomcorn St.	45	Blacksmith
145	John R. Adams	4732 Canna St.	30	Farmer
146	James S. Baker	4766 Dandelion St.	55	Merchant
147	William T. Carter	4800 Eggplant St.	38	Teacher
148	Robert U. Evans	4834 Fennel St.	45	Physician
149	Charles V. Fisher	4868 Garlic St.	30	Lawyer
150	Thomas W. Gibson	4902 Horseradish St.	58	Blacksmith
151	George X. Hart	4936 Kale St.	32	Farmer
152	Henry Y. Jones	4970 Lettuce St.	48	Merchant
153	John Z. King	5004 Melon St.	35	Teacher
154	James A. Lee	5038 Mustard St.	50	Physician
155	William B. Miller	5072 Onion St.	38	Lawyer
156	Robert C. Nelson	5106 Parsnip St.	45	Blacksmith
157	Charles D. Oliver	5140 Radish St.	30	Farmer
158	Thomas E. Parker	5174 Spinach St.	55	Merchant
159	George F. Quinn	5208 Turnip St.	38	Teacher
160	Henry G. Ross	5242 Watercress St.	45	Physician
161	John H. Sullivan	5276 Yarrow St.	30	Lawyer
162	James I. Taylor	5310 Zucchini St.	58	Blacksmith
163	William J. Vance	5344 Acorn St.	32	Farmer
164	Robert K. Warren	5378 Broomcorn St.	48	Merchant
165	Charles L. Wright	5412 Canna St.	35	Teacher
166	Thomas M. Adams	5446 Dandelion St.	50	Physician
167	George N. Baker	5480 Eggplant St.	38	Lawyer
168	Henry O. Carter	5514 Fennel St.	45	Blacksmith
169	John P. Evans	5548 Garlic St.	30	Farmer
170	James Q. Fisher	5582 Horseradish St.	55	Merchant
171	William R. Gibson	5616 Kale St.	38	Teacher
172	Robert S. Hart	5650 Lettuce St.	45	Physician
173	Charles T. Jones	5684 Melon St.	30	Lawyer
174	Thomas U. King	5718 Mustard St.	58	Blacksmith
175	George V. Lee	5752 Onion St.	32	Farmer
176	Henry W. Miller	5786 Parsnip St.	48	Merchant
177	John X. Nelson	5820 Radish St.	35	Teacher
178	James Y. Oliver	5854 Spinach St.	50	Physician
179	William Z. Parker	5888 Turnip St.	38	Lawyer
180	Robert A. Quinn	5922 Watercress St.	45	Blacksmith
181	Charles B. Ross	5956 Yarrow St.	30	Farmer
182	Thomas C. Sullivan	5990 Zucchini St.	55	Merchant
183	George D. Taylor	6024 Acorn St.	38	Teacher
184	Henry E. Vance	6058 Broomcorn St.	45	Physician
185	John F. Warren	6092 Canna St.	30	Lawyer
186	James G. Wright	6126 Dandelion St.	58	Blacksmith
187	William H. Adams	6160 Eggplant St.	32	Farmer
188	Robert I. Baker	6194 Fennel St.	48	Merchant
189	Charles J. Carter	6228 Garlic St.	35	Teacher
190	Thomas K. Evans	6262 Horseradish St.	50	Physician
191	George L. Fisher	6296 Kale St.	38	Lawyer
192	Henry M. Gibson	6330 Lettuce St.	45	Blacksmith
193	John N. Hart	6364 Melon St.	30	Farmer
194	James O. Jones	6398 Mustard St.	55	Merchant
195	William P. King	6432 Onion St.	38	Teacher
196	Robert Q. Lee	6466 Parsnip St.	45	Physician
197	Charles R. Miller	6500 Radish St.	30	Lawyer
198	Thomas S. Nelson	6534 Spinach St.	58	Blacksmith
199	George T. Oliver	6568 Turnip St.	32	Farmer
200	Henry U. Parker	6602 Watercress St.	48	Merchant

1. Inleiding

2. Beschrijving

3.1.1. Type

3.1.2. Type

3.1.3. Type

3.1.4. Type

3.1.5. Type

3.1.6. Type

3.1.7. Type

3.1.8. Type

3.1.9. Type

3.1.10. Type

3.1.11. Type

3.1.12. Type

EQUIVALENTE BUISTYPEN VAN AMERIKAANSE ONTVANG-, VERSTERK- EN GELIJKRICHTBUIZEN

3.1.13. Type

3.1.14. Type

3.1.15. Type

3.1.16. Type

3.1.17. Type

3.1.18. Type

3.1.19. Type

3.1.20. Type

3.1.21. Type

3.1.22. Type

3.1.23. Type

3.1.24. Type

3.1.25. Type

3.1.26. Type

3.1.27. Type

3.1.28. Type

3.1.29. Type

3.1.30. Type

3.1.31. Type

3.1.32. Type

3.1.33. Type

3.1.34. Type

3.1.35. Type

3.1.36. Type

3.1.37. Type

3.1.38. Type

3.1.39. Type

3.1.40. Type

3.1.41. Type

3.1.42. Type

3.1.43. Type

3.1.44. Type

TOELICHTING BIJ DE TABELLEN

Type aanduiding

Toepassing

Eerste letter	Tweede en volgende letters	
	Gloeispanning of Gloei-stroom	Buistype
A	4 V	A Diode
C	200 mA	B Dubbele Diode
D	≤1.4 V batterij	C Triode
E	6.3 V	D Eindtriode
G	5 V	E Tetrode
H	150 mA	F Penthode
K	2 V batterij	H Hexode of Heptode
M	2.5 V	K Octode of Heptode
P	300 mA	L Eindpenthode of Eindtetrode
U	100 mA	M Afstemindicator
		Q Enneode
		X Gasgevulde dubbelfazige gelijkrichter
		Y Hoog vacuüm enkelfazige gelijkrichter
		Z Hoog vacuüm dubbelfazige gelijkrichter

Aan- duiding	Toepassing
1	Oscillator mengbuis
2	H.F. en M.F. versterker
3	Breedbandversterker
4	L.F. versterker
5	Eindbuis
6	Video-eindbuis
7	Eindtuis voor verticale afbuiging
8	Eindbuis voor horizontale afbuiging
9	A.M. detector
10	F.M. detector
11	Oscillator
12	Zaagtandgenerator
13	Sync. separeerbuis
14	Gelijkrichtbuis
15	Spaardiode (booster)
16	Afstemindicator
17	Stroomregulatorbuis
18	Spanningsstabilisatorbuis
19	U.H.F. triode

Equivalent type

De tussen haakjes geplaatste typenummers zijn nagenoeg equivalent. Deze buizen hebben dezelfde voet, maar kunnen verschillende aansluitingen hebben of kleine afwijkingen van de karakteristieken vertonen.

Aanbevolen type

Voor de gangbare Amerikaanse buizen is een aanbevolen type vermeld. Dit kan belangrijk zijn voor toepassingen in nieuw te ontwerpen apparaat.

EQUIVALENTE BUISTYPEN VAN AMERIKAANSE ONTVANG-
VERSTERK- EN GELIJKRICHTBUIZEN ¹⁾

Amerikaans type	Europ. type aanduiding	Buisvoet	Toe- passing	Equivalent	Aanbevolen type
00	C	4 pennen glas	4, 9	—	—
00-A	C	4 pennen glas	4, 9	—	—
01	C	4 pennen glas	4, 9	—	—
01-A	C	4 pennen glas	4, 9	—	—
01-B	AC	4 pennen glas	9	—	—
0 38	—	4 pennen glas	17	—	—
0A2	—	miniatuur	18	—	—
0A3	—	octal	18	—	—
0B2	—	miniatuur	18	—	—
0C3	—	octal	18	(4687K)	4687K
0D 3	—	octal	18	(150C1K)	150C1K
0Z3	X	5 pennen glas	14	—	—
0Z4	X	octal	14	(EZ 35)	—
0Z4A	X	octal	14	(EZ 35)	—
0Z4G	X	octal	14	(EZ 35)	—
1	EY	4 pennen glas	14	—	—
1-1	—	4 pennen glas	17	—	—
1A1	—	4 pennen glas	17	—	—
1A2	—	4 pennen glas	17	—	—
1A3	DA	miniatuur	9, 10	DA 90	—
1A4P	KF	4 pennen glas	2	—	—
1A4T	KE	4 pennen glas	2	—	—
1A5	—	4 pennen glas	17	—	—
1A5G/GT	DL	octal	5	(DL 21)	DL 92; DL 94
1A6	KK	6 pennen metaal	1	—	—
1A7G/GT	DK	octal	1	—	DK 91; DK 92
1AB5	DF	octal	2	—	—
1AC5	DL	subminiatuur	5	—	—
1AC6	DK	miniatuur	1	DK 92	DK 92
1AD4	DF	subminiatuur	2	—	—
1AD5	DF	subminiatuur	2	—	—
1AE4	DF	miniatuur	2	—	—
1AE5	DK	subminiatuur	1	—	—
1AH5	DAF	miniatuur	4, 9	DAF 96	DAF 96
1AX2	DY	noval	14	—	—
1B1	—	4 pennen glas	17	—	—
1B2	—	4 pennen glas	17	—	—
1B3GT	DY	octal	14	—	—
1B4P	KF	4 pennen glas	2	—	—
1B4T	KE	4 pennen glas	2	—	—

¹⁾ Zie bladz. 178

Amerikaans type	Europ. type aanduiding	Buisvoet	Toe-passing	Equivalent	Aanbevolen type
1B5/25S	KBC	6 pennen glas	4, 9	—	—
1B6	DF	miniatuur	2	(DF 91)	DF 91; DF 96
1B7G/GT	DK	octal	1	—	—
1B8GT	DACL	octal	4, 5, 9	—	—
1C1	—	4 pennen glas	17	—	—
1C2	—	4 pennen glas	17	—	—
1C3	DC	miniatuur	4,9	—	—
1C4	KF	octal	2	—	—
1C5G/GT	DL	octal	5	—	—
1C6	KK	6 pennen glas	1	—	—
1C7G	KK	octal	1	—	—
1C8	DK	subminiatuur	1	—	—
1D1	—	4 pennen glas	17	—	—
1D2	—	6 pennen glas	17	—	—
1D3	DC	subminiatuur	19	—	—
1D4G/GT	KL	5 pennen glas	5	—	—
1D5GP	KF	octal	2	—	—
1D5GT	KE	octal	2	—	—
1D7G	KK	octal	1	—	—
1D8GT	DACL	octal	4, 5, 9	—	—
1E1	—	4 pennen glas	17	—	—
1E2	—	6 pennen glas	17	—	—
1E3	DC	noval	19	DC 80	DC 80
1E4G	DC	octal	4, 9	—	—
1E5GP	KF	octal	2	—	—
1E7G/GT	KLL	octal	5	—	—
1E8	DK	subminiatuur	1	—	—
1F4	KL	5 pennen glas	5	—	—
1F5G	KL	octal	5	—	—
1F6	KBF	6 pennen glas	2, 4, 9	—	—
1F7GV	KBF	octal	2, 4, 9	—	—
1G1	—	4 pennen glas	17	—	—
1G4G/GT	DC	octal	4, 9	—	—
1G5G	KL	octal	5	—	—
1G6G/GT	DDD	octal	5	—	—
1H3	DA	miniatuur	9	—	—
1H4G	KC	octal	4, 9	—	—
1H5G/GT	DAC	octal	4, 9	—	DAF91; DAF96
1H6G	KBC	octal	4, 9	—	—
1J1	—	4 pennen glas	17	—	—
1J5G	KL	octal	5	—	—
1J6G/GT	KDD	octal	5	—	—
1K1	—	4 pennen glas	17	—	—
1K4	KF	4 pennen glas	2	—	—
1K5	KF	octal	2	—	—

Amerikaans type	Europ. type aanduiding	Buisvoet	Toe-passing	Equivalent	Aanbevolen type
IK7G	KBF	octal	2, 4, 9	—	—
IL4	DF	miniatuur	2	DF 92	—
IL5G	KL	octal	5	—	—
IL6	DK	miniatuur	1	—	DK 91; DK 92
ILA4	DL	loctal	5	—	DL 92; DL 94
ILA6	DK	loctal	1	—	DK 91; DK 92
ILB4	DL	loctal	5	—	DL 92; DL 94
ILC5	DF	loctal	2	—	DF 91; DF 96
ILC6	DK	loctal	1	—	DK 91; DK 92
ILD5	DAF	loctal	4, 9	—	DAF91; DAF96
ILE3	DC	loctal	4, 9	—	—
ILF3	DC	loctal	4, 9	—	—
ILG5	DF	loctal	2	—	DF 91; DF 96
ILH4	DAC	loctal	4, 9	—	DAF91; DAF96
ILN5	DF	loctal	2, 4	—	DF 91; DF 96
IM3	DM	subminiatuur	16	DM 70	DM 70
IM5G	KF	octal	2	—	—
IN5G/GT	DF	octal	2, 4	—	DF 91; DF 96
IN6G	DAL	octal	5, 9	—	—
IP5G/GT	DF	octal	2, 4	—	DF 91; DF 96
IQ5G/GT	DL	octal	5	—	DL 92; DL 94
IQ6	DAF	subminiatuur	4, 9	—	—
IR4	DA	loctal	9	—	—
IR5	DK	miniatuur	1	DK 91	DK 92
IS4	DL	miniatuur	5	DL 91	DL 92; DL 94
IS5	DAF	miniatuur	4, 9	DAF 91	DAF91; DAF96
IS6	DAF	subminiatuur	4, 9	—	—
ISA6GT	DF	octal	2	—	—
ISB6GT	DAF	octal	4, 9	—	—
IT4	DF	miniatuur	2	DF 91	DF 91; DF 96
IT5GT	DL	octal	5	—	—
IT6	DAF	subminiatuur	4, 9	—	—
IU4	DF	miniatuur	2, 4	(DF 92)	DF 91; DF 96
IU5	DAF	miniatuur	4, 9	(DAF 91)	DAF91; DAF96
IV	EY	4 pennen glas	14	—	—
IV2	PY	noval	14	—	—
IV5	DL	subminiatuur	5	(DL 72)	—
IV6	DCF	subminiatuur	1	—	—
IW4	DL	miniatuur	5	—	—
IW5	DF	subminiatuur	2	—	—
IX2; IX2A	DY	noval	14	—	—
IZ2	DY	miniatuur	14	—	—
2	—	4 pennen glas	17	—	—
2A3; 2A3H	MD	4 pennen glas	5	—	—
2A5	ML	6 pennen glas	5	—	—

Amerikaans type	Europ. type aanduiding	Buisvoet	Toe-passing	Equivalent	Aanbevolen type
2A6	MBC	6 pennen glas	4, 9	—	—
2A7; 2A7S	MK	7 pennen glas	1	—	—
2B5	MCD	6 pennen glas	4, 5	—	—
2B6	MCD	7 pennen glas	4, 5	—	—
2B7; 2B7S	MBF	7 pennen glas	2, 9	—	—
2B24	DA	subminiatur	9	—	—
2B25	DY	miniatur	14	—	—
2B35	EA	speciaal	9	EA50	—
2C21	ECC	7 pennen metaal	4	—	—
2C22	EC	octal	2, 4	—	—
2C50	ECC	octal	4, 12	—	E80CC
2C51	ECC	noval	1	—	—
2C52	PCC	octal	4, 12	—	—
2C53	EC	octal	4	—	—
2E5	MM	6 pennen glas	16	—	—
2E30	EL	miniatur	5	—	—
2E31	DF	subminiatur	2, 4	—	—
2E32	DF	subminiatur	2, 4	—	—
2E35	DL	subminiatur	5	—	DL 67
2E36	DL	subminiatur	5	—	DL 67
2E41	DAF	subminiatur	4, 9	—	—
2E42	DAF	subminiatur	4, 9	—	—
2F7	MCF	7 pennen glas	2, 4	—	—
2G5	MM	6 pennen glas	16	—	—
2G21	DCH	subminiatur	1	—	—
2G22	DCH	subminiatur	1	—	—
2V3G	MY	octal	14	—	—
2W3; 2W3GT	MY	octal	14	—	—
2X2A/879	MY	4 pennen glas	14	—	1875
2X3G	MY	octal	14	—	—
2Y2	MY	4 pennen glas	14	—	—
2Z2/G84	MY	4 pennen glas	14	—	—
3-1	—	4 pennen glas	17	—	—
3-40	—	4 pennen glas	17	—	—
3-150	—	4 pennen glas	17	—	—
3-220	—	4 pennen glas	17	—	—
3A4	DL	miniatur	5	DL 93	—
3A5	DCC	miniatur	5	DCC 90	—
3A8GT	DACF	octal	2, 4, 5	—	—
3B4	DL	miniatur	5, 11	—	—
3B5GT	DL	octal	5	(DL 92)	DL 94
3B7	DCC	loctal	4, 11	—	—
3C5GT	DL	octal	5	—	—
3C6	DCC	loctal	4	—	—
3D6	DL	loctal	5	—	—

Amerikaans type	Europ. type aanduiding	Buisvoet	Toe-passing	Equivalent	Aanbevolen type
3E6	DF	loctal	2, 4	—	—
3E22	ELL	octal	5	—	—
3H1	—	4 pennen glas	17	—	—
3H220	—	4 pennen glas	17	—	—
3LE4GT	DL	loctal	5	—	—
3LF4	DL	loctal	5	—	—
3Q4	DL	miniatuur	5	DL 95	DL 94
3Q5G:GT	DL	octal	5	—	DL 94
3S4	DL	miniatuur	5	DL 92	DL 92; DL 94
3V4	DL	miniatuur	5	DL 94	DL 94
4-220	—	4 pennen glas	17	—	—
4A6G	KDD	octal	5	—	—
4H5	—	4 pennen glas	17	—	—
4H220	—	4 pennen glas	17	—	—
4S	MZ	5 pennen glas	14	—	—
5AX4GT	GZ	octal	14	—	—
5AZ4	GZ	loctal	14	—	—
5R4GY	GZ	octal	14	—	—
5T4	GZ	octal	14	—	—
5U4G	GZ	octal	14	(GZ 32)	GZ 32
5V4G	GZ	octal	14	GZ 32	GZ 32
5W4; 5W4G GT	GZ	octal	14	(GZ 32)	GZ 32
5X3GT	GZ	4 pennen glas	14	—	—
5X4G	GZ	octal	14	—	—
5Y3G GT	GZ	octal	14	(GZ 32)	GZ 32
5Y4G	GZ	octal	14	(GZ 32)	GZ 32
5Z3	GZ	4 pennen glas	14	—	GZ 32
5Z4; 5Z4G GT	GZ	octal	14	(GZ 32)	GZ 32
6A3	ED	4 pennen glas	5	—	—
6A4	EL	5 pennen glas	5	—	—
6A4 LA	EL	5 pennen glas	5	—	—
6A5G	ED	octal	5	—	—
6A6	EDD	7 pennen glas	5	—	—
6A7; 6A7S	EK	7 pennen glas	1	—	ECH42; ECH81
6A8; 6A8G GT	EK	octal	1	—	ECH42; ECH81
6AB4	EC	miniatuur	1, 2, 11	(EC 92)	EC 92
6AB5	EM	6 pennen glas	16	—	EM 34
6AB6G	ECD	octal	4, 5	—	—
6AB7 1853	EF	octal	3	—	EF 80
6AB8	ECL	noval	4, 5, 6, 7, 12	ECL 80	ECL 80
6AC5G/GT	ED	octal	5	—	—
6AC6G/GT	ECD	octal	4, 5	—	—
6AC7/1852	EF	octal	3, 6	—	EF 80; EF 42
6AD4	EC	subminiatuur	4	—	—
6AD5G GT	EC	octal	4	—	—
6AD6G	EM	octal	16	—	EM 34

Amerikaans type	Europ. type aanduiding	Buisvoet	Tog-passing	Equivalent	Aanbevolen type
6AD7G	ECL	octal	4, 5	—	—
6AE5G/GT	EC	octal	4	—	—
6AE6G	ECC	octal	4	—	—
6AE7GT	ECC	octal	4	—	—
6AF4	EC	miniatur	19	—	—
6AF5G	EC	octal	4	—	—
6AF6G	EM	octal	16	—	EM 34
6AG5	EF	miniatur	1, 2, 3	(EF 91)	EF 80
6AG6G	EL	octal	5	(EL 33)	—
6AG7	EF	octal	3, 6	—	EF 80; EL 83
6AH4GT	EC	octal	7	—	—
6AH5G	EL	octal	5	—	—
6AH6	EF	miniatur	3	—	EF 80
6AH7GT	ECC	octal	4	—	—
6AJ4	EC	noval	2	—	—
6AJ5	EF	miniatur	2	—	—
6AJ7	EF	octal	3	—	—
6AJ8	ECH	noval	1	ECH 81	ECH 81
6AK5	EF	miniatur	3	—	EF 80
6AK5W	EF	miniatur	3	—	—
6AK6	EL	miniatur	5	(EL 91)	EL 42
6AK7	EL	octal	5	(EL 33)	EL 41
6AK8	EABC	noval	4, 9, 10	EABC 80	EABC 80
6AL5	EB	miniatur	9, 10	EB 91	EB 91
6AL6G	EL	octal	5	(4689 K)	EL 34
6AL7GT	EM	octal	16	—	—
6AM5	EL	miniatur	5	EL 91	EL 42
6AM6	EF	miniatur	3	EF 91	EF 80
6AN5	EL	miniatur	5, 6	—	—
6AN6	EBB	miniatur	9	—	—
6AN7	ECH	noval	1	—	—
6AQ5	EL	miniatur	5, 7	—	EL 41; EL 83
6AQ6	EBC	miniatur	4, 9	—	EBC 41
6AQ7GT	EBC	octal	4, 9	—	—
6AR5	EL	miniatur	5	—	EL 41
6AR6	EL	octal	5	—	—
6AR7GS	EBF	octal	2, 4, 9	(EBF 35)	EBF 80
6AS5	EL	miniatur	5	—	UL 41
6AS6	EF	miniatur	2	—	—
6AS7G	EDD	octal	15	—	—
6AT6	EBC	miniatur	4, 9	—	EBC 41
6AU5GT	EL	octal	8	—	EL 81
6AU6	EF	miniatur	2, 3, 13	—	EF 80
6AV5GT	EL	octal	8	—	EL 81
6AV6	EBC	miniatur	4, 9	—	EBC 41

Amerikaans type	Europ. type aanduiding	Buisvoet	Toe-passing	Equivalent	Aanbevolen type
6AW7GT	EBC	octal	4, 9, 10	—	—
6AX4GT	EY	octal	15	—	PY 81
6AX5GT	EZ	octal	14	—	EZ 80
6AX6G	EZ	octal	14	—	AX 50
6B4G	ED	octal	5	—	—
6B5	ECD	6 pennen glas	4, 5	—	—
6B6G	EBC	octal	4, 9	—	EBC 41
6B7; 6B7S	EBF	7 pennen glas	2, 4, 9	—	EBF 80
6B8	EBF	octal	2, 4, 9	(EBF 32)	EBF 80
6B8G/GT	EBF	octal	2, 4, 9	EBF 32	EBF 80
6BA5	EF	subminiatur	2	—	—
6BA6	EF	miniatur	2, 3	EF 93	EF 41; EF 80
6BA7	EK	noval	1	—	EF 80
6BC5	EF	miniatur	2, 3	—	EF 80
6BC7	EAB	noval	9, 10	—	—
6BD5GT	EL	octal	8	—	EL 81
6BD6	EF	miniatur	2	—	EF 41
6BD7	EBC	noval	4, 9	EBC 80	—
6BE6	EK	miniatur	1	EK 90	ECH 42
6BE7	EQ	noval	10	EQ 80	—
6BF5	EL	miniatur	7	—	ECL 80
6BF6	EBC	miniatur	4, 5, 9	—	—
6BF7	ECC	subminiatur	4, 12	—	—
6BC6G	EL	octal	8	(EL38)	EL 81
6BG7	ECC	subminiatur	4, 12	—	—
6BH5	EF	noval	2	EF 81	—
6BH6	EF	miniatur	2	—	EF 80
6BJ6	EF	miniatur	2	(EF 93)	EF 41; UF 41
6BK5	EL	noval	5, 6	—	EL 83
6BK6	EBC	miniatur	4, 9	—	EBC 41
6BK7	ECC	noval	1, 3	—	ECC 81
6BL7GT	EDD	octal	7	—	—
6BN6	EF	miniatur	10	—	EQ 80
6BN7	EDD	noval	7	—	ECL 80
6BQ6GT	EL	octal	8	—	EL 81
6BQ7	ECC	noval	1, 11	—	—
6BT6	EBC	miniatur	4, 9	—	EBC 41
6BU6	EBC	miniatur	4, 5, 9	—	—
6BW6	EL	noval	5	—	EL 41
6BX6	EF	noval	1, 2, 3	EF 80	—
6BX7GT	ECC	octal	7, 11	—	ECL 80
6BY5G	EZ	octal	14, 15	—	—
6BY7	EF	noval	3	EF 85	EF 85
6C4	EC	miniatur	11	—	EC 81
6C5; 6C5G/GT	EC	octal	4, 9	—	—

Amerikaans type	Europ. type aanduiding	Buisvoet	Toe-passing	Equivalent	Aanbevolen type
6C6	EF	6 pennen glas	4	—	EF 40
6C7	EBC	7 pennen glas	4, 9	—	EBC 41
6C8G	ECC	octal	4	—	ECC 40
6CA7	EL	octal	5	EL 34	EL 34
6CB6	EF	miniatuur	3	(EF 91)	EF 80
6CD6G	EL	octal	8	—	EL 81
6CG6	EF	miniatuur	2	—	EF 41
6CJ6	EL	noval	5, 8	EL 81	EL 81
6CK6	EL	noval	6	EL 83	EL 83
6D1	EB	5 pennen glas	9	—	—
6D5G	ED	octal	5	—	—
6D6	EF	6 pennen glas	2	—	EF 41
6D7	EF	7 pennen glas	2, 9	—	—
6D8G	EK	octal	1	—	ECH42; ECH81
6E5	EM	6 pennen glas	16	—	EM 34
6E6	EDD	7 pennen glas	5	—	—
6E7	EF	7 pennen glas	2	—	—
6E8G	ECH	octal	1	(ECH 35)	—
6F4	EC	eikel	4, 11	—	—
6F5; 6F5G/GT	EC	octal	4	—	—
6F6; 6F6G/GT	EL	octal	5	(EL 33)	EL 41
6F7S	ECF	7 pennen glas	1, 2, 4	—	—
6F8G	ECC	octal	4	—	ECC 40
6G5	EM	6 pennen glas	16	—	EM 34
6G6G	EL	octal	5	—	—
6H4GT	EA	octal	9, 14	—	—
6H5	EM	6 pennen glas	16	—	—
6H6; 6H6G/GT	EB	octal	9, 10, 14	—	EB 91
6H8G	EBF	octal	2, 4, 9	(EBF 32)	EBF 80
6J4	EC	miniatuur	11	(EC 91)	EC 80
6J5; 6J5G/GT	EC	octal	4, 9, 11	—	—
6J6	ECC	miniatuur	1, 4, 11	ECC 91	ECC 81
6J7; 6J7G/GT	EF	octal	4, 9	(EF 37A)	EF 40
6J8G	ECH	octal	1	(ECH 35)	ECH42; ECH81
6K4	EC	subminiatuur	4, 11	—	—
6K5G/GT	EC	octal	4	—	—
6K6G/GT	EL	octal	5, 7	—	EL 83
6K7; 6K7G/GT	EF	octal	2	(EF 39)	EF 41
6K8; 6K8G/GT	ECH	octal	1	(ECH 35)	ECH42; ECH81
6L4	EC	eikel	11	—	—
6L5G	EC	octal	4, 9, 11	—	—
6L6; 6L6G/GA	EL	octal	5	(4689 K)	EL 34
6L7; 6L7G	EK	octal	1, 2	—	—
6M5	EL	noval	5	EL 80	—
6M6G	EL	octal	5	EL 33	—

Amerikaans type	Europ. type aanduiding	Buisvoet	Toe-passing	Equivalent	Toe-passing
6M7G	EF	octal	2	(EF 39)	—
6M8GT	EACF	octal	2, 4, 9	—	—
6N4	EC	miniatuur	2, 11	—	EC 81
6N5	EM	6 pennen glas	16	—	EM 34
6N6G	ECD	octal	4, 5	—	—
6N7; 6N7G/GT	EDD	octal	5	—	—
6N8	EBF	noval	2, 4, 9	EBF 80	—
6P5G/GT	EC	octal	4, 9	—	—
6P7G	ECF	octal	1, 2, 4	—	—
6P8G	ECH	octal	1	(ECH 35)	—
6Q4	EC	noval	11	EC 80	—
6Q6-G	EBC	octal	4, 9	—	—
6Q7	EBC	octal	4, 9	—	EBC 41
6Q7G/GT	EBC	octal	4, 9	(EBC 33)	EBC 41
6Q8	EK	octal	1	—	—
6R4	EC	noval	11	EC 81	—
6R6G	EF	octal	2	(EF 39)	—
6R7; 6R7G/GT	EBC	octal	4, 9	(EBC 33)	EBC 41
6R8	EABC	noval	4, 9, 10	—	—
6S4	EC	noval	7	—	—
6S5	EM	6 pennen glas	16	—	—
6S6GT	EF	octal	2, 3	—	—
6S7; 6S7G	EF	octal	2	(EF 39)	EF 41
6S8GT	EABC	octal	4, 9, 10	—	—
6SA7	EK	octal	1	—	ECH 42
6SA7G/GT	EK	octal	1	—	ECH 42
6SB7Y	EK	octal	1	—	—
6SC5	EC	octal	4	—	—
6SC7GT	ECC	octal	4	—	ECC 40
6SD7GT	EF	octal	2	—	—
6SE7GT	EF	octal	4	—	EF 40
6SF5GT	EC	octal	4	—	—
6SF7	EAF	octal	2, 9	—	—
6SG7GT	EF	octal	3	—	EAF 42
6SH7GT	EF	octal	3	—	—
6SJ7GT	EF	octal	2, 4	—	EF 40
6SK7; 6SK7G/GT	EF	octal	2	—	EF 41
6SL7GT	ECC	octal	4, 12	—	ECC 40
6SN7GT	ECC	octal	4, 12, 13	—	ECC40; ECL80
6SQ7; 6SQ7G/GT	EBC	octal	4, 9	(EBC 33)	EBC 41
6SR7GT	EBC	octal	4, 9	(EBC 33)	EBC 41
6S7	EF	octal	2	—	EF 21
6ST7	EBC	octal	4, 9	—	EBC 41
6SU7GT	ECC	octal	4	—	ECC 40

Amerikaans type	Europ. type aanduiding	Buisvoet	Toe-passing	Equivalent	Aanbevolen type
6SV7	EAF	octal	2, 9	—	EAF 42
6SZ7	EBC	octal	4, 9	—	—
6T5	EM	6 pennen glas	16	—	—
6T6	EF	octal	3	—	—
6T7G	EBC	octal	4, 9	(EBC 33)	EBC 41
6T8	EABC	noval	4, 9, 10	—	—
6U3	EY	noval	14, 15	EY 80	—
6U4GT	EY	octal	14, 15	—	—
6U5/6GS	EM	6 pennen glas	16	—	EM 34
6U6GT	EL	octal	5	—	—
6U7G	EF	octal	2	(EF 39)	EF 41
6U8	ECF	noval	1, 11	—	—
6V5G/GT	EL	octal	5	—	—
6V6	EL	octal	5	(EL 33)	EL 41
6V6G/GT	EL	octal	5, 7	(EL 33)	EL 41
6V7G	EBC	octal	4, 9	—	—
6V8	EABC	noval	4, 9, 10	—	—
6W4GT	EY	octal	14, 15	—	EY 80
6W5G	EZ	octal	14	(EZ 35)	—
6W6GT	EL	octal	5, 7	—	—
6W7G	EF	octal	2	(EF 39)	EF 41
6X2	EY	—	14, 15	EY 51	—
6X4	EZ	miniatuur	14	—	EZ 80
6X5	EZ	octal	14	(EZ 35)	EZ 80
6X5G/GT	EZ	octal	14	EZ 35	EZ 80
6X6G	EM	octal	16	—	—
6X8	ECF	noval	1, 11	—	—
6Y3	EY	octal	14	—	—
6Y5	EZ	6 pennen glas	14	—	—
6Y6G/GT	EL	octal	5	(EL 35)	—
6Y7G	EDD	octal	5	—	—
6Z3	EY	4 pennen glas	14	—	—
6Z4/84	EZ	5 pennen glas	14	—	EZ 80
6Z5	EZ	6 pennen glas	14	—	—
6Z6G	EZ	octal	14	—	—
6Z7G	FDD	octal	5	—	—
6ZY5G	EZ	octal	14	(EZ 35)	EZ 80
7A4	EC	loctal	4, 9, 11	—	—
7A5	EL	loctal	5, 7	—	—
7A6	EB	loctal	9, 10	—	EB 91
7A7-LM	EF	loctal	2	(EF 22)	EF 41
7A8	EK	loctal	1	—	ECH 42
7AD7	EL	loctal	6	—	EL 83
7AF7	ECC	loctal	4	—	—
7AG7	EF	loctal	2, 3	—	—

Amerikaans type	Europ. type aanduiding	Buisvoet	Toe-passing	Equivalent	Aanbevolen type
7AH7	EF	loctal	2, 3	(EF 22)	EF 41
7AJ7	EF	loctal	4	—	EF 40
7AK7	EL	loctal	poortbuis	—	—
7B4	EC	loctal	4	—	—
7B5LT	EL	loctal	5	—	EL 42
7B6LM	EBC	loctal	4, 9	—	EBC 41
7B7	EF	loctal	2	(EF 22)	EF 41
7B8LM	EK	loctal	1	—	ECH 42
7C4	EA	loctal	9	—	—
7C5LT	EL	loctal	5	—	EL 41
7C6	EBC	loctal	4, 9	—	EBC 41
7C7	EF	loctal	2, 4	(EF 22)	EF 41 EF 40
7D7	ECH	loctal	1	—	—
7E5	EC	loctal	11	—	EC 81
7E6	EBC	loctal	4, 9	—	—
7E7	EBF	loctal	2, 9	—	EBF 80
7F7	ECC	loctal	4	—	ECC 40
7F8	ECC	loctal	1, 4, 12	—	ECC 81
7G7	EF	loctal	3	—	EF 80
7G8	EEE	loctal	2	—	—
7H6	EF	loctal	2	(EF 22)	EF 41
7H7	EF	loctal	3	—	EF 80
7J7	ECH	loctal	1	(ECH 21)	ECH 42
7K7	EBC	loctal	4, 9	—	EBC 41
7L7	EF	loctal	2, 3	—	—
7N7	ECC	loctal	4	—	—
7O7	EK	loctal	1	—	ECH 42
7R7	EBF	loctal	2, 3, 4, 9	—	EBF 80
7S7	ECH	loctal	1	(ECH 21)	ECH 42
7T7	EF	loctal	3	—	—
7V7	EF	loctal	3	—	EF 80
7W7	EF	loctal	3	—	EF 80
7X7	EBC	loctal	4, 9	—	EBC 41
7Y4	EZ	loctal	14	—	EZ 80
7Y7	EZ	loctal	14	—	EZ 80
7Z4	EZ	loctal	14	—	EZ 80
8	—	4 pennen glas	17	(U 30)	U 30
10	ED	4 pennen glas	5	—	—
11	DC	4 pennen glas	4, 9	—	—
12	DC	4 pennen glas	4, 9	—	—
12A4	PC	noval	7	—	—
12A5	PL	7 pennen glas	5	—	—
12A6	HL	octal	5	—	—
12A7	PLY	7 pennen glas	5, 14	—	—

Amerikaans type	Europ. type aanduiding	Buisvoet	Toe-passing	Equivalent	Aanbevolen type
12A8G/GT	HK	octal	1	—	UCH 42
12AC8GT	PCC	octal	4, 12	—	—
12AH7GT	HCC	octal	4, 12	—	—
12AL5	HB	miniatuur	9, 10	—	UB 41
12AT6	HBC	miniatuur	4, 9	—	UBC 41
12AT7	ECC	noval	1, 3	ECC 81	ECC 81
12AU6	HF	miniatuur	2	—	UF 41; UF 42
12AU7	ECC	noval	4, 6, 12	—	—
12AV6	HBC	miniatuur	4, 9	—	UBC 41
12AV7	ECC	noval	1, 3	—	ECC 81
12AW6	HF	miniatuur	3	—	—
12AX7	ECC	noval	4	—	—
12AY7	ECC	noval	4	—	—
12B6	HAC	octal	4, 9	—	—
12B7LM	HF	loctal	2	—	—
12B8GT	PCF	octal	1, 2, 4	—	—
12BA6	HF	miniatuur	2, 3	—	UF 41
12BA7	HK	noval	1	—	EF 80
12BD6	HF	miniatuur	2	—	UF 41
12BE6	HK	miniatuur	1	—	UCH 42
12BF6	HBC	miniatuur	4, 9	—	—
12BH7	PCC	noval	7, 12	—	ECL 80
12BK6	HBC	miniatuur	4, 9	—	UBC 41
12BN6	HF	miniatuur	10	—	EQ 80
12BT6	HBC	miniatuur	4, 9	—	UBC 41
12BU6	HBC	miniatuur	4, 5, 9	—	—
12C8	HBF	octal	2, 4, 9	—	UBF 80
12E5G/GT	HC	octal	4	—	—
12F5GT	HC	octal	4	—	—
12G7G/GT	HBC	octal	4, 9	—	—
12H6	HB	octal	9, 10	—	—
12J5GT	HC	octal	4, 9, 11	—	—
12J7GT	HF	octal	4, 9	—	—
12K7GT	HF	octal	2	—	UF 41
12K8; 12K8GT	HCH	octal	1	—	UCH 42
12L8GT	HLL	octal	5	—	—
12O7GT	HBC	octal	4, 9	—	UBC 41
12S8GT	HABC	octal	4, 9, 10	—	—
12SA7; 12SA7GT	HK	octal	1	—	UCH 42
12SC7	HCC	octal	4	—	—
12SF5GT	HC	octal	4	—	—
12SF7	HAF	octal	2, 9	—	UAF 42
12SG7	HF	octal	3	—	—
12SH7GT	HF	octal	3	—	—

Amerikaans type	Europ. type aanduiding	Buisvoet	Toe-passing	Equivalent	Aanbevolen type
12SJ7GT	HF	octal	2, 4	—	—
12SK7GT	HF	octal	2	—	UF 41
12SL7GT	HCC	octal	4	—	—
12SN7GT	HCC	octal	4, 12	—	—
12SQ7; 12SQ7GT	HBC	octal	4, 9	—	UBC 4
12SR7	HBC	octal	4, 9	—	—
12SW7	HBC	octal	4, 9	—	—
12SX7GT	PCC	octal	4	—	—
12SY7GT	HK	octal	1	—	—
12Z3	PY	4 pennen glas	14	—	—
12Z5	PZ	7 pennen glas	14	—	—
13	GZ	4 pennen glas	14	—	—
14	PE	5 pennen glas	2	—	—
14A4	HC	loctal	4, 9, 11	—	—
14A5	HL	loctal	5	—	—
14A7	HF	loctal	2	—	UF 41
14AF7	HCC	loctal	4	—	—
14B6	HBC	loctal	4, 9	—	UBC 41
14B8	HK	loctal	1	—	UCH 42
14C5	CL	loctal	5	—	—
14C7	HF	loctal	2, 4	—	—
14E6	HBC	loctal	4, 9	—	—
14E7	HBF	loctal	2, 9	—	UBF 80
14F7	HBC	loctal	4, 9	—	UBC 41
14F8	HCC	loctal	1, 4, 12	—	ECC 81
14H7	HF	loctal	3	—	EF 80
14J7	HCH	loctal	1	—	UCH 42
14N7	PCC	loctal	4	—	—
14Q7	HK	loctal	1	—	UCH 42
14R7	HBF	loctal	2, 3, 4, 9	—	UBF 80
14S7	CCH	loctal	1	—	UCH 42
14W7	HF	loctal	3	—	EF 80
14X7	HBC	loctal	4, 9	—	UBC 41
14Y4	PZ	loctal	14	—	—
14Z3	PY	4 pennen glas	14	—	—
15	KF	5 pennen glas	2	—	—
15A6	PL	noval	5, 7	PL 83	—
16	EY	4 pennen glas	14	—	—
17	PC	5 pennen glas	4	—	—
18	PL	6 pennen glas	5	—	—
19	KDD	6 pennen glas	5	—	—
19AQ5	HL	miniatuur	5	—	UL 41
19BG6G	PL	octal	8	(PL 38)	PL 81
19C8	HABC	noval	4, 9, 10	—	—
19J6	HCC	miniatuur	1	—	—

Amerikaans type	Europ. type aanduiding	Buisvoet	Toe-passing	Equivalent	Aanbevolen type
19T8	HABC	noval	4, 9, 10	—	—
19V8	HABC	noval	4, 9, 10	—	—
19Y3	PY	noval	15	PY 80	—
19X8	HCF	noval	1, 11	—	—
20	KD	4 pennen glas	5	—	—
20J8	HCH	octal	1	—	—
21A6	PL	noval	8	PL 81	—
21A7	HCH	octal	1	—	—
22	KE	4 pennen glas	2	—	—
24A; 24S	MA	5 pennen glas	2	—	—
25; 25S	KBC	6 pennen glas	4, 9	—	—
25A6; 25A6G/GT	PL	octal	5	—	—
25A7G/GT	PLY	octal	5, 14	—	—
25A8	PLY	octal	5, 14	—	—
25AC5G/GT	PD	octal	5	—	—
25AV5GT	PL	octal	8	—	PL 81
25B5	PCD	6 pennen glas	4, 5	—	—
25B6G	PL	octal	5	—	—
25B8GT	HCF	octal	1, 2, 4	—	—
25BQ6GT	PL	octal	8	—	PL 81
25C6G	PL	octal	5	—	—
25D8GT	HACF	octal	2, 4, 9	—	—
25L6; 25L6G/GT	PL	octal	5	—	—
25N6G	PCD	octal	4, 5	—	—
25SN7GT	HCC	octal	4	—	—
25S	KBC	6 pennen glas	4, 9	—	—
25W4GT	PY	octal	14	—	PY 82
			15	—	PY 80
25X6GT	HZ	octal	14	—	—
25Y4GT	HY	octal	14	—	—
25Y5	PZ	6 pennen glas	14	—	—
25Z3	PY	4 pennen glas	14	—	—
25Z4GT	PY	octal	14	—	—
25Z5	PZ	6 pennen glas	14	—	—
25Z6; 25Z6G/GT	PY	octal	14	—	—
26	MC	4 pennen glas	4	—	—
26A6	HF	miniatur	2	—	—
26A7GT	PLL	octal	5	—	—
26KB6	HBC	miniatur	4, 9	—	—
26C6	HBC	miniatur	4, 9	—	—
26D6	HK	miniatur	1	—	—
27; 27S	MC	5 pennen glas	4	—	—
28D7	HLL	loctal	5	—	—
28Z5	HZ	loctal	14	—	—
30	KC	4 pennen glas	4, 9	—	—

Amerikaans type	Europ. type aanduiding	Buisvoet	Toe-passing	Equivalent	Aanbevolen type
31	KD	4 pennen glas	5	—	—
32	KE	4 pennen glas	2	—	—
32L7GT	PLY	octal	5, 14	—	—
33	KL	5 pennen glas	5	—	—
34	KF	4 pennen glas	2	—	—
35/51	ME	5 pennen glas	2	—	—
35A5; 35A5LT	HL	octal	5	—	UL 41
35B5	HL	miniatuur	5	—	UL 41
35C5	HL	miniatuur	5	—	UL 41
35L6G/GT	HL	octal	5	—	UL 41
35W4	HY	miniatuur	14	—	UY 42
35Y4	HY	loctal	14	—	UY 41
35Z3; 35Z3LT	HY	loctal	14	—	UY 41
35Z4GT	HY	octal	14	—	UY 41
35Z5G/GT	HY	octal	14	—	UY 41
35Z6G/GT	PZ	octal	14	—	—
36; 36A	EE	5 pennen glas	2	—	—
37; 37A	EC	5 pennen glas	4	—	—
38; 38A	EL	5 pennen glas	5	—	—
39/44	EF	5 pennen glas	2	—	—
40	GC	4 pennen glas	4	—	—
40Z5GT	HY	octal	14	—	—
41	EL	6 pennen glas	5	—	—
42	EL	6 pennen glas	5	—	—
43	PL	6 pennen glas	5	—	—
44	EF	5 pennen glas	2	—	—
45; 45A	MD	4 pennen glas	5	—	—
45Z3	HY	miniatuur	14	—	—
45Z5GT	HY	octal	14	—	UY 41
46	ME	5 pennen glas	2	—	—
47	ML	5 pennen glas	5	—	—
48	HL	6 pennen glas	5	—	—
49	KE	5 pennen glas	4, 5	—	—
50	ED	4 pennen glas	5	—	—
50A2	MD	4 pennen glas	5	—	—
50A5	HL	loctal	5	—	UL 41
50AX6G	PZ	octal	14	—	—
50B5	HL	miniatuur	5	—	UL 41
50C5	HL	miniatuur	5	—	UL 41
50C6G	HL	octal	5	—	—
50L6GT	HL	octal	5, 7	—	UL 41
50X6	HY	loctal	14	—	—
50Y6G/GT	HY	octal	14	—	—
50Y7GT	HY	octal	14	—	—
50Z6G	HY	octal	14	—	—

Amerikaans type	Europ. type aanduiding	Buisvoet	Toe-passing	Equivalent	Aanbevolen type
50Z7G/GT	HY	octal	14	—	—
51	ME	5 pennen glas	2	—	—
52	EE	5 pennen glas	4, 5	—	—
53	MDD	7 pennen glas	5	—	—
55; 55S	MBC	6 pennen glas	4, 9	—	—
56; 56S	MC	5 pennen glas	4	—	—
56A5	EC	5 pennen glas	4	—	—
57; 57S	MF	6 pennen glas	2	—	—
57AS	EF	6 pennen glas	2	—	—
58; 58S	MF	6 pennen glas	2	—	—
58AS	EF	6 pennen glas	2	—	—
59	ML	7 pennen glas	5	—	—
64; 64A	EE	5 pennen glas	2	—	—
65; 65A	EF	5 pennen glas	2	—	—
67; 67A	EC	5 pennen glas	4	—	—
68; 68A	EL	5 pennen glas	5	—	—
70A7GT; 70L7GT	ELY	octal	5, 14	—	—
71; 71A	GD	4 pennen glas	5	—	—
75; 75S	EBC	6 pennen glas	4, 9	—	EBC 41
76	EC	5 pennen glas	4, 9	—	—
77	EF	6 pennen glas	2	—	—
78	EF	6 pennen glas	2	—	EF 41
79	EDD	6 pennen glas	5	—	—
80	GZ	4 pennen glas	14	—	—
81; 81M	EY	4 pennen glas	14	—	—
82	MX	4 pennen glas	14	—	—
83	GX	4 pennen glas	14	—	AX 50
83V	GZ	4 pennen glas	14	—	GZ 32
84/6Z4	GZ	5 pennen glas	14	—	EZ 80
85; 85AS	EBC	6 pennen glas	4, 9	—	—
86A1; 86A2; 86B2	P	octal	17	—	—
88	GZ	4 pennen glas	14	—	—
89	EL	6 pennen glas	5	—	—
92A1; 92A2; 92B2	P	octal	17	—	—
95	ML	6 pennen glas	5	—	—
V99	KC	4 pennen glas	4, 9	—	—
X99	KC	4 pennen glas	4, 9	—	—
112A	GC	4 pennen glas	4, 9	—	—
117L7GT	HLY	octal	5, 14	—	—
117M7GT	HLY	octal	5, 14	—	—
117N7GT	HLY	octal	5, 14	—	—
117P7GT	HLY	octal	5, 14	—	—
117Z3	HY	miniatuur	14	—	—
117Z4CT	HY	octal	14	—	—
117Z6G/GT	HY	octal	14	—	—

VERVANGINGSLIJST VOOR BUIZEN DIE NIET MEER WORDEN GELEVERD

In deze lijst zijn de meest geschikte buistypen opgegeven ter vervanging van typen die niet meer geleverd worden. Soms brengt de vervanging geen of weinig wijzigingen in het apparaat met zich mee, terwijl in andere gevallen het noodzakelijk is de buishouder opnieuw te bedraden of te verwisselen (eventueel een verloopvoet toevoegen) en veranderingen in de schakeling aan te brengen.

Wanneer een penthode is opgegeven ter vervanging van een triode dient de eerste als triode geschakeld te worden.

Vervallen type	Vervangings-type	Vervallen type	Vervangings-type	Vervallen type	Vervangings-type	Vervallen type	Vervangings-type
A414K	A415 ¹⁾	DC9-3	DG10-3	EFF50	EFF51	1817	AZ50
AB1	AB2, ABC1	DC9-4	DG10-2	EH2	ECH3, ECH4	1821	1805
AC2	ABC1	DC9-5	DG10-5	EK1	EK2	1823	1805
ACH1	AK2	DL25	DL94, DL92	EK3	ECH3, EK2	3541	3533
AD1	4683	DL91	DL94, DL92	EL1	EL2	4610	4636
AF2	AF3	DN7-1	DR7-5	EL5	4689	4612	4613 ¹⁾
AH1	AK2	DN7-3	DR7-5	EL6	4699N	4623	EA50
AK1	AK2	DN7-4	DR7-6	EL44	EL81	4635	4614 ¹⁾
AL2	4682	DN9-3	DR10-3	EM3	EM4	4652	AX50
AL5	4688	DN9-4	DR10-2	EM11	EM34	4670	DLL21
AM1	EM4	DN9-5	DR10-5	EZ1	EZ2	4675	4671
AX1	AX50	DN10-3	DR10-3	EZ3	EZ80	4676	4672
AZ21	AZ1, 1561	DN10-5	DR10-5	EZ4	GZ32	4696	EET1
C1	C8	E406N	4613 ¹⁾	EZ11	EZ2	18038	1805
C2	C10	E408N	4613 ¹⁾	EZ12	GZ32	18103	18120
C3	C8	E409	4614 ¹⁾	F410	4641	18104	18130
C4	C10	E424N	ABC1	F443N	4650 ¹⁾		
C9	C10	E424R	ABC1	F460	4673		
C243N	KL4	E428	ABC1	KC1	KBC1		
CB1	EB4	E438	ABC1	KC3	KBC1, KF3		
CB2	EB4	E442	4636 ¹⁾	KC4	KBC1		
CBC1	EBC3	E443N	4688 ¹⁾	KCH1	KK2		
CC6	CBL1	E444	ABC1	KDD1	DLL21		
CC2	EBC3	E444S	ABC1	KF1	KF3		
CF1	CF7 ¹⁾ , EF6	E445	AF3	KF2	KF3		
CF2	CF3 ¹⁾ , EF9	E445S	AF3	KF4	KF3		
CK1	ECH3	E446	4636	KH1	KK2		
CK3	ECH3	E447	AF3	KL1	KL4		
CL1	EL2	E448	AK2	KL5	KL4		
CL2	CBL1, EL2	E449	AK2	MW22-7	MW22-16		
CL4	CBL1	E452T	AF7	MW22-14	MW22-16		
CL6	CBL1	E453(B)	E443H ¹⁾	MW31-2	MW31-16		
CY1	CY2	E453(C)	E443H ¹⁾	MW31-3	MW31-16		
D404	4613 ¹⁾	E453(U)	E443H ¹⁾	MW31-5	MW31-16		
DAC25	DAF91	E455	AF3	MW31-7	MW31-16		
DB7-1	DB7-5	E462	AF7, 4636	MW31-14	MW31-16		
DB7-2	DB7-6	E463	E443H ¹⁾	UAF41	UAF42		
DB7-3	DB7-5	E499	4657	UY21	UY1N		
DB7-4	DB7-6	E703	E704 ¹⁾	373	1805		
DB9-3	DB10-3	E707	4624	505	1805		
DB9-4	DB10-2	EAB1	EBC3	506, 506K	1805		
DB9-5	DB10-5	EAF41	EAF42	1038	328		
DC25	DF91	ECH2	ECH3	1326	1010		
DCH25	DK92, DK40	EE1	EET1	1560	1561, GZ32		
DDD25	DLL21	EF1	EF6	1708	367		
DF26	DAF91	EF2	EF9	1801	1805		
DG7-1	DG7-5	EF5	EF9	1802	1805		
DG7-2	DG7-6	EF8	EF9	1803	1805		
DG7-3	DG7-5	EF13	EF11	1807	1805		
DG7-4	DG7-6	EF37	EF37A	1815	AZ50		

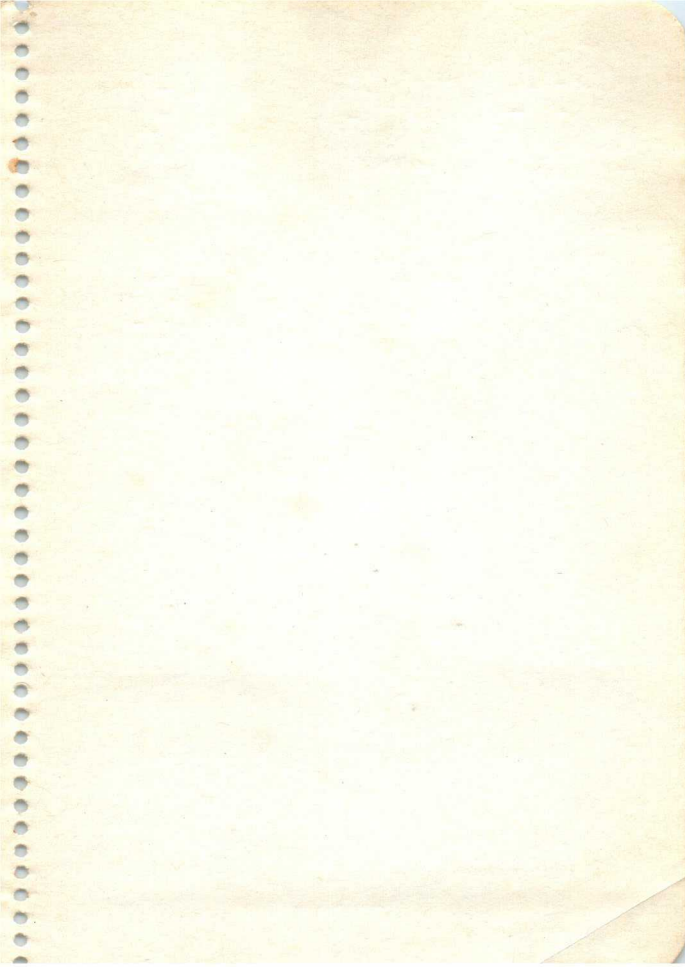
1370
TBAOBT

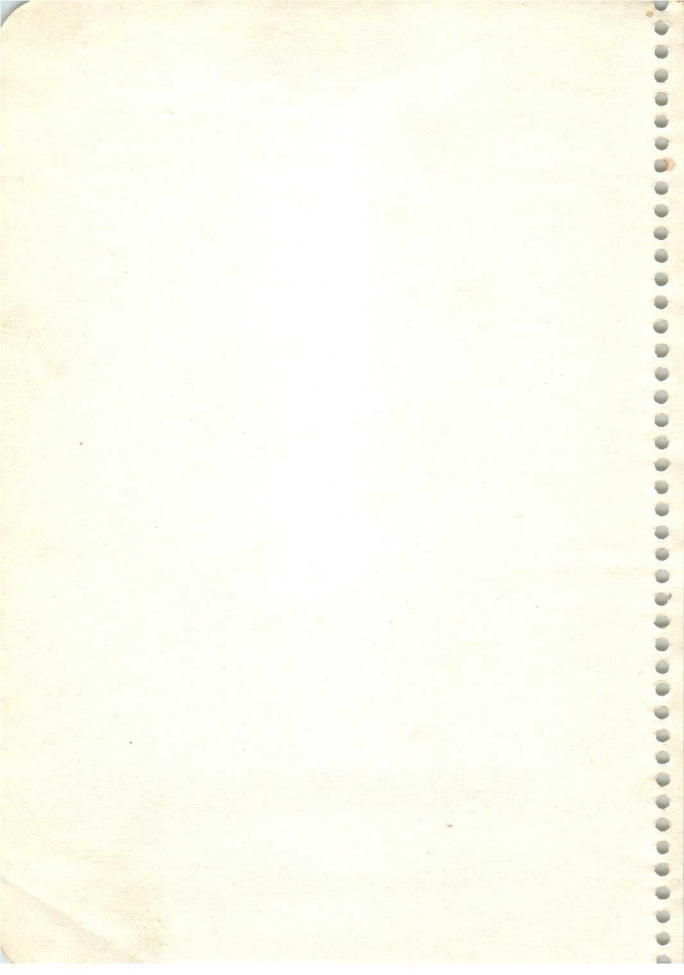
Q
A

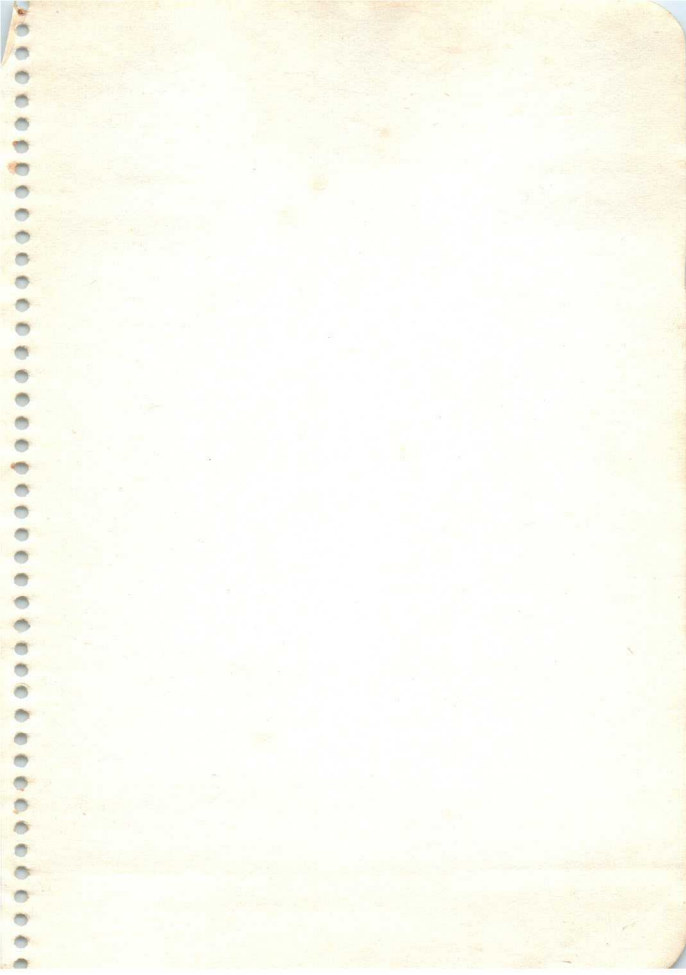
Q
H738

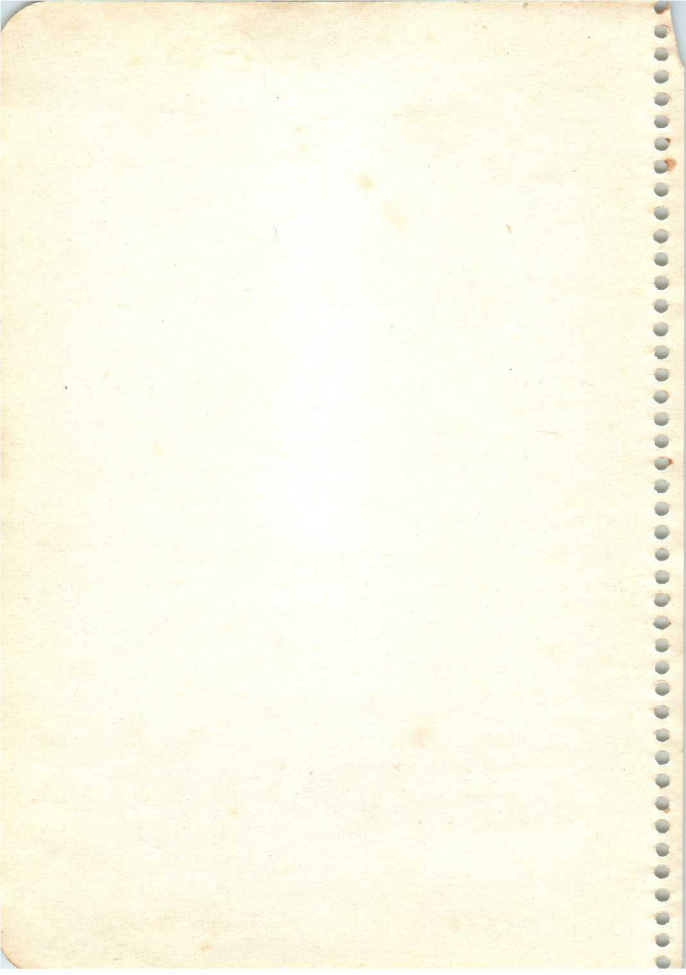
TBOBT
H738

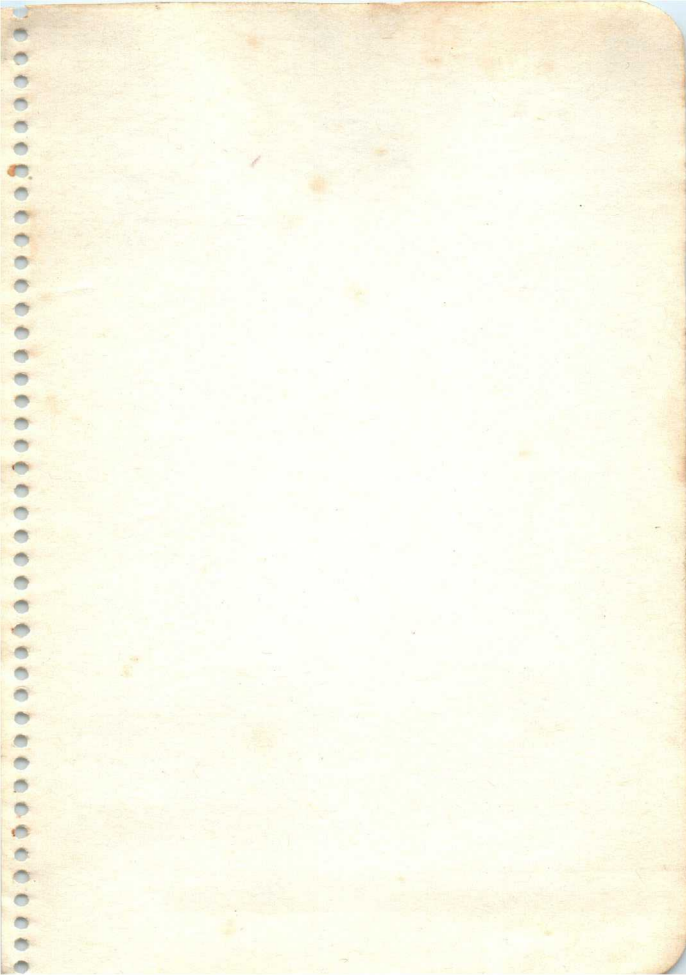
H738

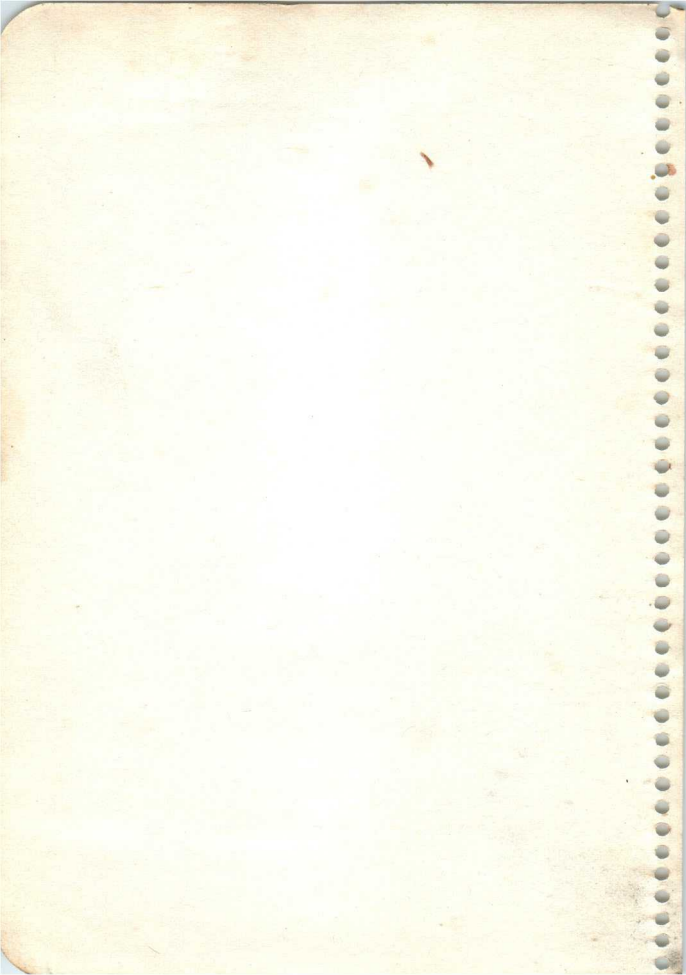


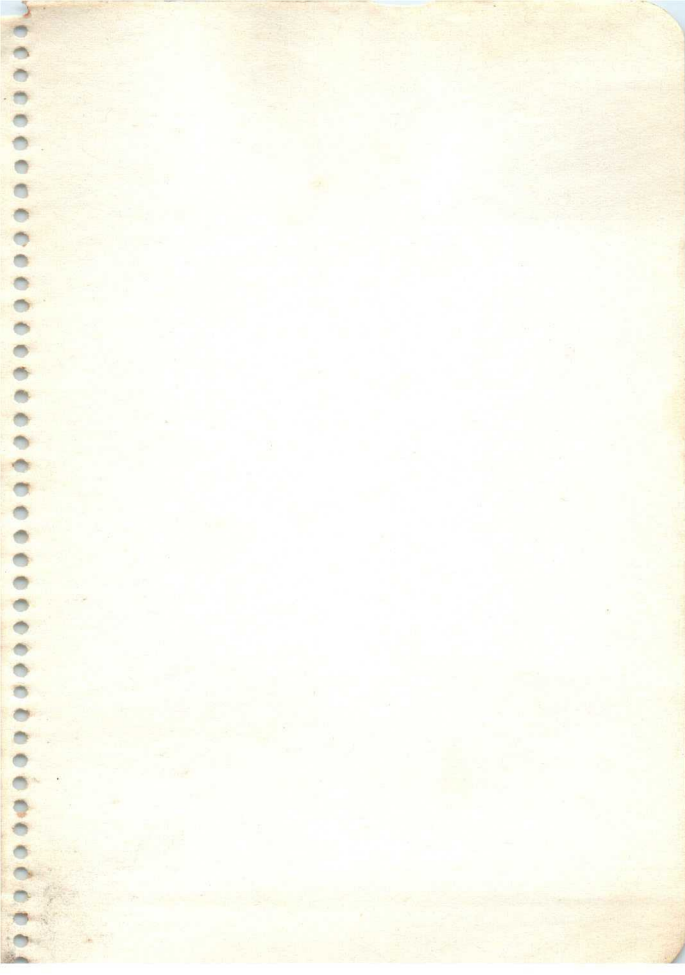


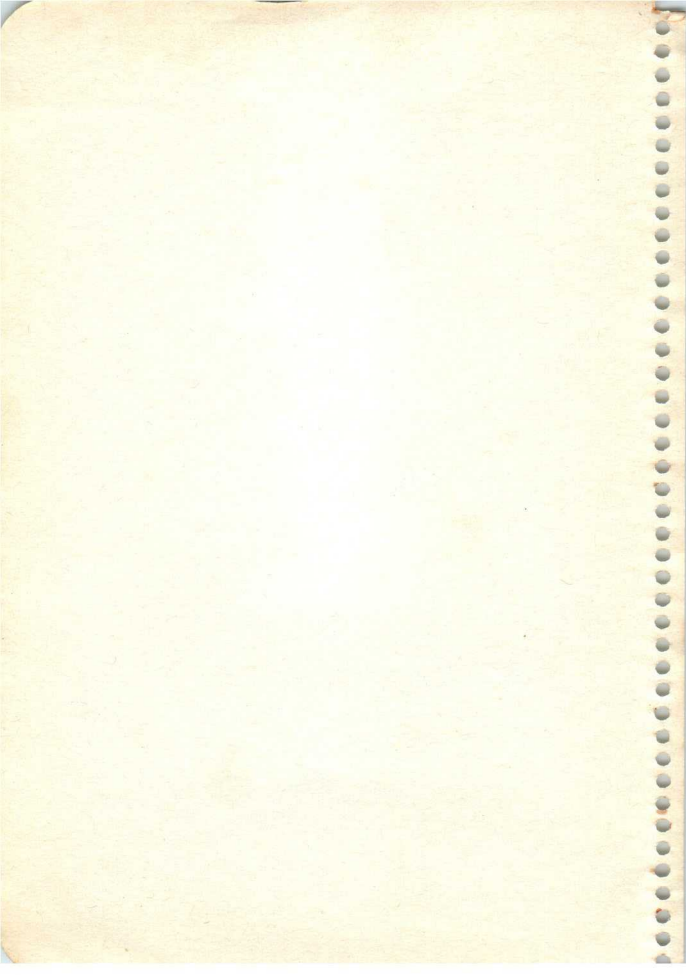


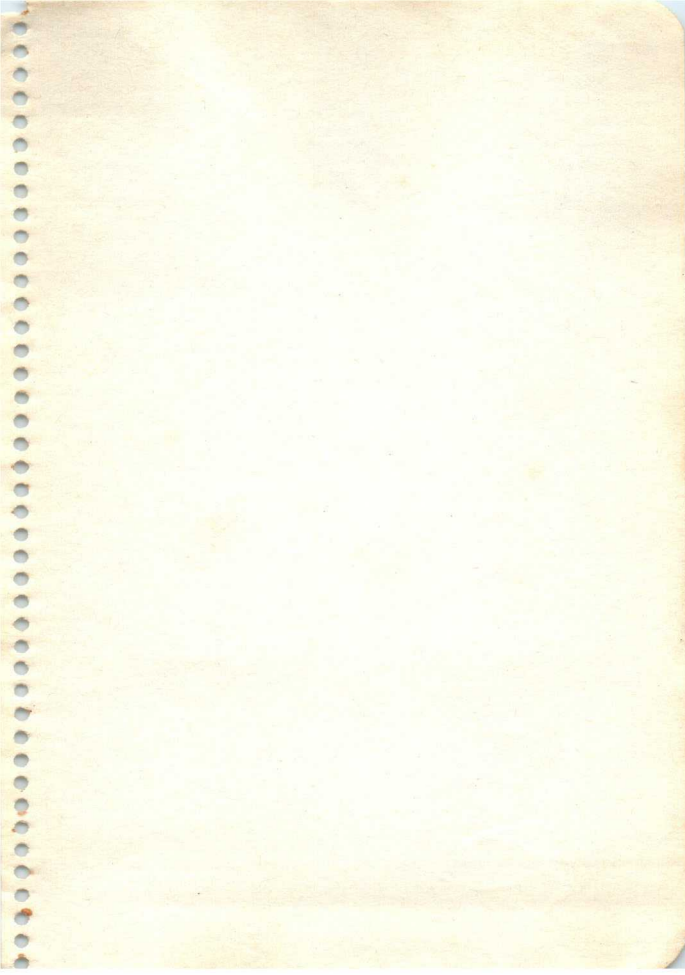


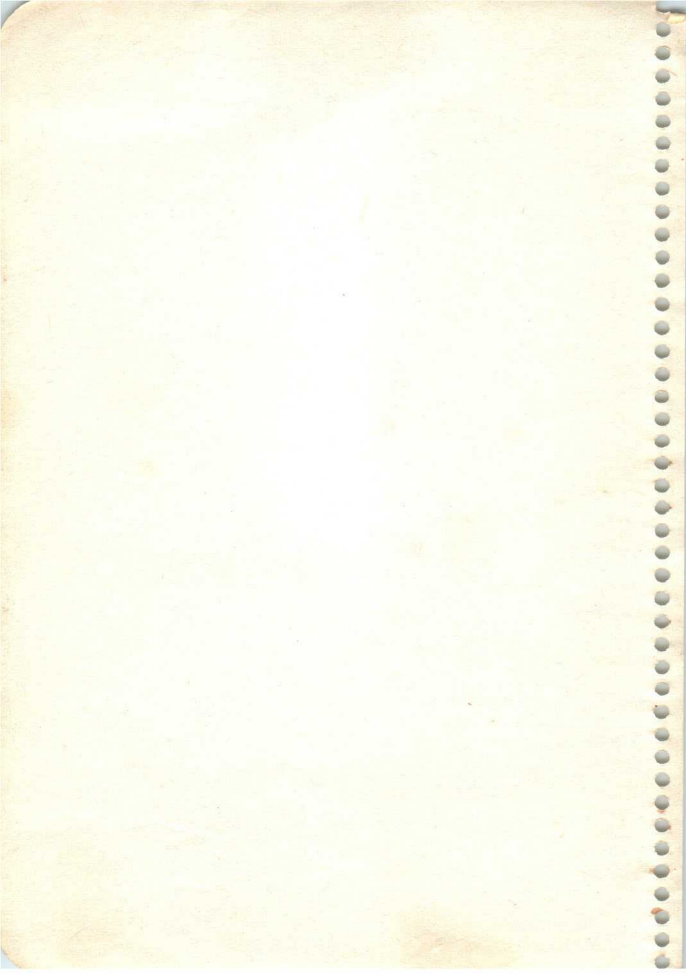


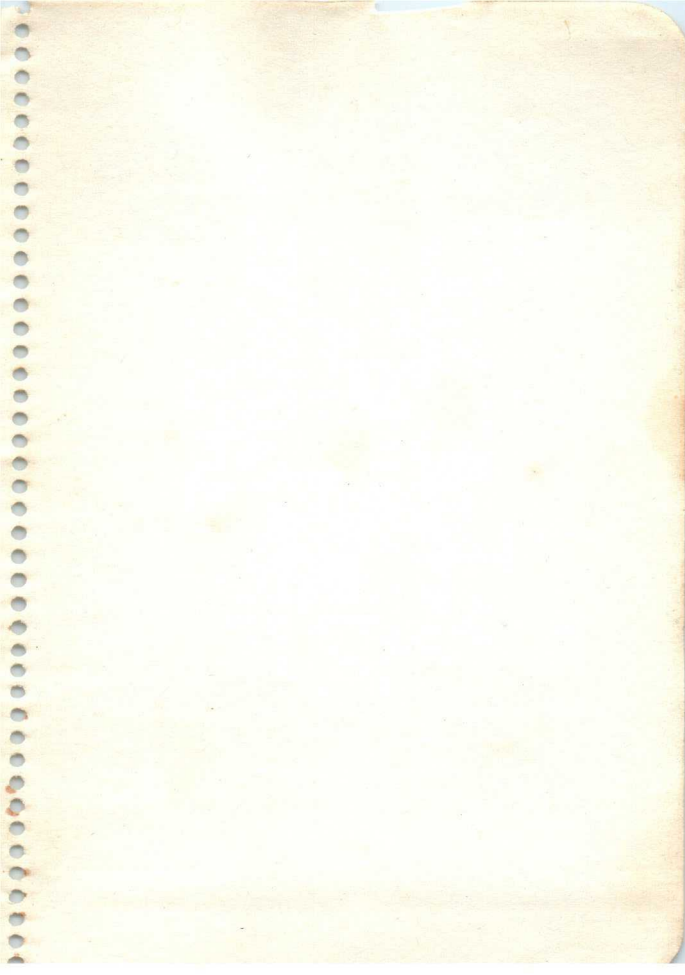


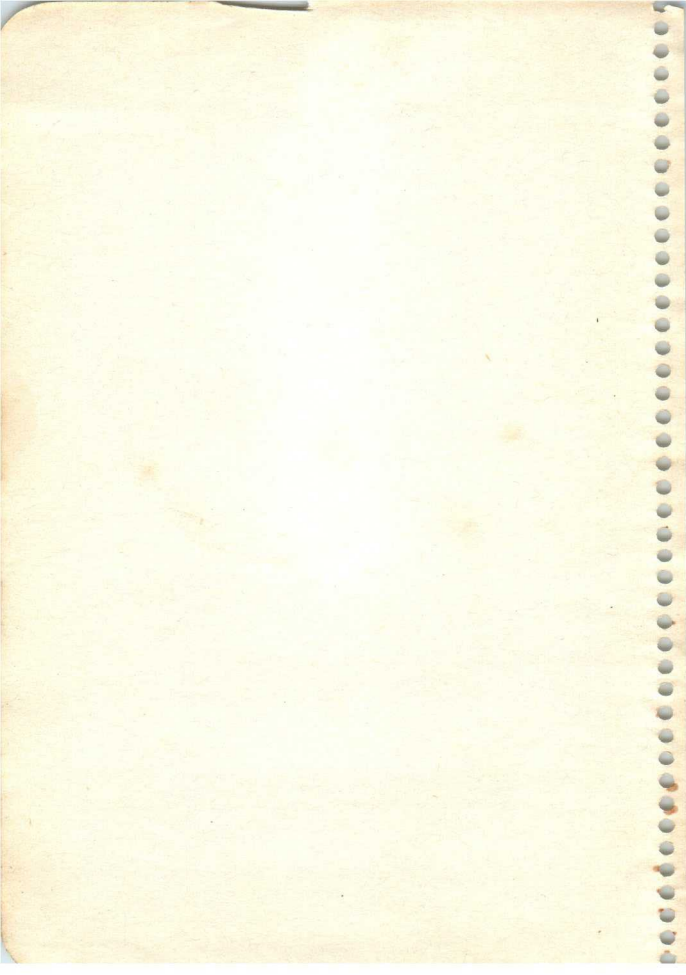


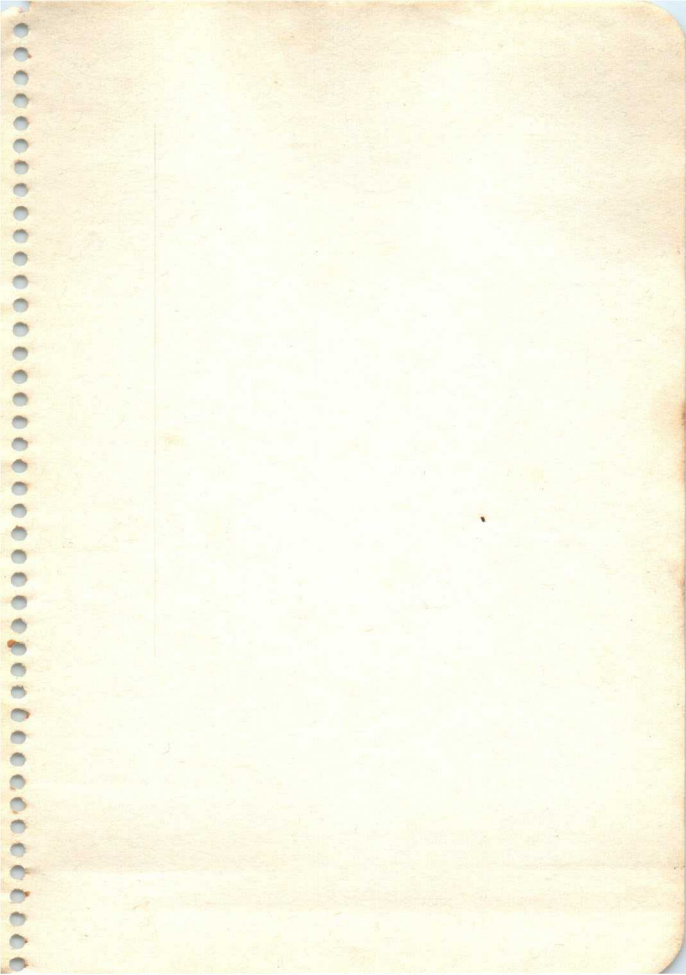


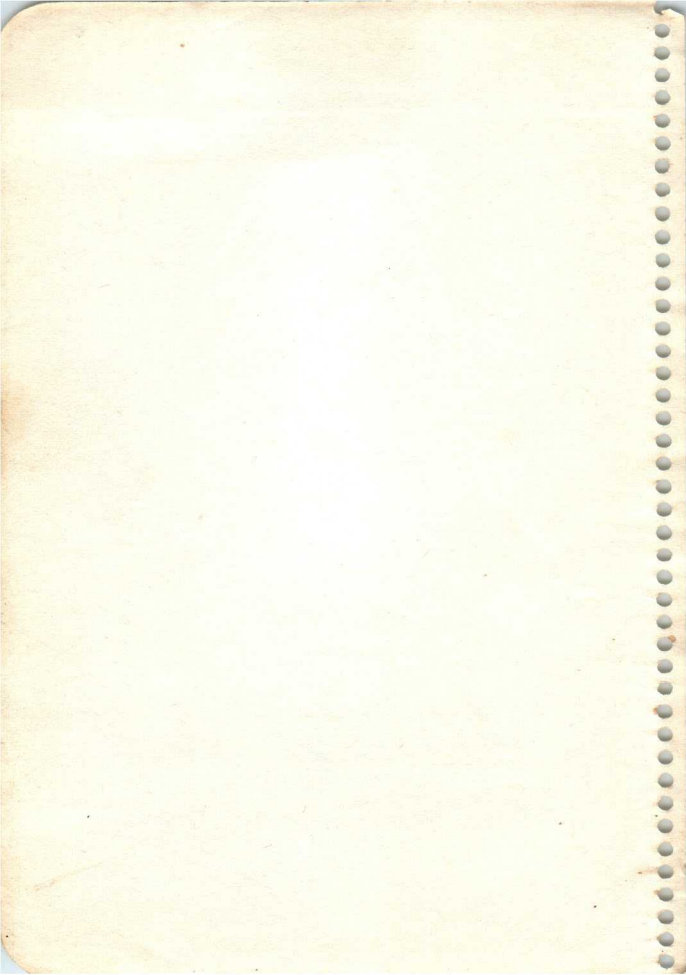


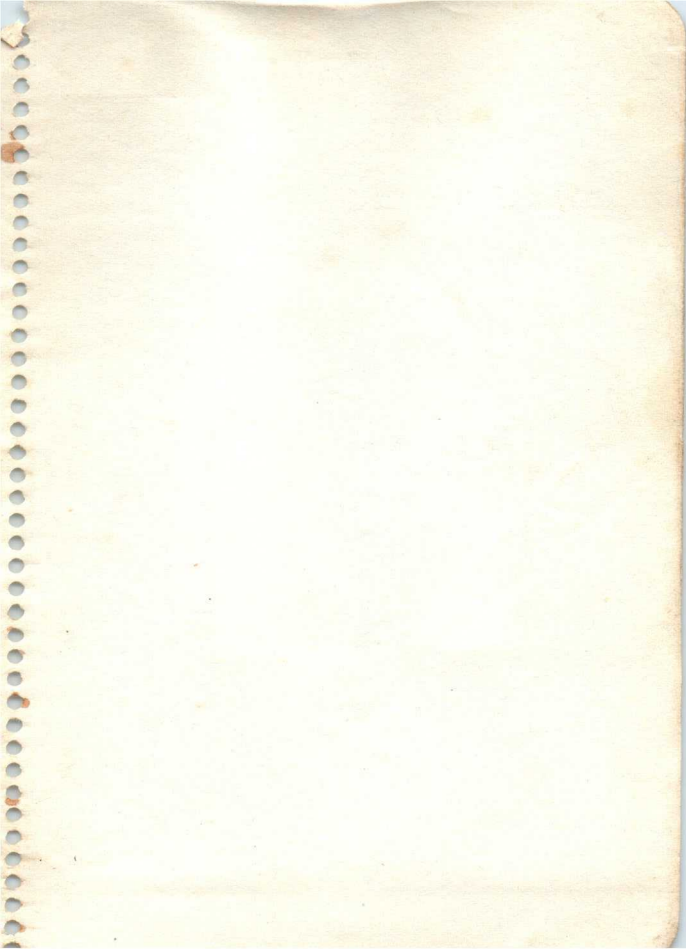


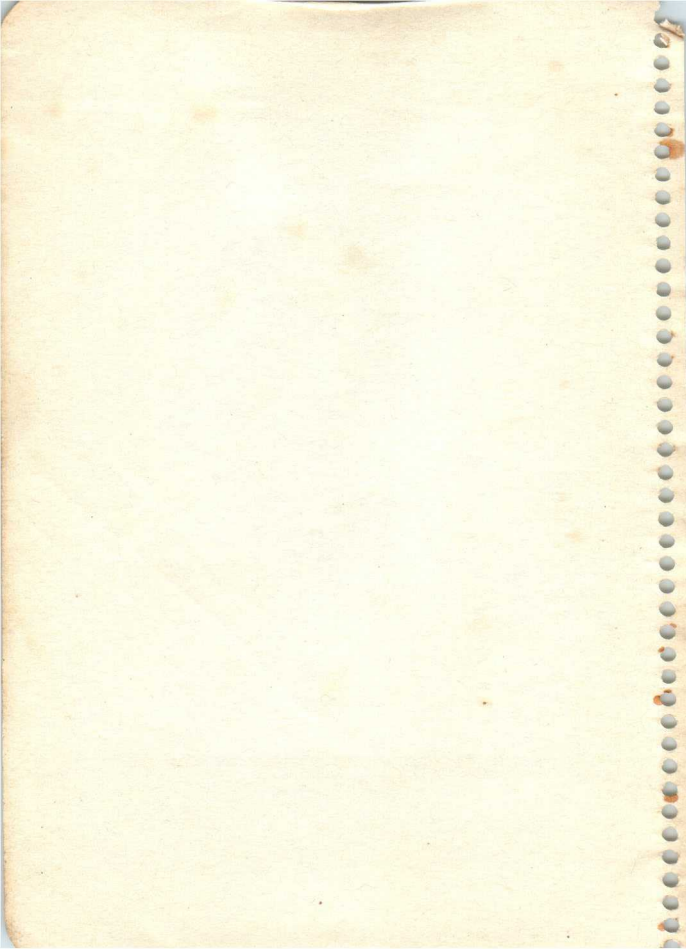


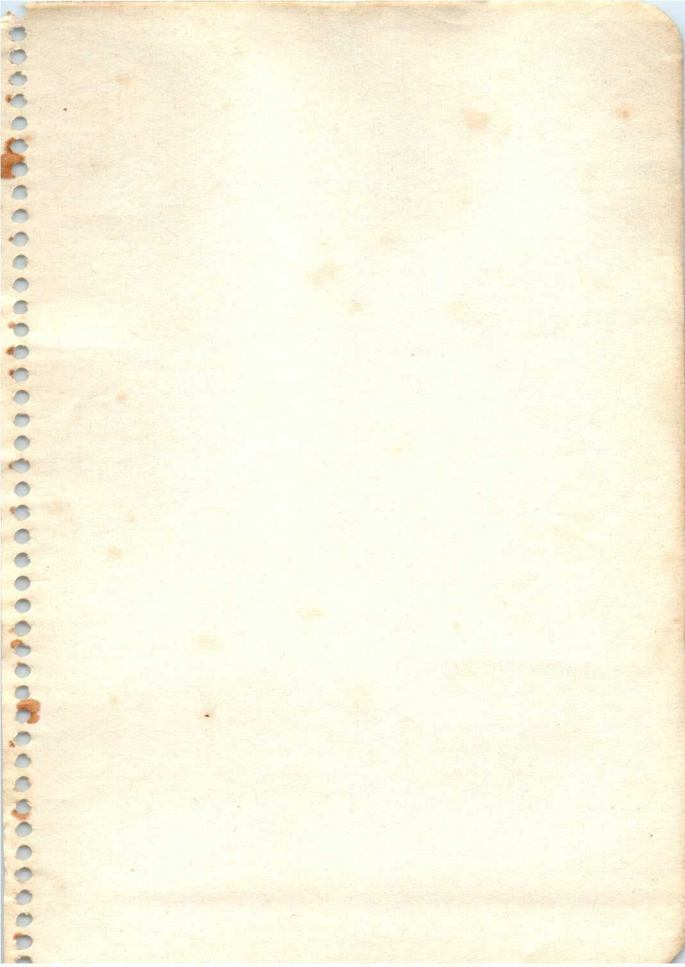


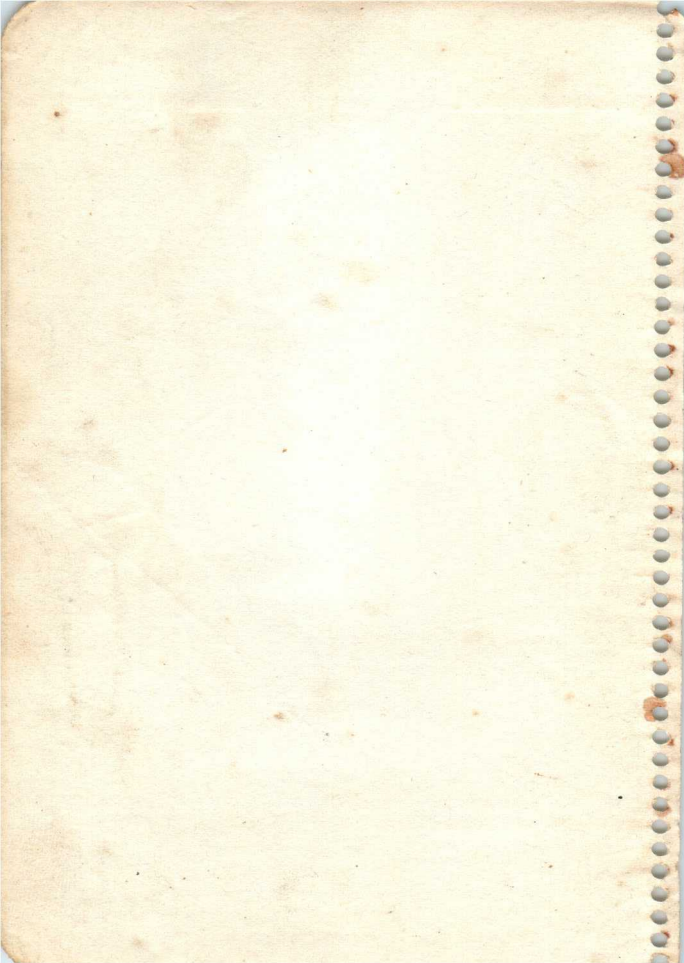


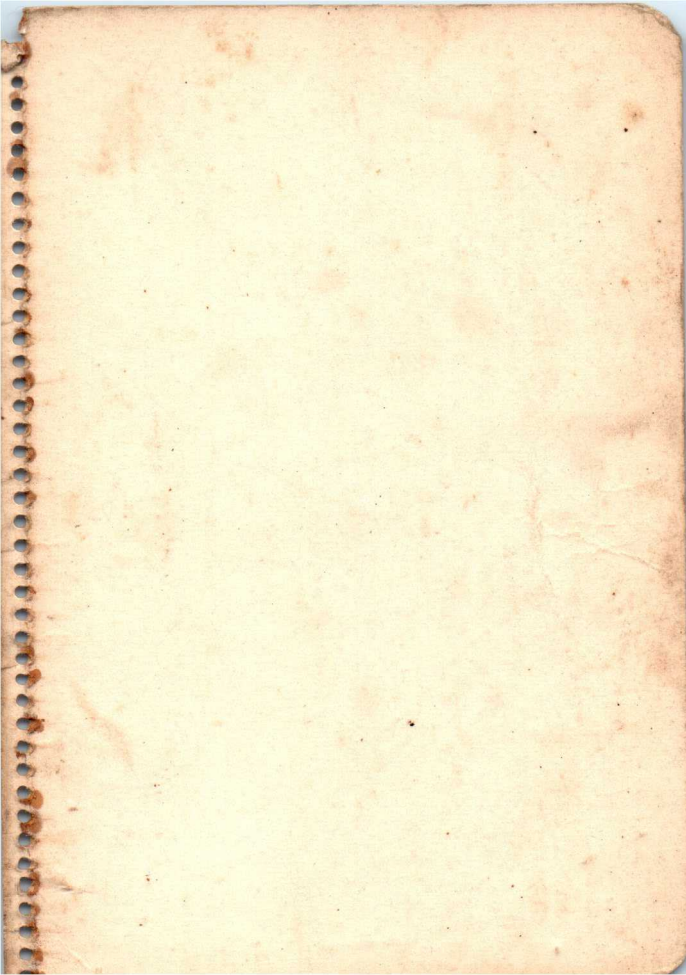


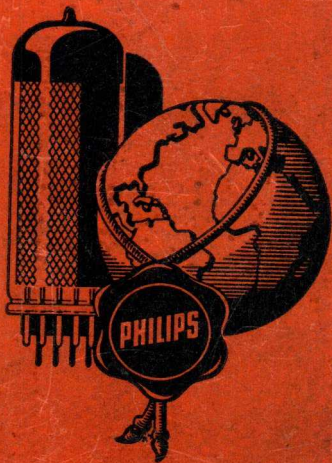












R 1630 H

20/32/3974
N 3/52